



(ร่าง)

รายงานการวิจัย

การพัฒนาความสามารถของจุลินทรีย์รวมกลุ่มในการย่อยสลาย

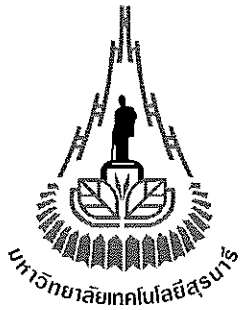
ไซโอิไซยาเนตและโลหะไซยาไนด์

(Mixed culture microbial development for thiocyanate and metal

cyanide degradation)

ได้รับทุนอุดหนุนการวิจัยจาก
มหาวิทยาลัยเทคโนโลยีสุรนารี

ผลงานวิจัยเป็นความรับผิดชอบของหัวหน้าโครงการวิจัยแต่เพียงผู้เดียว



(ร่าง)

รายงานการวิจัย

การพัฒนาความสามารถของจุลินทรีย์รวมกลุ่มในการย่อยสลาย

ไซโอิไซยาเนตและโลหะไซยาไนด์

(Mixed culture microbial development for thiocyanate and metal
cyanide degradation)

คณะผู้วิจัย

หัวหน้าโครงการ

ดร. สิรากรณ์ โพธิวิชยานนท์
สาขาวิชาอนามัยสิ่งแวดล้อม
สำนักวิชาแพทยศาสตร์
มหาวิทยาลัยเทคโนโลยีสุรนารี

ได้รับทุนอุดหนุนการวิจัยจากมหาวิทยาลัยเทคโนโลยีสุรนารี ปีงบประมาณ พ.ศ. 2555

ผลงานวิจัยเป็นความรับผิดชอบของหัวหน้าโครงการวิจัยแต่เพียงผู้เดียว

กิตติกรรมประกาศ

รายงานการวิจัยนี้ได้รับทุนอุดหนุนการวิจัยจากมหาวิทยาลัยเทคโนโลยีสุรนารี ประจำปีงบประมาณ 2555 ซึ่งสำเร็จดุลลังด้วยดี คณะผู้วิจัยขอขอบพระคุณมหาวิทยาลัยเทคโนโลยีสุรนารี ที่ได้ให้โอกาสและให้การสนับสนุนแก่คณะวิจัยในการศึกษาวิจัย ทำให้งานวิจัยฉบับนี้เสร็จสมบูรณ์

ท้ายนี้ คณะผู้วิจัยขอขอบพระคุณท่านที่ให้การสนับสนุนงานวิจัยนี้ และหวังเป็นอย่างยิ่งว่ารายงานการวิจัยฉบับนี้จะเป็นประโยชน์และเป็นแนวทางหนึ่งในการนำไปประยุกต์ใช้ให้เกิดประโยชน์แก่วงการวิจัย และเกิดประโยชน์ต่อภาคอุตสาหกรรมของประเทศไทยต่อไป

คณะผู้วิจัย

บทคัดย่อ

การพัฒนาความสามารถของจุลินทรีย์รวมกลุ่ม(Mixed culture) ของ *Agrobacterium tumefaciens* SUTS 1 และ *Pseudomonas monteilii* SUTS 2 ในการย่อยสลายสารประกอบไชยาในตัวในรูปของไชโอไชyanenและโลหะไชยาในตัวในรูปของสังกะสีและแอดเมี่ยนไชยาในตัวได้พัฒนาเพื่อให้จุลินทรีย์สามารถนำบัคสารประกอบไชยาในตัวได้หลากหลายชนิดมากขึ้นซึ่งน้ำเสียที่มีการเป็นปีอนของสารประกอบไชยาในตัวกำลังเป็นปัญหาของอุตสาหกรรมหลายแห่งที่มีการใช้สารประกอบดังกล่าวในกระบวนการผลิต ดังนั้นจึงศึกษาการเจริญเติบโตของจุลินทรีย์รวมกลุ่มในสารประกอบนี้พร้อมทั้งพัฒนาเป็นระบบฟิกซ์-ฟิล์ม ไบโอดครับเบอร์และศึกษาประสิทธิภาพของระบบเพื่อให้สามารถนำไปประยุกต์ใช้ต่อไป ผลการศึกษาพบว่าจุลินทรีย์รวมกลุ่ม SUTS 1 และ SUTS 2 สามารถเจริญเติบโตได้ในอาหารเลี้ยงเชื้อที่มีไชโอไชyanenและโลหะไชยาในตัว โดยมีจำนวนเซลล์จุลินทรีมากที่สุดในวันที่ 3 ของการศึกษาเท่ากับ 1.03×10^8 cfu/ml. จากนั้นทำการศึกษาระยะแรกของระบบฟิกซ์-ฟิล์ม ไบโอดครับเบอร์ในการเดินระบบต่อเนื่องเป็นระยะเวลา 24 ชั่วโมง เพื่อหาสภาวะที่เหมาะสมของระบบในส่วนของอัตราการไหลและระยะเวลาคักเก็บพนวณที่อัตราการไหล 10 ml./นาที ที่ระยะเวลาคักเก็บ 21 นาที ระบบสามารถนำบัดไชโอไชyanenและโลหะไชยาในตัวได้ดีที่สุดจากความเข้มข้นเริ่มต้นของไชโอไชyanen 85 mg./ล.ลดลงเหลือ 65 mg./ล. ส่วนสังกะสีและแอดเมี่ยนเริ่มต้น 0.44 และ 0.044 mg./ล. ลดลงเหลือ 0.21 และ 0.038 mg./ล. ตามลำดับ ขณะที่ไชยาในตัวถูกกำจัดได้หมดภายใน 12 ชั่วโมงของการศึกษา จึงนำสภาวะดังกล่าวศึกษาระยะยาวต่อเนื่องเป็นเวลา 30 วัน พบว่า ระบบฟิกซ์-ฟิล์ม ไบโอดครับเบอร์มีประสิทธิภาพในการนำบัดไชโอไชyanenและโลหะไชยาในตัวได้อย่างต่อเนื่องตลอด 30 วันของการศึกษา โดยพบไชโอไชyanen ไชยาในตัว สังกะสีและแอดเมี่ยน เหลืออยู่ 29.96, 0.16, 0.204 และ 0.085 mg./ล. ตามลำดับ คิดเป็นประสิทธิภาพในการนำบัดมากกว่าร้อยละ 50 ของสารประกอบทุกชนิดยกเว้นแอดเมี่ยน ทั้งนี้จากการตรวจวิเคราะห์สารผลิตภัณฑ์ในการย่อยสลายสารประกอบไชยาในตัวด้วยจุลินทรีย์พบปริมาณของซัลเฟตและไนเตรตลดลงในเดือนต่อระยะเวลาของการเดินระบบ ขณะที่ปริมาณของไบคาร์บอนตัวและแอนโอมเนียมตรวจพบในทางช่วงของการศึกษา ขณะที่จำนวนเซลล์ของจุลินทรีย์รวมกลุ่ม (Mixed culture) สามารถเจริญเติบโตเพิ่มจำนวนเซลล์ได้อย่างต่อเนื่องจากการศึกษาน้ำหนักของตัวกล่องที่ใช้เป็นตัวบีดเกาะของจุลินทรีย์มีน้ำหนักเพิ่มขึ้น ดังนั้นสามารถสรุปได้ว่าเมื่อพัฒนาความสามารถของจุลินทรีย์รวมกลุ่มของ *Agrobacterium tumefaciens* SUTS 1 และ *Pseudomonas*

monteili SUTS 2 ในการบำบัดไฮโดรไซยาเนตและไฮดราซีดีที่ระบบพิกซ์-ฟิล์มไบโอดรับเมอร์นั้นระบบมีประสิทธิภาพเหมาะสมในการบำบัดสารประกอบดังกล่าว

คำสำคัญ (keywords): สารประกอบไฮยาไนด์ (Cyanide compounds), พิกซ์-ฟิล์มไบโอดรับเมอร์ (Fixed-film bioscrubber), การขจัดสลายทางชีวภาพ (Biodegradation), ประสิทธิภาพการบำบัด (Removal efficiency)

Abstract

The degradation capability of mixed culture of *Agrobacterium tumefaciens* SUTS 1 and *Pseudomonas monteili* SUTS 2 for thiocyanate and metal cyanide; in form of zinc and cadmium, has been developed due to cyanide problems in industrial wastewater containing cyanide waste. The growth of mixed culture of SUTS 1 and SUTS 2 in cyanide complexes and the cyanide removal efficiency of fixed-film bioscrubber system were investigated. The results showed the mixed culture bacteria was able to survive and grow in broth solution containing thiocyanate and metal cyanide complexes with the maximum growth cells 1.03×10^8 cfu/ml on day 3. Then, the optimum conditions of fixed-film bioscrubber system in short term period were continuously tested for 24 hrs and found that the system revealed the highest removal efficiency at flow rate 10 ml/min and 21 mins of empty bed retention time with decreasing thiocyanate, zinc and cadmium from 85, 0.44, and 0.044 mg/l to 65, 0.21, and 0.038 mg/l, respectively whereas residual cyanide did not find within 12 hrs. After that, these conditions were set for 30 days continuous long term period and also found that the system still exhibited more than 50% of cyanide complexes removal efficiency except cadmium that the complex residues were 29.96, 0.16, 0.204, and 0.085 mg/l of thiocyanate, cyanide, zinc, and cadmium, respectively. In addition, the growth of mixed culture of SUTS 1 and SUTS 2 increased and cell weights of mixed culture immobilized on packing materials were also in the trend of increasing, the by-product compounds in form of sulfate and nitrate were found throughout the experiment whereas some of bicarbonate and ammonia were found. It can be concluded that the mixed culture of *Agrobacterium tumefaciens* SUTS 1 and *Pseudomonas monteili* SUTS 2 in fixed-film bioscrubber system revealed the optimum capability to degrade thiocyanate and metal cyanide.

สารบัญ

	หน้า
กิตติกรรมประกาศ	๑
บทคัดย่อ	๒
สารบัญ	๓
สารบัญตาราง	๔
สารบัญภาพ	๕
คำอธิบายสัญลักษณ์	๖
บทที่ ๑ บทนำ	๑
1.1 ความสำคัญและที่มาของปัจจัยทางที่ทำการวิจัย	๑
1.2 วัตถุประสงค์ของโครงการวิจัย	๒
1.3 ขอบเขตของโครงการวิจัย	๒
1.4 ประโยชน์ที่คาดว่าจะได้รับ	๒
1.5 กรอบแนวความคิดของโครงการวิจัย (Conceptual Framework)	๒
บทที่ ๒ ทบทวนวรรณกรรม	๔
2.1 สารประกอบไฮยาไนด์	๔
2.2 ไฮโอลิชยานต์ (Thiocyanate: SCN ⁻)	๕
2.3 โลหะหนัก (Heavy Metal)	๕
2.3.1 แคดเมียม (Cadmium: Cd)	๖
2.3.2 สังกะสี (Zinc: Zn)	๖
2.3.3 ความเป็นพิษของโลหะหนัก	๗
2.3.3.1 ความเป็นพิษของแคดเมียม	๗
2.3.3.2 ความเป็นพิษของสังกะสี	๘
2.4 สารประกอบโลหะไฮยาไนด์ (Metal cyanide complexes)	๙
2.4.1 สารประกอบไฮยาไนด์เชิงเดี่ยว (Simple cyanide)	๙
2.4.2 สารประกอบไฮยาไนด์เชิงซ้อน (Cyanide complex)	๙
2.4.2.1 Weak cyanide complex	๑๐
2.4.2.2 Moderately strong cyanide complex	๑๐
2.4.2.3 Strong cyanide complex	๑๐
2.5 เส้นทางภาพของสารประกอบไฮยาไนด์	๑๑

	หน้า
สารบัญ (ต่อ)	
2.6 กลไกการเกิดพิษของไฮยาไนด์	12
2.6.1 ผลกระทบของไฮยาไนด์ต่อสิ่งมีชีวิต	13
2.6.2.1 ผลกระทบต่อมนุษย์	13
2.6.1.2 ผลกระทบต่อสิ่งมีชีวิตในน้ำ	14
2.6.1.3 ผลกระทบต่อสัตว์เลี้ยงลูกด้วยนม	14
2.7 มาตรฐานสารประกอบไฮยาไนด์	15
2.7.1 ค่ามาตรฐานสารประกอบไฮยาไนด์	15
2.7.1.1 สารประกอบไฮยาไนด์เชิงซ้อนกับโลหะ ^(Metal cyanide complexes)	15
2.7.1.2 ไฮโอลิโไฮยาเนต (Thiocyanate)	15
2.8 การบำบัดไฮโอลิโไฮยาเนตและโลหะไฮยาไนด์โดยกระบวนการทางชีวภาพ	16
2.8.1 ปัจจัยที่เกี่ยวข้องในการบำบัดไฮยาไนด์ตัวขุลินทรีย์	16
2.8.1.1 อุณหภูมิที่เหมาะสม	16
2.8.1.2 ความเป็นกรด-ด่าง (pH)	17
2.8.1.3 ปริมาณออกซิเจน	17
2.8.1.4 สารอาหารจำเพื่น	17
2.8.2 กระบวนการย่อยสลายไฮโอลิโไฮยาเนตและโลหะไฮยาไนด์ทางชีวภาพ	17
2.9 กลไกการกำจัดโลหะหนักโดยแบคทีเรีย	18
2.9.1 ขั้นอยู่กับมาตรฐานอคิซีนของเซลล์	18
2.9.1.1 การกำจัดโลหะหนักของแบคทีเรียโดยการใช้พลังงาน	18
2.9.1.2 การกำจัดโลหะหนักของแบคทีเรียโดยไม่ใช้พลังงาน	19
2.9.2 ขั้นอยู่กับตำแหน่งที่แบคทีเรียกำจัดโลหะหนัก	20
2.9.2.1 การสะสมโลหะหนักภายในเซลล์	20
2.9.2.2 การสะสมโลหะหนักภายนอกเซลล์	20
2.9.2.3 การขับโลหะหนักโดยสารที่แบคทีเรียปล่อยออกสู่ภายนอกเซลล์	21
2.10 การแทนต่อพิษโลหะหนักของแบคทีเรีย	22
2.10.1 กลไกการแทนต่อโลหะหนักของแบคทีเรีย	23
2.10.1.1 การใช้ออนไซม์	23
2.10.1.2 การขับโลหะที่ผ่านเซลล์หรือภายนอกเซลล์	23

สารบัญ (ต่อ)

	หน้า
2.10.1.3 การลดการนำเข้า (Reduce uptake) 23	
2.10.1.4 การปั๊มออกจากเซลล์ด้วยระบบการขนส่ง (Transport system) 23	
2.10.1.5 การเปลี่ยนเป้าหมายภายในเซลล์ 23	
2.10.2 การทนต่อแอดเมิร์มนของแบคทีเรีย 23	
2.10.3 การทนต่อสังกะสีของแบคทีเรีย 25	
2.10.3.1 การขนส่งสังกะสีโดยใช้ corA MIT 25	
2.10.3.2 การใช้แรงดันออกซิเจน 25	
2.10.3.3 การใช้ MgtA P-type ATPase 25	
2.11 ระบบตรึงผิวชีวภาพ (Cell-immobilized/Fixed-film system) 25	
2.11.1 พิล์มชีวภาพ (Bio-film) 26	
2.11.2 การเกาะและการหลุดของพิล์มชีวะ 27	
2.11.3 องค์ประกอบทางเคมีของพิล์มชีวะ 27	
2.11.4 กระบวนการกำจัดสารอินทรีย์ 27	
2.11.5 สภาพขาดแคลนสารอินทรีย์ และออกซิเจน 29	
2.12 ปัจจัยที่มีผลต่อการกำจัดโลหะหนักของแบคทีเรีย 29	
2.12.1 pH (pH) 30	
2.12.2 อุณหภูมิ (Temperature) 30	
2.12.3 ระยะเวลาในการกำจัด 31	
2.12.4 ชนิดและความเข้มข้นของโลหะหนัก 31	
2.12.5 การแข่งขันกับไอลอนโลหะหนักอื่น 31	
2.12.6 ความเข้มข้นของตัวกำจัด 32	
2.13 ข้อดีและข้อเสียของการใช้จุลินทรีย์เพื่อบำบัดสารมลพิษ 32	
2.13.1 ข้อดีของการใช้จุลินทรีย์เพื่อบำบัดสารมลพิษ 32	
2.13.2 ข้อเสียของการใช้จุลินทรีย์เพื่อบำบัดสารมลพิษ 32	
บทที่ 3 ระเบียบวิธีดำเนินงานวิจัย 34	
3.1 เครื่องมือที่ใช้ในงานวิจัย (Instruments) 34	

สารบัญ (ต่อ)

	หน้า
3.2 สารเคมีที่ใช้ในงานวิจัย (Chemicals)	34
3.3 วิธีดำเนินงานวิจัย	36
3.3.1 อาหารเลี้ยงเชื้อ (Media)	36
3.3.2 จุลินทรีย์ในการทดลอง	37
3.3.3 การทดสอบความสามารถของจุลินทรีย์	37
3.3.4 การตรึงจุลินทรีย์รวมกับมันผิวของตัวกลาง (Immobilization of mixed culture on packing materials)	37
3.4 ชุดพัฒนาความสามารถของจุลินทรีย์ด้วยระบบฟิกซ์-ฟิล์ม ในไオスครับเบอร์ (Fixed-film bioscrubber)	38
3.5 การทดลอง	40
3.6 วิธีการวิเคราะห์	40
3.7 การวิเคราะห์ข้อมูล	41
บทที่ 4 ผลการวิจัยและอภิปรายผล	43
4.1 ผลการศึกษาการเจริญเติบโต (Growth curve) ของจุลินทรีย์รวมกับมัน (Mixed culture) และการทดสอบความสามารถของจุลินทรีย์ในการย่อย ถลایสารประกอบไชยาไนด์	43
4.2 ผลการศึกษาระยะแรก (Short term period) ของการพัฒนาความสามารถ ของจุลินทรีย์ด้วยระบบฟิกซ์-ฟิล์ม ในไオスครับเบอร์ (Fixed-film bioscrubber)	50
4.2.1 การนำบัดสารประกอบไชยาไนด์ในรูปของไชโไอไซyanate (Thiocyanate: SCN ⁻)	51
4.2.2 การนำบัดสารประกอบไชยาไนด์ในรูปของโลหะไชยาไนด์ (Metal cyanide)	53
4.2.3 ผลิตภัณฑ์ (By-product) ที่เกิดขึ้นจากการนำบัดสารประกอบไชยาไนด์ ในรูปของไชโไอไซyanate และโลหะไชยาไนด์	56
4.3 ผลการศึกษาระยะยาว (Long term period) ของการพัฒนาความสามารถ ของจุลินทรีย์ด้วยระบบฟิกซ์-ฟิล์ม ในไオスครับเบอร์ (Fixed-film bioscrubber)	60
4.3.1 การนำบัดสารประกอบไชยาไนด์ในรูปของไชโไอไซyanate (Thiocyanate: SCN ⁻)	65

สารบัญ (ต่อ)

	หน้า
4.3.2 การบำบัดสารประกอบไออกไซด์ในรูปของโลหะไออกไซด์ (Metal cyanide)	66
4.3.3 ผลิตภัณฑ์ (By-products) ที่เกิดขึ้นหลังจากการย่อยสลายสาร ประกอบไออกไซด์	72
บทที่ 5 สรุปผลการวิจัยและข้อเสนอแนะ	78
5.1 การศึกษาการเจริญเติบโต (Growth curve) ของจุลินทรีย์รวมกลุ่ม (Mixed culture)	78
5.2 การศึกยาระยะแรก (Short term period) ของการพัฒนาความสามารถ ของจุลินทรีย์ด้วยระบบพิกซ์-ฟิล์ม ไปไออสครับเบอร์ (Fixed-film bioscrubber)	78
5.3 การศึกษาระยะยาว (Long term period) ของการพัฒนาความสามารถ ของจุลินทรีย์ด้วยระบบพิกซ์-ฟิล์ม ไปไออสครับเบอร์ (Fixed-film bioscrubber)	79
5.4 ข้อเสนอแนะจากการศึกษาวิจัย	80
บรรณานุกรม	81
ภาคผนวก ก. วิธีการวิเคราะห์	89
ภาคผนวก ข. กราฟสารละลายน้ำตราชูน	103
ประวัติผู้วิจัย	109

สารบัญตาราง

ตารางที่	หน้า
2.1 ค่าคงที่ของค่าความคงตัว (β_1) ของสารประกอบเชิงซ้อนของ ไซยาไนด์	9
2.2 ค่าความเสถียร (Stability constant: log K) ของสารประกอบ ไซยาไนด์	12
2.3 ความเข้มข้นของสารประกอบ ไซยาไนด์ที่ก่อให้เกิดพิษต่อสัมภีร์ชีวิต	15
3.1 สภาพและตัวแปรที่ใช้ในการวิจัย	40
4.1 ลักษณะทั่วไปของจุลินทรีรวมกลุ่ม (Mixed culture bacteria)	43
4.2 การเจริญเติบโตของจุลินทรีแบบรวมกลุ่มในสารประกอบ ไซยาไนด์	44
4.3 การย่อยสลายโลหะ ไซยาไนด์และ ไอโซไซยาเนตด้วยจุลินทรีรวมกลุ่ม (Mixed culture) จากการศึกษาการเจริญเติบโต (Growth curve) ของจุลินทรีรวมกลุ่ม	48
4.4 ประสิทธิภาพการย่อยสลายโลหะ ไซยาไนด์และ ไอโซไซยาเนตจากการศึกษาการเจริญเติบโต (Growth curve) ของจุลินทรีรวมกลุ่ม	49
4.5 การสุ่ม (Random) ชั้นน้ำหนักตัวกลางพลาสติก Polypropylene pall (PP) ring หลังจากการตรึงเซลล์ (Cell immobilization) ในวันที่ 15	51
4.6 ประสิทธิภาพการบำบัด ไอโซไซยาเนตท่อตราชารา ไฟล 10 มล./นาที และ 30 มล./นาที	52
4.7 การบำบัด โลหะ ไซยาไนด์ด้วยระบบฟิกซ์-ฟิล์ม ไบโอดอกรันเบอร์ที่ อัตราการไฟล 10 มล./นาที และ 30 มล./นาที	54
4.8 ผลิตภัณฑ์ (By-product) ที่เกิดจากการย่อยสลาย ไอโซไซยาเนตและ โลหะ ไซยาไนด์โดยจุลินทรีรวมกลุ่ม	58
4.9 น้ำหนักของตัวกลางพลาสติก Polypropylene pall (PP) ring ที่เพิ่มขึ้น ภายหลังจากการเดินระบบบรรยะแรก	60
4.10 การสุ่ม (Random) ชั้นน้ำหนักตัวกลางพลาสติก Polypropylene pall (PP) ring หลังจากการตรึงเซลล์ (Cell immobilization) ในวันที่ 30	61
4.11 ผลการศึกษาการบำบัด โลหะ ไซยาไนด์และ ไอโซไซยาเนตด้วย ระบบฟิกซ์-ฟิล์ม ไบโอดอกรันเบอร์ ตลอดช่วง 30 วันของการศึกษา	62
4.12 ประสิทธิภาพการบำบัด โลหะ ไซยาไนด์และ ไอโซไซยาเนตด้วยระบบ ฟิกซ์-ฟิล์ม ไบโอดอกรันเบอร์	63

สารบัญตาราง (ต่อ)

ตารางที่	หน้า
4.13 ผลิตภัณฑ์ (By-product) ที่เกิดจากการย่อยสลายสารประกอบไชยาในด้วยจุลินทรีย์รวมกับมหภาคช่วงระยะเวลา 30 วันของการศึกษา	73
4.14 น้ำหนักของตัวกลางพลาสติก Polypropylene pall (PP) ring ที่เพิ่มขึ้นภายหลังจากการเดินระบบระยะเวลาในวันที่ 30 ของการศึกษา	77
ผ.1 การคำนวณหาค่าส่วนประกอบต่างๆของสภาพด่าง	98

สารบัญภาพ

ภาพที่	หน้า
1.1 ครอบแนวคิดของการย่อยสลายไนโตรไซยาเนตและโลหะไชยาในด้วยจุลินทรีย์รวมกับในระบบพิกซ์-ฟิล์มในอสครับเบอร์	3
2.1 กลไกการเกิดพิษของไชยาในด'	13
2.2 กลไกการลดความเป็นพิษ โลหะหนักของแบคทีเรีย	22
2.3 กลไกการทนต่อแอดเมียมและสังกะสีของแบคทีเรีย	24
2.4 ความหนาแน่นของจุลชีพในฟิล์มชีวภาพที่ขึ้นความหนาต่างๆ	28
2.5 สภาพขาดแคลนสารอินทรีย์ และออกซิเจนในระบบบำบัดน้ำเสียแบบฟิล์มชีวะ	29
3.1 ตัวกลางพลาสติก Polypropylene pall ring สำหรับให้จุลินทรีย์แบบรวม (Mixed culture) บีดเกาะ	38
3.2 รูปแบบการย่อยสลายไนโตรไซยาเนตและโลหะไชยาในด้วยจุลินทรีย์รวมกับในระบบพิกซ์-ฟิล์มในอสครับเบอร์	39
3.3 ระบบพิกซ์-ฟิล์มในอสครับเบอร์ (Fixed-film bioscrubber system)	39
4.1 การเจริญเติบโตของจุลินทรีย์รวมกับ (Mixed culture microbial growth curve) ในช่วงระยะเวลา 7 วัน	45
4.2 ถักรณาโคโนнеที่เจริญในอาหารเลี้ยงเชื้อที่มีไนโตรไซยาเนตและโลหะไชยาในด'	45
4.3 ความสามารถในการย่อยสลายไนโตรไซยาเนต (SCN) โดยจุลินทรีย์รวมกับ (Mixed culture)	46
4.4 ความสามารถในการย่อยสลายโลหะไชยาในด้วยจุลินทรีย์รวมกับ	48
4.5 ความสามารถที่จะหัวงบประมาณในเตรทที่เกิดขึ้นจากการย่อยสลายของไนโตรไซยาเนตและไชยาในด'	50
4.6 ประสิทธิภาพในการบำบัดไนโตรไซยาเนต ที่อัตราการไหล 10 มล./นาที และ 30 มล./นาที	52
4.7 จำนวนเซลล์จุลินทรีย์ที่แขวนลอยอิสระในระบบ	59
4.8 เปรียบเทียบความสามารถในการย่อยสลายสารประกอบไชยาในด้แต่ละประเภท	64
4.9 ประสิทธิภาพการบำบัดไนโตรไซยาเนตด้วยระบบพิกซ์-ฟิล์มในอสครับเบอร์	65

สารบัญภาพ (ต่อ)

ภาพที่	หน้า
4.10 แนวโน้มการกำจัดสัมภาระด้วยระบบฟิกซ์-ฟิล์ม ไบโอดอกรับเบอร์ ตลอดช่วงระยะเวลา 30 วันของการศึกษา	67
4.11 แนวโน้มการกำจัดแอดเมียร์โดยจุลินทรีแบบรวมกลุ่ม (Mixed culture) ตลอดช่วงระยะเวลา 30 วันของการศึกษา	68
4.12 เปรียบเทียบประสิทธิภาพในการกำจัดสัมภาระและแอดเมียร์ด้วยระบบ ฟิกซ์-ฟิล์ม ไบโอดอกรับเบอร์ ตลอดช่วงระยะเวลา 30 วันของการเดินระบบ	69
4.13 ใช้ยาในด้วยเหลืออยู่และประสิทธิภาพในการบำบัดใช้ยาในด้วยระบบฟิกซ์-ฟิล์ม ^๑ ไบโอดอกรับเบอร์	70
4.14 ความสัมพันธ์ของการย่อยสลายสารประกอบใช้ยาในด้วยจุลินทรีแบบ รวมกลุ่มกับสารผลิตภัณฑ์ (By-products) ที่เกิดขึ้น	74
4.15 ความสัมพันธ์ของการย่อยสลายไนโตรไซแนต์โดยจุลินทรีแบบรวมกลุ่ม ^๒ กับชัลเฟต์ที่เกิดขึ้น	76
4.16 จุลินทรีที่แพร่ลงอยู่ในระบบฟิกซ์-ฟิล์ม ไบโอดอกรับเบอร์	77
ผ.1 ชุดกลั่นใช้ยาในด้วยจุลินทรี	92
ผ.2 กราฟสารละลายน้ำตรฐานไนโตรไซแนต์ (Thiocyanate: SCN ⁻)	104
ผ.3 กราฟสารละลายน้ำตรฐานสัมภาระ (Zinc: Zn)	105
ผ.4 กราฟสารละลายน้ำตรฐานแอดเมียร์ (Cadmium: Cd)	106
ผ.5 กราฟสารละลายน้ำไนเตรต (Nitrate: NO ₃ ⁻)	107
ผ.6 กราฟสารละลายน้ำชัลเฟต์ (Sulfate: SO ₄ ²⁻)	108

คำอธิบายสัญลักษณ์

mg./kg.	= มิลลิกรัมต่อกิโลกรัม
mg./l.	= มิลลิกรัมต่อลิตร
cfu/ml	= Colony forming unit per milliliter
ml/min	= Milliliter per minute
HCO ₃ ⁻	= Bicarbonate
CN ⁻	= Cyanide
SCN ⁻	= Thiocyanate
NH ₃ -N	= Ammonia-Nitrogen
NO ₃ -N	= Nitrate-Nitrogen
SO ₄ ²⁻	= Sulfate
DO	= Dissolved Oxygen
LD ₅₀	= 50% lethal dose

บทที่ 1

บทนำ

1.1 ความสำคัญและที่มาของปัญหาที่ทำการวิจัย

อุตสาหกรรมที่กำลังพัฒนาและสร้างความก้าวหน้าให้กับประเทศไทย ยังคงมีของเสียเกิดขึ้นตามมาอย่างหลีกเลี่ยงไม่ได้ โดยเฉพาะอย่างยิ่งอุตสาหกรรมด้านปิโตรเคมี อุตสาหกรรมด้านพลังงาน อุตสาหกรรมด้านการผลิตเหล็กซึ่งเป็นองค์ประกอบสำคัญทั้งในยานยนต์ คอมพิวเตอร์และอื่นๆ อุตสาหกรรมการผลิตสี อุตสาหกรรมการผลิตไม้และเคลือบผิวไม้ อุตสาหกรรมการผลิตกระดาษ อุตสาหกรรมมันสำปะหลัง รวมทั้งอุตสาหกรรมเหมืองแร่ (Medwith and Lefelhocz, 1981; Melcer and Nutt, 1988; Aronstein et al., 1994; Liu et al., 1996; EPA, 1997) ซึ่งของเสียที่เกิดขึ้นจากการกระบวนการผลิตมักอุดมไปด้วยสารปรับกําจัด เช่น โซเดียมไซยาโนเจต ฟินอล และแอมโมเนีย เป็นต้น โซเดียมไซยาโนเจตอาจปนเปื้อนในน้ำเสียที่มาจากการกระบวนการผลิตมากถึง 50-650 มก./ล. ขณะเดียวกัน สารประกอบโซเดียมไซยาโนเจตอาจมีมากถึง 10-150 มก./ล. (Medwith and Lefelhocz, 1981; Melcer and Nutt, 1988; Liu et al., 1996) และความเป็นพิษอาจมากขึ้นหากโซเดียมไซยาโนเจตทำปฏิกิริยากับโลหะหนัก กล้ายเป็นสารประกอบเชิงช้อนกับโลหะ (Metal cyanide complexes) เช่น $\text{Cu}(\text{CN})_2^-$, $\text{Ni}(\text{CN})_4^{2-}$, $\text{Ag}(\text{CN})_2^-$, $\text{Zn}(\text{CN})_4^{2-}$ และ $\text{Fe}(\text{CN})_6^{4-}$ เป็นต้น ซึ่งสารประกอบเชิงช้อนเหล่านี้สามารถแตกตัวได้มากน้อยแตกต่าง กันสั่งผลทำให้เกิดปัญหามลพิษสิ่งแวดล้อม และยังสั่งผลกระทบต่อสุขภาพอนามัยอีกด้วย โซเดียมไซยาโนเจตนี้มีพิษเฉียบพลันสูงต่อระบบทางเดินหายใจ ทำให้เกิดการระหายเคืองตาและผิวนัง ได้ หากมีการกลืนกินอาหารที่มีโซเดียมไซยาโนเจตปนเปื้อนที่ความเข้มข้น 68.3-84.9 มก./กг. ของน้ำหนัก ตัว ทำให้เสียชีวิตได้ (LD_{50}) หรือหากหายใจเข้าไป 0.0077 มก./ล. ทำให้เสียชีวิตได้ (LD_{50}) (EPA, 1997) ในขณะเดียวกัน โลหะโซเดียมไซยาโนเจตในรูปของสังกะสีโซเดียมไซยาโนเจต (Zinc cyanide) ที่ระดับความเข้มข้น 0.02-0.3 มก./ล. และแคดเมียมไซยาโนเจต (Cadmium cyanide) ที่ระดับความเข้มข้น 0.02-0.3 มก./ล. ทำให้เกิดพิษต่อสัตว์มีชีวิตได้ (จุฬารัตน์, 2547) ซึ่งการย่อยสลายโซเดียมไซยาโนเจตและโลหะโซเดียมไซยาโนเจตด้วยจุลินทรีย์ ในระบบบำบัดที่มีประสิทธิภาพจะมีความสำคัญที่ต้องพัฒนา ดังนั้น โครงการวิจัยนี้มีวัตถุประสงค์เพื่อศึกษาการเจริญเติบโตของจุลินทรีย์รวมกลุ่มของ *Agrobacterium tumefaciens* SUTS 1 และ *Pseudomonas monteili* SUTS 2 ในการย่อยสลายโซเดียมไซยาโนเจตและโลหะโซเดียมไซยาโนเจต

1.2 วัตถุประสงค์ของโครงการวิจัย

1.2.1 เพื่อศึกษาการเรียนรู้โดยใช้จุดเด่นของจุลินทรีย์รวมกับลุ่มของ SUTS 1 และ SUTS 2 ในการย่อยสลายไฮโซไซยาเนตและโลหะไฮยาไนด์

1.2.2 เพื่อศึกษาการย่อยสลายไฮโซไซยาเนตและโลหะไฮยาไนด์ด้วยระบบพิกซ์-ฟิล์มในโอลิครับเบอร์

1.2.3 เพื่อศึกษาตัวแปรในสภาวะเหมาะสมที่ทำให้ระบบมีประสิทธิภาพดีที่สุด ได้แก่ ความเข้มข้นของไฮโซไซยาเนตและโลหะไฮยาไนด์ อัตราการไหลของเหลว และระยะเวลาเก็บเกี่ยว

1.3 ขอบเขตของโครงการวิจัย

1.3.1 จุลินทรีย์ที่ใช้ในการศึกษาในการวิจัยนี้เป็นจุลินทรีย์รวมกลุ่มระหว่าง SUTS 1 และ SUTS 2 (Mixed culture) ที่มีความสามารถสูงจากการศึกษาการย่อยสลายไฮยาไนด์ด้วยจุลินทรีย์ (ศิรารัตน์, 2550)

1.3.2 การย่อยสลายไฮโซไซยาเนตจะใช้โพแทสเซียมไฮโซไซยาเนตและโลหะไฮยาไนด์จะใช้สังกะสีไฮยาไนด์แคడเมียมไฮยาไนด์ (ในรูปของแคดเมียมซัลเฟตและโพแทสเซียมไฮยาไนด์) ในการศึกษา

1.3.3 การพัฒนาความสามารถในการดัดแปลงจุลินทรีย์จะทำการทดสอบด้วยระบบพิกซ์-ฟิล์มในโอลิครับเบอร์

1.4 ประโยชน์ที่คาดว่าจะได้รับ

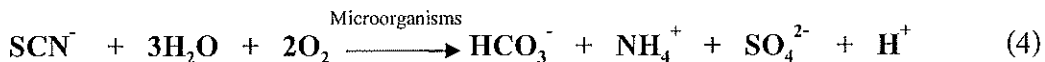
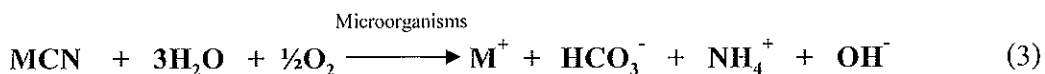
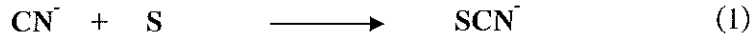
1.4.1 สามารถนำจุลินทรีย์และระบบพิกซ์-ฟิล์มไปโอลิครับเบอร์ที่ศึกษาในการวิจัยครั้งนี้ไปเป็นแนวทางในการประยุกต์ใช้ในการย่อยสลายไฮโซไซยาเนตและโลหะไฮยาไนด์ที่เกิดจากอุตสาหกรรมได้ต่อไปในระดับ Pilot scale

1.4.2 เจียนบทความเพื่อเผยแพร่ผลการวิจัย หรือตีพิมพ์ผลงานวิจัยในวารสารทางด้านสิ่งแวดล้อม วารสารอนามัยสิ่งแวดล้อมและ/หรือการควบคุมมลพิษ

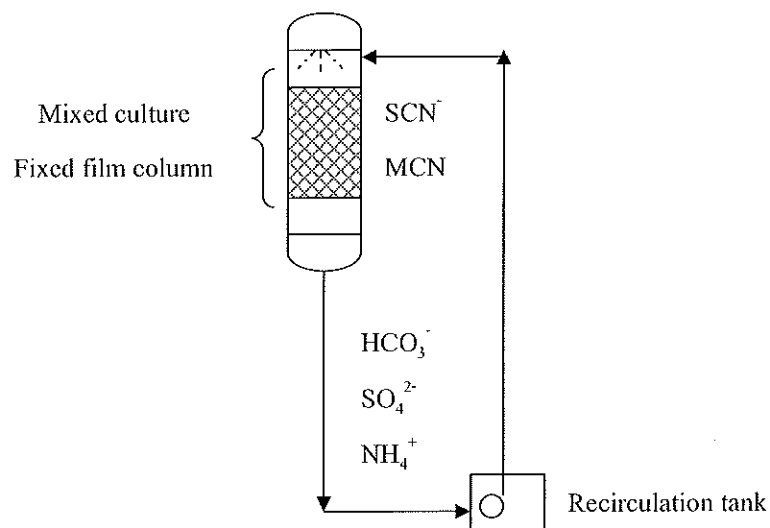
1.5 กรอบแนวความคิดของโครงการวิจัย (Conceptual Framework)

สารประกอบไฮยาไนด์ที่ปนเปื้อนอยู่ในน้ำเสียจากโรงงานอุตสาหกรรมต่างๆ อาจมีมากกว่า 1 ชนิด ไฮโซไซยาเนตและโลหะไฮยาไนด์หรือสารประกอบไฮยาไนด์ด้วยความสำคัญอย่างยิ่ง การย่อยสลายสารประกอบเพียงชนิดใดชนิดหนึ่งมีการศึกษา กันมานาน แต่การศึกษาการย่อยสลายของสารประกอบมากกว่าหนึ่งชนิดนั้นยังไม่ค่อยมีการศึกษามากนัก ดังนั้นในงานวิจัยนี้จึงมุ่งศึกษาการย่อยสลายสารประกอบไฮยาไนด์มากกว่าหนึ่งชนิด ซึ่งไฮโซไซยาเนต (Thiocyanate) ที่ปนเปื้อน

อยู่ในน้ำเสียอาจเกิดปฏิกิริยาระหว่างไฮยาไนด์และชัลไฟฟ์ ดังปฏิกิริยาที่ 1 ขณะเดียวกันโลหะไฮยาไนด์ก็จะทำการกำปฏิกิริยาระหว่างไฮยาไนด์กับโลหะหนัก ดังปฏิกิริยาที่ 2



โลหะไฮยาไนด์และไฮโซไซเดตสามารถถูกย่อยสลายทางชีวภาพได้ ตามปฏิกิริยาที่ 3 และ 4 ขณะเดียวกันการที่เกิดขึ้นจากการย่อยสลายไฮโซไซเดตอาจช่วยปรับสภาพความเป็นเบสที่เกิดจากการบำบัดโลหะไฮยาไนด์ได้อีกด้วย (Whitlock, 1990; Akcil, 2003) ดังนั้นการพัฒนาความสามารถของจุลินทรีย์มาใช้ประโยชน์ในการย่อยสลายโลหะไฮยาไนด์และไฮโซไซเดตจึงมีกรอบแนวคิดของการบำบัดสารประกอบหั้งสองชนิดดังภาพที่ 1.1



ภาพที่ 1.1 กรอบแนวคิดของการย่อยสลายไฮโซไซเดตและโลหะไฮยาไนด์ด้วยจุลินทรีย์รวมกันในระบบฟิกซ์-ฟิล์มในไอลศรับเบอร์

บทที่ 2

ทบทวนวรรณกรรม

2.1 สารประกอบไซยาไนด์

สารประกอบไซยาไนด์ที่ปล่อยออกมากันน้ำเสียจากโรงงานอุตสาหกรรม จะสามารถคงตัว ในสิ่งแวดล้อมในรูปแบบต่างๆ กัน โดยโรงงานอุตสาหกรรมที่เกี่ยวกับการชุมโภหะ การสังเคราะห์ เส้นใย การทำหมึก และการสกัดโภหะ จะทำให้เกิดของเสียที่มีสารประกอบไซยาไนด์จำนวนมาก (Knowles, 1976; Patterson, 1985; Wild, 1987) ซึ่งหากมีสารประกอบไซยาไนด์ตกค้างในน้ำเสีย จะ ก่อให้เกิดผลกระทบทั้งต่อมนุษย์และสิ่งแวดล้อม (Gonclaves et al., 1998) โดยทั่วไปแล้วไซยาไนด์ ไอออนในรูปอิสระจะเกิดขึ้นน้อยมากในธรรมชาติเนื่องด้วยไม่เกิดกันน้ำเสีย แต่เมื่อเกิดปฏิกิริยา (Interaction) ถูก ในการประยุกต์ใช้ในกระบวนการผลิต เช่น สารประกอบของโลหะ เช่น แมกนีเซียม โลหะเหล่านี้มีค่าคงที่ เสถียรภาพ (Stability constant) ต่างกัน ตั้งแต่ต่ำสุด เช่น แมกนีเซียม ($10^{18.9}$) ไปสูงสุด เช่น โคบล็อก ($10^{64.0}$) ซึ่งค่าคงที่เสถียรภาพนี้เป็นตัวบ่งบอกถึงความสามารถของสารประกอบเชิงช้อนที่จะแตกตัว ให้ไซยาไนด์ไอออนอิสระ (Free cyanide) ดังนั้นโลหะเชิงช้อนที่มีเสถียรภาพต่ำจึงเป็นอันตรายต่อ สิ่งแวดล้อมมากกว่า ส่วนสารประกอบพวากเพล็กไซยาไนด์ซึ่งมักพบมากในสิ่งแวดล้อม ก็มีค่าคงที่ เสถียรภาพสูงถึง $10^{35.4}$ สารประกอบเชิงช้อนไซยาไนด์ของโลหะที่ปะปนอยู่ใน สามารถคงทนอยู่ ในสิ่งแวดล้อมได้ขึ้นกับองค์ประกอบของโลหะ เช่น เสถียรภาพของสารประกอบไม่ต่ำกว่า $10^{18.9}$ ใน สภาพของเยื่อง หรือสารละลาย ซึ่งความเข้มข้นของสารประกอบไซยาไนด์ปริมาณสูงๆ ที่ตรวจพบใน ดินและน้ำ มักเป็นผลมาจากการจัดระบบบัน้ำทึ่งที่ไม่เหมาะสม ในกรณีที่เป็นสารละลายองค์ประกอบ ต่างๆ เช่น ค่าความเป็นกรดด่าง (pH) อุณหภูมิ ปริมาณออกซิเจนในน้ำ และการสลายตัวนี้ของจากแสง อัลตราไวโอเลต (ข้อวัด, 2535)

ขณะเดียวกันไซยาไนด์ไอออนมักจะทำปฏิกิริยากับสารอื่นๆ เช่น ทำปฏิกิริยากับธาตุ คำนวนกันจากไฟฟ้าและธาตุอื่นๆ เกิดเป็นไนโตรไซยาเนต (SCN^-) หรือเกิดเป็นสารประกอบเชิงช้อน ของโลหะ หรือออกฤทธิ์และออกฤทธิ์ต่อบรรยากาศ หรือออกฤทธิ์อย่างสลายโดยจุลินทรีย์ หรือออกฤทธิ์โดย กลไกเป็นไซยาเนต (CNO^-) และย่อยสลายทางเคมีกลายเป็นคาร์บอนไดออกไซด์ แอมโมเนียม และ พอร์เมท เป็นต้น (ข้อวัด, 2535)

2.2 ไฮโอลิยาเนต (Thiocyanate: SCN⁻)

การทำปฏิกิริยาของไฮยาไนด์กับกำมะถัน (Sulfur; S) โดยชัลเฟอร์ที่ใช้เกิดจากการทำปฏิกิริยาของปูนขาวหรือไฮยาไนด์กับแร่ Pyrrhotite หรือจากปฏิกิริยาออกซิเดชั่นของ Sulphide ion ซึ่งจะถูกออกจากร่างชัลไฟฟ์ ทำให้เกิดไฮโอลิยาเนต (SCN⁻) ค่าคงที่ของการแตกตัว (Dissociation constant) ของกรดไฮโอลิยาเนต (Thiocyanic acid; HSCN) มีค่าใกล้ๆ ศูนย์ และ SCN⁻ จะปรากฏในสารละลายที่มีค่า pH มากกว่า 2 นอกจานี้ไฮโอลิยาเนต (SCN⁻) ยังสามารถทำปฏิกิริยากับโลหะต่างๆ เช่น เงิน ปรอท ตะกั่ว ทองแดง และสังกะสี เกิดเป็นเกลือที่ไม่ละลายน้ำ เนื่องจากไฮโอลิยาเนตสามารถถูกออกซิไดไซด์ จึงสามารถถลายน้ำได้จากปฏิกิริยาของสิ่งมีชีวิตหรือจากการใช้สารเคมี กล้ายเป็นสารต่างๆ เช่น ไฮยาเนต ในเครื่องแอมโมเนียม ในการรับอนุต และชัลเฟต ซึ่งหากสะสมในปริมาณมากอาจเป็นอันตรายต่อสิ่งมีชีวิตได้ เช่น มีพิษเลียบพลันสูงต่อระบบทางเดินหายใจ เป็นพิษต่อเนื้อเยื่อปอด ทำให้เกิดการระคายเคืองตาและพิวหนังได้ เป็นต้น (บริษัท, 2550; EPA, 1997)

2.3 โลหะหนัก (Heavy Metal)

โลหะหนัก (Heavy metal) หมายถึง โลหะธาตุที่มีความถ่วงจำเพาะตั้งแต่ 5.0 ขึ้นไป โดยไม่รวมโลหะหนักที่เป็นโลหะอัลคาไล และโลหะอัลคาไลน์เออร์ท โดยทั่วไปจะเป็นธาตุในตารางธาตุที่มีเลขอะตอมในช่วง 23-92 อยู่ใน化合ที่ 4-7 (ศุภมาศ, 2540) ส่วนใหญ่เป็นแร่ธาตุในกลุ่มทรานสิชัน (Transition) และ โพสทรานสิชัน (Post transition) ซึ่งรวมถึง Cd, Cr, Cu, Hg, Ni, Pb และ Zn รวมทั้งสารเมทัลโลอิด (Metalloids) เช่น As และ Se (Lester, 1987) โลหะหนักที่พบในสิ่งแวดล้อมโดยทั่วไปมีแหล่งปนเปื้อนของโลหะหนักในสิ่งแวดล้อมหลายแหล่ง แบ่งออกเป็นแหล่งใหญ่ๆ 2 แหล่ง (ศุภมาศ, 2540) ได้แก่

(1) การปนเปื้อนจากธรรมชาติ ได้แก่ การปนเปื้อนของโลหะหนักจากปรากฏการณ์ทางธรรมชาติ เช่น จากหินที่มีโลหะหนักเป็นองค์ประกอบก่อนที่จะเกิดการผุกร่อนหรือถูกกัดเซาะ และการระเบิดของภูเขาไฟ เป็นต้น

(2) การปนเปื้อนจากการกระทำของมนุษย์ ได้แก่ การปนเปื้อนของโลหะหนักจากกิจกรรมต่างๆ ที่มนุษย์ทำขึ้น เช่น การใช้สารเคมีในการเกษตร การทำเหมืองแร่ และน้ำที่จากโรงงานอุตสาหกรรม เป็นต้น

(2.1) การปนเปื้อนจากการใช้สารเคมีทางการเกษตร เช่น ปุ๋ย สารฆ่าแมลง สารกำจัดวัชพืช และสารกำจัดครา โดยในปุ๋ยจะมีตะกั่ว แคดเมียม นิกเกิล ปนอยู่ เมื่อนำมาใช้ก็จะสามารถปนเปื้อนในดินหรือสะสมในพืชได้ หรือในสารกำจัดศัตรูพืชชนิดต่างๆ จะมีโลหะหนักผสมอยู่ เช่น แคดเมียม ทองแดง และสังกะสี ซึ่งเมื่อมีการนำไปใช้ในการเกษตรก็สามารถปนเปื้อนสู่สิ่งแวดล้อม

(2.2) การปนเปื้อนจากการทำเหมืองแร่ เช่น การถลุงแร่สังกะสีจะได้แคนเมียม ซึ่งเป็นกากของสีyah หากไม่มีการกำจัดหรือบำบัดให้ถูกต้อง โลหะหนักนี้ก็อาจจะปนเปื้อนสู่สิ่งแวดล้อมได้ เช่นปนเปื้อนในดิน แหล่งน้ำ อากาศ เป็นต้น

(2.3) การปนเปื้อนจากน้ำทึ่งของโรงงานอุตสาหกรรม เช่น การใช้แคนเมียมในการผลิตสีทาบ้าน สีชูบ โลหะเพื่อป้องกันการกัดกร่อน สีข้อม หมึกพิมพ์ ทองแดง ใช้เป็นส่วนประกอบของสารเคมีและอุปกรณ์ให้ความร้อน ใช้ในอุตสาหกรรมสีทึ่งและผลิตภัณฑ์เซรามิก และสังกะสีใช้เป็นส่วนประกอบของสารเคมีและอุปกรณ์ โลหะหนักเหล่านี้จะปนเปื้อนมากับน้ำทึ่ง ซึ่งถ้าการบำบัดไม่มีคุณภาพก็จะทำให้โลหะหนักปนเปื้อนสู่สิ่งแวดล้อมได้

2.3.1 แคนเมียม (Cadmium: Cd)

แคนเมียมเป็นโลหะที่มีอยู่ในน้ำตามธรรมชาติประมาณ 0.1-0.2 ไมโครกรัมต่อลิตร มีน้ำหนักอะตอมเท่ากับ 112.40 มีจุดหลอมเหลวที่ 321 องศาเซลเซียส และมีจุดเดือดที่ 765 องศาเซลเซียส มีความหนาแน่นเท่ากับ 8.65 กรัมต่อลูกบาศก์เซนติเมตรที่ 20 องศาเซลเซียส (พิมลและชัยวัฒน์, 2539) แคนเมียมมีสมบัติเป็นโลหะอ่อน ตัดได้ง่าย สีขาวแต่ติดไฟได้ มีคุณสมบัติทางเคมีและฟิสิกส์คล้ายกับสังกะสี คือทนทานต่อการผุกร่อน สินแร่แคนเมียม ได้แก่ Grenokit (Hexagonal; CdS), Hewleyite (Cubic; CdS), Cadmoselite (CdSe), Monteponite (CdO), Otavite (CdCO₃), และ Sauvavite หรือ Cadmium metacinaba (Hg, CdS) แคนเมียมในธรรมชาติพบอยู่ร่วมกับสังกะสีและตะกั่วเป็นส่วนใหญ่ แคนเมียมส่วนใหญ่เป็นผลผลิตของกระบวนการถลุงสินแร่สังกะสี อัตราส่วนระหว่างแคนเมียมต่อสังกะสีคือ 1 ต่อ 100 ถึง 1 ต่อ 1,000 แต่มีการนำแคนเมียมมาใช้ประโยชน์อย่างมากทั้งด้านการเกษตรกรรมซึ่งใช้เป็นองค์ประกอบของสารเคมีกำจัดวัชพืช (Herbicide) สารเคมีกำจัดเชื้อราก (Fungicide) ส่วนทางด้านอุตสาหกรรมใช้แคนเมียมเป็นส่วนประกอบในอุตสาหกรรมทำสีทาบ้าน สีชูบ โลหะเพื่อป้องกันการกัดกร่อน สีข้อมเซรามิก เส้นใยแก้ว หมึกพิมพ์ ใช้เป็นส่วนผสมในการทำพลาสติกโพลีไวนิลคลอรอไรด์ (PVC) ใช้ในการชูบ โลหะด้วยไฟฟ้าและใช้ในวงจรอิเล็กทรอนิกส์ชนิดต่างๆ นอกจากนี้ยังใช้แคนเมียมในอุตสาหกรรมเคลื่อนตัวต่างๆ (พิมลและชัยวัฒน์, 2539) จากการใช้ประโยชน์แคนเมียมในด้านต่างๆ ทำให้เกิดการแพร่กระจายของแคนเมียมสู่สิ่งแวดล้อมและการสะสมในระบบอนิเวศน์ตามลำดับห่วงโซ่ออาหาร (Biological accumulation and biological magnification) และสุดท้ายจะทำให้เกิดพิษต่อมนุษย์

2.3.2 สังกะสี (Zinc: Zn)

สังกะสีเป็นธาตุที่มีน้ำหนักอะตอม 65.38 มีจุดหลอมเหลว 419.5 องศาเซลเซียส จุดเดือด 907 องศาเซลเซียส ความหนาแน่น 7.133 กรัมต่อลูกบาศก์เซนติเมตร ที่ 20 องศาเซลเซียส สังกะสีเป็นโลหะสีขาวแกมเทา มีความแข็งแต่ไม่รวมกับสิ่งแวดล้อมและเกิดการสะสมในระบบอนิเวศน์ตามลำดับห่วงโซ่ออาหาร (Biological accumulation and biological magnification) และสุดท้ายจะทำให้เกิดพิษต่อมนุษย์

สำคัญ กือ Zinc blende , Caramine ($ZnCO_3$) และ Zincite (ZnO) (พิมพ์และชัยวัฒน์, 2539) ในยุคศตวรรษที่ 19 ได้มีการนำสังกะสีมาใช้มากขึ้น เช่น ทำโลหะผสมที่ไม่เป็นสนิม เป็นส่วนผสมของเหล็ก ทำวัสดุก่อสร้าง ทำเบปตเตอร์รอกอนต์ นอกจากนี้ Zinc oxide ยังใช้ในผลิตภัณฑ์ยาจ น้ำยาฟอกขาว ใช้เป็นส่วนประกอบของยาบางชนิด เช่น ยาრักษาโรคขาดสารอาหาร และยังใช้เป็นส่วนประกอบของสารผ่านเมล็ดกลุ่มкар์บามेटอิกด้วย สังกะสีจะอยู่ในรูปแบบต่างๆ ของอนไซซ์ในสัตว์เลี้ยงลูกด้วยนมและอยู่ในกระบวนการเมตาบólism ของลิปิดและคาร์โบไไฮเดรต การบินเป็นอนสังกะสีในสิ่งแวดล้อมมีแหล่งที่สำคัญคือการถลุงแร่สังกะสี ทำให้สังกะสีเกิดการแพร่กระจายไปสู่สิ่งแวดล้อมต่างๆ โดยพบว่าสังกะสีที่อยู่ในรูป Zn^{2+} จะสามารถเคลื่อนย้ายได้ในสภาพที่เป็นกรดดังนั้นการแพร่กระจายของสังกะสีสู่สิ่งแวดล้อมจึงเกิดขึ้นได้ทั้งจากธรรมชาติและจากการกระทำการของมนุษย์ ในแหล่งน้ำธรรมชาติความเน้นขั้นของสังกะสีจะขึ้นกับสารประกอบและพันธะเคมีของสังกะสี โดยสังกะสีและออกไซด์ของสังกะสีมีความสามารถในการละลายน้ำเล็กน้อย ส่วนสังกะสีกลอยู่ตัวสามารถละลายน้ำได้ดีและไอออนของสังกะสีในน้ำจะถูกดูดซึมโดยดินตะกอน

2.3.3 ความเป็นพิษของโลหะหนัก

โลหะหนักในสิ่งแวดล้อมสามารถทำงานตามลักษณะทางชีวภาพตามระดับความเป็นพิษต่อสิ่งมีชีวิตได้เป็น 3 กลุ่ม

- (1) โลหะหนักที่มีความเป็นพิษต่ำและพบในปริมาณสูงตามธรรมชาติ เช่น Na, K, Mg, Ca, Fe, Li, Rb และ Sr
- (2) โลหะหนักที่มีความเป็นพิษสูง แม้จะใช้ที่ความเข้มข้นต่ำ เช่น Co, Ni, Cu, Zn, Sn, As, Se, Au, Ag, Hg, Pb, Cd และ Bc
- (3) โลหะหนักที่มีความเป็นพิษแต่พบในปริมาณน้อยตามธรรมชาติ เช่น Ti, Hf, Zr, Nb, Ta, Ga, La และ Ru

2.3.3.1 ความเป็นพิษของแคดเมียม

ความเป็นพิษของแคดเมียมต่อมนุษย์มีทั้งผลเฉียบพลันและผลแบบเรื้อรัง โดยแคดเมียมในอาหารจะถูกดูดซึมเข้าสู่ร่างกายโดยผ่านทางลำไส้ ร้อยละ 3-8 ผ่านระบบทางเดินหายใจ ร้อยละ 13-15 โดยจะไปสะสมที่ไต ร้อยละ 33 สะสมที่ตับร้อยละ 13.8 สะสมที่ตับอ่อน และร้อยละ 3.3 สะสมที่เนื้อเยื่อ ใน 1 วันแคดเมียมสามารถสะสมไว้ในร่างกาย 2 ไมโครกรัม บางครั้งอาจสูงถึง 3-4 ไมโครกรัมในผู้ที่สูบบุหรี่ด้วยผู้ที่อยู่ในบริเวณที่มีแคดเมียมสะสมอยู่ในปริมาณที่สูง ปริมาณ 2 ไมโครกรัมต่อวันนี้จะเพิ่มขึ้นเรื่อยๆตามอายุ เนื่องจากค่าครึ่งชีวิต (Biological half life) ของแคดเมียมนานถึง 16-23 ปี จึงทำให้การถ่ายตัวใช้เวลานาน แคดเมียมที่ปั่นมากับอุจจาระจะถูกขับถ่ายออกจากเยื่อบุ (Mucosal) ในกระเพาะอาหาร ลำไส้ ตับอ่อน น้ำดี และต่อมพาราติด (Pancreas) แคดเมียมปริมาณน้อยๆจะถูกขับถ่ายออกมากับเหลืองผ่านทางผิวนังและเส้นลมสำหรับความ

เป็นพิษเนื้บพลันของแคนเมียม ถ้าได้รับสูงถึง 326 มิลลิกรัมจากอาหาร จะมีอาการปวดหัว ปวดท้อง อ่อนแรง ตามหัวมาก อาเจียน ห่องคืน ถ้าได้รับในปริมาณ 350 มิลลิกรัมถึง 1 กรัม อาจทำให้เกิด อาการซึ้อกและตายภายใน 24 ชั่วโมง แคนเมียมที่กระหายอยู่ในอากาศอยู่ในรูปปีกของแคนเมียมออกไช้ดังถ้าได้รับไอโอดีนเมียมในปริมาณสูงจะเป็นอันตรายต่อปอดอย่างเฉียบพลันภายใน 2-4 ชั่วโมง จะทำให้เกิดอาการปอดอักเสบ เจ็บหน้าอก และตายได้ (วิสุทธิ, 2537) สำหรับพิษเรื้อรังของแคนเมียมถ้า มีการสะสมแคนเมียมในปริมาณสูงจะทำให้มีผลโดยตรงต่อการสร้างกระดูก โดยแคนเมียมจะไปลด การสะสมของชาตุแคลเซียมและจะไม่มีการสะสมคอลลาเจนในกระดูก แคนเมียมจะทำให้ เอนไซม์ไลซิลออกซิดาส (Lysyl oxidase) หมวดประสิตชีภาพ จึงทำให้กระดูกผุกร่อนเสียรูป ถ้า ร่างกายได้รับแคนเมียม 170-500 ไมโครกรัมต่อวัน เป็นเวลานานจะก่อให้เกิดโรคโลหิตจาง ความดัน โลหิตสูง แคนเมียมจะมีผลต่อการทำงานของร่างกายทุกระบบ เช่น ถ้าได้รับแคนเมียมปริมาณ 0.6-1.0 มิลลิกรัมต่อวัน จะทำให้การทำงานของไทด์ปกติส่งผลให้การขับถ่ายไปรตีนออกจากร่างกายมาก เกินไป นอกจากนี้ยังทำลายระบบทางเดินอาหาร ระบบประสาทส่วนกลาง โดยเส้นประสาทสูญ ทำลายทำให้ระบบเมตาบoliซึ่มของชาตุเหล็ก สังกะสี และทองแดงทำงานผิดปกติ มีรายงานการพบ โรคที่เกิดจากพิษของแคนเมียมเป็นครั้งแรกที่เมืองไทยนาม ประเทศญี่ปุ่น โดยเกิดอาการเรื้อรังตั้งแต่ไถล้มเหลว ปวดกระดูก จนถึงกระดูกผิดรูป (Deformed bone) อาการของโรคที่พบมากที่สุดคือ รูสึกเจ็บ จากการปวดกระดูกโดยเฉพาะกระดูกต้นขา กระดูกสันหลัง และกระดูกซี่โครง โรคนี้เรียกว่า โรค อิ-ไท-อิ-ไท (Itai-Itai) WHO กำหนดให้มีปริมาณแคนเมียมในน้ำอุปโภคบริโภคได้ไม่เกิน 0.005 มิลลิกรัมต่อลิตร (Lester, 1987) และแคนเมียมที่ร่างกายยอมรับได้เท่ากับ 20-76 ไมโครกรัมต่อวัน

2.3.3.2 ความเป็นพิษของสังกะสี

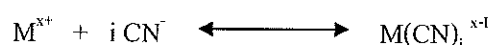
ความเป็นพิษของสังกะสีต่อมนุษย์ สังกะสีสามารถเข้าสู่ร่างกายได้ 2 ทาง คือ ระบบทางเดินอาหาร โดยการบริโภคและต้มน้ำและระบบทางเดินหายใจโดยการหายใจเข้าไป สำหรับการสูดดมน้ำสังกะสีจะอยู่ในรูปของ Zinc chloride ($ZnCl_2$) จะสามารถทำให้เป็นโรคปอดหรือหอบหืดได้ และหากสูดดมเข้าไปในปริมาณมากอาจทำให้เป็นโรควัณโรคได้ สำหรับการรับประทานอาหาร หรือดื่มน้ำที่มีสังกะสีป่นปื่นจะไม่มีอันตรายมากหากมีปริมาณไม่มาก แต่หากรับประทานอาหารที่ มีการป่นปื่นของสังกะสีที่เป็นกัลวาโนิกซ์ (Galvanizi product) ปริมาณ 225-450 มิลลิกรัม หรือในรูปของ Zinc sulfate ($ZnSO_4$) อาจเกิดอาการปวดศรีษะ คลื่นไส้ อาเจียน ท้องร่วง หรืออาจเป็นตะคริว ที่ท้องน้อย (ศุภมาศ, 2540)

2.4 สารประกอบโลหะไซยาไนด์ (Metal cyanide complexes)

ไซยาไนด์จะอยู่ร่วมกับสารประกอบอื่นๆ หรืออุกตรึงอยู่กับโลหะในรูปของสารประกอบเชิงซ้อน ซึ่งแบ่งสารประกอบไซยาไนด์ชนิดต่างๆ ตามลักษณะของโมเลกุล ได้เป็นสารประกอบไซยาไนด์เชิงเดียว (Simple cyanide) และสารประกอบไซยาไนด์เชิงซ้อน (Cyanide complex)

2.4.1 สารประกอบไซยาไนด์เชิงเดียว (Simple cyanide) คือ ไซยาไนด์อิสระ และสารประกอบไซยาไนด์กับโลหะอัลคาไลน์

2.4.2 สารประกอบไซยาไนด์เชิงซ้อน (Cyanide complex) เป็นสารประกอบไซยาไนด์ที่สามารถทำปฏิกิริยาเชิงซ้อนกับโลหะหนักได้ทุกประเภท ซึ่งเกิดขึ้นจากการจับตัวกันของไซยาไนด์ไอออนกับโลหะหนัก (M) ที่ละลายอยู่ในน้ำ ดังสมการ



สารประกอบของไซยาไนด์กับโลหะหนัก เป็นสารประกอบที่ละลายน้ำได้ดีแต่จะมีบางรูปแบบที่ตกตะกอนได้ เช่น กัน โลหะหนักแต่ละชนิดสามารถเกิดสารประกอบเชิงซ้อนได้หลายรูปแบบ และสารประกอบเชิงซ้อนของไซยาไนด์แต่ละแบบจะมีค่าความคงตัว (β_i) แตกต่างกัน ดังตารางที่ 2.1 ซึ่งจะบ่งบอกถึงความแข็งแรงของพันธะโมเลกุล

ตารางที่ 2.1 ค่าคงที่ของค่าความคงตัว (β_i) ของสารประกอบเชิงซ้อนของไซยาไนด์ (Benjamin, 2002; Gherrou and Kerdjoudj, 2002)

โลหะหนัก		$\log \beta$		
เหล็ก (Fe^{2+})	$\text{Fe}(\text{CN})_6^{4-}$	52.44	$\text{FeH}(\text{CN})_6^{2-}$	50
เหล็ก (Fe^{3+})	$\text{Fe}(\text{CN})_6^{3-}$	52.63	-	-
ทองแดง (Cu^+)	$\text{Cu}(\text{CN})_2^-$	24.0	$\text{Cu}(\text{CN})_3^{2-}$	28.6
ทองแดง (Cu^{2+})	$\text{Cu}(\text{CN})_2^-$	-	$\text{Cu}(\text{CN})_3^{2-}$	-
nickel (Ni ²⁺)	$\text{Ni}(\text{CN})_2^-$	14.59	$\text{Ni}(\text{CN})_3^{2-}$	22.64
สังกะสี (Zn^{2+})	$\text{Zn}(\text{CN})_2^-$	11.07	$\text{Zn}(\text{CN})_3^{2-}$	16.05
			$\text{Zn}(\text{CN})_4^{2-}$	16.72

หมายเหตุ: สารประกอบเชิงซ้อนกับทองแดง (Cu^{2+}) ไม่มีการรวมอย่างเป็นทางการ จึงไม่สามารถระบุค่าคงที่ของค่าความคงตัว (β_i) ได้

สารประกอบเชิงซ้อนของไซยาไนด์กับโลหะหนัก แบ่งออกเป็น 3 กลุ่ม ตามความสามารถในการแตกตัว คือ Weak acid dissociable cyanide (WAD cyanide), Moderately strong acid dissociable cyanide และ strong acid dissociable cyanide (SAD cyanide) ดังนี้

2.4.2.1 Weak cyanide complex

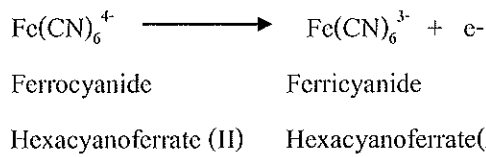
Weak cyanide complex เป็นสารเชิงซ้อนของไซยาไนด์ที่มีพันธะไม่แข็งแรงเนื่องจากสามารถแตกตัวได้ง่าย เมื่อออยู่ในสภาวะที่เป็นกรดอ่อน จึงทำให้มีสีบริการตามค่า pH ที่ต่างกัน เช่น $Zn(CN)_4^{2-}$, $Cd(CN)_3^-$, $Cd(CN)_4^{2-}$ (Botz., 2001) โดยชนิดของโลหะที่มีพันธะเคมีกับไซยาไนด์เป็นปัจจัยสำคัญที่กำหนดความเสถียรของสารเชิงซ้อนเหล่านี้ ซึ่งสารประกอบไซยาไนด์กับสังกะสีและแคนเดเมียมมีความเสถียรต่ำสุด จึงอาจก่อให้เกิดอันตรายต่อสิ่งมีชีวิตและเกิดมลพิษได้

2.4.2.2 Moderately strong cyanide complex

Moderately strong cyanide complex เป็นสารเชิงซ้อนของไซยาไนด์ที่สามารถแตกตัวได้เล็กน้อย เมื่อออยู่ในสภาวะที่เป็นกรดอ่อน เช่น $Cu(CN)_2^-$, $Cu(CN)_3^{2-}$, $Ni(CN)_4^{2-}$, $Ag(CN)_2^-$ โดยสารเชิงซ้อนของไซยาไนด์กับโลหะในกลุ่มนี้สามารถเกิดขึ้นได้อย่างรวดเร็ว เมื่อความเข้มข้นของไซยาไนด์ในสารละลายนั้นเพิ่มขึ้น เรียกว่า Step-wise manner สัดส่วนของสารเชิงซ้อนของไซยาไนด์กับโลหะชนิดต่างๆ กัน จะมีปริมาณแตกต่างกัน ไปจนถึงกับความเข้มข้นของไซยาไนด์ชนิดของโลหะ และ pH ของสารละลายนั้น

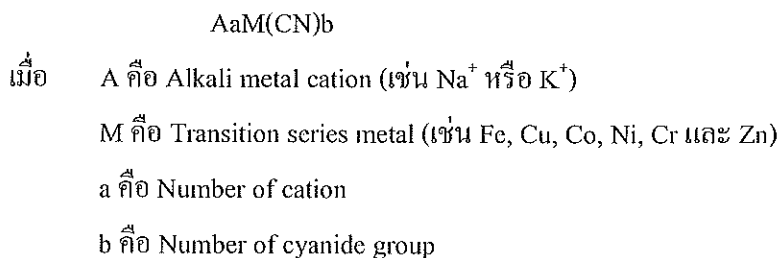
2.4.2.3 Strong cyanide complex

Strong cyanide complex เป็นสารเชิงซ้อนของไซยาไนด์ที่แตกตัวได้ยากเมื่อออยู่ในสภาวะที่เป็นกรดที่อุณหภูมิห้อง แต่สามารถแตกตัวได้ดีในสภาวะที่เป็นกรดแกร่งและอุณหภูมิสูงขึ้น โลหะที่จัดเป็นสารเชิงซ้อนในกลุ่มนี้ ได้แก่ เหล็ก ทองคำ และ โภบอลต์ ซึ่งสามารถตัวซ้ำกันได้มาก สารเชิงซ้อนในกลุ่ม Weak และ Moderately strong complexed cyanide มาก แต่เมื่อจากโภบอลต์เป็นธาตุที่พบบ่อยมากในแร่ ต่างจากเหล็กซึ่งเป็นธาตุที่พบมากในแร่หัวไน ดังนั้นมีอกล่าวถึงสารเชิงซ้อนในกลุ่ม Strong cyanide complex ซึ่งมักหมายถึง เหล็กไซยาไนด์ (Iron cyanide) หรือ Hexacyanoferrate สารเชิงซ้อน Iron cyanide ส่วนใหญ่ประกอบด้วย Ferrocyanide ($Fe(CN)_6^{4-}$) และ Ferricyanide ($Fe(CN)_6^{3-}$) โดยไซยาไนด์จะทำปฏิกิริยากับเหล็กซึ่งออยู่ในสภาพรีดิวซ์ คือ มีประจุ +2 คล้ายเป็นสารเชิงซ้อน Hexacyanoferrate (II) หรือ Ferrocyanide จากนั้น Ferrocyanide จะถูกออกซิได้สืบต่อไปเป็น Hexacyanoferrate (III) หรือ Ferricyanide ซึ่งเหล็กที่ถูกออกซิได้จะมีประจุ +3 ดังปฏิกิริยา



Hexacyanoferrate จัดเป็นสารเชิงซ้อนที่แข็ง เมื่อจากมีความเสถียรสูงและมีความเข้มข้น ไม่มีแสงแผลงเข้ามานัก จึงต้องใช้กระบวนการเชพะ แต่ในสภาพแวดล้อมที่ต้องเผชิญกับแสงอัลตราไวโอเลตที่มีความเข้มสูงๆ

Hexacyanoferrate จะเกิดปฏิกิริยา Photolysis และ Hydrolysis โดยไม่เลกุณ้ำจะเข้าแทนที่ไม่เลกุณ้ำ ไชยาไนด์ในสารเชิงซ้อน ทำให้เกิดการสลายตัวกลาญเป็น Free cyanide ซึ่งอาจส่งผลกระทบต่อสิ่งแวดล้อมได้สารในกลุ่มนี้เมื่อร่วมตัวกับโลหะอีกตัวหนึ่ง (Double metalocyanide complex) จะเกิดตะกอนของสารประกอบเชิงซ้อน ซึ่งถ้าเป็นโลหะอัลคาไลน์จะได้ Alkali-metal cyanide complex ซึ่งมีสูตรทางเคมี ดังนี้



ความเป็นพิษของสารประกอบโลหะไชยาไนด์นั้น จัดเป็นกลุ่มที่เป็นพิษเนื่องจากสามารถแตกตัวให้สารประกอบไฮโดรเจนไชยาไนด์ได้ ซึ่งทำให้เกิดมลพิษต่อสิ่งแวดล้อมและสิ่งมีชีวิต นอกจากนี้สารประกอบโลหะไชยาไนด์ยังมีความเป็นพิษโดยตัวของโลหะเองอีกด้วย (Ebbes, 2004; Baxter and Cummings, 2006)

2.5 เสถียรภาพของสารประกอบไชยาไนด์

ไชยาไนด์อิสระเป็นกลุ่มที่มีเสถียรภาพต่ำสุด เมื่อออยู่ในสภาวะที่เป็นกลางถึงกรดอ่อน Simple cyanide compound ในกลุ่มนี้จะไม่สามารถเปลี่ยนรูปเป็นแก๊สไฮโดรเจนไชยาไนด์ได้อย่างรวดเร็ว ส่วน Complex cyanide เป็นกลุ่มที่มีเสถียรภาพสูงกว่าไชยาไนด์อิสระ โดยที่ Weak cyanide complex และ Moderately strong cyanide complex สามารถแตกตัวได้ยาก เมื่อออยู่ในสภาวะเป็นกรดอ่อน ซึ่งมีเสถียรภาพต่ำกว่ากลุ่ม Strong cyanide complex ทั้งนี้ขึ้นอยู่กับชนิดของโลหะที่มีพันธะเคมีกับไชยาไนด์เป็นปัจจัยสำคัญที่กำหนดความเสถียรของสารเชิงซ้อนในกลุ่มนี้ โดยพบว่าสารเชิงซ้อนของไชยาไนด์กับสังกะสีและแคนเดเมียมมีความเสถียรต่ำสุด ส่วนสารเชิงซ้อนของไชยาไนด์กับเหล็กและโคงอลมีความเสถียรสูงสุด แต่ในสภาวะที่เป็นกรดแก่หรือมีความเข้มแสงสูง สารเชิงซ้อนของเหล็กและโคงอลล์ต้องแตกตัวและให้ไชยาไนด์ออกนได้ โดยค่าความเสถียรของสารเชิงซ้อนของไชยาไนด์กับโลหะชนิดต่างๆ แสดงดังตารางที่ 2.2 จะเห็นได้ว่า สารเชิงซ้อนของไชยาไนด์ในกลุ่มของ Strong cyanide complex จะมีความเสถียรสูงที่สุด

ตารางที่ 2.2 ค่าความเสถียร (Stability constant: log K) ของสารประกอบไชยาไนด์ (U.S. EPA,1994; Meehan, 2000)

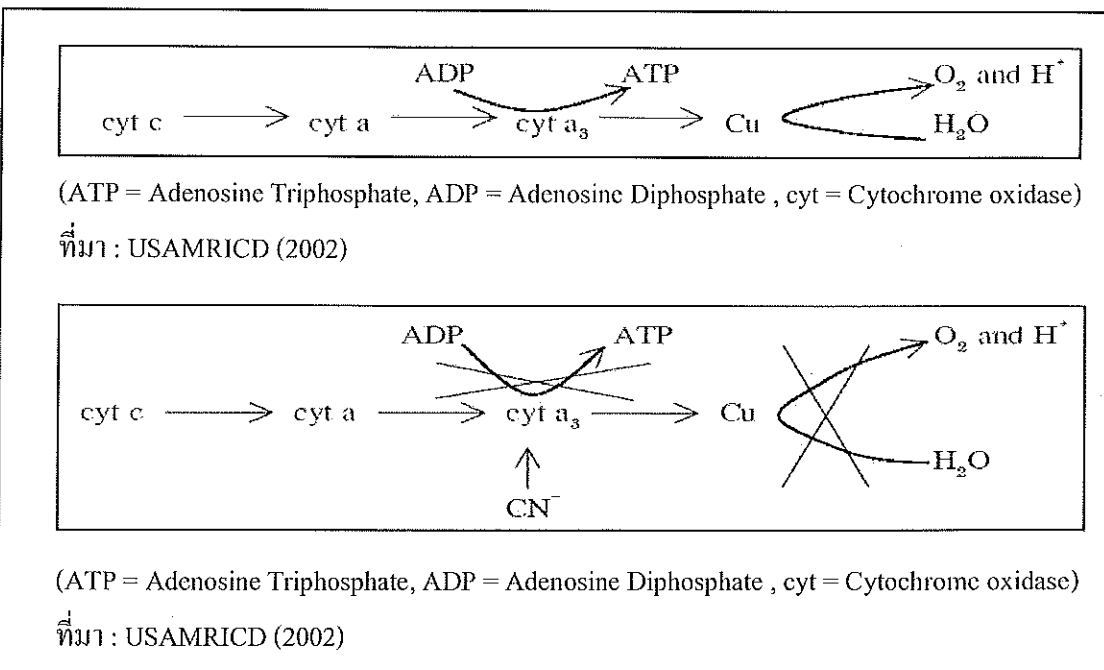
สารเคมี	สูตรเคมี	ค่าความเสถียร (log K)
Hexacyanocobaltate	$[\text{Co}(\text{CN})_6]^{3-}$	64.0
Hexacyanoferrate(III)	$[\text{Fe}(\text{CN})_6]^{3-}$	43.6
Mercurycyanide	$[\text{Hg}(\text{CN})_4]^{2-}$	41.4
Hexacynoferrate(II)	$[\text{Fe}(\text{CN})_6]^{4-}$	35.4
Tetracyanonickelate	$[\text{Ni}(\text{CN})_4]^{2-}$	31.8
Tetracyanocuprate	$[\text{Cu}(\text{CN})_4]^{3-}$	30.3
Dicyanoargenate	$[\text{Ag}(\text{CN})_2]^-$	21.0
Dicyanocuprate	$[\text{Cu}(\text{CN})_2]^-$	18.8
Tetracyanozincate	$[\text{Zn}(\text{CN})_4]^{2-}$	16.9
Tetracyanocadmiate	$[\text{Cd}(\text{CN})_4]^{2-}$	16.8
Zinc Cyanamide	$\text{Zn}(\text{CN})_2$	11.1
Cadmium Cyanide	$\text{Cd}(\text{CN})_2$	11.0
Hexacyanomanganate	$[\text{Mn}(\text{CN})_4]^{3-}$	9.7
Hydrogen Cyanide	HCN	9.2
Zinc Cyanide	ZnCN^+	5.3

อัตราการถ่ายตัวของสารเริงซึ่งอนของไชยาไนด์กับโลหะต่างๆ เป็น Free cyanide นั้นขึ้นอยู่ กับปัจจัยหลายประการ เช่น ความเข้มของแสงแดด อุณหภูมิของน้ำ ค่าความเป็นกรดด่าง ปริมาณ Total dissolved solid และความเข้มข้นของสารเริงซึ่งอนของไชยาไนด์ เป็นต้น โดยพบว่า เมื่อ pH และความเข้มข้นของสารเริงซึ่งอนมีค่าลดลง จะมีผลทำให้เกิด Free cyanide มากขึ้น (Mudder et al., 2001)

2.6 กลไกการเกิดพิษของไชยาไนด์

เมื่อไชยาไนด์เข้าสู่กระแสเลือด ไชยาไนด์จะสามารถสร้างพันธะกับไซโตโครมออกซิเดสได้ ทั้งในรูปออกไซಡ และ รีดิวซ์ โดยรวมตัวกับ Fe^{3+} ในไซโตโครมออกซิเดส (Cytochrome oxydase) ซึ่งเป็น.enoen ไนฟ์ที่ช่วยในการถ่ายทอดอิเลคตรอนในไซโคโนเครียของเซลล์ในระหว่างการ สังเคราะห์ ATP (Adenosin triphosphate) แต่อัตราการเกิดปฏิกิริยากับไซโตโครมออกซิเดสในรูป ออกไซಡจะเกิดขึ้นช้ากว่าการทำปฏิกิริยากับไซโตโครมออกซิเดสในรูปредิวซ์แต่ได้พันธะที่แข็งแรง กว่า เมื่อ=en ไนฟ์ดังกล่าวไม่สามารถทำหน้าที่ได้ เช่นลังไม่สามารถใช้ออกซิเจนในเลือดได้ ทำให้

เกิดภาวะพร่องออกซิเจน (Cytotoxic hypoxia หรือ Cellular asphyxiation) การขาดออกซิเจนทำให้กระบวนการเผาผลาญสารอาหาร (Metabolism) เปลี่ยนจากการบุบการใช้ออกซิเจน (Aerobic) เป็นกระบวนการที่ไม่ใช้ออกซิเจน (Anaerobic) ทำให้เกิดการสะสมแผลเดทในเลือด (Lactate acidosis) จากการเกิดภาวะ Hypoxia และ Lactate acidosis จะทำให้เกิดการครอบคลุมบริเวณส่วนกลาง มีผลให้การหายใจหยุดชะงักและถึงตายได้ กลไกการเกิดพิษของไขยาในคดังแสดงในภาพที่ 2.1



ภาพที่ 2.1 กลไกการเกิดพิษของไขยาในคด

2.6.1 ผลกระทบของไขยาในคดต่อสิ่งมีชีวิต

2.6.1.1 ผลกระทบต่อมนุษย์

ไขยาในคดเป็นสารเคมีที่มีผลกระทบต่อระบบการทำงานของส่วนต่างๆ ของร่างกาย หลักระบบ เช่น

- (1) ระบบเลือด ทำให้ความดันโลหิตต่ำ
- (2) ระบบหัวใจ ทำให้อัตราการเต้นของหัวใจไม่ปกติ
- (3) ระบบหายใจ ทำให้การหายใจลำบาก
- (4) ระบบประสาท ทำให้เกิดอาการมึนงง ชาดสติ
- (5) ระบบสายตา ทำให้ประสิทธิภาพการมองเห็นลดลง
- (6) ระบบการเผาผลาญสารอาหาร ทำให้การสร้างพลังงานลดน้อยลง

ความรุนแรงของอาการจากการได้รับสารพิษไชยาในดีชีนอยู่กับปริมาณความเข้มข้น ชนิดของสารประกอบ ปริมาณการดูดซึบ และระยะเวลาในการสัมผัส ถ้ามีความเข้มข้นสูงอาจถึงตายได้ภายในเวลาไม่กี่นาที อาการขั้นไม่รุนแรง จะมีอาการอ่อนเพลีย หายใจลำบาก ปวดศรีษะ หน้ามืด วิงเวียน กระวนกระวายและอาเจียน ถ้าได้รับในปริมาณไม่นัก ก็จะออกอาการ บริเวณที่สัมผัสไชยาในดีชีน อาการขั้นรุนแรง อาจทำให้การหายใจหยุดชะงัก หมดสติ และอาจถึงตายได้

2.6.1.2 ผลกระทบต่อสิ่งมีชีวิตในน้ำ

สิ่งมีชีวิตในน้ำที่จะได้รับผลกระทบจากพิษของไชยาในดีชีนเป็นกลุ่มของสัตว์น้ำ โดยเฉพาะอย่างยิ่งต่อปลาซึ่งเป็นสัตว์ที่ไวต่อความเป็นพิษของไชยาในดีชีนที่สุด เช่น ความเข้มข้นของไชยาในดีชีน 5-7.2 ไมโครกรัมต่อลิตร มีผลทำให้ว่ายน้ำช้าลง ยับยั้งระบบสืบพันธุ์ ความเข้มข้นของไชยาในดีชีน 20-76 ไมโครกรัมต่อลิตร ทำให้หายใจและถ้าความเข้มข้นสูงกว่า 200 ไมโครกรัมต่อลิตร จะเกิดความเป็นพิษอย่างรุนแรง ส่วนสัตว์ไม่มีกระดูกสันหลัง ที่ความเข้มข้นของไชยาในดีชีนประมาณ 30-100 ไมโครกรัมต่อลิตร ทำให้ถึงตายได้ นอกจากนี้ค่าความเป็นกรด-ด่าง อุณหภูมิ ปริมาณออกซิเจน อายุ (Life stage) และสภาพของสิ่งมีชีวิตก็มีผลต่อระดับความเป็นพิษของไชยาในดีชีนกัน ส่วนสาหร่ายและพืชน้ำสามารถทนทานต่อระดับความเข้มข้นของไชยาในดีชีนได้สูงกว่าปลาและสัตว์ไม่มีกระดูกสันหลังและจะไม่แสดงผลกระทบใดเมื่อความเข้มข้นของไชยาในดีชีน 160 มิลลิกรัมต่อลิตร หรือมากกว่านั้น ปริมาณไชยาในดีชีนที่อยู่ในระดับที่เป็นพิษต่อสัตว์น้ำ แต่จะไม่มีผลกระทบต่อพืชน้ำ

2.6.1.3 ผลกระทบต่อสัตว์เลี้ยงลูกด้วยนม

พิษของไชยาในดีชีนต่อสัตว์เลี้ยงลูกด้วยนมค่อนข้างพบได้บ่อยมาก เนื่องจากพืชจำนวนมากมีสารประกอบไชยาในดี (Cyanogenic plant) เช่น ข้าวฟ่าง ข้าวโพด กะหล่ำปลี เมล็ดอัลมอนด์ และมันสำปะหลัง เป็นต้น ความเข้มข้นของสารประกอบไชยาในดีในพืชเหล่านี้เข้มข้นอยู่กับฤทธิ์ และมันสำปะหลัง เป็นต้น ความเข้มข้นของสารประกอบไชยาในดีในพืชเหล่านี้เข้มข้นอยู่กับฤทธิ์ ความเข้มข้นของสารประกอบไชยาในดีที่สูงขึ้นด้วย นอกจากนี้ สารพอกาคที่แห้งแล้งยังเป็นปัจจัยระดับที่เกิดการสะสมสาร Cyanogenic glycoside ในพืชบางชนิด ค่า LD₅₀ ของสัตว์เลี้ยงลูกด้วยนมจะอยู่ในช่วง 2.1 มิลลิกรัมต่อกิโลกรัมน้ำหนักตัว (สุนัขจิ้งจอก) และ 6-10 มิลลิกรัมต่อกิโลกรัมน้ำหนักตัว (หมูขาว) เมื่อได้รับพิษแบบเฉียบพลัน สัตว์เลี้ยงลูกด้วยนมจะแสดงอาการภายใน 10 นาทีหลังจากการกินอาหารที่มีการปนเปื้อนของไชยาในดี จะมีอาการกล้ามเนื้อกระตุก น้ำลายไหล ปัสสาวะ การหายใจติดขัด การทำงานของกล้ามเนื้อไม่ประสานกัน หอบและซักดูเหมือนว่าวัวจะเป็นสัตว์เลี้ยงลูกด้วยนมที่ไวต่อพิษของไชยาในดีที่สุด รองลงมาได้แก่ แกะ ม้า และ หมู ส่วนความจะเป็นสัตว์ที่ทนต่อพิษของไชยาในดีได้เป็นอย่างดี

2.7 มาตรฐานสารประกอบไฮยาไนด์

2.7.1 ค่ามาตรฐานสารประกอบไฮยาไนด์

ค่าที่กำหนดของแต่ละสถาบันเป็นการกำหนดปริมาณไฮยาไนด์ในรูปไฮยาไนด์อิสระ แต่ไม่ได้มีการกำหนดค่ามาตรฐานสำหรับสารประกอบไฮยาไนด์ในรูปอื่น อย่างไรก็ตาม ได้มีนักวิจัยหลายท่านที่พยายามทำการทดลองความเป็นพิษของสารประกอบไฮยาไนด์ในรูปอื่น เช่น สารประกอบไฮยาไนด์เชิงช้อนกับโลหะ (Metal cyanide complexes) ไฮโซไฮยานาต (Thiocyanate) เป็นต้น

2.7.1.1 สารประกอบไฮยาไนด์เชิงช้อนกับโลหะ (Metal cyanide complexes)

สารประกอบไฮยาไนด์เชิงช้อนกับโลหะจัดเป็นสารประกอบไฮยาไนด์ที่เป็นพิษน้อยกว่าไฮยาไนด์ในรูปอื่น อย่างไรก็ตามสารประกอบเหล่านี้ก็อาจแตกตัวให้สารประกอบไฮโคลเรเจนไฮยาไนด์ ได้ซึ่งทำให้เกิดความเป็นพิษต่อสิ่งแวดล้อมและสิ่งมีชีวิต นอกจากนี้สารประกอบโลหะไฮยาไนด์บางชนิดยังมีความเป็นพิษโดยตัวของโลหะเอง เช่น สารประกอบเงินทองแดง และnickel ไฮยาไนด์ หรือแม้แต่เหล็กไฮยาไนด์ซึ่งไม่เป็นพิษ แต่มีอัมพฤกษ์สกัดแรงแผลก็จะแตกตัวให้ไฮยาไนด์อิสระ ความเข้มข้นของสารประกอบไฮยาไนด์ที่ก่อให้เกิดพิษต่อสิ่งมีชีวิตดังแสดงในตารางที่ 2.3

ตารางที่ 2.3 ความเข้มข้นของสารประกอบไฮยาไนด์ที่ก่อให้เกิดพิษต่อสิ่งมีชีวิต

สารประกอบ	ระดับความเข้มข้น (mg/l)
Sodium cyanide	0.02-0.3
Potassium cyanide	0.02-0.3
Zinc cyanide	0.02-0.3
Cadmium cyanide	0.02-0.3
Copper cyanide	0.4-4.0
Nickel cyanide	0.4 (pH 6.5)-730 (pH 8.0)
Iron cyanide	300 (in darkness)/less than 0.2 (in light)
Iron cyanide (Environmental Australia 1998)	860-1,210 (in dark)/ 35 (in light)

ที่มา : Moran (2000)

2.7.1.2 ไฮโซไฮยานาต (Thiocyanate)

ไฮโซไฮยานาตเป็นพิษต่อมนุษย์ที่ระดับความเข้มข้นเกินกว่า 100 มิลลิกรัมต่อลิตร (ปกติคนที่ไม่สูบบุหรี่จะมีไฮโซไฮยานาต 1-4 มิลลิกรัมต่อลิตรในน้ำเลือด ส่วนคนที่สูบบุหรี่จะมี

ประมาณ 3-12 มิลลิกรัมต่อลิตร) เป็นพิษต่อปลาที่ระดับความเข้มข้น 90-200 มิลลิกรัมต่อลิตร และเป็นพิษต่อปานรูคเทราต์ ที่ระดับความเข้มข้น 24-70 มิลลิกรัมต่อลิตร

2.8 การบำบัดไฮโดรไซยาเนตและโลหะไฮยาในด้วยกระบวนการทางชีวภาพ

สารประกอบไฮยาในดีเป็นสารที่มีความเป็นพิษสูงในสิ่งมีชีวิต โดยเฉพาะในระบบทางเดินหายใจ แต่ยังคงมีการใช้สารประกอบไฮยาในดีในปริมาณมากตามโรงงานอุตสาหกรรม เพื่อเป็นการรักษาสิ่งแวดล้อมและทรัพยากรน้ำ จึงต้องมีการบำบัดน้ำเสียที่มีส่วนผสมของสารประกอบไฮยาในดี ก่อนการปล่อยลงสู่สิ่งแวดล้อม แต่วิธีการทางเคมีมีค่าใช้จ่ายสูงและใช้สารเคมีที่เป็นอันตราย และยังไม่สามารถลดสารประกอบไฮยาในดีได้อย่างสมบูรณ์ ดังนั้นจึงได้มีการนำวิธีการทางชีวภาพเข้ามาใช้ในการบำบัดสารประกอบไฮยาในดี เนื่องจากมีค่าใช้จ่ายไม่สูงและไม่เป็นพิษต่อสิ่งแวดล้อม (Dubey and Holmes, 1995) ทั้งนี้ จุลินทรีย์มีระบบเอนไซม์และกระบวนการการถ่ายสารประกอบไฮยาในดีเฉพาะตัว จึงสามารถใช้สารประกอบไฮยาในดีเป็นแหล่งของการบ่อนและ/หรือในโตรเจนเพื่อการเจริญเติบโต และเข้าทำปฏิกิริยาเพื่อเปลี่ยนสารประกอบไฮยาในดีให้เป็นแอมโมเนียการบ่อนไดออกไชด์มีเทน ในไครท์ ในเตรท ในการบ่อนเนต ชัลเฟต (Gantzer and Maier, 1990; Chapatwala et al., 1998; Chakraborty and Veeramani, 2006; Jeong and Chung, 2006; Sirianuntapiboon and Chuamkaew, 2007; Potivichayanon and Kitleartpornpairoat, 2010) ขึ้นอยู่กับชนิดของสารประกอบไฮยาในดี ซึ่งในการศึกษาวิจัยส่วนใหญ่จะแยกทำการบำบัดสารประกอบไฮยาในดีแต่ละชนิด เช่น การย่อยถ่ายไฮยาในดี การย่อยถ่ายไฮโดรไซยาเนต การย่อยถ่ายโลหะไฮยาในดี (Silva-avalos et al., 1990; Hung and Pavlostathis, 1997; Barclay et al., 1998; Patil and Paknikar, 2000; Jeong and Chung, 2006; Dash et al., 2009; Gurbuz et al., 2009; Potivichayanon and Kitleartpornpairoat, 2010) ดังนั้นการศึกษาวิจัยครั้งนี้จึงได้ออกแบบทำการพัฒนาความสามารถของจุลินทรีย์ในการย่อยถ่ายสารประกอบไฮยาในดีมากกว่าหนึ่งชนิดเพื่อให้สามารถประยุกต์ใช้จริงในการบำบัดน้ำเสียจากโรงงานอุตสาหกรรมซึ่งมีการป่นเปื้อนสารประกอบไฮยาในดีมากกว่าหนึ่งชนิดได้

2.8.1 ปัจจัยที่เกี่ยวข้องในการบำบัดไฮยาในดีด้วยจุลินทรีย์

การบำบัดไฮยาในดีด้วยจุลินทรีย์จะให้ประสิทธิภาพสูง เมื่อมีการควบคุมปัจจัยต่างๆ ให้เหมาะสม ดังนี้

2.8.1.1 อุณหภูมิที่เหมาะสม

อุณหภูมิที่เหมาะสมในการบำบัดด้วย Aerobic bacteria และ Anaerobic bacteria คือ 10-30°C และ 25-45 °C ตามลำดับ

2.8.1.2 ความเป็นกรด-ด่าง (pH)

ค่า pH ที่เหมาะสมในการบำบัดด้วย Aerobic bacteria และ Anaerobic bacteria ต้องอยู่ 6.0 ถึง 9.0 และ 6.5 ถึง 7.0 ตามลำดับ

2.8.1.3 ปริมาณออกซิเจน

ควบคุมปริมาณออกซิเจนให้เพียงพอหรือมีปริมาณมากกว่า 1 - 2 มิลลิกรัมต่อลิตร ในการบำบัดด้วย Aerobic bacteria ส่วนการบำบัดด้วย Anaerobic bacteria นั้นจะต้องไม่มีออกซิเจนโดย

2.8.1.4 สารอาหารจำเป็น

จัดเตรียมสารอาหารที่จำเป็นสำหรับการเจริญเติบโตของจุลินทรีย์ ประกอบด้วย ในไตรเจนและฟอสฟอรัสให้เพียงพอ

2.8.2 กระบวนการย่อยสลายไฮโดรไซยาเนตและโลหะไหลยานในตัวทางชีวภาพ

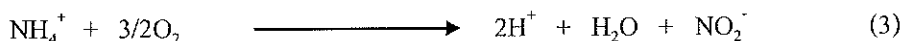
ในกระบวนการ Aerobic biological treatment ไฮยาไนด์จะถูกออกซิไดซ์ด้วย จุลินทรีย์หลายสายพันธุ์ เช่น *Pseudomonas*, *Alcaligenes* และ *Achromobacter* กล้ายเป็นไฮยาเนตดังปฏิกิริยา



ส่วน Weak-moderately strong cyanide complex จะถูกกำจัดออกโดยสารเรืองซึ่นโลหะจะถูกดูดซึบน Biofilm ซึ่งเป็นแบบที่เรียกว่ารวมตัวกันเป็นอยู่บนตัวกลาง จากนั้นไฮยาไนด์จะถูกเปลี่ยนไปเป็นไฮยาเนต ขณะที่ Iron cyanide จะไม่ถูกทำให้สลายไป แต่จะถูกกำจัดด้วยการตกตะกอน (Precipitation) และการดูดซึบ (Adsorption) นอกจากนี้จุลินทรีย์ยังสามารถไฮยาเนตปริมาณมากที่ถูกผลิตขึ้นเป็นแอมโมเนียม (NH_3^+) และไบคาร์บอเนต (HCO_3^-) และไฮโดรไซยาเนตจะถูกเปลี่ยนไปเป็นแอมโมเนียม และไบคาร์บอเนต ดังปฏิกิริยา



แอมโมเนียมจะถูกออกซิไดส์ด้วยจุลินทรีย์ที่สามารถดูริงในไตรเจน (Nitrifying organisms) กล้ายเป็นในไนโตรท (Nitrite) และไนเตรท (Nitrate) ตามลำดับ



โดยปฏิกิริยาสุทธิแสดงดังปฏิกิริยาที่ 5 จะพบว่าเป็นปฏิกิริยาที่ใช้ด่าง แต่ได้กรดเป็นผลิตผล จึงจำเป็นต้องรักษาระดับความเป็นด่างขณะเกิดปฏิกิริยาให้เหมาะสม



จากนั้นในไตรต์และในเตอร์จะถูกเปลี่ยนเป็นแก๊สในไตรเจนด้วยชุลินทรีย์ในสภาพที่ไร้ออกซิเจน ดังปฏิกิริยาที่ 7



รวมของทั้ง 2 ปฏิกิริยา แสดงดังปฏิกิริยาที่ 8



กระบวนการกำจัดไฮยาไนด์ด้วยชุลินทรีย์เป็นกระบวนการที่ง่ายไม่ซับซ้อน ราคาไม่แพง และสามารถนำบัดไฮยาไนด์ได้ทุกรูปแบบรวมถึง Iron cyanide โดยโลหะจะถูกกำจัดออกด้วยกระบวนการดูดซับ (Adsorption) และการตกตะกอน (Precipitation) ในรูปของชัลไฟฟ์ นอกจากนี้ การกำจัดไฮยาไนด์แล้ว ยังสามารถกำจัดสารประกอบไฮยาไนด์อื่นๆ ได้อีกด้วย เช่น ไฮโซไฮยาเนต ไฮยาเนต แอมโมเนียม ในเตอร์ท แซลเฟต

2.9 กลไกการกำจัดโลหะหนักโดยแบคทีเรีย

แบคทีเรียมีกลไกการกำจัดโลหะหนักหลายวิธี มีการแบ่งตามหลักเกณฑ์ดัง ๆ เช่น

2.9.1 ขึ้นอยู่กับ metamabiosis ของเซลล์

โดยการกำจัดโลหะหนักของแบคทีเรียสามารถเกิดขึ้นจาก 2 กระบวนการใหญ่ ๆ คือ การใช้พลังงานและไม่ใช้พลังงาน ในกระบวนการที่ใช้พลังงานนั้นเป็นการนำพลังงานจากกลไกการเมtabolism มาใช้ในการกำจัดโลหะหนัก ส่วนในกระบวนการที่ไม่ใช้พลังงานนั้นแบคทีเรียจะกำจัดโลหะหนักโดยใช้สมบัติทางเคมีและทางกายภาพของผนังเซลล์แบคทีเรีย หรือเมtabolite ที่แบคทีเรียสร้างขึ้น

2.9.1.1 การกำจัดโลหะหนักของแบคทีเรียโดยการใช้พลังงาน

(1) การตกตะกอนโดยแบคทีเรีย (Precipitation) เกิดจากการที่แบคทีเรียผลิตหรือปล่อยสารซึ่งสามารถทำปฏิกิริยากับโลหะหนักแล้วทำให้เกิดสารประกอบโลหะหนักที่ไม่ละลายน้ำ เช่น การผลิตไฮไตรเจนชัลไฟฟ์ (Sulfate reducing bacteria) และทำให้เกิดสารประกอบโลหะชัลไฟฟ์ แบคทีเรียกลุ่มนี้ ได้แก่ *Desulfovibrio* และ *Desulfotomaculum* เป็นต้น นอกจากนี้ *Citrobacter*

ยังสามารถสร้างเอนไซม์ฟอสฟานเตスマายอยกตีเซอรอล-2-ฟอสเฟต แล้วปล่อย HPO_4^{2-} ซึ่งสามารถตกลงกันแคดเมียม มากกว่า และยูเรเนียม ได้ (Brierley, 1990)

(2) การสะสมโลหะหนักภายในเซลล์ (Intracellular bioaccumulation) เกิดขึ้นจาก 2 กระบวนการ โดยเริ่มจากการจับโลหะหนักไว้ที่ผนังเซลล์ของแบคทีเรีย จากนั้นโลหะหนักจะถูกส่งผ่านเข้าไปภายในเซลล์โดยใช้พลังงาน ซึ่งเป็นกระบวนการเดียวกับการขนส่งแมกนีเซียมและโพแทสเซียมเข้าออกผนังเซลล์ แบคทีเรียสมกถุ่ม *Pseudomonas maltophilia*, *Staphylococcus aureus* สามารถสะสมโลหะเงินได้ 300 มิลลิกรัมต่อกิโลกรัมน้ำหนักแห้ง (Brierley, 1990) และ *Klebsiella aerogenes* สามารถสะสมแคดเมียม และสารประกอบชั้นไฟฟ์อนินทรีย์ภายในเซลล์ในสัดส่วนความเข้มข้นที่ใกล้เคียงกัน ซึ่งมีผลให้มีการสร้างแคดเมียมชั้นไฟฟ์ขึ้นภายในเซลล์ (Aiking et al., 1984)

(3) การเกิดปฏิกิริยาออกซิเดชัน-รีดักชัน ซึ่งการกำจัดโลหะหนักของแบคทีเรียสามารถเกิดขึ้นได้ทั้งปฏิกิริยาออกซิเดชันและรีดักชัน เช่น แบคทีเรียและสปอร์ของ *Bacillus* sp. สามารถออกซิได้แมลงกานีสเป็นแมลงกานีสออกไซด์ที่ไม่ละลายน้ำ นอกจากนี้ *Bacillus*, *Thiobacillus*, *Micrococcus*, *Rhodopseudomonas* และ *Pseudomonas* สามารถตีความเชิงฟอโรกอิโอน (Fe^{3+}) เป็นเฟอร์รัส (Fe^{2+}) ซึ่งเกิดจากปฏิกิริยาการขนถ่ายอิเล็กตรอนของแบคทีเรีย ส่วน *Alteromonas putrefaciens* สามารถเจริญได้โดยการรีดิวเซ็แมลงกานีสออกไซด์ภายใต้สภาวะที่ไร้อากาศ โดยจะใช้แมลงกานีสอ่อนเป็นตัวรับอิเล็กตรอนสุดท้ายในกระบวนการเมtabolizm (Brierley, 1990)

(4) การเติมหมู่เมทธิล (Methylation) และการกำจัดหมู่เมทธิล (Demethylation) เป็นกระบวนการที่แบคทีเรียใช้ในการเปลี่ยนรูปโลหะหนักในสภาพแวดล้อม โดยการเติมหมู่เมทธิลสามารถเปลี่ยนรูปโลหะหนักบางชนิดที่อยู่ในน้ำและดินไปสู่บรรยากาศได้ ส่วนการกำจัดหมู่เมทธิลทำให้เกิดสารประกอบโลหะอนินทรีย์ขึ้นซึ่งเป็นรูปที่จุลินทรีย์นิคอื่นสามารถเปลี่ยนรูปต่อไปได้อีก (Brierley, 1990)

2.9.1.2 การกำจัดโลหะหนักของแบคทีเรียโดยไม่ใช้พลังงาน

(1) การกำจัดโลหะหนักของแบคทีเรียโดยไม่ใช้พลังงานเป็นการจับโลหะหนักโดยสารที่แบคทีเรียปล่อยออกสู่ภายนอกเซลล์ เกิดขึ้นเมื่อแบคทีเรียผลิตสารสำหรับจับกับโลหะหนัก ขึ้นภายนอกเซลล์หรือปล่อยออกสู่ภายนอกเซลล์ ซึ่งสารนี้อาจมีสมบัติในการจับโลหะ (Chelating agent) เช่น ไซเดอโรฟอร์ (Siderophores) และ โพลิเมอร์ที่แบคทีเรียสร้างขึ้น โดยในการสร้างสารเหล่านี้แบคทีเรียต้องใช้พลังงานในกระบวนการเมtabolizm แต่ในกระบวนการที่สารเหล่านี้จับกับโลหะหนักไม่ต้องการพลังงานจากแบคทีเรีย แบคทีเรียที่สามารถผลิตไซเดอโรฟอร์ได้แก่ *Pseudomonas*, *Actinomyces*, *Azotobacter* และ *Arthrobacter* ส่วน โพลิเมอร์ที่ผลิตโดยแบคทีเรียประกอบด้วย โพลีแซคคาไรด์ โปรตีน และกรดnicicicicik ซึ่งเป็นหมู่ฟังก์ชันที่สามารถจับกับอิโอนโลหะหนักและตกตะกอนร่วมกันได้ (Brierley, 1990) โพลิเมอร์ที่สร้างขึ้นอาจอยู่ในรูปเมื่อกรูปที่หลุด

แยกจากเซลล์ (Slime) หรือเป็นแคปซูล (Capsule) ที่ติดแน่นกับผนังเซลล์ได้ (Kasan, 1993) สำหรับนิวคลีโอ โปรตีนของเชื้อ *Polyangium, Myxococcus, Bacillus, Leuconostoc, Flavobacterium, Micrococcus* และ *Alcaligenes* สามารถใช้สำหรับตกตะกอนโลหะหนักในการบำบัดน้ำเสียได้ (Bomstein et al., 1972)

(2) การกำจัดโลหะหนักโดยผนังเซลล์ กระบวนการกำจัดโลหะหนักโดยผนังเซลล์ประกอบด้วย 3 วิธี คือ การแลกเปลี่ยนประจุ (Ion exchange) การตกตะกอน (Precipitation) และการเกิด Complexation โดยผนังเซลล์ของแบคทีเรียแกรมลบมีคุณสมบัติต่างกัน คือ ผนังเซลล์ของแบคทีเรียแกรมบวก เช่น *Bacillus* มีประสิทธิภาพสูงในการจับกับโลหะหนักเนื่องจากประกอบด้วยร่างแข็งของเปปติโดไกลแคน (Peptidoglycan) ที่หนาและจับสารไม่เลกูล่าอยู่นานนิด นอกจากนี้ผนังเซลล์ของแบคทีเรียแกรมบวกบางชนิดจะประกอบด้วยกรดไทโคอิก (Teichoic acid) และกรดไทคูโรนิก (Teichuronic acid) ซึ่งมีผลให้ประจุของผนังเซลล์เป็นลบ และพันธะฟอฟโฟไ/do/เอสเทอร์ (Phosphodiester bond) ของกรดสองชนิดนี้จะให้หน้าร่องออกซิลทำให้เกิดการแลกเปลี่ยนประจุที่ผนังเซลล์ได้ ส่วนผนังเซลล์ของแบคทีเรียแกรมลบมีข้อจำกัดในการจับกับโลหะหนักเนื่องจากผนังเซลล์ประกอบด้วยชั้นเปปติโดไกลแคนที่บาง (Brierley, 1990)

2.9.2 จับกับตำแหน่งที่แบคทีเรียกำจัดโลหะหนัก

โดยการกำจัดโลหะหนักของแบคทีเรียสามารถเกิดขึ้นได้ที่บริเวณต่างๆ บนเซลล์แบคทีเรียดังนี้

2.9.2.1 การสะสมโลหะหนักภายในเซลล์

การสะสมโลหะหนักของจุลินทรีย์ ประกอบด้วย 2 ชั้นตอน โดยเริ่มจากการจับกับโลหะหนักไว้ที่ผนังเซลล์ของแบคทีเรีย จากนั้นโลหะหนักจะถูกส่งผ่านเข้าไปภายในเซลล์โดยใช้พลังงาน โดยมีกลไกการขนส่งสารอยู่ 3 กระบวนการ ได้แก่ การแพร่ระ漫ธรรมชาติ (Diffusion) การแพร่แบบ Facilitated diffusion และกระบวนการแรกที่พ ทราบสปอร์ต (Active transport) เป็นการขนส่งไปอ่อนหรือสารผ่านเยื่อหุ้มเซลล์โดยอาศัยพลังงาน การสะสมภายในเซลล์เกิดขึ้นได้ยาก เพราะต้องขึ้นกับปัจจัยต่างๆ หลายประการ เช่น สภาพแวดล้อม ความจำเพาะของสารที่จะส่งผ่านเยื่อหุ้มเซลล์ สภาพสิ่ริวิทยาของชั้ตราเมตาบอลิซึมของจุลินทรีย์ ซึ่งถ้าอยู่ในระดับต่ำเซลล์จะมีพลังงานไม่พอที่จะใช้ในการกระบวนการแรกที่พ ทราบสปอร์ต เพื่อนำสารเข้าสู่เซลล์

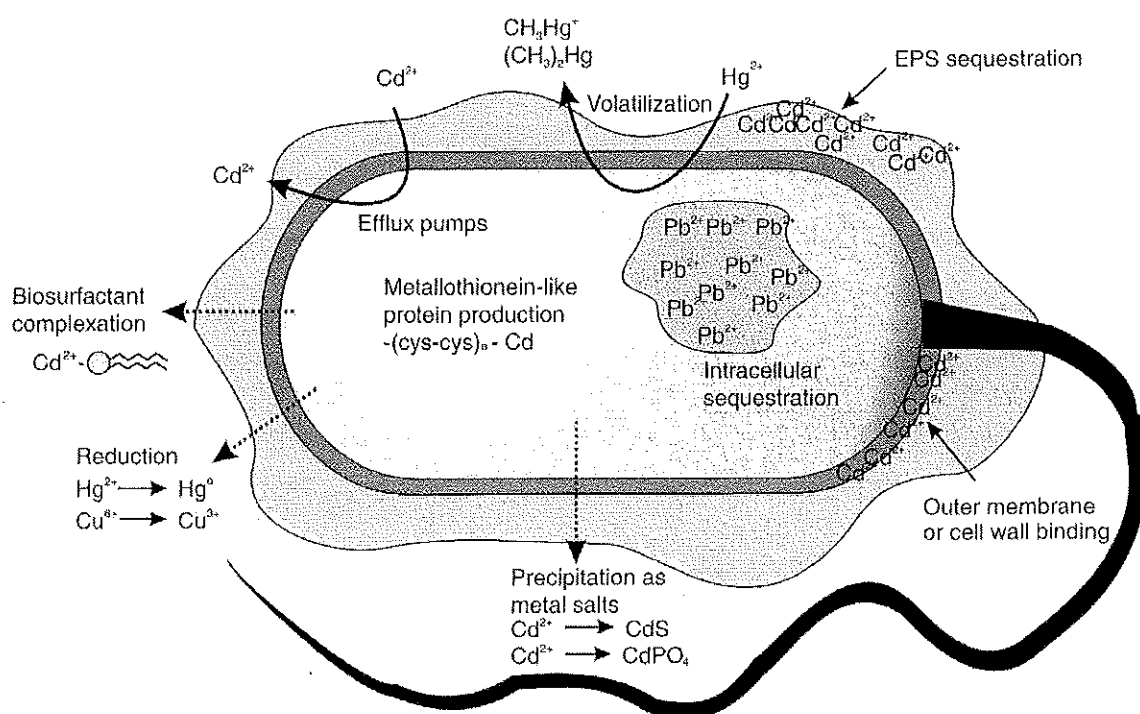
2.9.2.2 การสะสมโลหะหนักภายนอกเซลล์

เป็นการกำจัดโลหะหนักที่เกี่ยวข้องกับกระบวนการทางทางเคมีและโครงสร้างภายในเซลล์จุลินทรีย์ โดยแบคทีเรียจะกำจัดโลหะหนักจากสารละลายไว้ที่ผนังเซลล์ ซึ่งสามารถสะสมและตกตะกอนได้ที่บริเวณผิวเซลล์ โดยมีการเข้ามกันบางส่วนของโลหะกับบริเวณผิวที่ถูกกำจัดกระบวนการกำจัดที่เกิดที่ผิวเซลล์สามารถเกิดได้ทั้งในชีวมวลที่ไม่มีชีวิต หรือชีวมวลที่มีชีวิต ชีวมวล

จุลินทรีย์ที่ติดอยู่ในระบบการกำจัดจะมีความสามารถในการกำจัดสารได้มากกว่าเชื้อมวลด้วยวิธีดูดซึ�บ (Voleskey, 1990) โดยเกี่ยวข้องกับกลไกการแยกเปลี่ยนแคทไอโอน (Ion-exchange) การเกิดสารประกอบเชิงซ้อน (Complexation) และการตกตะกอน (Precipitation) กระบวนการเหล่านี้อาจเกิดขึ้นกระบวนการเดียวหรือหลาย ๆ กระบวนการ เช่นอยู่กับชนิดของโลหะ และชนิดของจุลินทรีย์

2.9.2.3 การจับโลหะหนักโดยสารที่แบคทีเรียปล่อยออกสู่ภายนอกเซลล์

จากการผลิตสารเมตาโบไลต์ (Metabolite) แล้วขับออกนอกเซลล์เพื่อสร้างสารประกอบเชิงซ้อนกับโลหะหนักทำให้ความเข้มข้นของโลหะหนักในสารละลายลดลง ได้ ความหลากหลายของโพลิเมอร์ชีวภาพที่จุลินทรีย์ผลิตขึ้นมา มีความสามารถในการจับโลหะ ได้แก่ต่างกัน โพลิเมอร์ชีวภาพได้แก่ โพลีแซคคาไรด์ โปรตีน และ โพลีนอล รวมทั้งโพลิเมอร์อื่นๆ ที่มีความสัมพันธ์กัน โดยโลหะอาจเกิดแรงกระแทกแบบไออกอนิกกับประจุลบของ พอดิเมอร์ชีวภาพที่อาจทำปฏิกิริยากับโลหะ เช่น หมู่ไชโอล (-SH) โดยชัลเฟอร์จะเป็นอะตอนผู้ให้ ความสามารถในการละลายของโพลิเมอร์ชีวภาพจะแปรผันตามน้ำหนักโมเลกุลของโพลิเมอร์ ชนิดของโพลิเมอร์และสภาพแวดล้อม โพลีแซคคาไรด์จะประกอบไปด้วย โนโนเมอร์เปต้า 1-4 กลูโคสซึ่งเรียกว่า โนโนแซคคาไรด์ซึ่งพบได้ทั้งพืช สัตว์ รวมทั้งจุลินทรีย์ มีความสามารถแตกต่างกันที่สำคัญของโพลีแซคคาไรด์ที่ถูกสร้างโดยจุลินทรีย์ คือ แบคทีเรียอาจสร้างโพลิเมอร์ออกมายกายนอกอย่างไม่แน่น โดยยึดเหนี่ยวกับผนังเซลล์หรืออาจสร้างชั้นเจลลาริน หรือแคปปูลาออกมายกนังเซลล์ ได้ ซึ่ง โพลิเมอร์ที่มีสภาพเป็นกรดที่จุลินทรีย์สร้างขึ้นมาเหล่านี้จะมีลักษณะเป็นไซโตรฟิลลิก และมีข้อดีสามารถจับกับโลหะได้ โดยทั่วไป โพลิเมอร์เหล่านี้จะประกอบด้วยเพนโนส อะกโซส เสปโตส น้ำตาลอะมิโน และกรดอะซูโรนูโคลิก ขึ้นอยู่กับสายพันธุ์ของแบคทีเรีย ใน การผลิตโพลิเมอร์ขึ้นมา และขับออกนอกเซลล์ของจุลินทรีย์ แต่ละชนิดอาจแตกต่างกันทั้งปริมาณ และ โครงสร้าง โนโนเลกุลซึ่งขึ้นกับสภาพการเจริญในแบคทีเรียบางชนิดการเพิ่มปริมาณ โพลิเมอร์จะขึ้นกับการใช้ไปในการจับโลหะด้วย โพลิเมอร์ไม่เพียงแต่จับไออกอนของโลหะหนักเท่านั้นแต่ยังเข้าสู่ล็อกรอน (Entrap) อนุภาคโลหะที่ไม่ละลายน้ำด้วย (ทินพันธุ์, 2545) การใช้แบคทีเรียสายพันธุ์ *Sphingomonas paucimobilis* กำจัดแคคเมียโนจากน้ำเสียเทศบาลกรุงเทพฯ พบร่วมกับแบคทีเรียชนิดนี้สามารถเริบง ได้ในอาหารที่มีแคคเมียโนถึง 200 มิลลิกรัมต่อลิตร และสามารถกำจัดแคคเมียโนได้ 84 % (Tangaromsuk , 2002) กลไกการลดความเป็นพิษโลหะหนักของแบคทีเรียดังแสดงในภาพที่ 2-2



ภาพที่ 2.2 กลไกการลดความเป็นพิษโลหะหนักของแบคทีเรีย (Raina et al., 2009)

2.10 การทนต่อพิษโลหะหนักของแบคทีเรีย

การดำรงชีวิตอยู่ได้ในสิ่งแวดล้อมที่มีการเปลี่ยนแปลง เช่น การขาดแคลนอาหาร การเปลี่ยนแปลงอุณหภูมิ และค่าความเป็นกรด-ด่าง แบคทีเรียจึงต้องปรับตัวเข้ากับสิ่งแวดล้อมเพื่อความอยู่รอด ก่อให้เกิดวิวัฒนาการในการเปลี่ยนแปลงสารพันธุกรรมหรือยีน เนื่องจากการได้รับการกระตุ้นจากโลหะหนักทำให้แบคทีเรียสามารถมีชีวิตอยู่ร่วมกับโลหะหนักได้โดยการควบคุมกลไกการทนต่อโลหะหนักของแบคทีเรียด้วยยีนที่เกิดการกลายพันธุ์ โลหะหนักบางชนิดเป็นชาต้อหารที่จำเป็นในปริมาณน้อย เช่น ทองแดง สังกะสี โครเมียม nickel โดยใช้เป็นองค์ประกอบในการสร้างเอนไซม์และการเจริญเติบโตของแบคทีเรีย แต่โลหะหนักส่วนใหญ่เป็นโลหะที่ไม่จำเป็นและมีความเป็นพิษต่อแบคทีเรีย โดยการทำปฏิกิริยากับองค์ประกอบที่สำคัญต่างๆ ภายในเซลล์ด้วยพันธุ์ความเลนท์และพันธุ์ไออ้อนิก ที่ความเข้มข้นสูง โลหะหนักทั้งที่จำเป็นและไม่จำเป็นมีความเป็นพิษโดยจะทำลายเยื่อหุ้มเซลล์ เปลี่ยนแปลงความเฉพาะต่อเอนไซม์ รบกวนการทำหน้าที่ขององค์ประกอบภายในเซลล์ และทำลายโครงสร้างเดื่อเอ็นโซ แบคทีเรียจึงต้องมีการพัฒนาเพื่อให้ทนต่อโลหะหนัก โดยมีการสร้างกลไกในการต้านทานพิษของโลหะหนักที่ปะปนอยู่ในสิ่งแวดล้อม

2.10.1 กลไกการทนต่อโลหะหนักของแบคทีเรีย

2.10.1.1 การใช้ออนไซม์

โดยการใช้ออกซิเดต (Oxidases) และเอนไซม์รีดักเตต (Reductase) ในการเปลี่ยนไอออนจากโลหะที่เป็นพิษมาก เป็นโลหะที่มีพิษน้อยหรือมีเอนไซม์อัลกิเลติง (Alkylating) และเอนไซม์ดีอัลกิเลติง ไลอส (Dealkylating lyases) ที่เพิ่มและกำจัดพันธะ โควาเลนท์ของสารประกอบที่เป็นโลหะอินทรี สำหรับการรีดักชัน (Reduction) และการดีอัลกิเลชัน (Dealkylation) เป็นกลไกหลักในการต้านทานสารประกอบอินทรีอันที่ร้ายของproto ส่วนอาเซนิกใช้กระบวนการออกซิเดชัน (Oxidation) และโครเมตใช้กระบวนการรีดักชัน (Reduction) เป็นกลไกการต้านทานไอออนโลหะหนักของแบคทีเรีย

2.10.1.2 การจับโลหะที่ผนังเซลล์หรือภายในเซลล์

โดยการใช้การจับโลหะหนักที่ผนังเซลล์หรือภายในเซลล์โดยใช้สารประกอบที่มีความเฉพาะเจาะจงในการจับ เช่น Metallothionein และ Metallopeptides (Paziradeh et al., 1998)

2.10.1.3 การลดการนำเข้า (Reduce uptake)

โดยการลดการนำเข้าโลหะหนัก วิธีนี้เซลล์ของแบคทีเรียจะขัดขวางการนำเข้าโลหะหนักโดยเปลี่ยนเส้นทางการนำเข้าในเซลล์ที่มีความไวต่อโลหะหนัก (Sensitive cell) เช่น การต้านทานอาเซนต แอดเมียม โครเมต และ ไอออนของโลหะอื่นบางตัว (Nies and Silver, 1989)

2.10.1.4 การปั๊มออกจากเซลล์ด้วยระบบการขนส่ง (Transport system)

ไอออนของโลหะหนักบางตัวจะมีการแพร์เซ็ปต์ภายในไซโตพลาสต์ม แบคทีเรียสามารถขับไอออนโลหะหนักออกโดยการปั๊มออกจากเซลล์ด้วยระบบการขนส่ง (Transport system) โดยใช้กระบวนการ Highly specific efflux system โดยอาศัยพลังงานจากเยื่อหุ้นเซลล์หรือจาก ATP โดยตรง สำหรับ Efflux pump เป็นกลไกสำหรับใช้ต้านทานยาปฏิชีวนะกลุ่มเตตราไซคลิน และสามารถใช้กับโลหะหนัก เช่น อาเซนิก แอดเมียม และ โครเมต ได้ (Silver, 1996)

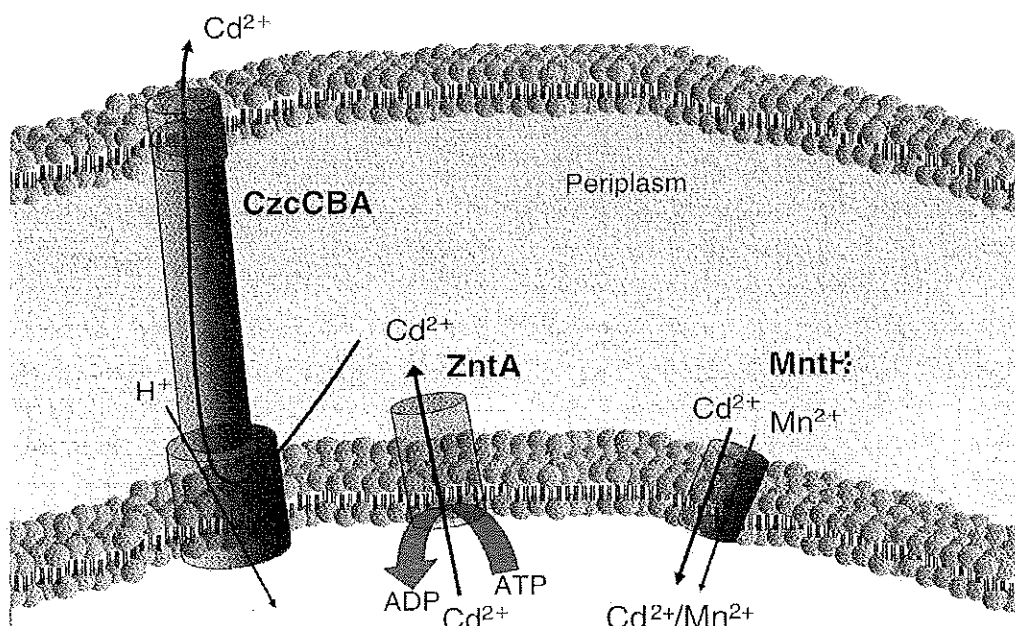
2.10.1.5 การเปลี่ยนเป้าหมายภายในเซลล์

โดยการเปลี่ยนเป้าหมายภายในเซลล์สำหรับทำปฏิกริยากับโลหะหนักที่เป็นพิษ กลไกการต้านทานแบบนี้จะไม่เฉพาะเจาะจง ต้องมีการเปลี่ยน Thiol – containing - enzyme เมื่อมีการเปลี่ยนชนิดของโลหะหนัก

2.10.2 การทนต่อแอดเมียมของแบคทีเรีย

แอดเมียมจะมีผลในการทำลายผนังเซลล์ของชุลินทรีและทำให้เกิด Protein denaturation ในแบคทีเรียบางชนิด เช่น *Klebsiella aerogenes* เกิดการสะสมแอดเมียม ไอออนและสารประกอบชัลไฟฟ์ด์อันที่ร้ายกาจในเซลล์ในสัดส่วนความเข้มข้นที่ใกล้เคียงกัน ส่งผลให้เกิดการสร้างสารประกอบแอดเมียมชัลไฟฟ์เข้มกาจในเซลล์ (Aiking et al., 1984) ซึ่งกลไกการลดพิษแบบนี้เป็น

การตอกตะกอนแคดเมียม โดยทำให้เป็นสารประกอบชั้นไฟฟ์ที่ไม่ละลายน้ำและเกิดการตอกตะกอนที่ผิวน้ำของแบคทีเรียหรือเกิดการสะสมแคดเมียมภายในเซลล์แบคทีเรีย การทนต่อแคดเมียมใน Cyanobacteria จะมี Metallothioneins (Olafson et al., 1979) ซึ่งการเพิ่ม Metallothioneins จะช่วยเพิ่มความสามารถในการทนต่อแคดเมียม และการลด Metallothioneins จะลดความสามารถในการทนแคดเมียม (Gupta et al., 1992) ยืน Metallothioneins คือ smt A จะถูกควบคุมโดย smt B Cyanobacteria จะมี RNA และระบบ P-type ซึ่งสำคัญต่อการทนแคดเมียม (Thelwell et al., 1998) สำหรับในแบคทีเรียแกรมลบแคดเมียมจะถูกนำเข้าสู่เซลล์ด้วยระบบ Efflux การทนต่อแคดเมียมเกิดขึ้นจากการขับแคดเมียมออกโดยการ Efflux โดยโปรตีน RNA-driven ส่วนในแบคทีเรียแกรมบวกการทนต่อแคดเมียมเกิดจากการ Efflux แคดเมียมออกจากเซลล์โดยใช้โปรตีน P-type ATPase การขับแคดเมียมออกจากเซลล์แบคทีเรียมี 3 รูปแบบ คือ ระบบที่เกิดขึ้นบน Plasmid โดยการ Encode cad ซึ่งมีอยู่ 2 รูปแบบ คือ Single cad (cad A) และ Two cad (cad A, cad B) ซึ่งจะเกิดใน *S. aureus* และระบบ czc ใน *A. eutrophus* (Nies, 1992) และระบบที่สามเกิดขึ้นบน Chromosomal โดยการ Encode smt จากศึกษาของ Macaskie และ Dean (1982) ศึกษาการสะสมแคดเมียมของแบคทีเรียที่คัดแยกจากพื้นที่ที่มีการปนเปื้อนโลหะหนักพบว่าแบคทีเรียสายพันธุ์ *Citrobacter* sp. ที่คัดแยกได้จากพื้นที่ที่ปนเปื้อนจะสามารถสะสมแคดเมียมได้ดีและสามารถทนต่อแคดเมียมได้สูง ส่วนแบคทีเรียที่คัดแยกได้จากพื้นที่ที่ปนเปื้อนแคดเมียมพบว่าเกิดการนำเข้าแคดเมียมได้ต่ำ เนื่องจากแบคทีเรียต้านทานแคดเมียมโดยใช้กลไกการลดการนำเข้าแคดเมียมสู่เซลล์ กลไกการทนต่อแคดเมียมและสังกะสีของแบคทีเรียดังแสดงในภาพที่ 2.3



ภาพที่ 2.3 กลไกการทนต่อแคดเมียมและสังกะสีของแบคทีเรีย (Raina et al., 2009)

2.10.3 การทนต่อสังกะสีของแบคทีเรีย

สังกะสีเป็นโลหะที่มีความจำเป็นต่อการเจริญเติบโตของแบคทีเรียในปริมาณน้อย โดยอยู่ในรูปสารประกอบ เช่น Zn-finger ใน DNA และเป็นส่วนประกอบสำคัญในการสร้างเอนไซม์ แบคทีเรียจะสามารถสังกะสีโดยใช้กลไกการนำเข้าแบบเร็วและไม่เฉพาะเจาะจง การนำสังกะสีเข้าสู่เซลล์ของแบคทีเรียโดยทั่วไปจะทำคู่กับระบบการนำเข้าแมกนีเซียม กลไกการ Efflux สังกะสีในแบคทีเรียมี 2 แบบ คือ การ Efflux โดยใช้ P-type ATPase โดยจะขับส่งสังกะสีผ่าน Cytoplasmic membrane โดยใช้พลังงานจาก ATP hydrolysis (Beard, 1997) และระบบการ Efflux โดยใช้ RND-driven ซึ่งจะขับส่งสังกะสีผ่านผนังเซลล์ของแบคทีเรีย และใช้พลังงานจาก proton-gradient และไม่ใช้ ATP (Nics, 1999) ในระบบการขับส่งสังกะสีจะมีโปรตีนตัวพา 3 กลุ่ม คือ

2.10.3.1 การขับส่งสังกะสีโดยใช้ corA MIT

ซึ่งเป็นการขับส่งสังกะสีร่วมกับแมกนีเซียม ส่วนมากพบใน *S. cerevisiae* และในแบคทีเรียบางชนิด รวมถึง archaea

2.10.3.2 การใช้แรงดันอ่องมิติก

โดยใช้โนปตีนตัวพา คือ Mgt-E จะใช้ในเวลาที่แบคทีเรียต้องการสังกะสีในกระบวนการเมtabolism ส่วนมากพบใน *Providencia stuartii* และในแบคทีเรียแกรมบวกและลบบางชนิด

2.10.3.3 การใช้ MgtA P-type ATPase

การใช้ MgtA P-type ATPase ในการขับส่งสังกะสีซึ่งจะใช้ร่วมกับการขับส่งแมกนีเซียม พบร่วมใน *S. typhimurium* ในการศึกษาของ Ahuja และคณะ (2001) ได้ศึกษากลไกการทนต่อสังกะสีของ *Cyanobacterium* สายพันธุ์ *Oscillatoria angustissima* พบร่วมกับ Efflux สังกะสี เกิดขึ้นภายหลังจากการนำเข้าสังกะสีสูงสุด และการต้านทานพิษสังกะสีของแบคทีเรียเกิดจากการลดการนำเข้าสังกะสีสู่เซลล์ กลไกการทนต่อสังกะสีของแบคทีเรียดังแสดงในภาพที่ 2.3

จากการศึกษาการต้านทานต่อโลหะหนักและยาปฏิชีวนะของแบคทีเรีย โดย Filali และคณะ (2000) ทำการแยกเชื้อจุลินทรีย์ที่ทนต่อโลหะหนักและสารปฏิชีวนะในน้ำทึบของ โรงงานอุตสาหกรรมประเทศแมกซิโก จากผลการทดลองพบว่าจุลินทรีย์ที่ทนต่อโลหะหนักในน้ำเสียได้ตัวคือ *Pseudomonas fluorescens*, *Pseudomonas aeruginosa*, *Klebsiella pneumoniae*, *Proteus mirabilis* และ *Staphylococcus* sp. ซึ่งจะถูกยับยั้งการเจริญเติบโตในโลหะหนักที่มีความเข้มข้นสูง เช่น แคดเมียม (2 mM) ปรอท (1.2 mM) และถูกยับยั้งเล็กน้อยในทองแดง เงิน และสังกะสี

2.11 ระบบตรึงพิวชีวภาพ (Cell-immobilized/Fixed-film system)

สารอินทรีย์ในน้ำเสียมีกระบวนการทึบลงเหลืองน้ำธรรมชาตินี้ สามารถถูกย่อยลายโดยกระบวนการทำความสะอาดตัวเองในธรรมชาติ (Self purification process) จุลชีพที่สามารถทำลาย

สารอินทรีย์นี้อาจแบ่งได้เป็น 2 กลุ่ม คือ กลุ่มแรกเป็นจุลชีพประเภทที่แขวนลอยในน้ำ (Suspended microorganisms) (สันทัด, 2552) และกลุ่มที่สองเป็นจุลชีพประเภทที่ตรึงผิว (Fixed-film) เกาะบนผิวพื้นวัสดุในบริเวณแหล่งน้ำ สารอินทรีย์ส่วนใหญ่จะถูกย่อยสลายโดยพากจุลชีพที่เกาะตามธรรมชาติ นี้ หลักการนี้จึงได้นำมาประยุกต์ใช้ในระบบบำบัดคอมเพรสเซอร์กวางแผน เช่น Lin และ Wang (1991) ได้ทำการศึกษาการย่อยสลายเพนตคลอโรฟีนอล โดยเปรียบเทียบระหว่างการใช้จุลินทรีย์แบบแขวนลอยและจุลินทรีย์แบบฟิล์มตรึง (Immobilized) ในการบำบัด พบร่วงจุลินทรีย์แบบฟิล์มตรึงมีประสิทธิภาพในการบำบัดสูงกว่าจุลินทรีย์แบบแขวนลอย และพบว่าการใช้จุลินทรีย์ฟิล์มตรึงแบบรวมกลุ่ม (Co-immobilized cell) มีประสิทธิภาพในการบำบัดสูงถึง 90% ขณะที่จุลชีพที่ตรึงผิวหรือ Fixed-film ที่ใช้ในระบบบำบัดน้ำจะทำให้เกิดฟิล์มชีวภาพ (Biofilm) ลักษณะสมบูรณ์ของฟิล์มชีวภาพที่เกาะบนผิวสัมผัติต่างๆ นั้น ขึ้นกับองค์ประกอบหลากหลายประการ เช่น ความเร็วของน้ำไหลผ่านผิวของวัสดุ ความเข้มข้นของสารอาหารที่อยู่ในรูปของสารอินทรีย์ในน้ำ ปริมาณออกซิเจนที่ละลายน้ำ ค่าความเป็นกรดเป็นด่างของน้ำ อุณหภูมิในขณะนั้น ลักษณะผิวสัมผัติฟิล์มชีวภาพจะเป็นดัง

2.11.1 ฟิล์มชีวภาพ (Bio-film)

ฟิล์มชีวภาพ หมายถึงชั้นของจุลินทรีย์ที่เจริญเติบโตและเกาะอยู่บนพื้นผิวของแข็งไม่ร้าว จะเป็นไม้ เหล็ก พลาสติก ยาง หรือแม้กระทั่งเนื้อเยื่ออ่อนสั่ง มีชีวิตอื่นๆ ฟิล์มชีวภาพ (Bio-film) เป็นกลไกที่สำคัญในการจำกัดพิษของระบบบำบัดแบบชีวภาพซึ่งเป็นมวลของจุลินทรีย์ที่เจริญเติบโตบนผิวของตัวกลาง และทำให้เกิดการเปลี่ยนรูปสารเคมีให้เป็นผลิตภัณฑ์ที่มีความเป็นพิษน้อยลง การเจริญเติบโตของฟิล์มชีวะบนผิวของตัวกลางเป็นผลมาจากการทางกายภาพเคมีและชีววิทยาดังนี้

- (1) การขนส่ง (Transportation) และการอุดตัน (Adsorption) ของโมเลกุลของสารอินทรีย์ไปยังผิวของตัวกลาง
- (2) การขนส่ง (Transportation) ของเซลล์จุลินทรีย์ไปยังผิวของตัวกลาง
- (3) การเกาะยึด (Attachment) ของจุลินทรีย์
- (4) การแปลงรูป (Transformation) ของจุลินทรีย์เป็นฟิล์มชีวะที่บริเวณผิวของตัวกลาง
- (5) การหลุด (Detachment) ของฟิล์มชีวะบางส่วนเนื่องมาจากการแรงเฉือน (Fluid shear stress) ของน้ำ

ลักษณะสมบูรณ์ของฟิล์มชีวะที่เกาะบนผิวสัมผัติต่างๆ นั้นขึ้นอยู่กับองค์ประกอบหลากหลายประการ เช่น ชนิดของสารอินทรีย์ต่างๆ ในน้ำ ความเร็วของน้ำที่ไหลผ่านผิวของวัสดุ ความเข้มข้นของสารอินทรีย์ ปริมาณออกซิเจนที่ละลายน้ำ ค่า pH ของน้ำ ลักษณะผิวของวัสดุที่ฟิล์มชีวะเกาะ เป็นต้น

2.11.2 การเกาและ การหลุดของฟิล์มชีวะ

จุลินทรีย์หรือแบคทีเรียสามารถเกาะได้บนผิวของวัสดุที่มีความหมาย การเกาติดบนผิววัสดุส่วนใหญ่เกิดขึ้นโดยจุลินทรีย์หรือแบคทีเรียจะสร้างเส้นไขขนาดเล็กรอบตัวเซลล์ เส้นไยเหล่านี้จะเกาะจับกันแน่นกับเส้นไขขอนของเซลล์อื่น ทำให้แบคทีเรียสามารถเกาะติดหนาเป็นฟิล์มนบนผิวตัวกลาง ได้ เส้นไยเหล่านี้เรียกว่า Glycocalyx ซึ่งเป็นสารพาก Polysaccharide ดังนั้น ปริมาณรวมของเซลล์เหล่านี้จึงน้อยเมื่อเทียบกับปริมาตรทั้งหมดของฟิล์มชีวะ เส้นไยนี้เป็นที่เก็บน้ำอยู่ที่ใช้ในการย่อยสลายสารอินทรีย์ที่มีโมเลกุลขนาดใหญ่ให้เด็กลงและสามารถละลายน้ำได้ก่อนที่จะถูกซึมผ่านผนังเซลล์ของแบคทีเรีย

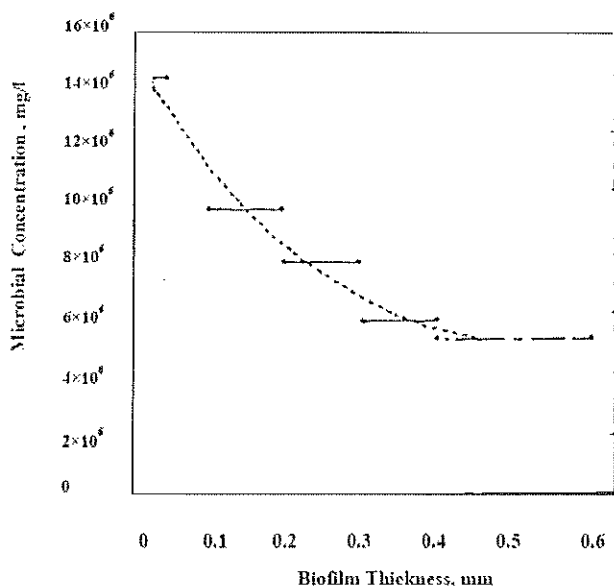
การหลุดของฟิล์มชีวะจะเป็นขบวนการเกิดขึ้นอย่างต่อเนื่อง โดยขึ้นอยู่กับภาวะไฮโดรไดนามิกซ์ (Hydrodynamic condition) ความเร็วของน้ำที่ไหลผ่านแรงเฉือน (Shearforce) จะมีส่วนช่วยให้เกิดการหลุดของฟิล์มชีวะ สำหรับการลอก (Sloughing) ของฟิล์มชีวะนั้นเกิดจากสภาพขาดแคลนสารอาหารหรือปริมาณของออกซิเจนที่ละลายในน้ำบริเวณชั้นคิวตานในของฟิล์ม การลอกออกเนื่องจากฟิล์มมีความหนาจนทำให้เกิดสภาพขาดแคลนอาหารหรือขาดแคลนออกซิเจนนี้มักเกิดในสภาวะที่มีแรงเฉือนต่ำ นอกจากนี้ฟิล์มชีวภาพมีความหนามากในที่สุดจะถูกดึงดึงให้หลุดโดยน้ำหนักของฟิล์มชีวภาพเอง

2.11.3 องค์ประกอบทางเคมีของฟิล์มชีวะ

ฟิล์มชีวภาพประกอบด้วยน้ำสูงถึง 87-96 % โดยน้ำหนักและมีของแข็งระเหย (Volatile solids) ต่ำเพียง 1.9-3.2 % เท่านั้น นอกจากนี้ฟิล์มชีวภาพยังประกอบไปด้วยสารอินทรีย์ในปริมาณเล็กน้อย ได้แก่ แคลเซียม (Ca) แมกนีเซียม (Mg) และเหล็ก (Fe) เป็นต้น ซึ่งปริมาณสารอินทรีย์เหล่านี้ในฟิล์มชีวภาพขึ้นกับความเข้มข้นของสารอินทรีย์ในน้ำเสีย

2.11.4 กระบวนการกำจัดสารอินทรีย์

เนื่องจากฟิล์มชีวภาพประกอบด้วยน้ำสูงถึง 87-96% และเซลล์ชีวภาพในฟิล์มชีวภาพยังประกอบด้วยน้ำสูงถึง 90% ดังนั้นค่าความถ่วงจำเพาะ (Specific gravity) ของฟิล์มชีวภาพจึงใกล้เคียงกับค่าของน้ำ ความหนาแน่นของชีวภาพนี้ สามารถวัดเป็นจำนวนหรือน้ำหนักแห้งแต่ในทางวิศวกรรมศาสตร์มักนิยมวัดเป็นน้ำหนักแห้ง ความหนาแน่นของชีวภาพในฟิล์มชีวภาพนี้ขึ้นกับสภาวะแวดล้อมต่างๆ เช่น ความเร็วของน้ำที่ไหลผ่าน ภาระบรรทุกสารอินทรีย์ อุณหภูมิ และชั้นความหนาของฟิล์มชีวภาพ ความหนาแน่นของชีวภาพในฟิล์มชีวภาพจะสูงขึ้นเมื่อภาระบรรทุกสารอินทรีย์สูงขึ้น ซึ่งความหนาแน่นของชีวภาพในฟิล์มชีวภาพขึ้นกับลักษณะภูมิประเทศในระบบที่ใช้ ดังแสดงในภาพที่ 2.4 แสดงความหนาแน่นของชีวภาพในชั้นที่อยู่ใกล้ผิวตัวกลางที่เกาะจะมีค่ามากกว่าชั้นที่อยู่ตื้นไป



ภาพที่ 2.4 ความหนาแน่นของจุลชีพในฟิล์มชีวภาพที่ขึ้นความหนาต่างๆ (สันทัด, 2552)

กระบวนการกำจัดสารอินทรีย์ในน้ำเสีย ที่ไอลพ่านระบบกำจัด แบบ Fixed Film นั้นเป็นกระบวนการถ่ายเทมวลและปฏิกิริยาชีวเคมีที่เกิดพร้อมกันซึ่งขึ้นตอนกระบวนการกำจัดสารอินทรีย์โดยฟิล์มชีวภาพมีดังนี้

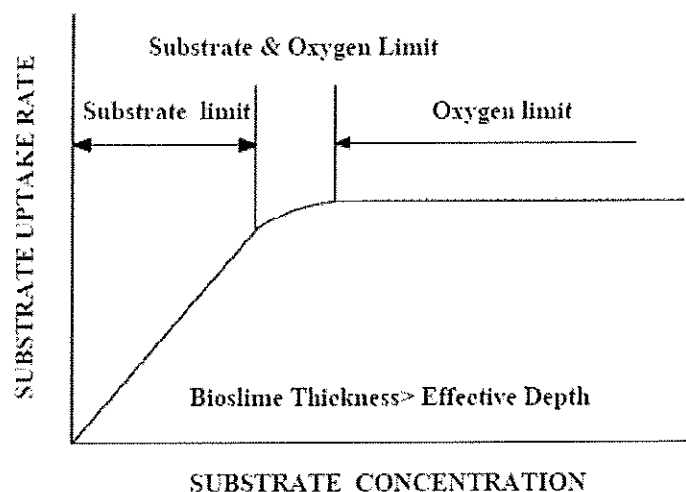
- (1) สารอินทรีย์ และออกซิเจนจะถ่ายเทจากชั้นของเหลวไปยังส่วนที่อยู่ร่วมกัน (Interface) ระหว่างชั้นของเหลว และฟิล์มชีวภาพ
- (2) สารอินทรีย์ และออกซิเจนจะถ่ายเทผ่านบริเวณเด้งกล้าวไปยังชั้นของฟิล์มชีวภาพ
- (3) มีการใช้สารอินทรีย์ และออกซิเจนโดยพอกจุลินทรีย์ในชั้นของฟิล์มชีวภาพ
- (4) มีการถ่ายทอดผลที่ได้คือ แก๊สคาร์บอนไดออกไซด์และน้ำจากชั้นฟิล์มชีวภาพ
- (5) ผลิตผลที่ได้นี้จะถูกถ่ายเทต่อไปยังชั้นของเหลว

อัตราการย่อยสลายสารอินทรีย์อาจขึ้นอยู่กับปริมาณออกซิเจนหรือสารอินทรีย์ก็ตามที่อัตราการย่อยสลายสารอินทรีย์จะขึ้นอยู่กับปริมาณออกซิเจนหรือสารอินทรีย์ก็ตามที่อัตราการย่อยสลายสารอินทรีย์จะขึ้นอยู่กับปริมาณออกซิเจนหรือสารอินทรีย์โดยแบคทีเรียที่เรียกว่าพากไซเดอร์ ที่ออกซิเจน ส่วนในชั้นนอกจะเป็นชั้นที่เกิดปฏิกิริยาอย่างสลายสารอินทรีย์โดยแบคทีเรียที่เรียกว่าพากไซเดอร์ ที่ออกซิเจน ส่วนในชั้นในตัวไประเป็นชั้นที่ไม่ใช้ออกซิเจนปฏิกิริยาการย่อยสลายสารอินทรีย์จะเป็นแบบไม่ใช้ออกซิเจนปฏิกิริยาอย่างสลายสาร โดยใช้ออกซิเจนจะเกิดรวมเร็วกว่าแบบไม่ใช้ออกซิเจน ดังนั้นอัตราการย่อยสลายสารอินทรีย์จะขึ้นกับปฏิกิริยาชีวเคมีที่เกิดในชั้นที่มีออกซิเจนเป็นส่วนใหญ่ความหนาของชั้นนี้เรียกว่า ความหนาประสิทธิผล (Effective depth) ซึ่งขึ้นกับองค์ประกอบต่างๆ ได้แก่ ความเข้มข้นของสารอินทรีย์ ความเข้มข้นออกซิเจนและลักษณะ ความหนาแน่นจุลชีพ และอัตราการใช้สารอินทรีย์ (Substrate uptake rate)

2.11.5 สภาพขาดแคลนสารอินทรี และออกซิเจน

ในกระบวนการย่อยสลายสารอินทรีโดยแบคทีเรีย ภายใต้สภาวะที่มีออกซิเจน ปฏิกิริยาชีวเคมีนี้ประกอบด้วยสารให้อิเล็กตรอน (Electron donor) ซึ่งได้แก่ สารอินทรีต่างๆ กับสารรับอิเล็กตรอน (Electron acceptor) ซึ่งได้แก่ ออกซิเจนซึ่งอยู่ในรูปละลายน้ำ อัตราการใช้สารอินทรีโดยฟิล์มชีวภาพในระบบบำบัดน้ำเสียนั้น อาจถูกความคุณ โดยสารให้อิเล็กตรอนหรือสารรับอิเล็กตรอน (ในที่นี่หมายถึงสารอินทรี และออกซิเจนละลายน้ำ) ซึ่งขึ้นกับความเข้มข้นสารอินทรี ความเข้มข้นออกซิเจนละลายน้ำในน้ำเสีย อัตราการถ่ายเทน้ำของสารทั้งสอง และค่าสัมประสิทธิ์ของสาร (Stoichiometric coefficient)

ภาพที่ 2.5 แสดงสภาพขาดแคลนสารอินทรี และออกซิเจนซึ่งจะเห็นว่าขึ้นกับความเข้มข้นสารอินทรี กล่าวคือที่ค่าความเข้มข้นหนึ่งของออกซิเจนละลายน้ำอัตราการใช้สารอินทรีอาจแบ่งได้ 3 ช่วง คือ ช่วงแรกอัตราการใช้สารอินทรีจะเพิ่มเป็นเด่นตรง เมื่อความเข้มข้นของสารอินทรีในน้ำเสียเพิ่มสูงขึ้น ช่วงนี้อัตราการใช้สารอินทรี จึงถูกความคุณด้วยความเข้มข้นสารอินทรี (Substrate limit) ช่วงที่สองเป็นช่วงอัตราการใช้สารอินทรีเพิ่มขึ้น เมื่อความเข้มข้นของสารอินทรีเพิ่มขึ้น แต่อัตราการเพิ่มขึ้นลดลง ในช่วงนี้ อัตราการใช้สารอินทรีถูกความคุณโดยทั้งสารอินทรี และออกซิเจน (Substrate and oxygen limit)



ภาพที่ 2.5 สภาพขาดแคลนสารอินทรี และออกซิเจนในระบบบำบัดน้ำเสียแบบฟิล์มชีวะ (สันทัด, 2552)

2.12 ปัจจัยที่มีผลต่อการกำจัดโลหะหนักของแบคทีเรีย

ปัจจัยที่มีผลต่อการกำจัดโลหะหนักมีหลายด้าน เช่น ลักษณะทางเคมีของไอออนโลหะหนัก ลักษณะทางกายภาพและทางเคมีของเชลล์แบคทีเรีย รวมถึงลักษณะทางกายภาพและทางเคมีของ

สิ่งแวดล้อมแวดล้อมต่าง ๆ ประกอบด้วย ค่าความเป็นกรด-ด่าง อุณหภูมิ เวลา ชนิดและความเข้มข้นของโลหะ และการแข่งกัน ไอออนของโลหะหนักชนิดอื่น เป็นต้น

2.12.1 pH (pH)

พิธีเช้มีผลต่อการกำจัดโลหะหนัก โดยในสภาพเป็นกรดการจับกับโลหะจะถูกจำกัด โดยการเพิ่มขึ้นของประตอนที่มานะยังจับกับ Anion binding site และการเพิ่มพิธี จะทำให้ประจุลบบริเวณพิวน้ำขาวของเซลล์แบคทีเรียเพิ่มขึ้นซึ่งจะทำให้ประสิทธิภาพการกำจัดดีขึ้น ในแบคทีเรีย พิธีที่เหมาะสมสำหรับการกำจัดโลหะหนักอยู่ที่พิธี 4-7 (Blackwell et al., 1995) ในสภาพพิธีต่ำกว่า 2 ประสิทธิภาพในการกำจัดโลหะหนักจะมีน้อยมากหรือไม่มีการกำจัด เมื่อจากไปโดยเรื่องอิออนแทกตัวและยังจับกับอิออนลบที่บริเวณพิวน้ำขาวของเซลล์ เมื่อเพิ่มพิธีให้สูงขึ้นการแข่งจับกับอิออนลบที่พิวน้ำขาวลดลง ใช้โดยเรื่องอิออนจะลดลงและเมื่อเพิ่ม Functional groups ในการจับของโลหะหนัก แต่เมื่อเพิ่มค่าพิธีจนสูงกว่า 7 จะมีผลทำให้โลหะหนักตกตะกอนในรูปของสารประกอบไฮดรอกไซด์หรือออกไซด์ Taniguchi และคณะ (2000) ใช้ *Brevibacterium* sp. สายพันธุ์ HZM-1 ซึ่งเป็นแบคทีเรียที่ทนต่อสังกะสีกำจัดสังกะสี พบว่า *Brevibacterium* sp. สายพันธุ์ HZM-1 กำจัดสังกะสีได้ดีที่สุดที่พิธี 3-7 และที่พิธีน้อยกว่า 2 *Brevibacterium* sp. จะไม่กำจัดสังกะสี Gourdon และคณะ (1990) พบว่า ที่พิธี 6-7 แบคทีเรียแกรมบวกสามารถกำจัดแคดเมียมได้ดีกว่าแบคทีเรียแกรมลบ ประมาณ 20 % และคงว่า Glycoprotein และ Teichoic acid บนผนังเซลล์ของแบคทีเรียแกรมบวกสามารถจับกับไอออนโลหะหนักได้ดี

2.12.2 อุณหภูมิ (Temperature)

อุณหภูมิมีผลต่อการสะสมโลหะหนักของเมตาโนลิก โดยที่อุณหภูมิต่ำ ($0-5^{\circ}\text{C}$) โลหะหนักจะถูกแยกออกด้วยกระบวนการเมตาโนลิก อุณหภูมิที่เหมาะสมสำหรับการกำจัดโลหะหนักอยู่ที่ $25-35^{\circ}\text{C}$ ที่อุณหภูมิ $0-5^{\circ}\text{C}$ จะมีผลกับการกำจัดโลหะหนักของแบคทีเรียที่ต้องอาศัยพลังงาน ส่วนพวกรที่ไม่ต้องอาศัยพลังงานอุณหภูมิจะไม่มีผล Gourdon และคณะ (1990) ศึกษาการกำจัดแคดเมียมโดยใช้แบคทีเรียแกรมบวก และแบคทีเรียแกรมลบจาก Activated sludge พบว่า เมื่อเพิ่มอุณหภูมิจาก 5 ไป 40°C การกำจัดแคดเมียมเพิ่มขึ้นแต่เพิ่มขึ้นไม่น่าจะ แสดงให้เห็นว่าที่ 5°C การกำจัดมีผลมาจากการเมตาโนลิกโดยที่ไม่มีการผลิตโปรตีนภายนอกเซลล์ แสดงว่าไม่มี Bioactivity ที่อุณหภูมนี้ ส่วนที่ 40°C มีการเพิ่มขึ้นของโปรตีนภายนอกเซลล์ แสดงว่ามีเมตาโนลิกเพิ่มขึ้น และจากการศึกษาของ Tangaromsuk และคณะ (2002) ในการกำจัดแคดเมียมโดยใช้ ชีวมวลของ *Sphingomonas paucimobilis* พบว่าประสิทธิภาพการกำจัดแคดเมียมไม่ได้ขึ้นอยู่กับอุณหภูมิ โดย *Sphingomonas paucimobilis* กำจัดแคดเมียมได้ดีที่สุดที่อุณหภูมิ 37°C แต่ที่อุณหภูมิ $5-70^{\circ}\text{C}$ *Sphingomonas paucimobilis* ก็ยังสามารถกำจัดแคดเมียมได้

2.12.3 ระยะเวลาในการกำจัด

จุลินทรีย์แต่ละชนิดจะใช้ระยะเวลาในการกำจัดโลหะหนักแต่ละชนิดแตกต่างกันระยะเวลาในการกำจัดแอดเมียมโดย *Enterobacter aerogenes* ที่ถูกตีริงบน Activated carbon สามารถแบ่งออกได้เป็น 2 ช่วง กือ ช่วงแรกเป็นการกำจัดแอดเมียมโดยไม้อาศัยพลังงานซึ่งเป็นช่วงที่สั้นมากและแปรผันตามความเข้มข้นของแอดเมียม โดยถ้าความเข้มข้นของแอดเมียมสูงจะทำให้ระยะเวลาในการกำจัดสั้นลงเนื่องจากแอดเมียมสามารถจับกับผนังเซลล์ได้อย่างรวดเร็วขึ้น ช่วงที่สองเป็นการกำจัดเข้าสู่เซลล์โดยอาศัยพลังงานและเกิดขึ้นอย่างช้าๆ ซึ่งระยะเวลาในการกำจัดแอดเมียมจะเข้าสู่สมดุลจะแปรผันตามความเข้มข้นของสารละลายแอดเมียม กือ ที่ความเข้มข้น 25 มิลลิกรัมต่อลิตรการกำจัดจะเข้าสู่สมดุลภายใน 120 นาทีแต่ถ้าแอดเมียมเข้มข้น 100 มิลลิกรัมต่อลิตร การกำจัดแอดเมียมจะเข้าสู่สมดุลในเวลา 30 นาที (Scott and Karanjkar, 1992) ส่วนใน *Acinetobacter calcavaranastratus* สามารถกำจัดแอดเมียมเข้าสู่สมดุลได้ภายใน 2-5 นาที และเมื่อบริ่นไวนานกว่านี้จะเกิดสมดุลครั้งที่สองขึ้นภายใน 50 ชั่วโมง และปริมาณแอดเมียมเมื่อผ่านสมดุลครั้งที่สองจะมากกว่าสมดุลครั้งแรกถึงสองเท่า (Hsu and Chiang, 1991)

2.12.4 ชนิดและความเข้มข้นของโลหะหนัก

จากการศึกษาของ Lodi และคณะ (1998) ในการกำจัดโลหะหนักชนิดต่าง ๆ ได้แก่ Cd, Zn, Cu, Ag และ Cr โดยใช้ *Sphaerotilus natans* พบร่วมกับจุลินทรีย์โดย *Sphaerotilus natans* กำจัดโลหะหนักได้ตามลำดับ ดังนี้ Ag > Zn > Cd > Cu > Cr และจาก การศึกษาการกำจัด Cd, Co, Ni และ Se โดย *Bacillus simplex* Zan-044 ที่พื้นที่ 6 พบร่วมกับจุลินทรีย์โดยเพิ่มขึ้นอย่างเป็นเส้นตรงโดยมีความสัมพันธ์ของจำนวนประจุบวก กือ Cd > Ni > Co > Sr (Valentine et al., 1996) จากการศึกษาของ Yassemin และคณะ (2002) ศึกษาการกำจัดป्रอท และแอดเมียมจากสารละลาย โดยเปรียบเทียบประสิทธิภาพการกำจัดระหว่างอัลจิเนต เซลล์ตีริงรูปและชีวมวลที่ไม่มีชีวิตของ *Phanerochaete chrysosporium* พบร่วม ประสิทธิภาพในการกำจัดป्रอท และแอดเมียม ของชีวมวลที่ไม่มีชีวิต > เซลล์ตีริงรูป > แคลเซียม-อัลจิเนต โดยประสิทธิภาพการกำจัดเพิ่มขึ้นในระยะแรก เมื่อเพิ่มความเข้มข้นของโลหะหนักและเมื่อถึงจุดหนึ่งจะคงที่ เนื่องจากเซลล์ไม่เหลือพื้นที่ในการจับโลหะหนัก

2.12.5 การแข่งขันกับไอออนโลหะชนิดอื่น

ไอออนของโลหะหนักชนิดอื่นที่เดิมเข้าไปทึ้งประจุบวกและประจุลบ มีความสำคัญต่อการกำจัดโลหะหนัก เช่น โลหะอัลคาไลท์ (Alkali metal) หรือโลหะอัลคาไลท์เอิร์ท (Alkali-earthmetal) เช่น Na^+ , K^+ , Mg^{2+} , Ca^{2+} มีผลต่อการกำจัดโลหะหนักของจุลินทรีย์ โดยจะไปเปลี่ยนกับตำแหน่งยึดเหนี่ยวบนผนังเซลล์จุลินทรีย์ การกำจัดโลหะหนักจะลดลงเมื่อเมื่อเพิ่มการแข่งขันระหว่างโลหะที่มีประจุลบมีอ่อนกันในการจับกับ Binding site

2.12.6 ความเข้มข้นของตัวกำจัด

ความเข้มข้นของตัวกำจัดที่มีผลต่อการกำจัดโลหะหนักของจุลินทรีย์ได้เห็นกัน จากการศึกษาของ Tangaromsuk และคณะ (2002) กำจัดแบคเตอเรียมโดยใช้ *Sphingomonas paucimobilis* พนวณเมื่อเพิ่มความเข้มข้นของตัวกำจัดจะมีผลทำให้การกำจัดแบคเตอเรียมเพิ่มขึ้น เนื่องจากการเพิ่มความเข้มข้นของตัวกำจัดทำให้เพิ่มพื้นที่ในการจับโลหะหนักได้มากขึ้น แต่เมื่อถึงจุดหนึ่ง ประสิทธิภาพการกำจัดจะลดลงเนื่องจากเซลล์จับตัวกันเป็นกลุ่มทำให้แยกทิฟไชต์ลดลง

2.13 ข้อดีและข้อเสียของการใช้จุลินทรีย์เพื่อบำบัดสารมลพิษ

2.13.1 ข้อดีของการใช้จุลินทรีย์เพื่อบำบัดสารมลพิษ

(1) เป็นกระบวนการบำบัดสารมลพิษเป้าหมายได้อย่างจำเพาะ เนื่องจากเป็นการเติมจุลินทรีย์ที่ได้ผ่านการคัดแยกมาอย่างจำเพาะต่อสารพิษเป้าหมาย และมีข้อมูลการศึกษาวิจัยต่างๆเกี่ยวกับจุลินทรีย์และวิธีการย่อยสลายอย่างสมบูรณ์ ก่อนการนำมาประยุกต์ใช้

(2) เป็นการบำบัดสารมลพิษที่ใช้ระยะเวลาสั้นกว่า เมื่อเปรียบเทียบกับวิธีอื่นๆ เนื่องจากเป็นกระบวนการที่ควบคุมได้ ตั้งแต่ ชนิดและปริมาณของจุลินทรีย์ที่เติมไปในสิ่งแวดล้อมสภาวะต่างๆ ที่จำเป็น และเหมาะสมต่อการย่อยสลายสารมลพิษนั้นๆ

(3) ในกระบวนการบำบัดสารมลพิษด้วยการเติมจุลินทรีย์ หากมีการควบคุมสภาวะต่างๆ ในบริเวณที่มีการบำบัดอย่างรอบคอบ จะสามารถทำให้เกิดการย่อยสลายสารมลพิษได้อย่างสมบูรณ์ และลดความเป็นพิษของสารที่ปนเปื้อนในสิ่งแวดล้อม ให้หมดไปได้อย่างสมบูรณ์

(4) กระบวนการบำบัดสารมลพิษด้วยการเติมจุลินทรีย์ มีความยืดหยุ่นต่อระบบการนำไปใช้ เนื่องจากจุลินทรีย์ที่มีความสามารถในการย่อยสลายสารมลพิษเหล่านี้ อาจมีได้มากกว่าหนึ่งชนิด ซึ่งแต่ละชนิดมีความสามารถในการเริญในสภาวะแวดล้อมที่ต่างกัน ดังนั้นสำหรับกระบวนการนี้ เราสามารถเลือกจุลินทรีย์หรือกลุ่มของจุลินทรีย์ที่มีความสามารถให้เหมาะสมกับสิ่งแวดล้อมที่ต้องการนำไปประยุกต์ใช้

2.13.2 ข้อเสียของการใช้จุลินทรีย์เพื่อบำบัดสารมลพิษ

(1) มีขั้นตอนที่ซับซ้อนและใช้ระยะเวลานานก่อนที่จะสามารถนำจุลินทรีย์มาประยุกต์ใช้ได้ จริงนั้น เช่น ต้องมีการคัดแยกจุลินทรีย์ที่มีลักษณะสมบูติที่เหมาะสม ต้องมีการศึกษาข้อมูลอย่างละเอียดถี่งความสามารถของจุลินทรีย์นั้นๆ ใน การย่อยสลายสารมลพิษเป้าหมาย

(2) การประยุกต์ใช้จุลินทรีย์เหล่านี้ภายในสภาวะซับซ้อนที่ควบคุมได้ยากในสิ่งแวดล้อมจริง ไม่สามารถคาดเดาได้ว่าประสิทธิภาพของจุลินทรีย์เหล่านี้ จึงต้องมีการศึกษาความสามารถในการย่อยสลายสารของจุลินทรีย์เหล่านี้เป็นลำดับขั้นตอน โดยเริ่มจากการศึกษาในอาหารเหลว ตามมาด้วย การศึกษาการย่อยสลายสารของจุลินทรีย์เหล่านี้ ในดินหรือในน้ำ (ทั้งระดับเด็ก และขยายส่วนเป็น

ขึ้นๆ ไป รวมทั้งศึกษาปัจจัยที่มีความสำคัญต่อการย่อยสลายสารของจุลินทรีย์เหล่านี้ ในสภาพสิ่งแวดล้อมจริง

(3) ความไม่เสถียรของการเจริญของจุลินทรีย์ที่เติบโตในสิ่งแวดล้อม เนื่องจากสภาพแวดล้อมอาจไม่เหมาะสม เช่น อาจมีสารอินทรีย์บางชนิดในสิ่งแวดล้อมที่เป็นตัวยับยั้งการเจริญ (Growth inhibitor) ของจุลินทรีย์ หรือจุลินทรีย์ไม่สามารถเจริญร่วมกับจุลินทรีย์ในธรรมชาติได้ หรือไม่สามารถเจริญแข่งขันได้ จนกระทั่งจำนวนลดลงและหมดไปในที่สุด ดังนั้น เพื่อเป็นการรักษาปริมาณจุลินทรีย์เหล่านี้ในสิ่งแวดล้อมนั้นๆ จึงต้องมีการปรับสภาพบางอย่างให้เหมาะสมกับการเจริญของจุลินทรีย์เหล่านี้ เช่น การเติมสารอาหารจำเพาะบางอย่างหรือการปรับสภาพของระบบปฏิวัตคให้เหมาะสมแบบจำเพาะ เป็นต้น

บทที่ 3

ระเบียบวิธีดำเนินการวิจัย

3.1 เครื่องมือที่ใช้ในงานวิจัย (Instruments)

- 1.) เครื่องอังน้ำ (Water bath) ยี่ห้อ Daihan รุ่น WEB-6
- 2.) ตู้ควบคุมอุณหภูมิ (Incubator) ยี่ห้อ Memmert รุ่น IN 260
- 3.) ตู้ดูดความชื้นอัตโนมัติ (Auto dry) ยี่ห้อ Product of Eureka รุ่น DX-126
- 4.) ตู้ปั๊กออดเชื้อ (Laminar flow) ยี่ห้อ ScanLaf รุ่น Mars 1500
- 5.) เครื่องซึ่งละเอียด 4 ตำแหน่ง ยี่ห้อ Mettler toledo รุ่น AG 285
- 6.) เครื่องซึ่งละเอียด 2 ตำแหน่ง ยี่ห้อ Mettler toledo รุ่น ML3002
- 7.) เครื่องกรองสารละลาย ยี่ห้อ Heidolph รุ่น MR Hei-Standard
- 8.) เตาอบแก๊ส (Hot air oven) ยี่ห้อ Binder รุ่น FED
- 9.) เครื่องกลั่นในไตรเจน (Distilling unit) ยี่ห้อ VELP รุ่น UDK 140
- 10.) เครื่องสเปกโตร โฟโตมิเตอร์ (Spectrophotometer) ยี่ห้อ Thermo Spectronic รุ่น Heaios
- 11.) หม้อนึ่งม่าเชื้อ (Autoclave) ยี่ห้อ TKA รุ่น Steroclave 24 และ ยี่ห้อ Hiclave รุ่น HV-50
- 12.) เครื่องวัดความเป็นกรด-ด่าง (pH meter) ยี่ห้อ ยี่ห้อ Jenway รุ่น 3510
- 13.) เครื่องควบคุมอัตราการไหลของของเหลว (Peristaltic pump) ยี่ห้อ Watson Marlow รุ่น SCIQ 323
- 14.) เครื่องวัดออกซิเจนละลาย (DO meter) ยี่ห้อ HACH Sension Portable Case รุ่น sension 6
- 15.) ชุดกลั่นใช้ยาในตัว
- 16.) เครื่อง Atomic Absorption Spectroscopy (AAS) ยี่ห้อ PerkinElmer รุ่น PinAAcle 900F
- 17.) Cd Hallow cathode lamp
- 18.) Zn Hallow cathode lamp

3.2 สารเคมีที่ใช้ในงานวิจัย (Chemicals)

ชื่อสารเคมี	สูตรเคมี
แคดเมียมซัลเฟต (Cadmium sulphate)	$3\text{CdSO}_4 \cdot 8\text{H}_2\text{O}$
ถังกระซิบใช้ยาในตัว (Zinc cyanide)	$\text{Zn}(\text{CN})_2$
โพแทสเซียมใช้ยาในตัว (Potassium cyanide)	KCN
โพแทสเซียมโซเดียม thiocyanate (Potassium thiocyanate)	KSCN

ชื่อสารเคมี	สูตรโมเลกุล
สารคละลามาตราฐานแคดเมียม (Cadmium standard for AAS)	Cd
สารคละลามาตราฐานสังกะสี (Zinc standard for AAS)	Zn
กรดแอ็ซิติก (Acetic acid)	CH ₃ COOH
สังกะสีอะซิเตท (Zinc acetate)	Zn(C ₂ H ₃ O ₂) ₂ ·2H ₂ O
โซเดียมไฮดรอกไซด์ (Sodium hydroxide)	NaOH
ไอรอน (III) ไนเตรท (Iron (III) nitrate nonahydrate)	Fe(NO ₃) ₃ ·9H ₂ O
กรดไนต์ริก (Nitric acid)	HNO ₃
โซเดียมเตตราบอร์ ate (Sodium tetraborate)	Na ₂ B ₄ O ₇
กรดซัลฟิวติก (Sulfuric acid)	H ₂ SO ₄
กรดบอริก (Boric acid)	H ₃ BO ₃
เมทิลред (Methyl red)	C ₁₅ H ₁₅ N ₃ O ₂
เมทิลีนบลู (Methylene blue)	C ₁₆ H ₁₈ N ₃ SCl
เอทิลแอลกอฮอล์ (Ethyl alcohol)	C ₂ H ₆ O
ฟีโนล์ฟทาลีน (Phenolphthalein)	C ₂₀ H ₁₄ O ₄
โพแทสเซียมไนเตรท (Potassium nitrate)	KNO ₃
บ clue ชีนซัลไฟต์ (Brucine sulfate)	C ₄₆ H ₅₄ N ₄ O ₁₂ S
กรดซัลฟานิลิก (Sulphanilic acid)	NH ₂ C ₆ H ₄ SO ₃ H
กรดไฮdrochloric acid (Hydrochloric acid)	HCl
อะซีโตน (Acetone)	C ₃ H ₆ O
ซิลเวอร์ไนเตรท (Silver nitrate)	AgNO ₃
ไดเมทธิลอะมิโนเบนซอลโรดานิน (Dimethylaminobenzalrhodanine)	C ₁₂ H ₁₂ ON ₂ S ₂
โซเดียมคลอไรด์ (Sodium chloride)	NaCl
แมกนีเซียมคลอไรด์ (Magnesium chloride)	MgCl ₂ · 6H ₂ O
โซเดียมอะซิเตท (Sodium acetate)	CH ₃ COONa·3H ₂ O
โซเดียมซัลไฟต์ (Sodium sulfate)	Na ₂ SO ₄
แบเรียมคลอไรด์ (Barium chloride)	BaCl ₂
โซเดียมคาร์บอนเนต (Sodium carbonate)	Na ₂ CO ₃
เมธิลออรันจ์ (Methyl orange)	C ₁₄ H ₁₄ N ₃ NaO ₃ S
โซเดียมไฮโซลฟัฟต์ (Sodium Thiosulphate Pentahydrate)	Na ₂ S ₂ O ₃ ·5H ₂ O

ชื่อสารเคมี	สูตรเคมี
แคลเซียมคลอไรด์ (Calcium chloride)	CaCl_2
โคบัลต์ไนเตรท (Cobalt nitrate)	$\text{Co}(\text{NO}_3)_2 \cdot 6\text{H}_2\text{O}$
ไดโพแทสเซียมไฮโดรเจนฟอสฟे�ต (Di-potassium hydrogen phosphate)	K_2HPO_4
เฟอริคคลอไรด์ (Ferric chloride)	$\text{FeCl}_3 \cdot 6\text{H}_2\text{O}$
เฟอรัสซัลเฟต (Ferrous sulfate)	$\text{FeSO}_4 \cdot 7\text{H}_2\text{O}$
กลูโคส (D-glucose)	$\text{C}_6\text{H}_{12}\text{O}_6$
โมลิบเดนัมไตรออกไซด์ (Molybdenum trioxide)	MoO_3
โพแทสเซียมไดไฮดروเจนฟอสฟे�ต (Potassium dihydrogen phosphate)	KH_2PO_4
โซเดียมไฮโดรเจนฟอสฟे�ต (Sodium hydrogen phosphate)	NaHPO_4

3.3 วิธีดำเนินงานวิจัย

3.3.1 อาหารเลี้ยงเชื้อ (Media)

1) อาหารเลี้ยงเชื้อที่มีสารอาหารสูง (Enrichment medium) 1 ลิตร ประกอบด้วย

NaHPO_4	4	กรัม
Na_2SO_4	2.13	กรัม
K_2HPO_4	3.10	กรัม
$\text{MgCl}_2 \cdot 6\text{H}_2\text{O}$	200	มิลลิกรัม
$\text{FeCl}_3 \cdot 6\text{H}_2\text{O}$	2	มิลลิกรัม
CaCl_2	1	มิลลิกรัม

ปรับพีเอช (pH) เท่ากับ 7.2

2) อาหารเลี้ยงเชื้อ (Buffer medium) 1 ลิตร ประกอบด้วย

KH_2PO_4	2.7	กรัม
K_2HPO_4	3.5	กรัม
สารละลายน้ำ 10	มิลลิลิตร	ซึ่งในน้ำเกลือน 1 ลิตรประกอบด้วย
- $\text{FeSO}_4 \cdot 7\text{H}_2\text{O}$	300	มิลลิกรัม
- $\text{MgCl}_2 \cdot 6\text{H}_2\text{O}$	180	มิลลิกรัม
- $\text{Co}(\text{NO}_3)_2 \cdot 6\text{H}_2\text{O}$	130	มิลลิกรัม

- CaCl ₂	40	มิลลิกรัม
- ZnSO ₄	40	มิลลิกรัม
- MoO ₃	20	มิลลิกรัม

ปรับพีอช (pH) เท่ากับ 7.2

3.3.2 จุลินทรีย์ในการทดลอง

จุลินทรีย์ที่ใช้ในการทดลองนี้นำมาจากระบบบำบัดน้ำเสียจากโรงงานแบ่งมันสำปะหลังที่มีไซยาโนดป่นเป็นชั้นได้ทำการศึกษาวิจัยแล้วว่าสามารถเจริญเติบโตได้ในอาหารเดี่ยวที่มีไซยาโนดเป็นส่วนประกอบและมีความสามารถสูงในการย่อยสลายไซยาโนด ได้แก่ *Agrobacterium tumefaciens* SUTS 1 และ *Pseudomonas monteili* SUTS 2 และโดยเฉพาะเมื่อนำจุลินทรีย์ทั้ง 2 ชนิดมารวมกัน (Mixed culture) พบร่วมกัน ทำให้มีความสามารถในการย่อยสลายไซยาโนดเพิ่มขึ้น (ศิรารถย์, 2550) ดังนั้นในการทดลองนี้จะใช้จุลินทรีย์แบบรวมกลุ่ม (Mixed culture) เป็นจุลินทรีย์ในการพัฒนาต่อไป เพื่อคุณภาพสามารถในการย่อยสลายไซยาโนด ไซยาโนดและโลหะไซยาโนด จุลินทรีย์จะถูกเดี่ยงในอาหารเดี่ยวที่มีสารอาหารสูง (Enrichment medium) เพื่อกระตุ้นการเจริญเติบโตของเชื้อ โดยทำการเพาะเดี่ยงในขวดทดลอง (Erlenmeyer flask) ขนาด 500 มิลลิลิตร ปริมาณจุลินทรีย์ต่ออาหารเดี่ยว เชื้อเท่ากับ 10:100 เดี่ยงที่อุณหภูมิห้อง เขย่าด้วยเครื่องเขย่าที่ 150 รอบต่อนาที

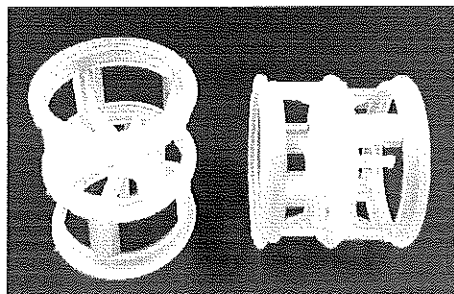
3.3.3 การทดสอบความสามารถของจุลินทรีย์

เมื่อจุลินทรีย์ถูกกระตุ้นการเจริญเติบโตแล้วจะนำมาเดี่ยงในอาหารเดี่ยวเชื้อ (Buffer medium) นี้ด้วยอัตราส่วนจุลินทรีย์ต่ออาหารเดี่ยวเชื้อ 10:100 ปริมาตรต่อปริมาตร ทำการทดลองในขวดทดลอง (Erlenmeyer flask) ขนาด 500 มิลลิลิตรเขย่าด้วยเครื่องเขย่าที่ 150 รอบต่อนาที โดยใส่โซเดียมไซยาโนดในรูปของโพแทสเซียมโซเดียมไซยาโนด (KSCN) ที่ความเข้มข้น 100 มิลลิกรัมต่อลิตร และโลหะไซยาโนดในรูปของแคลแมกนีเซียมไซยาโนด (3CdSO₄•8H₂O) ที่ความเข้มข้น 0.064 มิลลิกรัมต่อลิตรผสมกับโพแทสเซียมไซยาโนด (KCN) ที่ความเข้มข้น 0.04 มิลลิกรัมต่อลิตร และสังกะสีไซยาโนด (Zn(CN)₂) 0.05 มิลลิกรัมต่อลิตร เพื่อศึกษาความสามารถในการเจริญเติบโตของจุลินทรีย์ในสารประกอบแตละชนิด โดยทำการศึกษาการเจริญเติบโตของจุลินทรีย์ด้วยวิธีเทคนิคการนับโคลoni (Colony count technique) เพื่อนำไปใช้เป็นข้อมูลในการทดลองระบบฟิกซ์-ฟิล์ม ใบไอกรับเบอร์ต่อไป

3.3.4 การตรึงจุลินทรีย์รวมกลุ่มนิวเคลียติกของตัวกลาง (Immobilization of mixed culture on packing materials)

ตัวกลางที่ใช้ในการตรึงเซลล์เป็นตัวกลางพลาสติก Polypropylene pall (PP) ring เส้นผ่าศูนย์กลาง 1 นิ้ว ดังแสดงในภาพที่ 3.1 ดำเนินการตรึงเซลล์จุลินทรีย์แบบรวมกลุ่ม (Mixed culture) โดยชั้นน้ำหนักตัวกลาง Polypropylene pall ring บนน้ำหนักของตัวกลางคงที่ก่อนเริ่มตรึงเซลล์ (Cell

immobilization) เริ่มการตรึงเซลล์โดยนำจุลินทรีย์แบบรวมกลุ่มที่เพาะเลี้ยงในวันที่มีจำนวนเซลล์ จุลินทรีย์สูงสุดในวันที่ 3 เท่ากับ 1.03×10^8 cfu/ml ผลจากการทำการเจริญเติบโตของจุลินทรีย์แบบรวมกลุ่ม (Growth curve) จากนั้นนำตัวกลาง Polypropylene pall ring ที่ผ่านการฆ่าเชื้อด้วยแสงอัตราไวโอลे�ต (UV) ใส่ลงไปในขวดทดลองที่มีอาหารเลี้ยงเชื้อ (Buffer medium) โดยใส่ไชโโอล่าไซแนตในรูปของโพಡาต์เซียมไชโโอล่าไซแนต (KSCN) ที่ความเข้มข้น 100 มิลลิกรัมต่อลิตร และโลหะไฮยาไนด์ในรูปของแคดเมียมไฮยาไนด์โดยใช้แคดเมียมซัลเฟต ($3\text{CdSO}_4 \cdot 8\text{H}_2\text{O}$) ที่ความเข้มข้น 0.064 มิลลิกรัมต่อลิตรผสมกับโพଡาต์เซียมไฮยาไนด์ (KCN) ที่ความเข้มข้น 0.04 มิลลิกรัมต่อลิตร และสังกะสีไฮยาไนด์ ($\text{Zn}(\text{CN})_2$) 0.05 มิลลิกรัมต่อลิตร ที่ทำการฆ่าเชื้อไว้แล้วด้วยหม้อนึ่งฆ่าเชื้อ (Auto clave) โดยใช้อัตราส่วนจุลินทรีย์ต่ออาหารเลี้ยงเชื้อเป็น 10:100 ปริมาตรต่อบริมาตร และฆ่าด้วยเครื่องเขย่า (Shaker) 100 รอบต่อนาที ที่อุณหภูมิห้อง เป็นเวลา 15 วันและ 30 วัน สำหรับการศึกษาระยะเวลา krótk (Short term period) และการศึกษาระยะยาว (Long term period) ตามลำดับ สุ่มตัวแทน (Random) ตัวกลางพลาสติก Polypropylene pall (PP) ring เพื่อชั่งน้ำหนักหลังการตรึงเซลล์ น้ำหนักที่เพิ่มขึ้นคือจุลินทรีย์แบบรวมกลุ่มที่ถูกตระงอยู่กับตัวกลางพลาสติก Polypropylene pall (PP) ring แล้วจึงนำไปบรรจุลงในคอลัมน์ในไส้สครับเบอร์

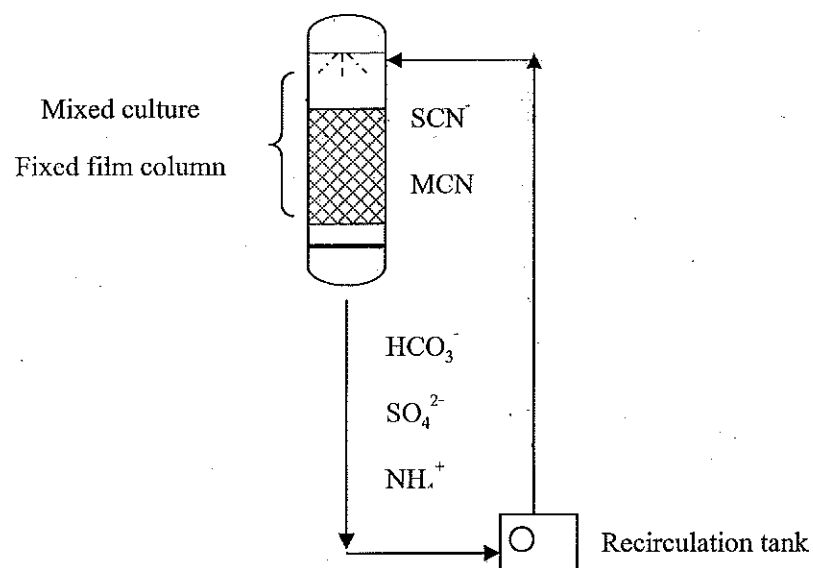


ภาพที่ 3.1 ตัวกลางพลาสติก Polypropylene pall ring สำหรับไส้จุลินทรีย์แบบรวม (Mixed culture)
บีดเกา

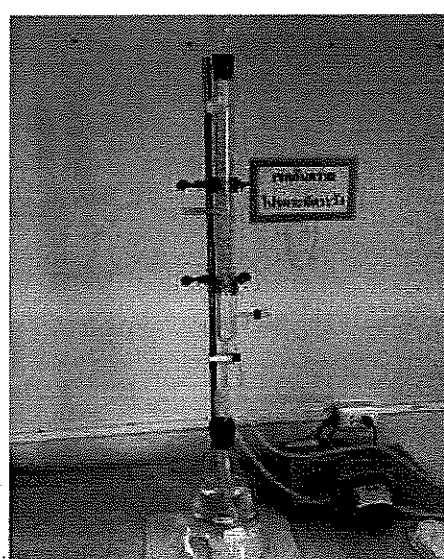
3.4 ชุดพัฒนาความสามารถของจุลินทรีย์ด้วยระบบฟิกซ์-ฟิล์มไนโสครับเบอร์ (Fixed-film bioscrubber)

คอลัมน์ของระบบทำจากแก้ว มีเส้นผ่านศูนย์กลางเท่ากับ 3 เซนติเมตร และความสูงเท่ากับ 50 เซนติเมตร โดยมีตัวกลางไส้จุลินทรีย์รวมกลุ่ม (Mixed culture) บีดเกาอยู่ภายใน โดยบรรจุตัวกลางสูง 30 เซนติเมตร (60% ของความสูงคอลัมน์) และมีถังใส่ของเหลวที่มีสารประกอบไฮยาไนด์ทั้งไชโโอล่าไซแนตและโลหะไฮยาไนด์ในตู้หลวเรียน (Recirculation tank) ตลอดเวลาจะเดินระบบ ดังแสดงในภาพที่ 3.2 และ 3.3 โดยจะแบ่งการทดลองออกเป็น 2 ระยะ ค้างนี้ การศึกษา

ระยะแรก (Short term period) ซึ่งจะทำการเดินระบบต่อเนื่อง 24 ชั่วโมง โดยเก็บตัวอย่างที่เวลา 6, 12 และ 24 ชั่วโมง เพื่อศึกษาสภาวะที่เหมาะสมที่สุดของระบบ ดังตารางที่ 3.1 และทำการศึกษาระยะยาว (Long term period) โดยนำสภาวะที่เหมาะสมที่สุดมาเพื่อศึกษาประสิทธิภาพที่ดีที่สุดของระบบ ในระยะยาว ซึ่งจะทำการเดินระบบต่อเนื่องเป็นเวลา 30 วัน



ภาพที่ 3.2 รูปแบบการย่อยสลายไฮโดรเจนออกไซด์และโลหะใช้ยาในค์ด้วยจุลินทรีย์รวมกลุ่มในระบบฟิกซ์-ฟิล์ม ไบโอดิสต์ริบิวเตอร์



ภาพที่ 3.3 ระบบฟิกซ์-ฟิล์ม ไบโอดิสต์ริบิวเตอร์ (Fixed-film bioscrubber system)

3.5 การทดลอง

ทำการทดลองโดยใช้สภาวะและตัวแปรในการทดลองเพื่อให้ได้ผลตามวัตถุประสงค์ โดยศึกษาเป็น 2 ระยะ ได้แก่ การศึกษาระยะแรก (Short term period) ทำการศึกษาตัวแปรดังตารางที่ 3.1 เพื่อศึกษาสภาวะที่เหมาะสมสำหรับจุลินทรีย์และระบบโดยนำข้อมูลการเจริญเติบโตของจุลินทรีย์ไปในสารประกอบไฮยาโนดีที่ประกอบด้วยโซ่อิโซไซด์และโลหะไฮยาโนด์มาใช้ในการศึกษาต่อหลังจากนี้ทำการศึกษาระยะยาว (Long term period) ศึกษาตัวแปรต่อเนื่องโดยนำตัวแปรสภาวะที่เหมาะสมจากการศึกษาระยะแรกมาทำการศึกษาระยะยาว เพื่อศึกษาประสิทธิภาพที่ดีที่สุดของจุลินทรีย์ในการย่อยสลายด้วยระบบพิกซ์-ฟลัม์ไปโอลครั่งเมอร์

ตารางที่ 3.1 สภาวะและตัวแปรที่ใช้ในการวิจัย

ตัวแปรที่ใช้ในการศึกษา	ค่าที่ใช้ในการทดลอง
เชื้อจุลินทรีย์	จุลินทรีย์ SUTS 1 และ SUTS 2 (Mixed culture)
Thiocyanate concentration (มก./ล.)	100
Zinc cyanide concentration (มก./ล.)	0.05
Cadmium cyanide concentration (มก./ล.)	0.05
Liquid flow rate (มล./นาที)	10 และ 30
Height of packing materials (เมตร)	0.30

3.6 วิธีการวิเคราะห์

การศึกษาการพัฒนาความสามารถของจุลินทรีย์รวมกันในการย่อยสลายโซ่อิโซไซด์และโลหะไฮยาโนด์โดยแบ่งการทดลองเป็น 2 ระยะ กือการศึกษาระยะแรก (Short term period) เก็บตัวอย่างที่เวลา 0, 6, 12 และ 24 ชั่วโมง และการศึกษาระยะยาว (Long term period) เก็บตัวอย่างที่ 24 ชั่วโมง เพื่อวิเคราะห์พารามิเตอร์ดังต่อไปนี้

- 1.) วิเคราะห์โซ่อิโซไซด์ (SCN^-) ด้วยวิธีการเทียบสีด้วยเฟอริคไนเตรท (Ferric nitrate) (APHA, AWWA, WPCF, 2005)
- 2.) ปริมาณไฮยาโนด์ที่เหลืออยู่ (Residual cyanide: CN) ด้วยวิธีการタイトเรต (Titrimetric method) ภายหลังจากการกลั่น (Distillation) (APHA, AWWA, WPCF, 2005)
- 3.) วิเคราะห์สังกะสี (Zinc: Zn) และแคนเดเมียม (Cadmium: Cd) ด้วยวิธี Direct Air-Acetylene Flame Method ด้วยเครื่อง Atomic Absorption Spectrophotometry: AAS (APHA, AWWA, WPCF, 2005)

- 4.) วิเคราะห์แอมโมเนียม ($\text{NH}_3\text{-N}$) ด้วยวิธีการกลั่น (Distillation) และการ titrmetric method (APHA, AWWA, WPCF, 2005)
- 5.) วิเคราะห์ไนเตรต (NO_3^- -N) ด้วยวิธีบ魯ซิน (Brucine Method) (APHA, AWWA, WPCF, 1995)
- 6.) วิเคราะห์ซัลเฟต (SO_4^{2-}) ด้วยวิธีวัดความขุ่น (Turbidimetric method) (APHA, AWWA, WPCF, 2005)
- 7.) วิเคราะห์ bicarbonate (HCO_3^-) โดยวิธีการ titrmetric (Titrimetric method) (APHA, AWWA, WPCF, 2005)
- 8.) ศึกษาการเจริญเติบโตของจุลินทรีย์ด้วยวิธีเทคนิคการนับโคลoni (Colony count technique) ในของเหลวที่ไหลเวียนในระบบ และหน้าหนักของจุลินทรีย์ที่เกาะที่ผิวของตัวกลางด้วยการชั่งน้ำหนักของตัวกลาง (Weight of biofilm on packing materials)

3.7 การวิเคราะห์ข้อมูล

การวิเคราะห์ผลโดยการคำนวณหาปริมาณไฮโซไซยาแนตและไฮยาไนด์ที่เหลืออยู่ ทำการทดลอง 2 ชั้้า คำนวณผลจากสูตร ดังนี้

- 1.) การคำนวณไฮโซไซยาแนต (SCN^-)

$$\text{ไฮโซไซยาแนต (mg SCN}^-/\text{l}) = (\text{ma}_1 + \text{b}) \times \text{Dilution factor}$$

เมื่อ a_1 = Absorbance of sample solution
 m = Slope
 b = Intercept

- 2.) การคำนวณไฮยาไนด์ (CN^-)

$$\text{ไฮยาไนด์ (mg CN}^-/\text{l}) = \frac{\text{ml AgNO}_3 \text{ Sample} - \text{ml AgNO}_3 \text{ Blank}}{250} \times \frac{150}{\text{ปริมาตรที่กลั่นได้}}$$

3.) การคำนวณประสิทธิภาพการบำบัดไนโตรไซยาเนตและโลหะ ไฮยาในดี

$$\text{ประสิทธิภาพการบำบัด (\%)} = \frac{\text{ความเข้มข้นเมื่อเริ่มต้น} - \text{ความเข้มข้นที่เหลือ}}{\text{ความเข้มข้นเมื่อเริ่มต้น}} \times 100$$

บทที่ 4

ผลการวิจัยและอภิปรายผล

สารประกอบไชยาในดินมีความเป็นพิษสูงต่อสั่งมีชีวิต โดยเฉพาะในระบบทางเดินหายใจ แต่ยังคงมีการใช้สารประกอบไชยาในดินเพื่อปริมาณมากตามโรงงานอุตสาหกรรม นอกจากมีความเป็นพิษต่อมนุษย์แล้ว ยังมีความเป็นพิษต่อดุลินทรีย์หลักหลายชนิด (Microorganisms) แม้ที่ระดับความเข้มข้นต่ำ เช่น ไชโอไชyanen มีความเป็นพิษต่อดุลินทรีย์ที่ความเข้มข้น 58-116 มิลลิกรัม/ลิตร (Wood et al., 1998) ขณะที่โลหะไชยาในดินมีความเป็นพิษเนื่องจากสามารถแตกตัวให้สารประกอบไชโครเจนไชยาในดินออกจากรากไม้ สารประกอบโลหะไชยาในดินยังมีความเป็นพิษโดยตัวของโลหะเอง อีกด้วย (Edds, 2004) แต่ดุลินทรีย์สามารถย่อยสลาย (Degradation) ไชโอไชyanen และโลหะไชยาในดินได้ ทั้งนี้ดุลินทรีย์มีระบบเอนไซม์และกระบวนการย่อยสลายสารประกอบไชยาในดิน เนื่องจากตัว จึงสามารถใช้สารประกอบไชยาในดินเป็นแหล่งคาร์บอนและ/หรือในต่อเจน เพื่อการเจริญเติบโตและเปลี่ยนสารประกอบไชยาในดินให้อยู่ในรูปที่มีความเป็นพิษลดลง (Chakraborty and Veeramani, 2006; Jeong and Chung, 2006; Sirianuntapiboon and Chuamkaew, 2007; Potivichayanan and Kitleartpornpairoat, 2010)

4.1 ผลการศึกษาการเจริญเติบโต (Growth curve) ของดุลินทรีย์รวมกลุ่ม (Mixed culture) และการทดสอบความสามารถของดุลินทรีย์ในการย่อยสลายสารประกอบไชยาในดิน

ดุลินทรีย์ที่ใช้ในการศึกษาการย่อยสลายไชโอไชyanen และโลหะไชยาในดิน เป็นแบคทีเรียรวมกลุ่ม (Mixed culture bacteria) ประกอบด้วยแบคทีเรีย 2 ชนิดคือ *Agrobacterium tumefaciens* SUTS 1 และ *Pseudomonas monteili* SUTS 2 โดยลักษณะทั่วไปของแบคทีเรียที่ใช้ในการศึกษาวิจัย ดังแสดงในตารางที่ 4.1

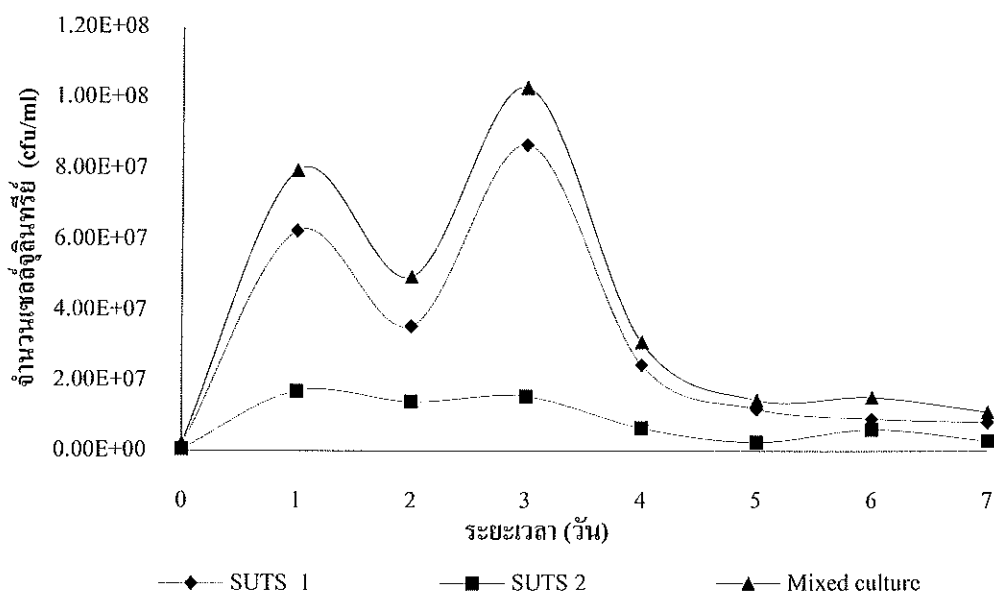
ตารางที่ 4.1 ลักษณะทั่วไปของดุลินทรีย์รวมกลุ่ม (Mixed culture bacteria) (สิราภรณ์, 2550)

ชนิดของดุลินทรีย์	ขนาดของโโคโลนี (มิลลิเมตร)	ลักษณะภายนอก ของโโคโลนี	ชนิดของ แกรม	รูปร่าง
<i>Agrobacterium tumefaciens</i> SUTS 1	5-7.5	ใหญ่ กลมมนุน ผิวน้ำเงิน ใส สีน้ำตาลอ่อน	ลบ	รูปแท่ง
<i>Pseudomonas monteili</i> SUTS 2	1-2	เล็ก กลมมนุน ผิวน้ำเงิน สีขาวปุ่น	ลบ	รูปเม็ด

แบคทีเรียแต่ละชนิดมีระยะเวลาการเจริญเติบโตหรือ Generation time แตกต่างกัน (สิรากรส์, 2550) โดยการศึกษาการเจริญเติบโตของแบคทีเรียรวมกลุ่มนี้ใช้อาหารเลี้ยงเชื้อ Buffer medium agar (BMG) เป็นอาหารเลี้ยงที่เฉพาะเจาะจงสำหรับแบคทีเรียรวมกลุ่มในการย่อยสลายไขยาในด้วยพิจารณาการเจริญเติบโตของจุลินทรีย์ด้วยวิธีการนับโคลoni (Colony count technique) โดยการทำเทคนิค Spread plate (Spreading plate technique) ซึ่งเป็นการนับจำนวนเซลล์ที่มีชีวิต (Viable cell plate count) โดยอาศัยหลักการว่า จุลินทรีย์ที่มีชีวิตเมื่อได้รับสารอาหารจะสามารถเจริญเติบโตและแบ่งเซลล์เพิ่มจำนวน ดำเนินการศึกษาเป็นระยะเวลา 7 วัน ผลการศึกษาการเจริญเติบโตของแบคทีเรียรวมกลุ่มในอาหารเลี้ยงเชื้อที่มีโซโนไซยาเนตและโลหะไขยาในด พนว่า แบคทีเรียกลุ่มนี้สามารถเจริญเติบโตและแบ่งเซลล์ได้สูงสุดในวันที่ 3 ของการศึกษา โดยมีจำนวนโคลoni เท่ากับ 1.03×10^8 cfu/ml. และมีแนวโน้มลดลงจนถึงวันที่ 7 ของการศึกษา โดยมีจำนวนโคลoni เท่ากับ 1.11×10^7 cfu/ml. เมื่อพิจารณาแยกแต่ละชนิดของจุลินทรีย์พบว่า *Agrobacterium tumefaciens* SUTS 1 สามารถเจริญเติบโตและแบ่งเซลล์ได้สูงสุดในวันที่ 3 เท่านั้น โดยมีจำนวนโคลoni เท่ากับ 8.70×10^7 cfu/ml. ส่วน *Pseudomonas monteilii* SUTS 2 สามารถแบ่งเซลล์ได้สูงสุดในวันที่ 1 ของการศึกษา มีจำนวนโคลoni เท่ากับ 1.70×10^7 cfu/ml. ซึ่ง *Agrobacterium tumefaciens* SUTS 1 สามารถเจริญเติบโตและแบ่งเซลล์เพิ่มจำนวนได้ดีกว่า *Pseudomonas monteilii* SUTS 2 ดังแสดงในตารางที่ 4.2 และกราฟการเจริญเติบโตของแบคทีเรียแบบรวมกลุ่มดังแสดงในภาพที่ 4.1 แสดงว่าการรวมกลุ่มกันของแบคทีเรียทั้งสองชนิดนี้สามารถเจริญเติบโตได้ดีในสภาพที่มีสารประกอบไขยาในด์ได้แก่ โซโนไซยาเนตและโลหะไขยาในด์ในรูปของสังกะสีและแคดมีียม

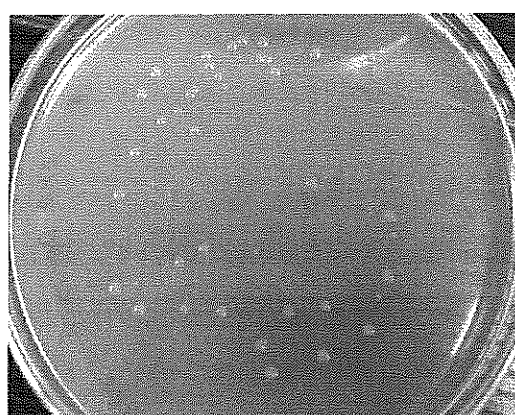
ตารางที่ 4.2 การเจริญเติบโตของจุลินทรีย์แบบรวมกลุ่มในสารประกอบไขยาในด์

ระยะเวลา (วัน)	จำนวนเซลล์ (colony forming unit/ml.)		
	<i>Agrobacterium tumefaciens</i> SUTS 1	<i>Pseudomonas monteilii</i> SUTS 2	Mixed culture
0	1.50×10^6	5.00×10^5	2.00×10^6
1	6.25×10^7	1.70×10^7	7.95×10^7
2	3.55×10^7	1.40×10^7	4.95×10^7
3	8.70×10^7	1.55×10^7	1.03×10^8
4	2.45×10^7	6.50×10^6	3.10×10^7
5	1.20×10^7	2.50×10^6	1.45×10^7
6	9.15×10^6	6.15×10^6	1.53×10^7
7	8.15×10^6	2.90×10^6	1.11×10^7



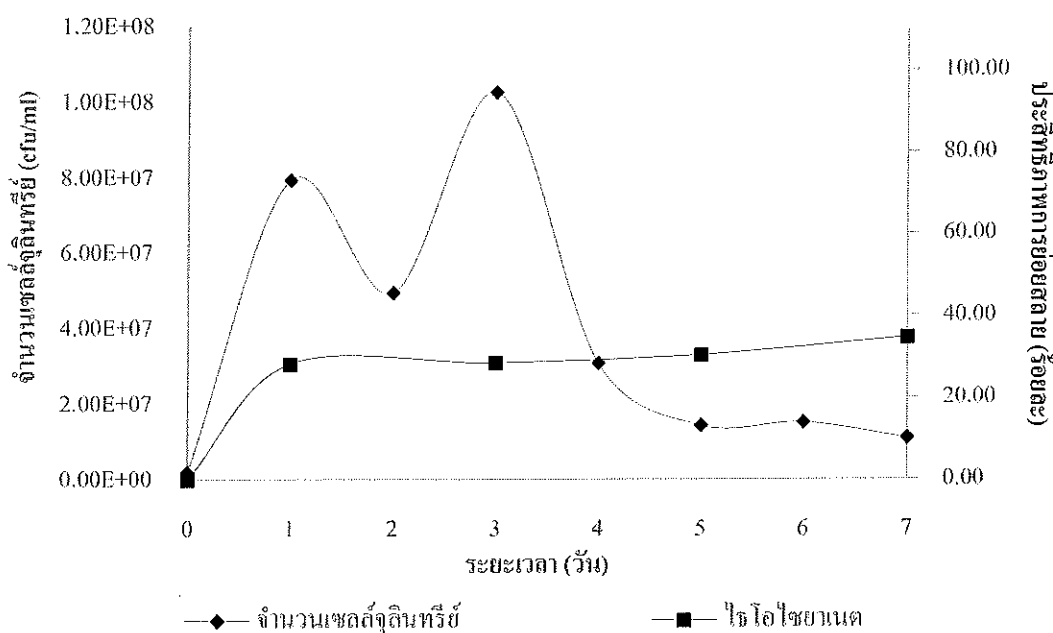
ภาพที่ 4.1 การเจริญเติบโตของจุลินทรีย์รวมกุ่ม (Mixed culture microbial growth curve) ในช่วงระยะเวลา 7 วัน

นอกจากนี้ยังมีงานวิจัยที่กันพบว่ามีจุลินทรีย์ที่สามารถย่อยสลายไฮโซไซยาเนตได้ เช่น *Arthrobacter*, *Bacillus*, *Escherichia*, *Klebsiella*, *Methylobacterium*, *Pseudomonas* และ *Thiobacillus* species (Boucabeille et al., 1994; Ebbs, 2004; Ahn et al., 2005) เป็นต้น ด้วยการใช้ไฮโซไซยาเนตและไฮยาไนด์เป็นแหล่งคาร์บอนและในโตรเจน ทำให้ความเป็นพิษลดลง ซึ่งงานวิจัยนี้มีการค้นพบอีกว่ามีแบคทีเรียที่มีความสามารถในการเจริญเติบโตได้ในแหล่งอาหารที่มีสารประกอบไฮยาไนด์ไฮโซไซยาเนตและโลหะไฮยาไนด์ได้ คือ แบคทีเรียในกลุ่มของ *Agrobacterium* เป็นงานแรกที่ค้นพบว่าสามารถเจริญได้ในสารประกอบไฮยาไนด์โดยเฉพาะอย่างยิ่งโลหะไฮยาไนด์ที่มีความเป็นพิษสูงต่อสิ่งมีชีวิตและมลพิษต่อสิ่งแวดล้อม ดังแสดงในภาพที่ 4.2



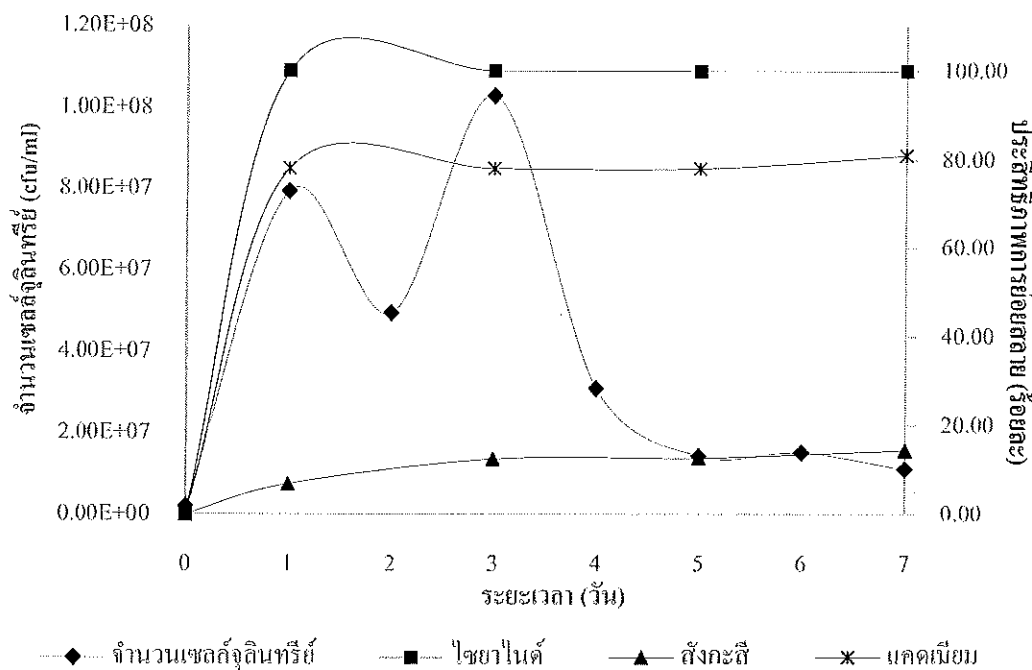
ภาพที่ 4.2 สักขยณะโคโลนีที่เจริญในอาหารเตียงเชื้อที่มีไฮโซไซยาเนตและโลหะไฮยาไนด์

ขณะเดียวกันเมื่อทำการศึกษาประสิทธิภาพการย้อมสลายสารประกอบในรูปของ ไฮโอลิไซดานेट (Thiocyanate: SCN⁻) จากการศึกษาการย้อมสลายไฮโอลิไซดานेटในช่วงระยะเวลา 7 วัน พบว่าจุลินทรีรวมกลุ่มสามารถย้อมสลายไฮโอลิไซดานेटได้โดยมีความเข้มข้นของไฮโอลิไซดานेट คลดลงเหลือ 57.30 มก./ล. จากความเข้มข้นเริ่มต้น 87.88 มก./ล. คิดเป็นร้อยละ 34.80 (ตารางที่ 4.3 และภาพที่ 4.3) จะเห็นได้ว่าจุลินทรีรวมกลุ่มสามารถย้อมสลายไฮโอลิไซดานेटได้อย่างรวดเร็ว ในช่วง 24 ชั่วโมงแรก ลดลงเหลือ 2.00 x 10⁶ cfu/ml. เพิ่มขึ้นเป็น 7.95 x 10⁷ cfu/ml. ในวันที่ 1 ของการศึกษาเข่นกัน โดยสามารถย้อมสลายไฮโอลิไซดานे�टลดลงเหลือ 63.15 มก./ล. คิดเป็นร้อยละ 28.15 หลังจากจำนวน เชลล์เริ่มต้นเท่ากับ 2.00 x 10⁶ cfu/ml. ในวันที่ 1 ของการศึกษาเข่นกัน โดยที่เริ่มรวมกลุ่มสามารถย้อมสลายได้ต่อเนื่องตลอดช่วงระยะเวลา 7 วันของการศึกษา ซึ่ง ไฮโอลิไซดานสามารถถูกนำเสนอให้เป็นแหล่งคาร์บอนและ/หรือแหล่งไนโตรเจนสำหรับจุลินทรีได้อย่างไรก็ตามค่ามาตรฐานสำหรับการปลดอยทึ้งออกสู่สิ่งแวดล้อมของน้ำทึ้งที่ปะปื้อนไฮโอลิไซดานेट ยังไม่มีการกำหนดอย่างแน่นหนา แต่ไฮโอลิไซดานेटจัดเป็นสารที่มีความเป็นพิษน้อยกว่าไฮยาโนต์ และสามารถถูกออกซิได้ได้ง่ายกว่าไฮยาโนต์ จึงสามารถสลายตัวได้ง่าย กลายเป็นสารต่างๆที่มีความ เป็นพิษลดลง แต่หากไม่มีการควบคุมหรือป้องกันก่อนปลดอยทึ้งออกสู่สิ่งแวดล้อม ไฮโอลิไซดานेट อาจสะสมทึ้งในน้ำและดินได้ รวมทึ้งอาจจะส่งผลกระทบต่อสิ่งมีชีวิต เมื่อความเข้มข้นของ ไฮโอลิไซดานे�टที่สะสมมากพอกจะถึงระดับที่ก่อให้เกิดพิษต่อสิ่งมีชีวิต



ภาพที่ 4.3 ความสามารถในการย้อมสลายไฮโอลิไซดานेट (SCN⁻) โดยจุลินทรีรวมกลุ่ม (Mixed culture)

สำหรับการศึกษาประสิทธิภาพการย่อยสลายสารประกอบน้ำชาในดินในรูปของโลหะ ไชยาในดินจากการศึกษาพบว่ามีไชยาในดินเริ่มต้น 0.69 มก./ล. และวิเคราะห์โลหะหนักในรูปของ สังกะสี (Zinc: Zn) และแคนเดเมียม (Cadmium: Cd) โดยสังกะสีมีความเข้มข้นเริ่มต้นเท่ากับ 0.442 มก./ล. สำหรับสังกะสีนี้นองจากมาจากโลหะ ไชยาในดินในรูปของสังกะสีไชยาในดิน (Zinc cyanide) แล้วขึ้งเกิดจากสังกะสีซัลเฟต (Zinc sulphate: ZnSO₄) ที่เป็นองค์ประกอบหนึ่งในสารละลายเกลือในอาหารเดียงซื้อ Buffer medium เมื่อวิเคราะห์หาความเข้มข้นเฉพาะสังกะสีซัลเฟต ที่เป็นองค์ประกอบใน Buffer medium พบร่วมกับสังกะสี เท่ากับ 0.287 มก./ล. ดังนั้นการศึกษานี้จะพิจารณาการย่อยสลาย สังกะสีทั้งในรูปของสังกะสีไชยาในดิน และสังกะสีซัลเฟต ล้วนความเข้มข้นของแคนเดเมียม เริ่มต้น เท่ากับ 0.050 มก./ล. จากการศึกษาการย่อยสลายโลหะ ไชยาในดินลดลงช่วงระยะเวลา 7 วันของ การศึกษา พบร่วมกับสังกะสีไชยาในดินที่คิดเป็นร้อยละมากกว่า 99.99 โดยไม่ พบร่วมกับสังกะสีไชยาในดินเท่ากับ 0.0095 มก./ล. คิดเป็นประสิทธิภาพการกำจัด ร้อยละ 14.48 และ 81.00 ตามลำดับ ในวันที่ 7 ของการศึกษา จะเห็นได้ว่าสูตรที่ร่วมกับสังกะสีไชยาในดินสามารถกำจัดแคนเดเมียมได้ดีกว่าสังกะสี อาจเนื่องจาก แบบที่เรียกว่าสามารถปรับเปลี่ยนสภาพให้เข้ากับสภาพที่มีแคนเดเมียมได้ดีกว่า ซึ่งระดับความเข้มข้นของ แคนเดเมียม ในการศึกษานี้ยังไม่ได้ส่งผลกระทบต่อการทำงานของเซลล์ ทำให้แบบที่เรียกว่าสังกะสี สามารถกำจัดแคนเดเมียมได้ดี ขณะที่แบบที่เรียกว่าสังกะสี ได้อบายน้ำหนักต่อสังกะสี ได้ดีกว่า ซึ่งระดับความเข้มข้นของ สังกะสี และ แคนเดเมียม สำหรับประเทศไทย โดยกำหนดให้น้ำทึบที่ระบบออกจากร่องน้ำ คุณภาพรวมและนิคมคุณภาพรวมไม่เกิน 0.2, 5.0 และ 0.03 มก./ล. ตามลำดับ (ประกาศ กระทรวงวิทยาศาสตร์ เทคโนโลยีและสิ่งแวดล้อม, 2539) ซึ่งแบบที่เรียกว่าสังกะสี ไม่มีความสามารถในการย่อยสลายไชยาในดิน สังกะสีและแคนเดเมียมได้ตามเกณฑ์ ประสิทธิภาพการย่อยสลายโลหะ ไชยาในดินและไโซไซด์ไชยาในดินตั้งแต่ 4.4



ภาพที่ 4.4 ความสามารถในการย่อยสลายโลหะ ไซยาไนด์โดยจุลินทรีร่วมกัน

ตารางที่ 4.3 การย่อยสลายโลหะ ไซยาไนด์และ ไอโซไซยาเนตด้วยจุลินทรีร่วมกัน (Mixed culture)
จากการศึกษาการเจริญเติบโต (Growth curve) ของจุลินทรีร่วมกัน

ระยะเวลา (วัน)	ไซยาไนด์* (มก./ล.)	สังกะสี (มก./ล.)	แอดเมียน (มก./ล.)	ไอโซไซยาเนต (มก./ล.)	ไนเตรต (มก./ล.)	DO (มก./ล.)	pH
0	0.69±0.03	0.442±0.058	0.050±0.000	87.88±0.20	0.059±0.004	5.20±0.00	6.94±0.01
1	N.D.	0.412±0.029	0.011±0.000	63.15±0.26	0.300±0.046	6.27±0.25	7.01±0.02
3	N.D.	0.387±0.006	0.011±0.001	62.86±0.29	0.351±0.021	5.63±0.15	7.03±0.00
5	N.D.	0.386±0.004	0.011±0.000	61.08±0.32	0.457±0.035	5.27±0.06	7.06±0.05
7	N.D.	0.378±0.001	0.0095±0.001	57.30±0.21	0.408±0.014	5.30±0.00	7.03±0.01

หมายเหตุ: ผลการวิเคราะห์ที่แสดงในตารางค้านบนแสดงในรูปของ Mean±SD

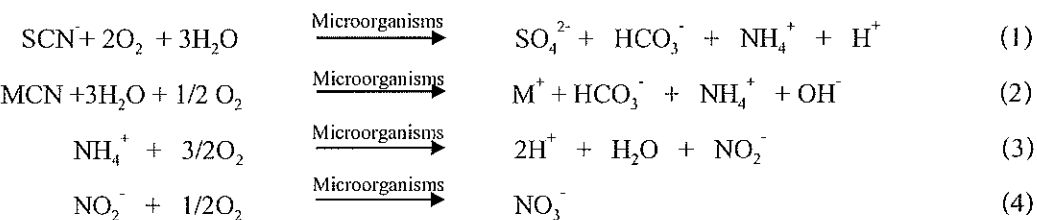
N.D. หมายถึง Not Detected ตรวจไม่พบในการศึกษาครั้งนี้

* Detection limit สำหรับการวิเคราะห์ไซยาไนด์เหลืออยู่ (Residue cyanide) ด้วยวิธี titrimetric (Titrimetric method) สำหรับตัวอย่างน้ำที่มีไซยาไนด์ตั้งแต่ 1 มก./ล. (APHA, AWWA, WPCF, 2005)

ตารางที่ 4.4 ประสิทธิภาพการย่อยสลายโลหะไฮยาไนด์และไฮโอไฮยาเนตจากการศึกษาการเจริญเติบโต (Growth curve) ของจุลินทรีที่ร่วมกัน

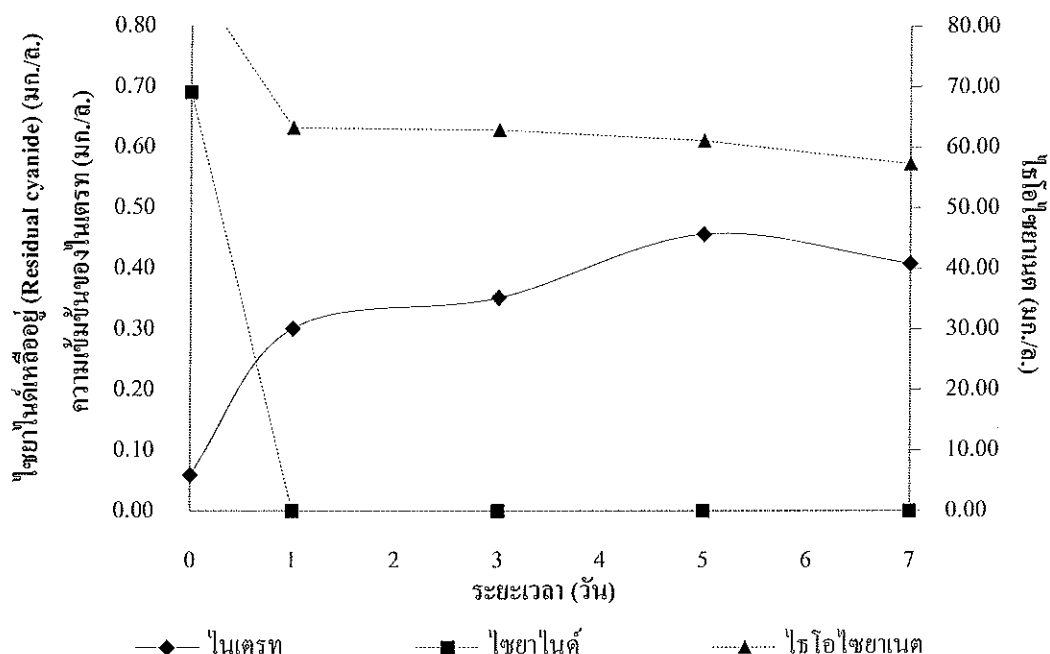
ระยะเวลา (วัน)	ไฮยาไนด์ (ร้อยละ)	ตั้งคงตัว (ร้อยละ)	แอดเมียร์ (ร้อยละ)	ไฮโอไฮยาเนต (ร้อยละ)
0	0.00	0.00	0.00	0.00
1	>99.99	6.90	78.00	28.15
3	>99.99	12.56	78.00	28.48
5	>99.99	12.78	78.00	30.49
7	>99.99	14.48	81.00	34.80

ในการศึกษานี้นอกจากศึกษาการเจริญเติบโต (Growth curve) ของจุลินทรีที่ร่วมกันแล้ว ศึกษาความสามารถในการย่อยสลายสารประกอบไฮยาไนด์ ยังได้ดำเนินการวิเคราะห์สารผลิตภัณฑ์ (By-product) ที่เกิดขึ้นจากการย่อยสลายสารประกอบไฮยาไนด์ในรูปของไนเตรท ($\text{Nitrate: } \text{NO}_3^-$) ซึ่งเป็น By-product ตัวหนึ่งที่สามารถเกิดขึ้นได้จากการบวนการย่อยสลายไฮโอไฮยาเนตและโลหะไฮยาไนด์โดยจุลินทรี ทำให้อุปกรณ์มีความเป็นพิษลดลง ดังแสดงในสมการ (1) ถึง (4)



ในเตตรทะจะเกิดขึ้นมากหรือน้อยนั้น เกี่ยวข้องกับปริมาณของสารประกอบไฮยาไนด์ที่ถูกย่อยสลายไป โดย By-product ที่เกิดขึ้นไม่ได้เกิดเฉพาะในเตตรทะเท่านั้น ยังมีสารประกอบตัวอื่นที่สามารถเกิดขึ้นหลังจากปฏิกิริยาการย่อยสลายสารประกอบไฮยาไนด์โดยจุลินทรี เช่น ซัลเฟต (SO_4^{2-}) ในคาร์บอนเนต (HCO_3^-) และโมโนเมต (NH_3) ในไตรท (NO_2) เป็นต้น ดังแสดงในปฏิกิริยา (1) ถึง (4) แต่สำหรับการศึกษาการเจริญเติบโตของจุลินทรีที่ร่วมกัน (Growth curve) ในขั้นตอนทดสอบเบื้องต้นนี้ดำเนินการศึกษาเฉพาะปริมาณในเตตรทะที่เกิดขึ้นจากการย่อยสลายของไฮยาไนด์และไฮโอไฮยาเนต เนื่องจากในเตตรทะเป็น By-product ตัวสุดท้ายที่เกิดขึ้นจากการเปลี่ยนรูป (Transformation) จากแอมโมเนียมเป็นไนโตรท และจากไนโตรทเปลี่ยนเป็นไนเตรท หลังจากที่ไฮยาไนด์ถูกย่อยสลายจนไม่พบรดีดเป็นร้อยละมากกว่า 99.99 และ ไฮโอไฮยาเนตถูกย่อยสลายคิด

เป็นร้อยละ 28.15 (63.15 มก./ล.) ในช่วง 24 ชั่วโมงแรกของการศึกษา ผลการศึกษาพบว่าในเศรษฐมีแนวโน้มเพิ่มสูงขึ้นจากวันแรกที่มีในเศรษฐเริ่มต้นเท่ากับ 0.059 มก./ล. (ตารางที่ 4.3) และเกิดขึ้นอย่างต่อเนื่องตลอดช่วงระยะเวลา 7 วันของการศึกษา โดยมีในเศรษฐเกิดขึ้นสูงสุดในวันที่ 5 ของการศึกษาเท่ากับ 0.457 มก./ล. (ภาพที่ 4.5) ปริมาณในเศรษฐที่เกิดขึ้นนี้จุลินทรีย์สามารถนำไปใช้ประโยชน์เป็นแหล่งในโครงสร้างเพื่อการเจริญเติบโตและสร้างเซลล์ใหม่ได้ โดยสามารถนำไปใช้ประโยชน์ได้ง่ายและรวดเร็วกว่าในรูปของสารประกอบไฮยาโนด์ ขณะเดียวกัน ไฮยาโนด์ถูกย่อยสลายหมดภายใน 24 ชั่วโมงจนกระทั่งในวันที่ 7 ทำให้จุลินทรีย์มีการปรับตัวและต้องการแหล่งใหม่ด้วยใน 24 ชั่วโมงจนกระทั่งในวันที่ 7 ทำให้จุลินทรีย์มีการปรับตัวและต้องการแหล่งใหม่ด้วยภายในเศรษฐนำไปใช้ในการเจริญเติบโต ดังนั้นอาจทำให้ในเศรษฐในระบบมีแนวโน้มลดลงได้



ภาพที่ 4.5 ความสัมพันธ์ระหว่างปริมาณในเศรษฐที่เกิดขึ้นจากการย่อยสลายของไฮโธไซยาเนตและไฮยาโนด์

4.2 ผลการศึกษาระยะแรก (Short term period) ของการพัฒนาความสามารถของจุลินทรีย์ด้วยระบบพิกซ์-ฟิล์มไบโอสครับเบอร์ (Fixed-film bioscrubber)

จากผลการเจริญเติบโต (Growth curve) ของจุลินทรีย์รวมกคุณที่ได้ศึกษาทำให้ทราบว่า จุลินทรีย์รวมกคุณสามารถปรับตัว เจริญเติบโตและแบ่งเซลล์ได้เมื่อมองค์ประกอบของโลกของไฮยาโนด์ และไฮโธไซยาเนตเป็นปัจจัยที่ดังนั้นจึงทำการพัฒนาการศึกษาต่อไปคือการประยุกต์ระบบบำบัดโดย พัฒนาความสามารถของจุลินทรีย์ดังกล่าวในการย่อยสลายสารประกอบไฮยาโนด์ด้วยการทดสอบระบบพิกซ์ฟิล์มในไบโอสครับเบอร์เพื่อหาอัตราการไหลที่เหมาะสมสำหรับระบบในการย่อยสลาย

สารประกอบไซยาไนด์ได้อ่ายมีประสิทธิภาพสูงสุด ก่อนดำเนินการศึกยาระยะแรก (Short term period) ได้ทำการตั้งเซลล์ (Immobilized cell) จุลินทรีย์รวมกลุ่มนับตัวกลางพลาสติกที่ทำด้วย Polypropylene pall (PP) ring เป็นระยะเวลา 15 วัน สุ่ม (Random) ตัวกลางพลาสติก ดำเนินการชั่งน้ำหนักที่ทำการตั้งเซลล์ในวันที่ 15 เพื่อคุณน้ำหนักที่เพิ่มขึ้นและพบว่า น้ำหนักของตัวกลางเพิ่มขึ้นเฉลี่ย 0.0034 กรัม (ตารางที่ 4.5) ผลดังกล่าวแสดงให้เห็นว่า มีเซลล์ของจุลินทรีย์รวมกลุ่มจับที่ตัวกลางโดยพบการเจริญของเซลล์ในสารอาหารที่ใช้เดียงจุลินทรีย์ระหว่างการตั้งเซลล์ด้วย จำนวนนี้จึงนำตัวกลางที่ตั้งเซลล์แล้วใส่ในระบบพิกซ์-ฟิล์ม ใบโอสครับเบอร์เพื่อทดสอบในขั้นแรกต่อไป โดยตัวแปรที่ใช้สำหรับการศึกษานี้ คือ อัตราการไหล (Liquid flow rate) ดำเนินการทดลองที่ 10 มล./นาที และ 30 มล./นาที คิดเป็นระยะเวลาเก็บตัวอย่างที่ 21 นาที และ 7 นาที ตามลำดับ ทั้งนี้เพื่อหาอัตราการไหลที่เหมาะสมตามระยะเวลาเก็บตัวอย่างที่ 24 ชั่วโมง ทำการเก็บตัวอย่างที่เวลา 0, 6, 12 และ 24 ชั่วโมง ตามลำดับ

ตารางที่ 4.5 การสุ่ม (Random) ชั่งน้ำหนักตัวกลางพลาสติก Polypropylene pall (PP) ring หลังจาก การตั้งเซลล์ (Cell immobilization) ในวันที่ 15

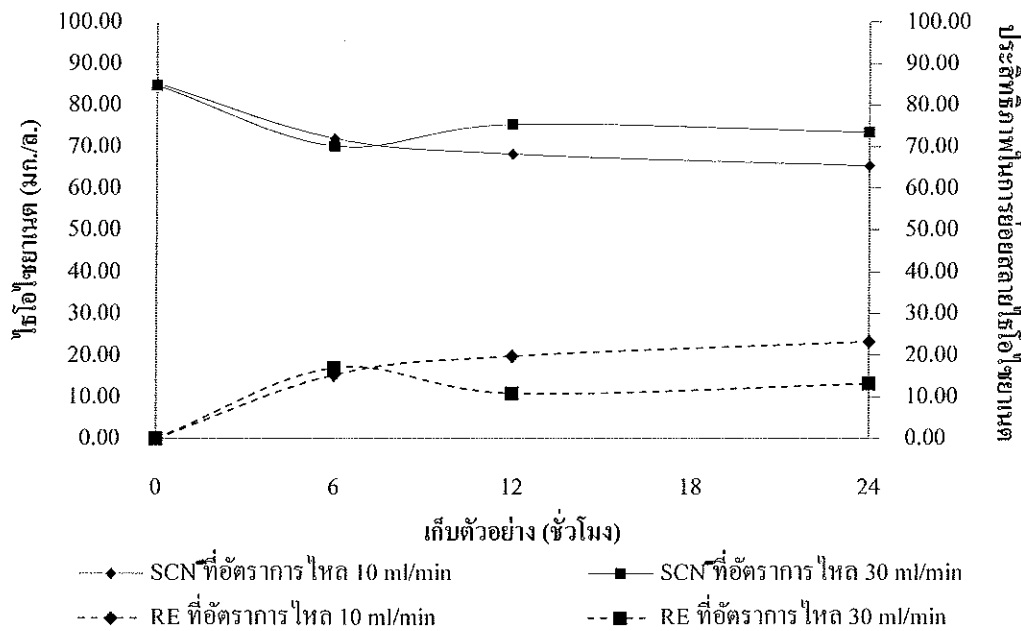
ตัวกลางพลาสติก	น้ำหนักตัวกลาง PP ring ที่เพิ่มขึ้น*(กรัม)
1	0.0039±0.0000
2	0.0031±0.0001
3	0.0032±0.0001
เฉลี่ย (Average)	0.0034±0.0004

หมายเหตุ : * หมายถึง Mean±SD

4.2.1 การบำบัดสารประกอบไซยาไนด์ในรูปของไฮโอลไซยานेट (Thiocyanate: SCN⁻)

การศึกษาประสิทธิภาพในการบำบัดไฮโอลไซยานे�ตด้วยระบบพิกซ์-ฟิล์ม ใบโอสครับเบอร์ ผลการทดลองที่อัตราการไหล 10 มล./นาที และ 30 มล./นาที โดยมีค่าไฮโอลไซยานे�ตเริ่มต้นเท่ากับ 85.12 มก./ล. และ 84.65 มก./ล. ตามลำดับ จากการศึกษาพบว่า ทั้งสองอัตราการไหล ไฮโอลไซยานे�ตสามารถถูกย่อยสลายโดยจุลินทรีย์ในระบบได้อย่างรวดเร็ว ตั้งแต่ 6 ชั่วโมงแรกของการศึกษา มีความเพิ่มขึ้นของไฮโอลไซยานे�ตลดลงเหลือ 72.01 มก./ล. และ 70.17 มก./ล. คิดเป็นร้อยละ 15.40 และ 17.11 ตามลำดับ เมื่อเก็บตัวอย่างวิเคราะห์ที่ 24 ชั่วโมงสำหรับอัตราการไหลที่ 10 มล./นาที พบ ไฮโอลไซยานे�ตลดลงเหลือ 65.35 มก./ล. คิดเป็นร้อยละ 23.23 ส่วนที่อัตราการไหล 30 มล./นาที ไฮโอลไซยานे�ตลดลงเหลือ 73.47 มก./ล. คิดเป็นร้อยละ 13.21 จากการศึกษาสามารถสังเกตได้ว่า การลดลงของไฮโอลไซยานे�ตที่อัตราการไหล 10 มล./นาที มีอัตราการย่อยสลายสูงกว่าที่อัตรา

การไหล 30 มล./นาที โดยมีแนวโน้มการลดลงทุกๆ 6 ชั่วโมง ในขณะที่อัตราการไหล 30 มล./นาที ความสามารถในการย่อยสลายโดยจุลินทรีย์จะเกิดขึ้นเรื่อยๆ ได้ 6 ชั่วโมงแรกเท่านั้น โดยหลังจากชั่วโมงที่ 6 การย่อยสลายไนโตรไซยาเนตซ้ำๆ ลดลงเล็กน้อย ดังแสดงในภาพที่ 4.6 และตารางที่ 4.6



ภาพที่ 4.6 ประสิทธิภาพในการนำบัดไนโตรไซยาเนตที่อัตราการไหล 10 มล./นาที และ 30 มล./นาที

ตารางที่ 4.6 ประสิทธิภาพการนำบัดไนโตรไซยาเนตที่อัตราการไหล 10 มล./นาที และ 30 มล./นาที

เก็บตัวอย่าง (ชั่วโมง)	Liquid flow rate (มล./นาที)	ไนโตรไซยาเนต (มก./ล.)	ไนโตรไซยาเนต ที่อัตราการ ย่อยสลาย (ร้อยละ)
0	10	85.12±0.10	0.00
6		72.01±0.16	15.40
12		68.23±0.38	19.84
24		65.35±0.56	23.23
0	30	84.65±0.04	0.00
6		70.17±0.62	17.11
12		75.35±0.08	10.99
24		73.47±0.36	13.21

หมายเหตุ: * หมายถึง Mean±SD

ดังนั้นสำหรับการศึกษานี้พบว่าที่อัตราการไอล 10 มล./นาที ระบบสามารถบำบัดไชโไฮยาเนตได้ดีกว่าที่อัตราการ 30 มล./นาที สำหรับเก็บอนุกูลชั่วโมง 6 ชั่วโมงของการศึกษาที่วิเคราะห์หน้าปริมาณไชโไฮยาเนตอาจเนื่องมาจากการที่อัตราการไอล 10 มล./นาที มีการไอลของน้ำเสียเข้าสู่ระบบช้ากว่า และมีระยะเวลาถูกเก็บที่บ่ประมวล 21 นาทีซึ่งนานกว่า ทำให้จุลินทรีรวมกลุ่มนี้มีระยะเวลาตามากพอในการสัมผัสน้ำสารมลพิษเพื่อการย่อยสลายไชโไฮยาเนต ส่งผลให้ประสิทธิภาพการบำบัดสูงขึ้น การลดลงของไชโไฮยาเนตในระบบมันเกิดจากการที่จุลินทรียึดไชโไฮยาเนตไปเพื่อเป็นแหล่งของคาร์บอน ในโตรเจนและ/หรือชัลเฟอร์ (Dzombak et al., 2006) สองคลื่นส้องกับงานวิจัยของ Karavaiko และคณะ (2000) รายงานว่าประสิทธิภาพการย่อยสลายไชโไฮยาเนตโดย *Pseudomonas putida*, strain 21; *Pseudomonas stutzeri*, strain 18 และ *Pseudomonas* sp., strain 5 เพื่อไชโไฮยาเนตในโตรเจนจะมีแนวโน้มลดลงเมื่อเพิ่มอัตราการไอล คั้นน้ำเข้มข้นเป็นต้องให้ระยะเวลาถูกจุลินทรีสำหรับการย่อยสลายไชโไฮยาเนต นอกจากนี้ยังขึ้นอยู่กับการออกแบบระบบบำบัด ความเข้มข้นของไชโไฮยาเนตและชนิดของจุลินทรี จากการศึกษาของ Ahn และคณะ (2005) รายงานว่าไชโไฮยาเนตที่ความเข้มข้นเริ่มต้น 250 มก./ล. สามารถถูกย่อยสลายโดย *Klebsiella* sp. เกิดขึ้นอย่างสมบูรณ์ที่ 7.5 วันของการศึกษา ส่วน Lim และคณะ (2008) รายงานว่าไม่พบไชโไฮยาเนตเหลืออยู่โดยใช้ระยะเวลาในการย่อยสลายโดยจุลินทรีเพียง 2.8 วัน จากไชโไฮยาเนตที่ความเข้มข้นในรูปของ KSCN เริ่มต้นเท่ากับ 838 มก./ล.

4.2.2 การบำบัดสารประกอบไชยาในดินรูปของโลหะไชยานิด (Metal cyanide)

การบำบัดสารประกอบไชยาในดินรูปของโลหะไชยานิดสังกะสีไชยานิด (Zinc cyanide) และแคดเมียมไชยานิด (Cadmium cyanide) ด้วยระบบพิกซ์-ฟิล์มไบโอดกรับเบอร์ที่อัตราการไอล 10 มล./นาที พบร่วมระบบสามารถบำบัดไชยานิดได้อย่างรวดเร็วซึ่งความเข้มข้นของไชยานิดลดลงเป็นสองเท่าในชั่วโมงที่ 6 ของการศึกษา พบร่วมไชยานิดเหลืออยู่ (Residual cyanide) เท่ากับ 0.31 มก./ล. จากความเข้มข้นเริ่มต้น 0.68 มก./ล. ประสิทธิภาพของระบบคิดเป็นร้อยละ 53.90 และไม่พบไชยานิดเหลืออยู่ในชั่วโมงที่ 12 และชั่วโมงที่ 24 ของการศึกษา ประสิทธิภาพของระบบจึงมากกว่าร้อยละ 99.99 ขณะที่ระบบสามารถบำบัดโลหะหนักในรูปของสังกะสีและแคดเมียมได้ต่อเนื่อง โดยพบร่วมในชั่วโมงที่ 24 สังกะสีและแคดเมียมถูกกำจัดลดลงเหลือ 0.210 มก./ล. และ 0.038 มก./ล. จากความเข้มข้นเริ่มต้น 0.440 มก./ล. และ 0.044 มก./ล. ตามลำดับ คิดเป็นประสิทธิภาพการบำบัดร้อยละ 52.29 และ 14.26 ตามลำดับ โดยความเข้มข้นของสังกะสีที่เกิดขึ้นในการทดลองไม่ได้เกิดมาจากสังกะสีไชยานิดเพียงอย่างเดียว แต่ความเข้มข้นของสังกะสียังเกิดจากสังกะสีชัลเฟต ($ZnSO_4$) ที่เป็นองค์ประกอบหนึ่งในสารละลายเกลือในอาหารเลี้ยงเชื้อ Buffer medium และเมื่อวิเคราะห์หากความเข้มข้นเฉพาะสังกะสีชัลเฟต์ที่เป็นองค์ประกอบใน Buffer medium พบร่วมสังกะสี

เท่ากับ 0.287 มก./ล. ดังนั้นสำหรับการศึกษานี้เมื่อถ่วงตัวถึงสังกะสี จะเกิดจากสังกะสีไซยาไนด์และสังกะสีชัลฟ์ อย่างไรก็ตามจากการศึกษาจะเห็นได้ว่าจุลินทรีย์แบบรวมกลุ่มสามารถถำจัดโลหะหนักในรูปป้องสังกะสีได้ดีกว่าแคคเมียม

เมื่อเพิ่มอัตราการไหลของระบบเป็น 30 มล./นาที พบร่วมระบบสามารถบันดาดโลหะไซยาไนด์ได้อย่างต่อเนื่อง กล่าวคือไซยาไนด์ลดลงเกือบร้อยละ 50 ในชั่วโมงที่ 6 ของการศึกษาเช่นเดียวกับที่อัตราการไหล 10 มล./นาที ซึ่งมีไซยาไนด์เหลืออยู่เท่ากับ 0.34 มก./ล. และไม่พบไซยาไนด์เหลืออยู่ที่ 24 ชั่วโมงของการศึกษา ประสิทธิภาพจึงเป็นร้อยละมากกว่า 99.99 สำหรับโลหะหนักที่เหลืออยู่ในรูปของสังกะสีและแคคเมียม สามารถถูกกำจัดลดลงเหลือ 0.283 มก./ล. และ 0.034 มก./ล. มีประสิทธิภาพในการบันดาดคิดเป็นร้อยละ 36.96 และ 29.75 ตามลำดับ โดยมีแนวโน้มการกำจัดสังกะสีได้ดีกว่าแคคเมียม เช่นเดียวกับการทดลองที่อัตราการไหล 10 มล./นาที ผลการวิเคราะห์โลหะไซยาไนด์เปรียบเทียบทั้งสองอัตราการไหล รายละเอียดดังแสดงในตารางที่ 4.7

ตารางที่ 4.7 การบันดาดโลหะไซยาไนด์ด้วยระบบพิกซ์-ฟล์ม ใบโอลิครับเบอร์ที่อัตราการไหล 10 มล./นาที และ 30 มล./นาที

เก็บ ตัวอย่าง (ชั่วโมง)	Liquid flow rate (มล./นาที)	ไซยาไนด์		สังกะสี		แคคเมียม	
		Residual CN ⁻ (มก./ล.)	ประสิทธิภาพ (ร้อยละ)	Zn ⁺ (มก./ล.)	ประสิทธิภาพ (ร้อยละ)	Cd (มก./ล.)	ประสิทธิภาพ (ร้อยละ)
0		0.68±0.03	0.00	0.440±0.01	0.00	0.044±0.000	0.00
6		0.31±0.01	53.90	0.338±0.00	23.15	0.032±0.001	27.45
12	10	N.D.	>99.99	0.300±0.01	31.85	0.035±0.000	19.94
24		N.D.	>99.99	0.210±0.01	52.29	0.038±0.000	14.26
0		0.67±0.00	0.00	0.450±0.01	0.00	0.049±0.002	0.00
6		0.34±0.01	49.29	0.309±0.00	31.25	0.039±0.000	18.72
12	30	0.17±0.01	74.98	0.278±0.00	38.15	0.033±0.001	31.15
24		N.D.	>99.99	0.283±0.01	36.96	0.034±0.001	29.75

หมายเหตุ: * ความเข้มข้นของสังกะสีเกิดจากสังกะสีไซยาไนด์ และสังกะสีชัลฟ์

N.D. หมายถึง Not Detected ตรวจไม่พบในการศึกษาครั้งนี้

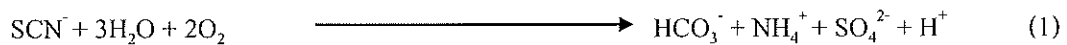
เมื่อพิจารณาในภาพรวมของการบันดาดโลหะไซยาไนด์เปรียบเทียบระหว่างสองอัตราการไหล พบร่วมระบบสามารถบันดาดไซยาไนด์ดีย่างรวดเร็วโดยไม่พบไซยาไนด์เหลืออยู่นั่นคือใช้เวลาเพียง 12 ชั่วโมงสำหรับอัตราการไหลที่ 10 มล./นาที ขณะที่เมื่อเพิ่มอัตราการไหลของระบบเป็น 30

มล./นาที การบำบัดไชยาในด้วยจุลินทรีย์จะเกิดขึ้นสมบูรณ์เมื่อเข้าสู่ช่วงไม่กี่ชั่วโมงที่ 24 ของการศึกษา ซึ่งการย่อยสลาย เกิดขึ้นได้มากกว่า อาจเนื่องมาจากที่อัตราการไหล 10 มล./นาที มีระยะเวลาปกติเก็บที่นานกว่า ทำให้ จุลินทรีย์รวมกลุ่มนี้มีระยะเวลามากพอในการสัมผัสกับสารมลพิษเพื่อการย่อยสลายไชยาในด้ ชั่วเดียวกับการย่อยสลายไฮโดรไซยาแนค สำหรับการกำจัดสังกะสีและแคนดเมียม โดยระบบนี้ สามารถเกิดขึ้นได้อีกชั่วโมงแรกของการศึกษาและหลังจากนั้นความสามารถในการกำจัดจะเพิ่มขึ้น 6 ชั่วโมงแรกของการศึกษาและหลังจากนั้นความสามารถในการกำจัดจะลดลงอย่างต่อเนื่อง แต่ในช่วง 6 ชั่วโมงแรกของการศึกษาและหลังจากนั้นความสามารถในการกำจัดจะเพิ่มขึ้น ตามที่คาดการณ์ไว้ โดยระบบจะสามารถกำจัดสังกะสีได้ดีกว่าแคนดเมียม อาจเนื่องมาจากการที่จุลินทรีย์สามารถนำสังกะสีไปออกฤทธิ์ในรูปของฟิกซ์ฟิล์ม ไม่ใช่ในรูปของโซลูชัน ทำให้สามารถกำจัดสังกะสีได้ดีกว่าแคนดเมียม จุลินทรีย์ (*Nies, 1999*) นอกจากนี้ยังมีการรายงานว่าความสามารถในการละลายของแคนดเมียม อะลัมฟิด (Cadmium sulfide: CdS) คือ 1.4×10^{-29} แต่ในสังกะสีชัลไฟฟ์ (Zinc sulfide: ZnS) ความสามารถในการละลายคือ 2.91×10^{-25} (*Weast, 1984*) แคนดเมียมจึงมีความเป็นพิษต่อเซลล์ของจุลินทรีย์มากกว่า สังกะสี (*Regan and Mast, 1990*) ดังนั้นจึงอาจเป็นสาเหตุให้จุลินทรีย์รวมกลุ่มนี้ในระบบสามารถกำจัดสังกะสีได้ดีกว่าแคนดเมียม ขณะที่จุลินทรีย์ยังสามารถนำสังกะสีไปใช้ประโยชน์สำหรับเซลล์ได้ เมื่อว่า จะมีการศึกษาว่าแคนดเมียมจะเป็นพิษต่อจุลินทรีย์แต่สำหรับจุลินทรีย์รวมกลุ่ม SUTS 1 และ SUTS 2 นั้นยังคงสามารถกำจัดแคนดเมียมได้อาจเกิดจากการทน (Resistance) ต่อแคนดเมียมของจุลินทรีย์ รวมกลุ่ม และยังมีจุลินทรีย์บางชนิดที่สามารถทนต่อแคนดเมียมได้ เช่น *Klebsiella aerogenes* เกิดการ สะสมแคนดเมียม ไอออนและสารประกอบชัลไฟฟ์อนินทรีย์ภายในเซลล์ในสัดส่วนความเข้มข้นที่ ใกล้เคียงกัน ถ่างผลให้เกิดการสร้างสารประกอบแคนดเมียมชัลไฟฟ์ขึ้นภายในเซลล์ (*Aiking et al., 1984*) ซึ่งกลไกการลดพิษแบบนี้เป็นการตกตระกอนแคนดเมียม โดยทำให้เป็นสารประกอบชัลไฟฟ์ที่ ไม่ละลายน้ำและการตกตระกอนที่ผิวน้ำของจุลินทรีย์หรือเกิดการสะสมแคนดเมียมภายในเซลล์ จุลินทรีย์ และการทนต่อแคนดเมียมใน *Cyanobacteria* จะมี Metallothioneins (*Olafson et al., 1979*) ซึ่ง การเพิ่ม Metallothioneins จะช่วยเพิ่มความสามารถในการทนต่อแคนดเมียม (*Gupta et al., 1992*) สำหรับกลไกการทนต่อสังกะสีของจุลินทรีย์ จุลินทรีย์จะสะสมสังกะสี โดยใช้กลไกการนำเข้าแบบ เร็วและไม่เฉพาะเจาะจงคือการนำเข้าโดยหนักผ่านทางเยื่อหุ้มเซลล์โดยไม่ต้องอาศัยพลังงานจาก ATP ใน การศึกษาของ Ahuja และคณะ (2001) ได้ศึกษากลไกการทนต่อสังกะสีของ *Cyanobacterium* สายพันธุ์ *Oscillatoria angustissima* พบว่า กลไกการ Efflux ของสังกะสีเกิดขึ้นภายหลังจากการ นำเข้าสังกะสีสูงสุด และการต้านทานพิษสังกะสีของจุลินทรีย์เกิดจากการลดการนำเข้าสังกะสี สู่เซลล์

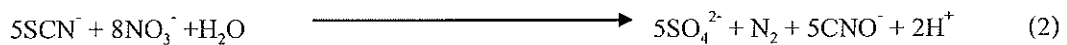
ดังนั้นจากการศึกษานี้จึงพบว่าแนวโน้มที่อัตราการไหล 10 มล./นาที ระบบฟิกซ์-ฟิล์ม ใบโอลิครับเบอร์มีประสิทธิภาพในการบำบัดโดยไชยาในด้ ได้ดีกว่าที่อัตราการไหล 30 มล./นาที ยกเว้นแคนดเมียมที่อัตราการไหล 30 มล./นาที สามารถถูกกำจัดได้ดีกว่า

4.2.3 ผลิตภัณฑ์ (By-product) ที่เกิดขึ้นจากการบำบัดสารประกอบไฮยาไนด์ในรูปของไฮโอลไฮยาเนตและโลหะไฮยาไนด์

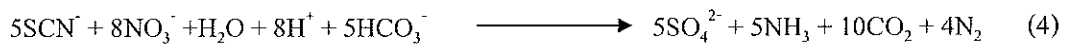
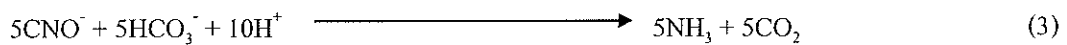
การศึกษาครั้งนี้ยังพบอีกว่าสารประกอบไฮยาไนด์ในรูปของไฮโอลไฮยาเนตและโลหะไฮยาไนด์สามารถถูกเปลี่ยนรูปคลายเป็นสารที่มีความเป็นพิษลดลง (Less toxic) ปฏิกิริยาการย่อยสลายไฮโอลไฮยาเนตทั้งในสภาวะที่มีออกซิเจนและไม่มีออกซิเจนดังแสดงในสมการที่ 1-4 (Whitlock, 1990; Hung and Pavlostathis, 1997; Akcil, 2003)



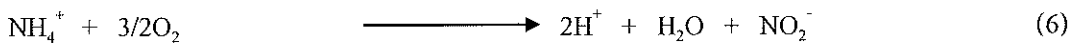
หรือ



หรือ



ขณะที่ปฏิกิริยาการกำจัดโลหะไฮยาไนด์โดยชุลินทรีย์จะเปลี่ยนเป็นสารที่มีความเป็นพิษน้อยลง ดังแสดงในสมการที่ 5-7 (Whitlock, 1990; Akcil, 2003)



ช่องในการศึกษานี้ดำเนินการวิเคราะห์สารผลิตภัณฑ์ที่อาจเกิดขึ้นจากการย่อยสลายสารประกอบไฮยาไนด์โดยชุลินทรีย์รวมกับในรูปของ ซัลเฟต (Sulfate: SO_4^{2-}) ไบคาร์บอเนต (Bicarbonate: HCO_3^-) แอมโมเนียม (Ammonia: NH_3) และไนเตรท (Nitrate: NO_3^-) จากการศึกษาพบว่าที่อัตราการไหล 10 มล./นาที มีค่าความเข้มข้นเริ่มต้นของซัลเฟตและไนเตรทเท่ากับ 58.87 มก./ล. และ 0.05 มก./ล. ตามลำดับ ส่วนไบคาร์บอเนตและแอมโมเนียมในช่วง 0 ถึง 24 ชั่วโมงที่ 0 อย่างไรก็ตามสำหรับค่าซัลเฟตและไนเตรทที่พบนั้นเกิดมาจาก Buffer medium ที่เป็นองค์ประกอบในอาหารเดียวเช่น จากการศึกษามีการบำบัดไฮโอลไฮยาเนตและโลหะไฮยาไนด์ตั้งแต่ 6 ชั่วโมงแรก พบร่วมกับสารผลิตภัณฑ์เริ่มเกิดขึ้นในช่วงที่ 6 ของการศึกษา เช่นกัน ช่องทดลองช่วงระยะเวลา 24 ชั่วโมงของ การศึกษาพบว่าซัลเฟตและไนเตรทมีแนวโน้มเพิ่มขึ้นโดยมีค่าสูงสุดในช่วงที่ 24 มีค่าเท่ากับ 60.60 มก./ล. และ 0.06 มก./ล. ตามลำดับ ซึ่งการเพิ่มขึ้นของสารผลิตภัณฑ์จะแปรผกผันกับปริมาณของ

ไฮโอลิซานเดและโลหะไฮยาไนด์ที่บำบัดได้ ขณะที่ในการบอนเนตมีค่าเพิ่มขึ้นสูงสุดในชั่วโมงที่ 6 เท่ากับ 75.00 มก./ล.พินปูน และหลังจากนั้นจะมีแนวโน้มลดลงเท่ากับ 5.00 มก./ล.พินปูน ในชั่วโมงที่ 24 ของการศึกษา ขณะที่ตลอดช่วงระยะเวลาการทดลองไม่พบว่ามีแอมโมเนียเกิดขึ้น เมื่อเพิ่มอัตราการไหลเป็น 30 มล./นาที ผลการศึกษาพบว่าตั้งแต่เพตและไนเตรียมีแนวโน้มเพิ่มสูงขึ้นจนถึงชั่วโมงที่ 24 ของการศึกษาเท่ากับ 69.44 มก./ล. และ 0.11 มก./ล. ตามลำดับ เช่นเดียวกับการทดลองของอัตราการไหลที่ 10 มล./นาที ขณะที่ในการบอนเนตและแอมโมเนียไม่พบตลอดช่วงระยะเวลาของการศึกษา รายละเอียดดังแสดงในตารางที่ 4.8

อย่างไรก็ตามจากการศึกษาสำหรับทั้งสองอัตราการไหลไม่พบแอมโมเนียเกิดขึ้นในระบบอาจเนื่องมาจากระบบที่ปริมาณออกซิเจนที่เพียงพอสำหรับการเกิดปฏิกิริยาอย่างรวดเร็วในการเปลี่ยนรูปของแอมโมเนียไปเป็นไนเตรท (Chapatwala et al., 1998; Sirianuntapiboon and Chuamkaew, 2007) หรือแอมโมเนียถูกนำไปใช้อย่างรวดเร็วเพื่อเป็นแหล่งพลังงานและแหล่งไนโตรเจน โดยจุลินทรีย์ (Hung and Pavlostathis, 1999; Sorokin et al., 2001) ซึ่ง *Agrobacterium tumefaciens* SUTS 1 สามารถย่อยสลายไฮยาไนด์และผลิตภัณฑ์สูคท้ายทำให้เกิดแอมโมเนียและไนเตรท โดยความเข้มข้นในเครื่องจะเพิ่มขึ้นเมื่อความเข้มข้นของแอมโมเนียลดลงหรือไม่พบแอมโมเนีย (Potivichayanon and Kitleartpormpairoat, 2010) สำหรับสารผลิตภัณฑ์ที่เกิดขึ้นในรูปของไนคาร์บอนเนตที่เกิดขึ้นจากการย่อยสลายไฮโอลิซานเดและโลหะไฮยาไนด์ โดยในการบอนเนตจะเกิดขึ้นสูงสุดในชั่วโมงที่ 6 ของการศึกษาสำหรับการทดลองที่อัตราการไหล 10 มล./นาที และหลังจากนั้นจะมีแนวโน้มลดลงจนถึงชั่วโมงที่ 24 ของการศึกษา ส่วนการทดลองที่อัตราการไหล 30 มล./นาที ไม่พบว่ามีไนคาร์บอนเนตเกิดขึ้น การทดลองของไนคาร์บอนเนตในระบบอาจเนื่องมาจากการบอนเนตถูกเปลี่ยนรูปให้กล้ายเป็นรูปอื่น เช่น การบอนไนโตรออกไซด์ (CO_2) หรือ แอมโมเนีย (NH_3) หรือ ก๊าซไนโตรเจน (N_2) ดังแสดงในสมการที่ 3 และ 4 (Whitlock, 1990; Hung and Pavlostathis, 1997; Akcil, 2003) ซึ่งทำให้ไนคาร์บอนเนตลดลงหรือทำให้ไม่พบไนคาร์บอนเนตในระบบ

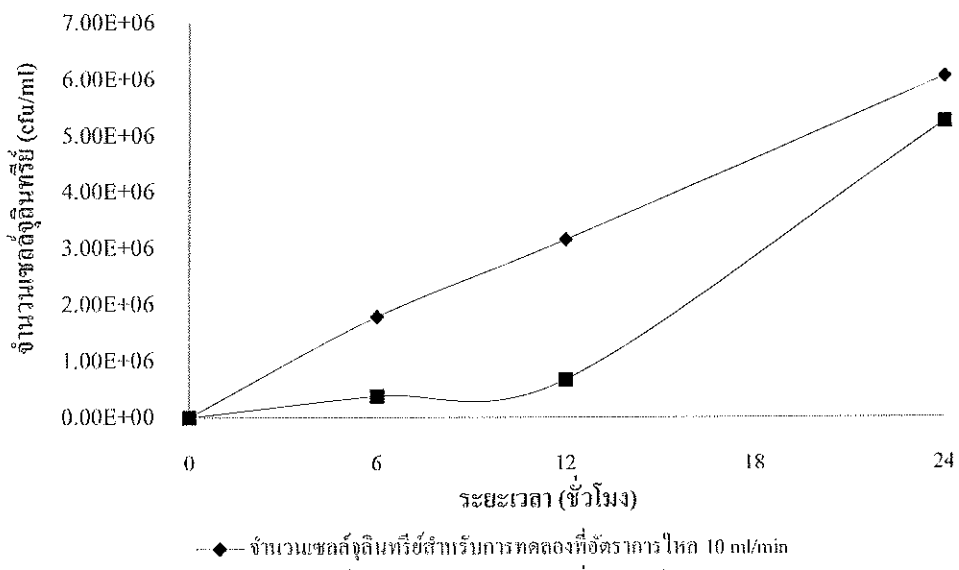
ตารางที่ 4.8 ผลิตภัณฑ์ (By-product) ที่เกิดจากการย่อยสลายไนโตรไซยาเนตและโลหะไฮยาไนด์โดยชุลินทรีร่วมกัน

เก็บตัวอย่าง (ชั่วโมง)	Liquid flow rate (ml./นาที)	ผลิตภัณฑ์ (By-product)			
		SO ₄ ²⁻ (มก./ล.)	HCO ₃ ⁻ (มก./ล. หินปูน)	NH ₃ (มก./ล.)	NO ₃ ⁻ (มก./ล.)
0	10	58.87±0.16	N.D.	N.D.	0.05±0.003
		56.00±0.07	75.00	N.D.	0.06±0.003
		59.49±0.07	30.00	N.D.	0.06±0.001
		60.60±0.07	5.00	N.D.	0.06±0.006
0	30	58.53±0.46	N.D.	N.D.	0.09±0.012
		59.18±0.18	N.D.	N.D.	0.10±0.005
		59.61±0.18	N.D.	N.D.	0.10±0.002
		69.44±0.14	N.D.	N.D.	0.11±0.001

หมายเหตุ: N.D. หมายถึง Not Detected ตรวจไม่พบในการศึกษาครั้งนี้

ระบบพิกซ์-ฟิล์มใบโอสครับเบอร์ เป็นระบบที่ชุลินทรีร่วมกัน (Mixed culture) ถูกตรึงเซลล์ (Immobilization) อยู่กับตัวกลางพลาสติก Polypropylene pall (PP) ring และแขวนลอยอิสระ (Suspended cell) อยู่ในน้ำ (Aqueous phase) จึงทำให้ชุลินทรีร่วมกันสามารถย่อยสลายสารประกอบไฮยาไนด์ในรูปของไนโตรไซยาเนตและโลหะไฮยาไนด์ได้อย่างมีประสิทธิภาพ อีกทั้งการเรียบนำกลับ (Recirculation) ยังช่วยให้สารประกอบไฮยาไนด์สามารถถูกนำมานำบัดซ้ำ และช่วยป้องกันการแห้งของเซลล์ชุลินทรีในตัวกลางพลาสติก ซึ่งเป็นการเพิ่มประสิทธิภาพของระบบพิกซ์-ฟิล์มใบโอสครับเบอร์อีกด้วย Chapatwala และคณะ (1998) รายงานว่า *Pseudomonas putida* ที่ถูกตรึงเซลล์ (Immobilized cell) สามารถย่อยสลายไฮยาไนด์ได้สูงกว่า *Pseudomonas putida* ที่แขวนลอยอิสระ (Non-immobilized cell) สองครั้งกับ Babu และคณะ (1992) รายงานว่าที่ความเข้มข้นสูงขึ้นของไฮยาไนด์ (มากกว่า 120 mM) *Pseudomonas putida* ที่ถูกตรึงเซลล์ (Immobilized cell) สามารถย่อยสลายไฮยาไนด์ได้ดีกว่า *Pseudomonas putida* ที่แขวนลอยอิสระ (Non-immobilized cell) ที่สามารถย่อยสลายไฮยาไนด์ได้ไม่เกิน 4 mM เช่นเดียวกับการย่อยสลายไนโตรไซยาเนตด้วย Biofilm reactor ทำให้อัตราการย่อยสลาย (Degradation rate) เกิดขึ้นสูงกว่า Suspended reactor และ Rotating biological contactor (RBC) reactor (Jeong and Chung, 2006) ตามลำดับ ซึ่งในการศึกษานี้ความสามารถในการย่อยสลายสารประกอบไฮยาไนด์เกิดขึ้นจากห้องชุดชุลินทรีที่มีค่าคงที่ของตัวกลางพลาสติกและชุลินทรีที่แขวนลอยอิสระซึ่งเกิดจากการหลุดออกของเซลล์ชุลินทรี โดยตลอดช่วงระยะเวลา 24 ชั่วโมงของ

การศึกษาจะดำเนินการตรวจสอบเชลล์จุลินทรีที่หลุดออกจากระบบโดยเก็บตัวอย่างวิเคราะห์ทุก 6 ชั่วโมง จากการทำ Spreading plate technique เปรียบเทียบระหว่างสองขั้นตอนของการไฟล์พบว่าต่อขณะระยะเวลาของการศึกษามีการหลุดออกของเชลล์จุลินทรีออกจากระบบ ซึ่งพบว่ามีจุลินทรีรวมกัน 4 สาย藻อยู่ในชั่วโมงที่ 24 เพื่อกับ 6.05×10^6 cfu/ml. และ 5.25×10^6 cfu/ml. สำหรับที่อัตราการไฟล์ 10 ml./นาที และ 30 ml./นาที ตามลำดับ (ภาพที่ 4.7) จุลินทรีที่หลุดออกสำหรับทั้งสองขั้นตอนการไฟล์มีจำนวนเซลล์ใกล้เคียงกัน ดังนั้นในการศึกษานี้ความสามารถในการย่อยสลายสารประกอบไฮยาไนด์เกิดขึ้นจากการย่อยสลายโดยจุลินทรีแบบรวมกันทั้งจากเชลล์ที่ยึดเกาะกับตัวกลางพลาสติกและที่แขวนโดยอิสระในระบบ ซึ่งจะช่วยส่งเสริมให้ความสามารถในการย่อยสลายสูงขึ้นตามหลักการทำงานของระบบฟิกซ์-ฟิล์ม ในโอดรับเบอร์ (Potivichayanon et al., 2006)



ภาพที่ 4.7 จำนวนเชลล์จุลินทรีที่แขวนโดยอิสระในระบบ

นอกจากนี้ยังมีการศึกษาต่อหลังจากสิ้นสุดการเดินระบบในชั่วโมงที่ 24 โดยทำการตรวจสอบจำนวนเชลล์จุลินทรีรวมกันที่ยึดเกาะที่ตัวกลาง ด้วย Spreading plate technique หลังจาก การ Sonicate เพื่อเขย่าเชือจุลินทรีให้หลุดออกจากตัวกลางพลาสติก โดยสุ่มตัวอย่างของตัวกลางที่อยู่ตำแหน่งบนสุดของคอลัมน์ ตำแหน่งตัวกลางพลาสติกตรงกลางคอลัมน์ และตำแหน่งตัวกลางพลาสติกตรงล่างสุดของคอลัมน์ ภายหลังจากการเดินระบบพบว่ามีจำนวนเชลล์จุลินทรีที่ยึดเกาะอยู่บนตัวกลางเพากับ 4.95×10^5 cfu/ml., 2.16×10^6 cfu/ml. และ 1.37×10^6 cfu/ml. ตามลำดับ ซึ่งพบว่า ตัวกลางพลาสติกที่อยู่บนสุดของคอลัมน์มีการหลุดของเชลล์จุลินทรีมากที่สุดเมื่อเปรียบเทียบกับจำนวนเชลล์จุลินทรีที่ยึดเกาะอยู่บนตัวกลางที่ตำแหน่งอื่น อาจเนื่องมาจากการต้านทานตัวกลางพลาสติก

มีโอกาสสัมผัสกับสารมลพิษโดยตรงมากกว่าที่คำแนะนำอื่นทำให้เกิดการชะลอของเซลล์จุลินทรีที่ถูกออกไปได้รวมทั้งจากการสู่มตัวกลางในคอสันน์โดยการซั่งน้ำหนักแห้งของตัวกลางภายหลังจากการเดินระบบ เพื่อคุณวโน้มการมีอยู่ของเซลล์จุลินทรีพบว่าหลังจากการเดินระบบยังคงมีจุลินทรีลดหายไปบนตัวกลาง (ตารางที่ 4.9) การคงอยู่ของเซลล์จุลินทรีแบบรวมกลุ่มหึ้งที่ดีลดการอญ่านตัวกลางและแพร่วนลดอย่างต่อเนื่องในระบบบันนี้แสดงให้เห็นว่าจุลินทรีรวมกลุ่ม SUTS 1 และ SUTS 2 สามารถเจริญเติบโตและใช้สารประกอบไชยาในเด็กเป็นแหล่งสารอาหารได้อย่างมีประสิทธิภาพ

ตารางที่ 4.9 น้ำหนักของตัวกลางพลาสติก Polypropylene pall (PP) ring ที่เพิ่มขึ้นภายหลังจากการเดินระบบระยะแรก

ตัวกลาง พลาสติก	น้ำหนักตัวกลาง PP ring ก่อนเริ่มเดินระบบ* (กรัม)	น้ำหนักตัวกลาง PP ring หลังเดินระบบ* (กรัม)	น้ำหนักตัวกลาง PP ring ที่เพิ่มขึ้น* (กรัม)
1	2.0681±0.0000	2.0716±0.0001	0.0035±0.0000
3	2.0291±0.0000	2.0298±0.0000	0.0007±0.0000
4	2.0430±0.0001	2.0468±0.0001	0.0037±0.0001
5	2.0388±0.0000	2.0423±0.0000	0.0035±0.0000
7	2.0504±0.0000	2.0559±0.0001	0.0055±0.0000
8	2.0419±0.0001	2.0447±0.0001	0.0028±0.0001

หมายเหตุ: * หมายถึง Mean±SD

4.3 ผลการศึกษาระยะยาว (Long term period) ของการพัฒนาความสามารถของจุลินทรีตัวระบบพิกซ์-ฟิล์มในโอดครับเบอร์ (Fixed-film bioscrubber)

จากผลการศึกษาระยะแรก คือการหาสภาวะที่เหมาะสมของอัตราการไหล (Liquid flow rate) เพื่อนำไปใช้กับการศึกษาระยะยาวสำหรับการบำบัดสารประกอบไชยาในตัวระบบพิกซ์-ฟิล์มในโอดครับเบอร์ (Fixed-film bioscrubber) พบว่าอัตราการไหลที่ 10 มล./นาที ที่ระยะเวลา กว่า 21 นาที ทำให้ระบบมีประสิทธิภาพในการบำบัดสารประกอบไชยาในตัวได้ดีกว่าอัตราการไหล 30 มล./นาที ที่ระยะเวลา กว่า 7 นาที ดังนั้นในการศึกษาระยะยาว (Long term period) จึงนำสภาวะที่เหมาะสมที่สุดคืออัตราการไหลที่ 10 มล./นาที โดยมีระยะเวลา กว่า 21 นาที อย่างไรก็ตามการศึกษาจัดส่วนใหญ่จะแยกทำการบำบัดสารประกอบไชยาในตัวแต่ละชนิด เช่น การย่อยสลายไชยาในตัว การย่อยสลายไชโอไชยานเต การย่อยสลายโลหะไชยาในตัว (Silva-avalos et al., 1990; Hung and Pavlostathis, 1997; Barclay et al., 1998; Patil and Paknikar, 2000; Jcong and Chung, 2006; Dash et al., 2009; Gurbuz et al., 2009; Potivichayanan and Kitleartpornpairoat, 2010) ซึ่งจากการทดสอบเบื้องต้น

จะเห็นว่าจุลินทรีย์รวมกลุ่ม (Mixed culture) คือ *Agrobacterium tumefaciens* SUTS 1 และ *Pseudomonas monteilii* SUTS 2 สามารถนำบัดสารประกอบน้ำยาในด้วยรูปของไชโอล่าให้ไชยาเนตรวมกับโลหะไชยาในด้วยดังนั้นการศึกษาวิจัยครั้งนี้จึงได้ออกแบบทำการพัฒนาความสามารถของจุลินทรีย์ในการย่อยสารประกอบไชยาในด้วยมากกว่าหนึ่งชนิดด้วยระบบฟิกซ์ฟิล์มในไอสครับเบอร์เพื่อให้สามารถประยุกต์ใช้จริงในการบำบัดน้ำเสียจากโรงงานอุตสาหกรรมซึ่งมีการป่นเปื้อนสารประกอบไชยาในด้วยมากกว่าหนึ่งชนิด การทดลองนี้อาจเป็นข้อมูลพื้นฐานสำหรับการนำจุลินทรีย์แบบรวมกลุ่มไปปรับใช้สำหรับการบำบัดสารประกอบไชยาในด้วยหลากหลายชนิดต่อไป

ทั้งนี้ก่อนเริ่มเดินระบบฟิกซ์-ฟิล์มในไอสครับเบอร์สำหรับการบำบัดสารประกอบไชยาในด้วยรูปของไชโอล่าและโลหะไชยาในด้วยนิการตรึงเซลล์ (Immobilized cell) จุลินทรีย์แบบรวมกลุ่มกับตัวกลางพลาสติก Polypropylene pall (PP) ring ก่อน เนื่องจากมีการศึกษาระยะแรก (Short term period) เพื่อให้จุลินทรีย์แบบรวมกลุ่มยึดเกาะอยู่กับตัวกลางพลาสติก ดำเนินการตรึงเซลล์เป็นระยะเวลา 30 วัน หลังจากนั้นทำการสุ่ม (Random) ชั้นหน้าหักตัวกลางพลาสติกในวันที่ 30 ก่อนเริ่มเดินระบบ เพื่อดูน้ำหนักของตัวกลางที่เพิ่มขึ้น ซึ่งหมายถึงการมีอุบัติจุลินทรีย์ที่ยึดเกาะอยู่บนตัวกลางจากการซั่งน้ำหนักพบว่ามีจุลินทรีย์จับที่ตัวกลาง โดยน้ำหนักของตัวกลางเพิ่มขึ้นโดยเฉลี่ย 0.0035 กรัม (ตารางที่ 4.10) จากนั้นจึงทำการ Pack column โดยการนำตัวกลางที่มีจุลินทรีย์ยึดเกาะอยู่เข้าในระบบทำการเดินระบบต่อเนื่องเป็นระยะเวลา 30 วันผลการศึกษาและประสิทธิภาพของระบบแสดงในตารางที่ 4.11 และ 4.12 และ ภาพที่ 4.8

ตารางที่ 4.10 การสุ่ม (Random) ชั้นหน้าหักตัวกลางพลาสติก Polypropylene pall (PP) ring หลังจากดำเนินการตรึงเซลล์ (Cell immobilization) ในวันที่ 30

ลำดับที่	น้ำหนักตัวกลาง PP ring ที่เพิ่มขึ้น* (กรัม)
1	0.0035±0.0001
2	0.0036±0.0001
เฉลี่ย (Average)	0.0035±0.0001

หมายเหตุ: * หมายถึง Mean±SD

ตารางที่ 4.11 ผลการศึกษาการนำบัดโอละไชยาไนด์และไธโอดิไซด์ในตัวอย่างระบบพิกซ์-ฟลั่มในโอดีรับเมอร์ ตลอดช่วง 30 วันของการศึกษา

ระยะเวลา (วัน)	ไธโอดิไซด์* (มก./ล.)	ไชยาไนด์* (มก./ล.)	สังกะสี* (มก./ล.)	แคลเมียม* (มก./ล.)
0	72.04±0.055	0.76±0.017	0.561±0.002	0.105±0.004
1	62.08±2.052	0.64±0.000	0.209±0.002	0.077±0.0005
2	64.31±0.000	0.16±0.003	0.266±0.001	0.076±0.001
3	62.71±0.277	0.38±0.033	0.236±0.006	0.088±0.011
4	60.94±0.111	0.39±0.018	0.209±0.001	0.097±0.0001
5	63.92±0.333	0.17±0.004	0.218±0.0005	0.082±0.002
6	62.63±3.716	0.17±0.011	0.417±0.002	0.090±0.001
7	41.92±0.499	0.17±0.003	0.587±0.021	0.088±0.001
8	40.24±0.555	0.36±0.038	0.526±0.0005	0.089±0.002
9	44.55±0.333	0.19±0.008	0.390±0.006	0.091±0.002
10	52.69±0.194	0.16±0.012	0.312±0.006	0.097±0.001
11	52.02±0.139	0.17±0.003	0.447±0.002	0.092±0.002
12	54.69±0.250	0.16±0.015	0.233±0.029	0.092±0.002
13	42.73±1.359	0.17±0.004	0.297±0.004	0.094±0.002
14	46.53±0.083	0.17±0.004	0.234±0.004	0.095±0.001
15	42.78±0.222	0.15±0.006	0.286±0.003	0.094±0.003
16	44.75±0.236	0.18±0.007	0.201±0.001	0.093±0.002
17	42.52±0.125	0.15±0.003	0.200±0.001	0.095±0.002
18	43.93±0.208	0.18±0.004	0.273±0.002	0.096±0.001
19	42.43±0.499	0.17±0.003	0.240±0.000	0.097±0.001
20	42.66±0.319	0.16±0.012	0.226±0.002	0.101±0.001
21	43.53±0.388	0.16±0.012	0.240±0.018	0.098±0.0004
22	44.41±0.360	0.17±0.011	0.191±0.0004	0.100±0.002
23	44.16±0.055	0.18±0.007	0.197±0.001	0.098±0.001
24	49.86±0.305	0.17±0.000	0.196±0.003	0.100±0.001
25	37.53±0.111	0.16±0.003	0.176±0.002	0.097±0.002
26	34.04±0.166	0.17±0.004	0.187±0.003	0.097±0.002

ตารางที่ 4.11 ผลการศึกษาการบำบัดโลหะไฮยาไนด์และไฮโซไฮยาเนตด้วยระบบพิกซ์-ฟิล์ม
ในโอลครั่นเบอร์ ตลอดช่วง 30 วันของการศึกษา (ต่อ)

ระยะเวลา (วัน)	ไฮโซไฮยาเนต*	ไฮยาไนด์*	สังกะสี*	แอดเมียร์*
	(มก./ล.)	(มก./ล.)	(มก./ล.)	(มก./ล.)
27	33.66±0.125	0.18±0.007	0.176±0.002	0.094±0.002
28	31.04±0.028	0.17±0.007	0.187±0.000	0.090±0.001
29	30.31±0.000	0.18±0.007	0.192±0.0003	0.086±0.001
30	29.96±0.111	0.16±0.003	0.204±0.001	0.085±0.002

หมายเหตุ: * หมายถึง Mean±SD

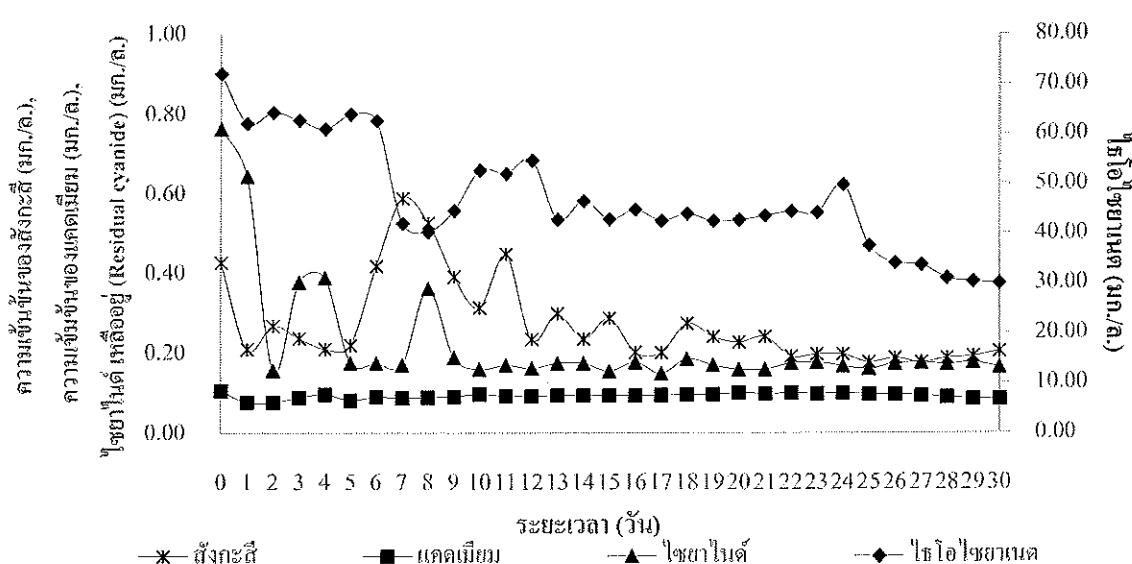
ตารางที่ 4.12 ประสิทธิภาพการบำบัดโลหะไฮยาไนด์และไฮโซไฮยาเนตด้วยระบบพิกซ์-ฟิล์ม
ในโอลครั่นเบอร์

ระยะเวลา (วัน)	ไฮโซไฮยาเนต (ร้อยละ)	ไฮยาไนด์ (ร้อยละ)	สังกะสี (ร้อยละ)	แอดเมียร์ (ร้อยละ)
0	0.00	0.00	0.00	0.00
1	13.83	15.65	62.80	26.51
2	10.72	79.55	52.54	27.17
3	12.96	50.60	57.99	15.87
4	15.41	49.15	62.68	7.70
5	11.27	77.17	61.07	22.01
6	13.06	77.14	25.68	13.97
7	41.81	77.82	N.E.	16.39
8	44.15	52.73	6.27	15.02
9	38.16	75.37	30.47	13.58
10	26.86	79.22	44.35	7.51
11	27.79	77.82	20.34	12.27
12	24.09	78.91	58.40	12.21
13	40.69	77.17	46.99	10.44
14	35.41	77.17	58.26	9.99
15	40.61	79.80	49.02	10.44
16	37.87	76.82	64.11	11.03

ตารางที่ 4.12 ประสิทธิภาพการบำบัดโลหะไฮยาไนด์และโซเดียมแอนต์ด้วยระบบพิกซ์-ฟลั่มในไอศครีมเบอร์ (ต่อ)

ระยะเวลา (วัน)	โซเดียมแอนต์ (ร้อยละ)	ไฮยาไนด์ (ร้อยละ)	สังกะสี (ร้อยละ)	แคลเมียน (ร้อยละ)
17	40.98	80.56	64.37	9.79
18	39.02	75.77	51.40	8.62
19	41.10	77.82	57.23	8.09
20	40.79	79.22	59.68	4.24
21	39.58	79.22	57.17	6.46
22	38.35	77.14	65.90	4.96
23	38.70	76.82	64.97	6.53
24	30.78	78.13	65.02	4.96
25	47.90	79.00	68.55	7.57
26	52.75	77.17	66.62	7.57
27	53.28	76.82	68.60	10.64
28	56.91	77.49	66.60	14.36
29	57.92	76.82	65.79	17.89
30	58.41	78.43	63.63	18.61

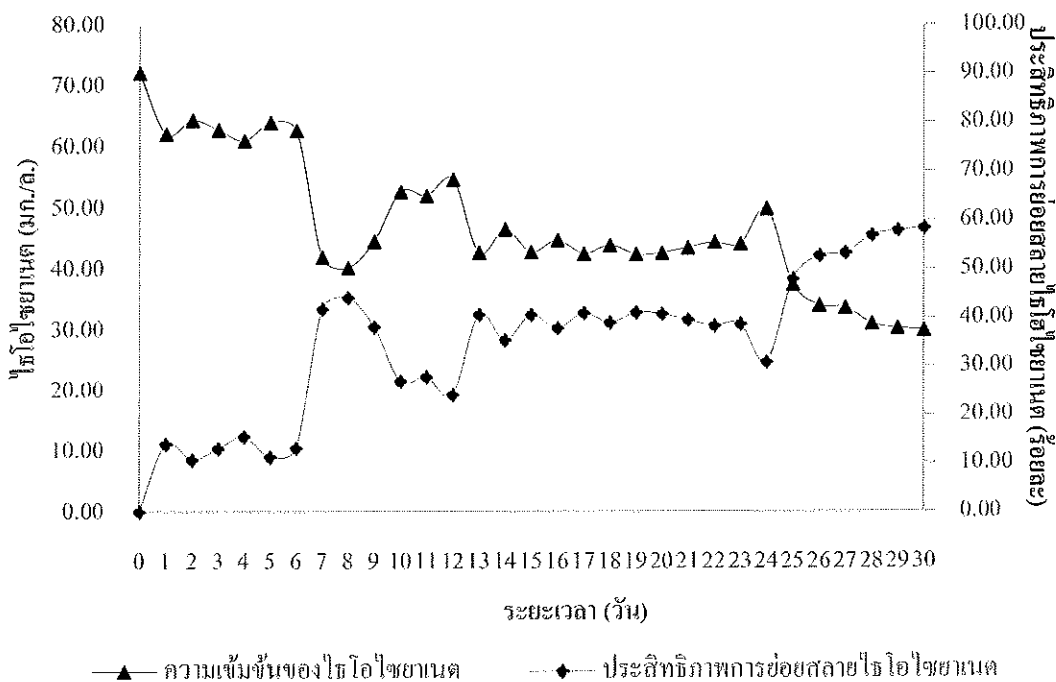
หมายเหตุ: N.E. หมายถึง Not Efficiency



ภาพที่ 4.8 เปรียบเทียบความสามารถในการย่อยสลายสารประกอบไฮยาไนด์แต่ละประเภท

4.3.1 การนำบัคสารประกอบไฮยาไนด์ในรูปของไฮโอล่าไซยาเนต (Thiocyanate: SCN⁻)

ผลการศึกษาการนำบัคสาร ไฮโอล่าไซยาเนตด้วยระบบฟิกซ์-ฟิล์ม ไปโอสครับเบอร์คลอดช่วงระยะเวลา 30 วัน พบว่า ไฮโอล่าไซยาเนตสามารถถูกย่อยสลายได้ตั้งแต่ 24 ชั่วโมงแรกของการศึกษา ซึ่งในช่วงวันแรกจนถึงวันที่ 6 ของการเดินระบบ ไฮโอล่าไซยาเนตมีความเข้มข้นลดลงเหลือ โดยเฉลี่ยเท่ากับ 62.08 มก./ล. และมีประสิทธิภาพการย่อยสลายคิดเป็นร้อยละเฉลี่ยเท่ากับ 13.83 หลังจากนั้น ความสามารถในการย่อยสลาย ไฮโอล่าไซยาเนตมีแนวโน้มเพิ่มสูงขึ้น พบว่าความเข้มข้นของ ไฮโอล่าไซยาเนตลดลงเหลือ 41.92 มก./ล. คิดเป็นร้อยละ 41.81 ในวันที่ 7 ของการเดินระบบ และการย่อยสลาย ไฮโอล่าไซยาเนตจะเกิดขึ้นค่อนข้างสม่ำเสมอในช่วงวันที่ 13 ถึงวันที่ 24 ของการเดินระบบ โดยประสิทธิภาพในการย่อยสลายในช่วงนี้คิดเป็นร้อยละ 38.66 มีความเข้มข้นของ ไฮโอล่าไซยาเนตลดลงเหลือโดยเฉลี่ยเท่ากับ 44.19 มก./ล. และความสามารถในการย่อยสลาย ไฮโอล่าไซยาเนตในเมื่อแนวโน้มเพิ่มสูงขึ้น ในช่วงวันที่ 25 ถึงวันที่ 30 ของการเดินระบบ ไฮโอล่าไซยาเนตลดลงเหลือโดยเฉลี่ย 32.76 มก./ล. ประสิทธิภาพโดยเฉลี่ยคิดเป็นร้อยละ 54.53 ซึ่งการย่อยสลาย ไฮโอล่าไซยาเนตจะเพิ่มสูงสุดตุณในวันที่ 30 ของการเดินระบบ โดยมี ไฮโอล่าไซยาเนตเหลืออยู่เท่ากับ 29.96 มก./ล. คิดเป็นร้อยละ 58.41 ซึ่งแสดงให้เห็นว่า คลอดช่วงระยะเวลา 30 วันของการเดินระบบฟิกซ์-ฟิล์ม ไปโอสครับเบอร์จุดนี้รีบรวมกลุ่มสามารถนำบัค ไฮโอล่าไซยาเนตได้อย่างต่อเนื่อง เห็นได้จากการความเข้มข้น ไฮโอล่าไซยาเนตที่ลดลง (ภาพที่ 4.9)

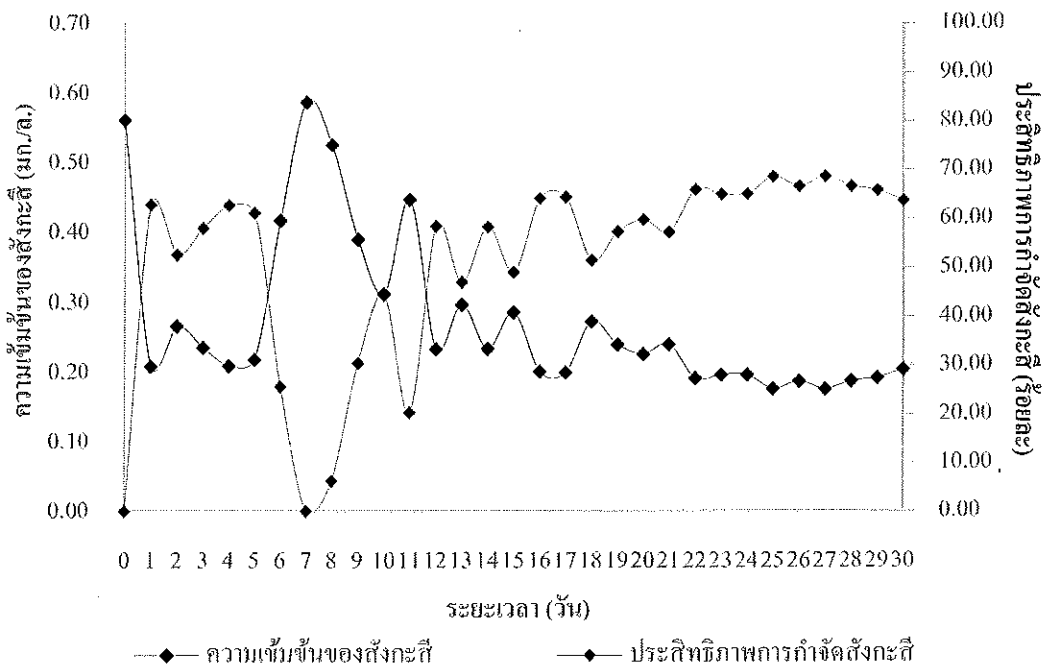


ภาพที่ 4.9 ประสิทธิภาพการนำบัค ไฮโอล่าไซยาเนตด้วยระบบฟิกซ์-ฟิล์ม ไปโอสครับเบอร์

แนวโน้มดังกล่าวบ่งบอกได้ว่าจุลินทรีย์มีการปรับสภาพให้สามารถอยู่ในสภาวะที่มีความเข้มข้นของไฮโอลิยาเนตสูง ได้ตลอดระยะเวลาการศึกษา Elaine และคณะ (2004) รายงานว่าการย่อยสลายไฮโอลิยาเนตจะเกิดขึ้น ได้ดีในช่วงที่จุลินทรีย์มีการเจริญเติบโตสูงสุดคืออยู่ในช่วง Exponential phase ลดลงกับผลการวิจัยของ Betts และคณะ (1979) ที่การย่อยสลายไฮโอลิยาเนตโดย *Arthrobacter* sp. เกิดขึ้นได้ดีในช่วง Exponential phase เช่นกัน โดยไฮโอลิยาเนตเป็นแหล่งของพลังงาน ชัลเฟอร์ และ/หรือ ไนโตรเจน เพื่อการเจริญเติบโตและสร้างเซลล์ใหม่ (Sorokin et al., 2001; Chapatwala et al., 1998) ทำให้ไฮโอลิยาเนตลดลง โดยที่ไม่ก่อให้เกิดความเป็นพิษต่อเซลล์ของจุลินทรีย์ สำหรับในการศึกษานี้จุลินทรีย์รวมกันสามารถเจริญเติบโตได้ดีในระบบโดยพิจารณาจากข้อมูลการทำเทคนิค Spreading plate และการซึ่งน้ำหนักแห้งของตัวกลางพลาสติกหลังการทดลองซึ่งมีจุลินทรีย์ดีกรีของอุปทานเพิ่มขึ้นของตัวกลางสามารถบ่งบอกได้ว่าจุลินทรีย์สามารถทนต่อความเป็นพิษและย่อยสลายไฮโอลิยาเนตได้อย่างไรก็ตาม Wood และคณะ (1998) รายงานว่าไฮโอลิยาเนตมีความเป็นพิษต่อจุลินทรีย์ที่ระดับความเข้มข้นอยู่ในช่วง 58-116 มก./ล. ขณะที่ Neufeld และคณะ (1981) รายงานว่าการย่อยสลายไฮโอลิยาเนตโดยจุลินทรีย์ (Mixed bacteria culture) ในระบบจะถูกยับยั้งที่ความเข้มข้นมากกว่า 0.5 ก./ล. ถึงแม้ว่าไฮโอลิยาเนตจะไม่มีมาตรฐานกำหนดสำหรับโรงงานอุตสาหกรรมในการกำจัดก่อนปล่อยที่ออกสู่สิ่งแวดล้อม แต่ไฮโอลิยาเนตสามารถก่อให้เกิดพิษต่อสิ่งมีชีวิตและสามารถถูกสะ bum ได้ในสิ่งแวดล้อมทึ้งในน้ำ และดิน นอกจาคนี้ ไฮโอลิยาเนตยังสามารถทำปฏิกิริยากับโลหะต่างๆ เช่น เงิน ปรอท ตะกั่ว ทองแดง และสังกะสี เกิดเป็นเกลือที่ไม่ละลายน้ำซึ่งทำให้มีความเป็นพิษสูงขึ้น ดังนั้นไฮโอลิยาเนตจึงถือว่าเป็นสารที่ควรจะได้รับการบำบัดก่อนปล่อยที่ลงสู่สิ่งแวดล้อม เช่นเดียวกับไฮยาไนด์และโลหะหนัก

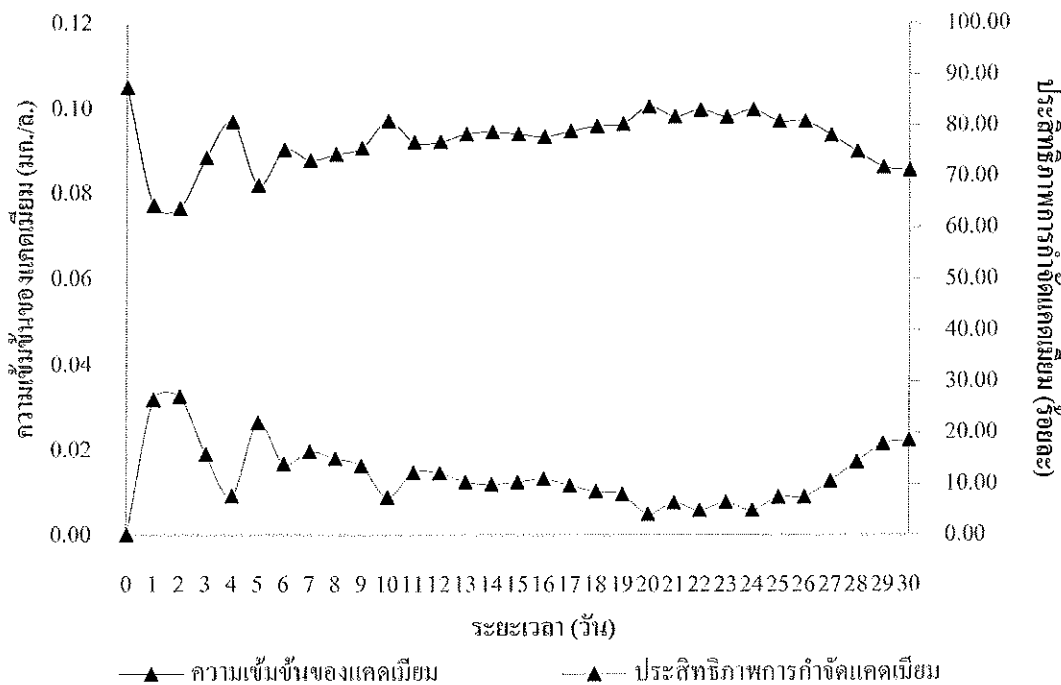
4.3.2 การบำบัดสารประกอนไฮยาไนด์ในรูปของโลหะไฮยาไนด์ (Metal cyanide)

ผลการศึกษาการกำจัดสังกะสี ด้วยระบบฟิกซ์-ฟิล์ม ใบโอดครับเบอร์คลอดช่วงระยะเวลา 30 วัน จากความเข้มข้นเริ่มต้นของสังกะสีเท่ากับ 0.561 มก./ล. พบร่วมระบบสามารถกำจัดสังกะสีได้อย่างรวดเร็วตั้งแต่ 24 ชั่วโมงแรกหลังจากเริ่มต้นระบบ โดยความเสื่อมของสังกะสีลดลงเหลือเพียง 0.209 มก./ล. คิดเป็นร้อยละ 62.80 อย่างไรก็ตามความสามารถของระบบในการกำจัดสังกะสีจะเริ่มคงที่ในช่วงวันที่ 12 ถึงวันที่ 30 ของการศึกษา โดยสามารถกำจัดสังกะสีลดลงเหลือโดยเฉลี่ยเท่ากับ 0.218 มก./ล. คิดเป็นร้อยละ 61.17 ซึ่งการกำจัดสังกะสีสามารถเกิดขึ้นได้สูงสุดในวันที่ 27 ของการศึกษา โดยมีความเสื่อมเท่ากับ 0.176 มก./ล. คิดเป็นร้อยละ 68.60 ความสามารถในการกำจัดสังกะสีด้วยระบบฟิกซ์-ฟิล์ม ใบโอดครับเบอร์ดังแสดงในภาพที่ 4.10



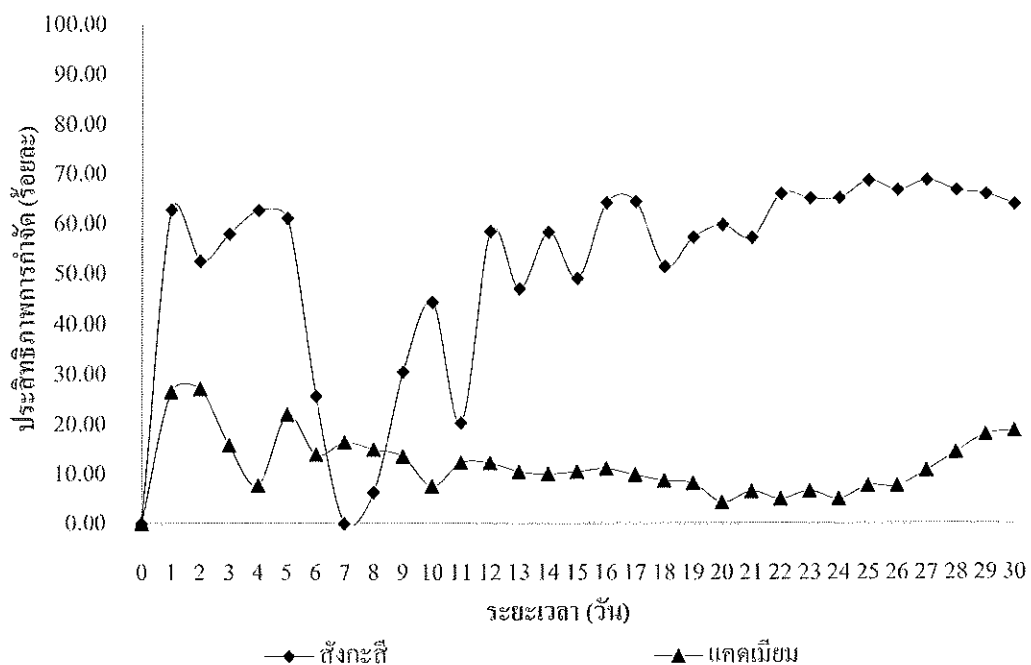
ภาพที่ 4.10 แนวโน้มการกำจัดสังกะสี ด้วยระบบพิกซ์-ฟล์ม ในอสครับเบอร์ ตลอดช่วงระยะเวลา 30 วันของการศึกษา

สำหรับผลการศึกษาการกำจัดแอดเมียโนรูปของแอดเมียมไชยาในด้วยความเข้มข้นของแอดเมียมเริ่มต้นเท่ากับ 0.105 มก./ล. ซึ่งแอดเมียมสามารถกำจัดได้โดยอุณหภูมิที่ 26.51 และสามารถกำจัดโดยหันก์ในรูปของแอดเมียมได้สูงสุดในวันที่ 2 ของการเดินระบบ ความเข้มข้นลดลงเหลือ 0.077 มก./ล. คิดเป็นร้อยละ 26.51 และสามารถกำจัดโดยหันก์ในรูปของแอดเมียมได้สูงสุดในวันที่ 2 ของการเดินระบบ ความเข้มข้นลดลงเหลือ 0.077 มก./ล. คิดเป็นร้อยละ 27.17 และภายในวันที่ 2 ของการเดินระบบความสามารถในการกำจัดแอดเมียม เริ่มมีแนวโน้มลดลง ซึ่งจะมีความเข้มข้นของแอดเมียมโดยเฉลี่ยในระบบอยู่ที่ 0.0934 มก./ล. ตั้งแต่วันที่ 3 จนถึงวันที่ 30 ของการศึกษา ถึงแม้ว่าจะมีการสะสมของแอดเมียมในระบบ แต่พบว่าแอดเมียม มีแนวโน้มลดลงในวันที่ 29 และ 30 ของการเดินระบบ ซึ่งในวันที่ 30 ของการเดินระบบพบว่ามีแอดเมียมลดลงเหลืออยู่เท่ากับ 0.085 มก./ล. คิดเป็นร้อยละ 18.61 (ภาพที่ 4.11) จะเห็นได้ว่าระบบสามารถบำบัดแอดเมียมได้เล็กน้อยเมื่อเทียบกับสังกะสี



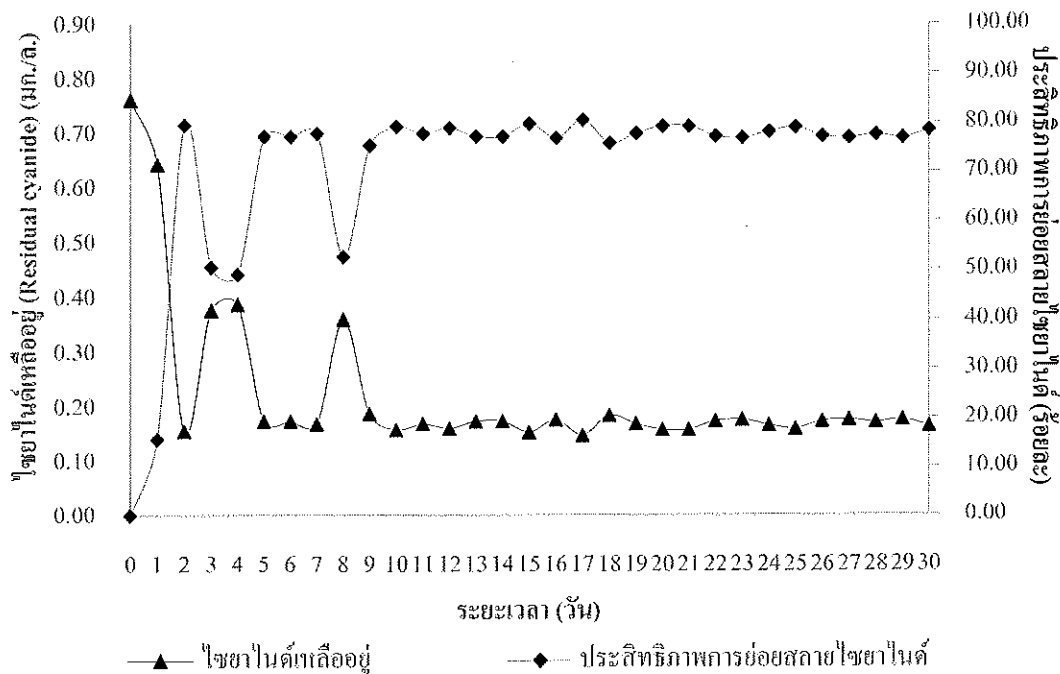
ภาพที่ 4.11 แนวโน้มการกำจัดแคนเมียม โดยชุดนิทรรศแบบรวมกลุ่ม (Mixed culture) ตลอดช่วงระยะเวลา 30 วันของการศึกษา

เมื่อเปรียบเทียบความสามารถในการกำจัดโลหะหนักในรูปของสังกะสีและแคนเมียม ด้วยระบบพิกซ์-ฟล์ม ไบโอลอกรับเบอร์ดังแสดงในภาพที่ 4.12 พบร่วมความสามารถกำจัดสังกะสีได้ดีกว่า แคนเมียมตลอดทั้งช่วงระยะเวลา 30 วันของการเดินระบบสอดคล้องกับการศึกษาระยะแรกที่ ชุดนิทรรศสามารถกำจัดสังกะสีได้ดีกว่า เช่นกัน เมื่อพิจารณาจากวันที่สามารถกำจัดสังกะสีได้สูงสุดคือ ในวันที่ 27 ของการเดินระบบสามารถกำจัดสังกะสีได้คิดเป็นร้อยละ 68.60 ขณะที่แคนเมียมสามารถถูกกำจัดได้สูงสุดในวันที่ 2 คิดเป็นร้อยละ 27.17 ดังนั้นชุดนิทรรศแบบรวมกลุ่มสามารถกำจัดโลหะหนักในรูปของสังกะสีได้ดีกว่า แคนเมียม อาจเนื่องมาจากการโลหะบางชนิด เช่น สังกะสีเป็นธาตุอาหารที่จำเป็นแต่ในปริมาณน้อยโดยใช้เป็นองค์ประกอบในการสร้างเอนไซม์ และการเจริญเติบโตของชุดนิทรรศ



ภาพที่ 4.12 เปรียบเทียบประสิทธิภาพในการกำจัดสังกะสีและแอดเมิร์นด้วยระบบฟิกซ์-ฟลั่มไปโอลรับเบอร์ ตลอดช่วงระยะเวลา 30 วันของการเดินระบบ

ขณะที่ผลการศึกษาการบำบัดไชยาไนด์ (CN) ชั่งอยู่ในรูปของสารประกอบเชิงช้อน (Cyanide complexes) ของสังกะสีไชยาไนด์และแอดเมิร์นไชยาไนด์ เป็นรูปที่ชุลินทรีย์สามารถนำไชยาไนด์ไปใช้เป็นแหล่งคาร์บอนและ/หรือในโตรเจนได้มากกว่าไชยาไนด์ที่อยู่ในรูปอิสระ (Free cyanide) พบว่าระบบสามารถบำบัดไชยาไนด์ให้มีความเข้มข้นลดลงจากความเข้มข้นเริ่มต้นเท่ากับ 0.76 มก./ล. โดยไชยาไนด์สามารถถูกย่อยสลายได้ตั้งแต่วันแรกหลังจากเริ่มเดินระบบคือในช่วง 24 ชั่วโมงแรก ซึ่งช่วงแรกของการเดินระบบ ประสิทธิภาพในการบำบัดยังไม่คงที่อาจเนื่องจากระบบมีการปรับสภาพการบำบัดในสภาวะที่มีสารประกอบหลายตัว และหลังจากเดินระบบเป็นระยะเวลา 10 วัน ประสิทธิภาพในการบำบัดไชยาไนด์เริ่มมีความต่อเนื่องและพบว่าสามารถบำบัดได้สูงสุดในวันที่ 17 ของการศึกษาซึ่งมีไชยาไนด์เหลืออยู่เท่ากับ 0.15 มก./ล. คิดเป็นร้อยละ 80.56 และความสามารถในการย่อยสลายไชยาไนด์โดยชุลินทรีย์แบบรวมกันจะค่อนข้างสม่ำเสมอ พบว่ามีไชยาไนด์เหลืออยู่ (Residual cyanide) โดยเฉลี่ยเท่ากับ 0.17 มก./ล. คิดเป็นร้อยละ โดยเฉลี่ยเท่ากับ 77.85 ตั้งแต่วันที่ 9 จนถึงวันที่ 30 ของการเดินระบบ อย่างไรก็ตามในวันที่ 30 ของการเดินระบบ ชุลินทรีย์สามารถย่อยสลายไชยาไนด์ให้มีความเข้มข้นลดลงเหลือ 0.16 มก./ล. คิดเป็นร้อยละ 78.43 ไชยาไนด์ที่เหลืออยู่และประสิทธิภาพในการบำบัดตลอดช่วงระยะเวลา 30 วันของการศึกษาดังแสดงในภาพที่ 4.13



ภาพที่ 4.13 ไชยาไนด์ที่เหลืออยู่และประสิทธิภาพในการบำบัดไชยาไนด์ด้วยระบบพิกซ์-ฟลั่มในไอกรับเบอร์

อย่างไรก็ตาม ประเทศไทยมีข้อจำกัดตามกฎหมายสำหรับการปล่อยทิ้งของน้ำเสียจากโรงงานอุตสาหกรรมและนิคมอุตสาหกรรม อนุญาตให้ปล่อยน้ำทิ้งที่มีการปนเปื้อนของไชยาไนด์ สังกะสีและแอดเคนเดียมออกซ์สิ่งแวดล้อมไม่เกิน 0.2 มก./ล., 5 มก./ล. และ 0.03 มก./ล. ตามลำดับ (ประกาศกระทรวงวิทยาศาสตร์ เทคโนโลยีและสิ่งแวดล้อม 2539) ผลการศึกษานี้น้ำทิ้งที่ออกจากระบบโดยเฉลี่ยมีค่าไม่เกินค่ามาตรฐานสำหรับไชยาไนด์ และ สังกะสี โดยที่ระบบสามารถบำบัดไชยาไนด์ได้อย่างรวดเร็วตั้งแต่ 24 ชั่วโมงแรกของการศึกษา ซึ่งสอดคล้องกับการศึกษาของ Yakubenko และคณฑ์ (1995) รายงานว่าการย่อยสลายไชยาไนด์โดย *Pseudomonas fluorescens* B-5040 จะเกิดขึ้นได้สูงสุดในช่วง Exponential phase คือในช่วง 6-24 ชั่วโมงแรกของการย่อยสลาย โดยจุลินทรีย์สามารถใช้ไชยาไนด์สำหรับเป็นแหล่งของคาร์บอนเพื่อการเจริญเติบโต และเปลี่ยนเป็นรูปอื่นซึ่งอยู่ในรูปที่มีความเป็นพิษลดลงดังที่ได้กล่าวไว้ (Chakrabory and Veeramani, 2006; Sirianuntapiboon and Chuamkaew, 2007; Potivichayanon and Kitleartpompaairoat, 2010) ขณะที่การกำจัดโลหะหนักในรูปของสังกะสีและแอดเคนเดียมนั้นระบบจะใช้ความสามารถของจุลินทรีย์ในการกำจัดหรือลดความเป็นพิษของโลหะหนัก ซึ่งมีการศึกษาที่หลากหลายโดยใช้จุลินทรีย์ชนิดต่างๆ จุลินทรีย์แต่ละชนิดจะมีความสามารถในการกำจัดโลหะหนักแต่ละชนิด ได้แตกต่างกัน การศึกษาก่อนหน้านี้มีการรายงานว่าสายพันธุ์ของ *Pseudomonas* sp. สามารถทนต่อความเป็นกรดของ

แอดเมียลมและ/หรือสังกะสีได้ดี (Malik and Jaiswal, 2000; Raja et al., 2006; Ozgur and Aysel, 2012) เนื่องเดียวกับการศึกษาของ Sannasi และคณะ (2009) ที่ได้มีการศึกษาการกำจัดโลหะหนักในรูปของ Cd(II), Cr(VI), Cu(II), Ni(II), และ Pb(II) โดยใช้จุลินทรีย์หลากหลายชนิดเช่นกัน ที่อ *Pseudomonas* sp., *Serratia* sp., *Flavobacterium* sp., *Chryseomonas* sp., *Xanthomonas* sp., *Agrobacterium* sp., *Bacillus* sp., *Arthrobacter* sp., และ *Micrococcus* sp. สำหรับการศึกษานี้ใช้จุลินทรีย์แบบรวมกลุ่ม (Mixed culture) ที่อ *Agrobacterium tumefaciens* SUTS 1 และ *Pseudomonas monteilii* SUTS 2 ใน การกำจัดสังกะสีและแอดเมียลมในรูปของ Zn(CN)₂ และ Cd(CN)₂ พนว่าจุลินทรีย์แบบรวมกลุ่มสามารถกำจัดสังกะสีและแอดเมียลมได้ตั้งแต่ 24 ชั่วโมงแรก แต่หากพิจารณาจากผลจากการศึกษา ระยะแรกจะพบว่าจุลินทรีย์แบบรวมกลุ่มสามารถกำจัดได้ตั้งแต่ 6 ชั่วโมงแรกเช่นเดียวกับ ไซโอลิโนเจนและไนยาในดี โดยความสามารถในการกำจัดสังกะสีจะค่อนข้างคงที่ตั้งแต่วันที่ 12 จนถึงวันที่ 30 ของการเดินระบบ และการกำจัดสังกะสีมีแนวโน้มลดลงต่ออีกช่วงระยะเวลา 30 วัน ของการเดินระบบ ขณะที่แอดเมียลมพบร่วมกับจุลินทรีย์แบบรวมกลุ่มสามารถกำจัดแอดเมียลมได้ในปริมาณน้อยโดยสามารถกำจัดแอดเมียลมได้ที่สุดในวันที่ 2 ของการเดินระบบ ถึงแม้ว่ามีการสะสมของแอดเมียลมในระบบ จุลินทรีย์แบบรวมกลุ่มก็ยังสามารถ เจริญเติบโตอยู่ได้ บ่งบอกได้ว่าจุลินทรีย์แบบรวมกลุ่มสามารถทน (Resistance) ต่อความเป็นพิษของ แอดเมียลมได้ ถึงจะสามารถการกำจัดแอดเมียลมได้เพียงเล็กน้อยก็ตาม Tosapol และคณะ (2015) รายงานว่า *P. aeruginosa* B237 และ *C. taiwanensis* E324 สามารถทนต่อความเป็นพิษของห้อง สังกะสีได้ ขณะนี้ยังพบว่า Cd²⁺ และ Zn²⁺ สามารถดูดซึมน้ำ (Absorb) ได้อย่างรวดเร็วที่ผนังเซลล์ (Cell wall) ซึ่งที่ผนังเซลล์สามารถสะสม (Accumulation) Cd²⁺ และ Zn²⁺ ได้มากกว่าภายในเซลล์ โดยกลไกการกำจัด Cd²⁺ และ Zn²⁺ สามารถเกิดขึ้นภายใน 15 นาทีหลังจาก Inoculation ซึ่งอาจเป็นไป ได้ว่า Anionic functional group ที่อยู่บนผนังเซลล์ของจุลินทรีย์เกี่ยวข้องกับการจับกับ Cd²⁺ ion และ Zn²⁺ ion ที่ภายในเซลล์ (Lima et al., 2006; Vijayaraghavan and Yun, 2008) ซึ่งสำหรับการศึกษานี้ เมื่อพัฒนาความสามารถของจุลินทรีย์รวมกลุ่ม (Mixed culture) ของ *Agrobacterium tumefaciens* SUTS 1 และ *Pseudomonas monteilii* SUTS 2 ในการย่อยสลายสารประกอบไนยาในด้วยระบบ พิกซ์-ฟิล์ม ไบโอดอกรันเบอร์ในช่วงที่มีการนำบัดได้สูงสุดหรือมีประสิทธิภาพดีที่สุด พบว่าระบบ สามารถนำบัดไนยาในดีได้กว่า สังกะสี ไซโอลิโนเจนและแอดเมียลม ตามลำดับ กิตเป็นร้อยละ 80.56, 68.60, 58.41 และ 27.17 ตามลำดับ อายุที่สามารถนำบัดได้ก่อตัวมาแล้วข้างต้นว่างานวิจัยส่วน ใหญ่จะแยกนำบัดสารประกอบไนยาในดีต่ำลงนิดเท่านั้น แต่มีมีการศึกษาการนำบัดสารประกอบ ไนยาในดีมากกว่าหนึ่งชนิดย้อมมีผลต่อการนำบัดโดยจุลินทรีย์ สารบางชนิดอาจมีผลบั่นทึบการย่อย สลายสารอีกชนิดหนึ่งได้ ทำให้ความสามารถในการนำบัดลดลง Shivaraman และคณะ (1985)

รายงานว่าการปราบถูกของฟีโนอล (Phenol) และ ไชยาไนด์มีผลต่อการยับยั้งการย่อยสลาย ไฮโอดิไซแนต เน้นเดียวกับการศึกษาของ Paruchuri และคณะ (1990) รายงานว่าความเข้มข้นของ ไชยาไนด์มากกว่า 2.5 มก./ล. พนวามีผลต่อระยะเวลาในการบำบัดไฮโอดิไซแนต ซึ่งต้องใช้ระยะเวลาในการบำบัดเพิ่มขึ้น และการยับยั้งการย่อยสลายไฮโอดิไซแนตจะเกิดขึ้นอย่างสมบูรณ์ถ้ามี ไชยาไนด์ที่ความเข้มข้น 10 มก./ล. เป็นอีกเหตุผลหนึ่งที่อาจทำให้การย่อยสารประกอบไชยาไนด์ลดลงได้

4.3.3 ผลิตภัณฑ์ (By-products) ที่เกิดขึ้นหลังจากการย่อยสลายสารประกอบไชยาไนด์

จุลินทรีย์มีระบบเนื้อไนโตรและกระบวนการสลายสารประกอบไชยาไนด์เฉพาะตัว จึงสามารถใช้สารประกอบไชยาไนด์เป็นแหล่งของคาร์บอนและ/หรือไนโตรเจนเพื่อการเจริญเติบโต และเข้าทำปฏิกิริยาเพื่อเปลี่ยนสารประกอบไชยาไนด์ให้เป็นแอมโมเนีย คาร์บอนไดออกไซด์ มีเทน ในไตรทไนเตรท ในคาร์บอนเนต ชัลเฟต ขึ้นอยู่กับชนิดของสารประกอบไชยาไนด์ สำหรับการศึกษานี้ได้ศึกษาผลิตภัณฑ์ (By-products) ที่เกิดขึ้นหลังจากการบำบัดสารประกอบไชยาไนด์ด้วยระบบพิกซ์-พิล์ม ใบโอลิครับเบอร์ ในรูปของแอมโมเนีย ในไตรทไนเตรท ใบคาร์บอนเนต และชัลเฟต (ตารางที่ 4.13 และภาพที่ 4.14) โดยเมื่อระบบมีการบำบัดสารประกอบไชยาไนด์ จุลินทรีย์ทำหน้าที่ในการย่อยสลายสารประกอบดังกล่าวและให้ผลิตภัณฑ์เกิดขึ้นซึ่งอยู่ในรูปที่มีความเป็นพิษลดลง ซึ่งในระบบมีความเข้มข้นของชัลเฟตและไนเตรทเริ่มต้นท่ากับ 26.25 มก./ล. และ 0.48 มก./ล. ตามลำดับ โดยชัลเฟตและไนเตรทที่พบเริ่มต้นในระบบนั้นกิดจากองค์ประกอบของสารอาหาร Buffer medium (BMG) และจากการศึกษาพบว่ามีสารผลิตภัณฑ์เกิดขึ้นในรูปของใบคาร์บอนเนตและไนเตรทท่ากับ 54.50 มก./ล. ทินปูน และ 0.54 มก./ล. ตามลำดับใน 24 ชั่วโมงแรกของการศึกษา เมื่อไฮโอดิไซแนตและไชยาไนด์ถูกย่อยสลายโดยเฉพาะไชยาไนด์ที่สามารถถูกย่อยสลายอย่างรวดเร็วในวันที่ 3 ของการศึกษา พนวามีใบคาร์บอนเนตเกิดขึ้นสูง เท่ากับ 92.00 มก./ล. ในวันที่ 2 ของการศึกษา หลังจากนั้นไม่พบมีใบคาร์บอนเนตเกิดขึ้นในระบบ ขณะที่ในระบบสามารถตรวจสอบใบไตรทคลอตระยะเวลา 30 วันของการเดินระบบ โดยพบค่าในช่วง 0.40 – 0.50 มก./ล. ตลอด 20 วันแรกของการศึกษา โดยไนเตรทจะเกิดขึ้นสูงสุดเท่ากับ 0.61 มก./ล. ในวันที่ 5 ของการเดินระบบ ทั้งนี้จะขึ้นอยู่กับความเข้มข้นของไฮโอดิไซแนตและไชยาไนด์ที่ถูกบำบัดไปหรือที่ถูกย่อยสลายโดยจุลินทรีย์รวมกุ่มอย่างไรก็ตามในการทดลองไม่พบว่ามีแอมโมเนียเกิดขึ้น อาจเนื่องมาจากการแอมโมเนียถูกออกซิไดซ์โดยจุลินทรีย์กล้ายเป็นไนเตรท จึงทำให้ไม่พบแอมโมเนียในระบบ แต่พบในรูปของไนเตรทแทนอย่างไรก็ตามจากการทดลองนี้พบว่ามีแอมโมเนียเกิดขึ้นในระหว่างวันที่ 19 ถึงวันที่ 21 ของการเดินระบบเท่ากับ 0.14 มก./ล. หลังจากนั้นก็ไม่พบแอมโมเนียเกิดขึ้นในระบบจนถึงวันที่ 30 ของการศึกษา สารผลิตภัณฑ์ที่ไม่พบในบางช่วงของการเดินระบบอาจเนื่องจุลินทรีย์รวมกุ่มนำสารผลิตภัณฑ์

เหล่านี้ไปใช้เพื่อการเจริญเติบโตและการสร้างเซลล์ใหม่ โดยการนำไปใช้เป็นแหล่งในไตรเจนและ/or หรือคาร์บอน จึงทำให้ไม่พบหรือพบเพียงความเข้มข้นของสารผลิตภัณฑ์ลดลง

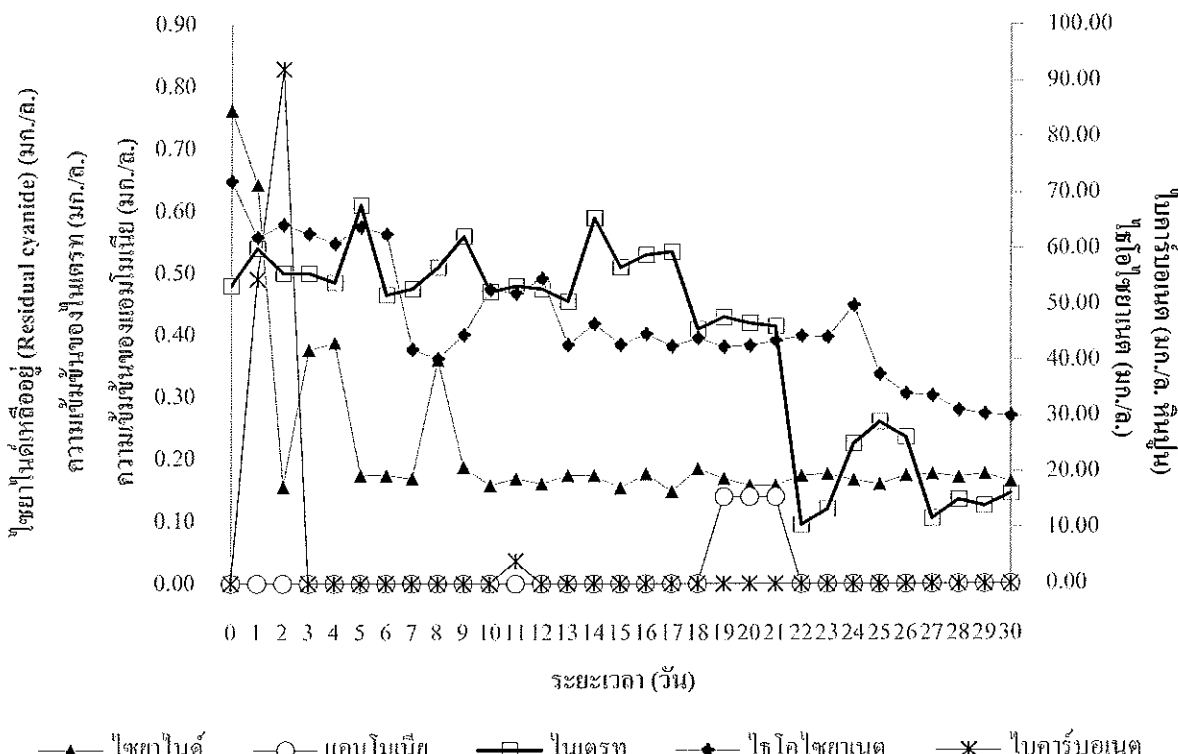
ตารางที่ 4.13 ผลิตภัณฑ์ (By-product) ที่เกิดจากการย่อยสลายสารประกอบไฮยาโนด์โดยชลินทรีท รวมกัน 30 วันของการศึกษา

ระยะเวลา (วัน)	SO_4^{2-} (มก./ล.)	HCO_3^- (มก./ล. หินปูน)	NH_3 (มก./ล.)	NO_3^- (มก./ล.)
0	26.25±0.35	N.D.	N.D.	0.48±0.000
1	23.10±0.14	54.50	N.D.	0.54±0.014
2	18.25±0.35	92.00	N.D.	0.50±0.042
3	31.50±0.28	N.D.	N.D.	0.50±0.014
4	37.45±0.21	N.D.	N.D.	0.49±0.007
5	38.00±0.14	N.D.	N.D.	0.61±0.042
6	33.00±0.14	N.D.	N.D.	0.47±0.021
7	37.50±0.57	N.D.	N.D.	0.48±0.007
8	37.65±0.78	N.D.	N.D.	0.51±0.000
9	36.75±0.49	N.D.	N.D.	0.56±0.000
10	40.55±0.21	N.D.	N.D.	0.47±0.000
11	37.20±0.28	4.00	N.D.	0.48±0.000
12	39.80±1.13	N.D.	N.D.	0.48±0.007
13	39.20±0.14	N.D.	N.D.	0.46±0.007
14	39.25±0.07	N.D.	N.D.	0.59±0.000
15	33.25±0.78	N.D.	N.D.	0.51±0.000
16	34.75±0.07	N.D.	N.D.	0.53±0.000
17	36.55±0.35	N.D.	N.D.	0.54±0.007
18	37.95±0.21	N.D.	N.D.	0.41±0.000
19	36.80±0.14	N.D.	0.14±0.00	0.43±0.014
20	40.00±0.14	N.D.	0.14±0.00	0.42±0.014
21	39.75±0.35	N.D.	0.14±0.00	0.42±0.007
22	41.00±0.57	N.D.	N.D.	0.10±0.007
23	58.05±0.92	N.D.	N.D.	0.12±0.000

ตารางที่ 4.13 ผลิตภัณฑ์ (By-product) ที่เกิดจากการย่อยสลายสารประกอบไฮยาไนด์โดยจุลินทรีย์ รวมกับกลุ่มต่อตัวช่วงระยะเวลา 30 วันของการศึกษา (ต่อ)

ระยะเวลา (วัน)	SO_4^{2-} (มก./ล.)	HCO_3^- (มก./ล. หินปูน)	NH_3 (มก./ล.)	NO_3^- (มก./ล.)
24	37.45 ± 0.21	N.D.	N.D.	0.23 ± 0.007
25	61.00 ± 0.28	N.D.	N.D.	0.26 ± 0.000
26	83.05 ± 0.21	N.D.	N.D.	0.24 ± 0.021
27	90.35 ± 0.49	N.D.	N.D.	0.11 ± 0.007
28	93.10 ± 0.28	N.D.	N.D.	0.14 ± 0.007
29	100.65 ± 0.35	N.D.	N.D.	0.13 ± 0.007
30	85.15 ± 0.35	N.D.	N.D.	0.15 ± 0.007

หมายเหตุ: N.D. หมายถึง Not Detected ตรวจไม่พบในการศึกษาครั้งนี้

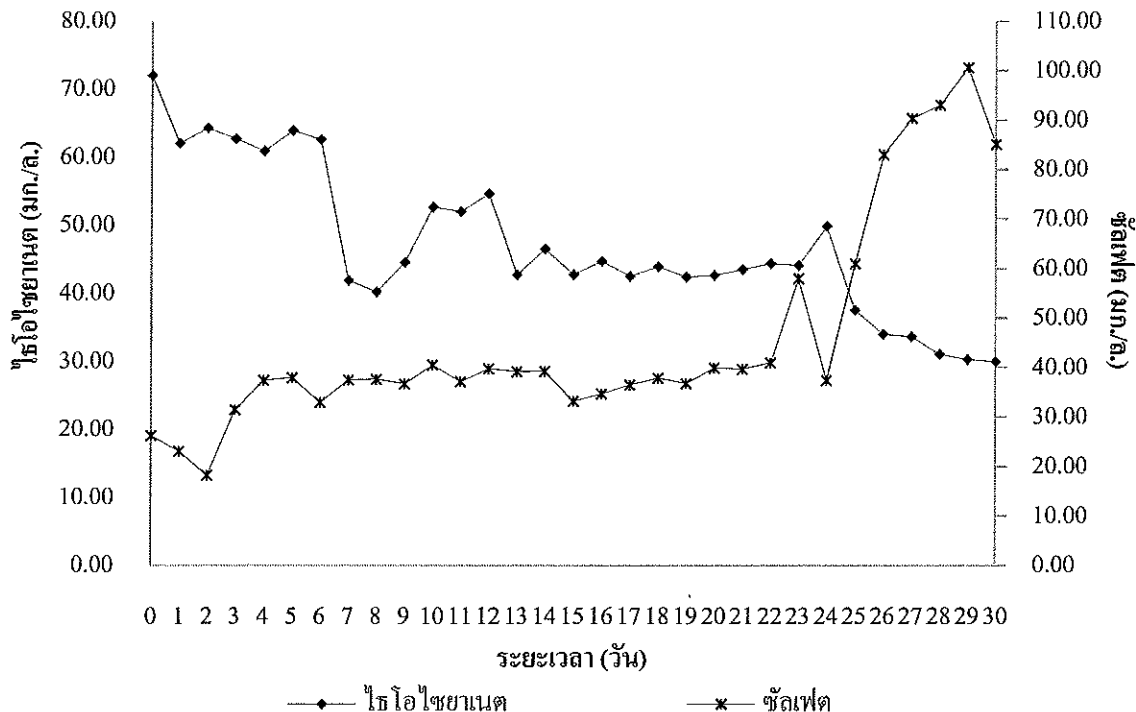


ภาพที่ 4.14 ความสัมพันธ์ของการย่อยสลายสารประกอบไฮยาไนด์โดยจุลินทรีย์แบบรวมกลุ่มกับสารผลิตภัณฑ์ (By-products) ที่เกิดขึ้น

สารผลิตภัณฑ์ที่เกิดขึ้นจากการย่อยสลายไฮโอลิโนเจนต์โดยจุลินทรีย์อกรูปหนึ่งคือชัลเฟต ซึ่งเป็นรูปปิมีความเป็นพิษต่อสิ่งแวดล้อม ตามปฏิกริยาด้านล่าง ดังนี้

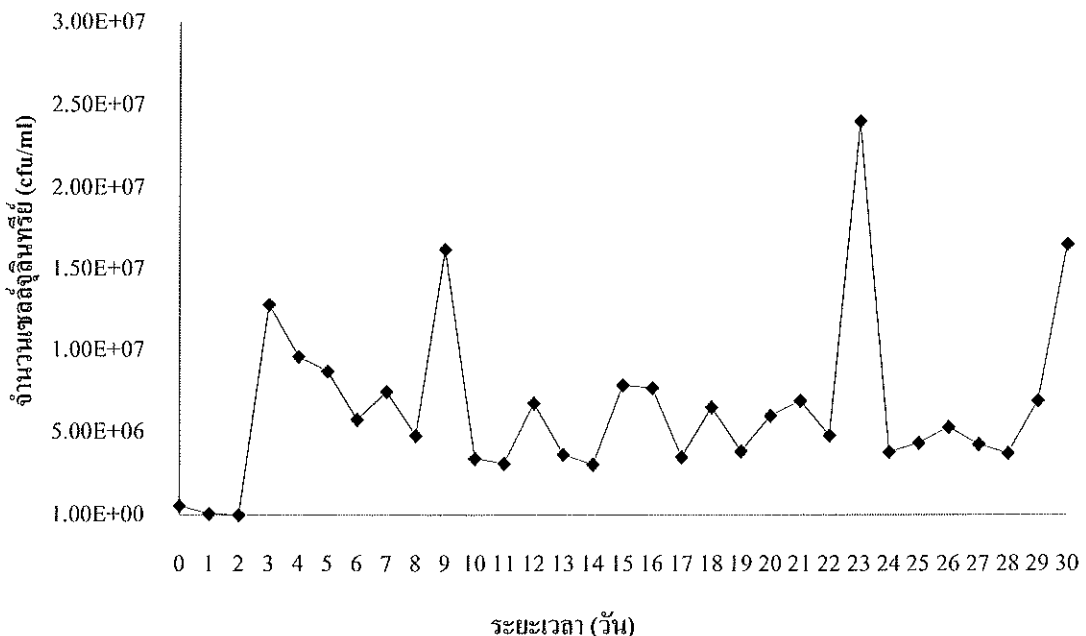


จากการศึกษาพบว่ามีชัลเฟตเกิดขึ้นตลอดช่วงระยะเวลา 30 วันของการเดินระบบโดยปริมาณชัลเฟตที่เกิดขึ้นจะค่อนข้างคงที่ในช่วงวันที่ 3 ถึงวันที่ 24 ของการเดินระบบโดยมีปริมาณชัลเฟตอยู่ในช่วง 30-50 มก./ล. อี่างไรก็ตามการเกิดขึ้นของชัลเฟตขึ้นอยู่กับอัตราการย่อยสลายไฮโอลิโนเจนต์โดยจุลินทรีย์และพบว่าชัลเฟตมีแนวโน้มเพิ่มสูงขึ้นตั้งแต่วันที่ 25 จนถึงวันที่ 30 ของการเดินระบบสอดคล้องกับประสิทธิภาพในการย่อยสลายไฮโอลิโนเจนต์ที่เพิ่มขึ้นตั้งแต่วันที่ 25 จนถึงวันที่ 30 ของการเดินระบบเช่นกัน โดยมีชัลเฟตเกิดขึ้นสูงสุดในวันที่ 29 ของการเดินระบบเท่ากับ 100.65 มก./ล. ซึ่งมีไฮโอลิโนเจนต์ลดลงเหลืออยู่ 30.31 มก./ล. จากความเข้มข้นเริ่มต้น 72.04 มก./ล. ดังนั้นความเข้มข้นของไฮโอลิโนเจนต์ที่ลดลงทำให้มีชัลเฟตเกิดขึ้นสอดคล้องกับปฏิกริยาการย่อยสลายไฮโอลิโนเจนต์โดยจุลินทรีย์ ความสัมพันธ์ระหว่างการย่อยสลายไฮโอลิโนเจนต์โดยจุลินทรีย์แบบรวมกลุ่มกับปริมาณชัลเฟตที่เกิดขึ้น ตั้งแสดงในภาพที่ 4.15 ซึ่งแอมโมเนียม และชัลเฟตจะเป็นสารผลิตภัณฑ์ตัวสุดท้ายสำหรับการย่อยสลายไฮโอลิโนเจนต์ (Juntaek et al., 2008; Grigor'eva et al., 2009; Huddy et al., 2015) อี่างไรก็ตามถึงแม้การย่อยสลายสารประกอบไฮยาไนด์ให้กลาญเป็นสารผลิตภัณฑ์ซึ่งอยู่ในรูปปิมีพิษต่อสิ่งแวดล้อม แต่สารผลิตภัณฑ์ที่เกิดขึ้นก็อาจส่งผลต่อการย่อยสลายสารประกอบไฮยาไนด์ได้เช่นกัน Paruchuri et al. (1990) รายงานว่าการปราบถูกของแอมโมเนียมที่มีความเข้มข้นมากกว่า 2 ก./ล. จะลดอัตราการย่อยสลายไฮโอลิโนเจนต์ของจุลินทรีย์ เช่นเดียวกับการศึกษาของ Hyouk และคณะ (2002) รายงานว่าแอมโมเนียมและไฮเตรทที่ความเข้มข้น 3 ก./ล. และ 1.5 ก./ล. ตามลำดับ มีผลลัพธ์น้อยต่อการยับยั้งการย่อยสลายไฮโอลิโนเจนต์ เมื่อเปรียบเทียบกับการศึกษานี้พบว่าระดับความเข้มข้นของแอมโมเนียมและไฮเตรทที่เกิดขึ้นตลอดทั้ง 30 วันของการเดินระบบยังไม่ก่อให้เกิดผลกระทบหรือยับยั้งการย่อยสลายไฮโอลิโนเจนต์ สังเกตได้จากประสิทธิภาพการนำบัดที่เพิ่มขึ้น และจำนวนเซลล์จุลินทรีย์ที่อยู่ภายในระบบทั้งที่แขนกลอยและไอลเวียนอยู่ในระบบ (ภาพที่ 4.16)



ภาพที่ 4.15 ความสัมพันธ์ของการย้อมสลายไนโตรไซยาเนตโดยจุลินทรีย์แบบรวมกลุ่มกับชัลเฟต์ที่เกิดขึ้น

ตามผลการศึกษาโดยจุลินทรีย์ที่แขนงลดอิสระในระบบโดยเฉลี่ยแต่ละวันมีจำนวนเซลล์จุลินทรีย์ท่ากับ 6.51×10^6 cfu/ml. ซึ่งจุลินทรีย์ที่ใช้ในการบำบัดและย้อมสลายสารประกอบปูไซยาในค์เกิดขึ้นได้จากห้องจุลินทรีย์ที่ถูกตรึง (Immobilized cell) อยู่กับตัวกลางพลาสติกซึ่งมีน้ำหนักเพิ่มขึ้นโดยเฉลี่ย 0.0151 กรัม (ตารางที่ 4.14) และจุลินทรีย์ที่แขนงลดอิสระอยู่ในระบบซึ่งเกิดจากการหดดอกรจากตัวกลางของจุลินทรีย์ โดยจุลินทรีย์ทั้งสองสถานะจะช่วยส่งเสริมให้ความสามารถในการย้อมสลายสารประกอบปูไซยาในค์เกิดขึ้นได้ดี เช่นเดียวกับการศึกษา ก่อนหน้านี้ในการนำจุลินทรีย์รวมกลุ่ม SUTS 1 และ SUTS 2 บำบัดก้าวไประเจนไนท์ด้วยระบบพิกซ์-ฟิล์มไปไอบอร์บอร์ (ตีรากรณ์, 2553) โดยพบว่ามีประสิทธิภาพสูงถึงร้อยละ 100 แม้ว่าจะเพิ่มความเข้มข้นของไไฮดรอเจนไไซยาในค์ถึง 30 ppm



ภาพที่ 4.16 บุลินทรีย์ที่เมวนลดอยอิสระในระบบฟิกซ์-ฟิล์ม ไบโอดครับเบอร์

ตารางที่ 4.14 น้ำหนักของตัวกลางพลาสติก Polypropylene pall (PP) ring ที่เพิ่มขึ้นภายหลังจากการเดินระบบระหว่างวันที่ 30 ของการศึกษา

ตัวกลาง พลาสติก	น้ำหนักตัวกลาง PP ring ก่อนเริ่มเดินระบบ* (กรัม)	น้ำหนักตัวกลาง PP ring หลังเดินระบบ* (กรัม)	น้ำหนักตัวกลาง PP ring ที่เพิ่มขึ้น* (กรัม)
1	2.0530±0.0001	2.0643±0.0001	0.0113±0.0001
2	2.0529±0.0001	2.0628±0.0001	0.0099±0.0001
3	2.0524±0.0000	2.0627±0.0001	0.0103±0.0000
4	2.0616±0.0001	2.0759±0.0001	0.0143±0.0001
5	2.0676±0.0001	2.0816±0.0001	0.0140±0.0001
6	2.0522±0.0001	2.0687±0.0001	0.0165±0.0001
7	2.0403±0.0000	2.0587±0.0001	0.0184±0.0000
8	2.0522±0.0001	2.0741±0.0000	0.0219±0.0000
9	2.0495±0.0001	2.0691±0.0001	0.0197±0.0001

หมายเหตุ : * หมายถึง Mean±SD

บทที่ 5

สรุปผลการวิจัยและข้อเสนอแนะ

5.1 การศึกษาการเจริญเติบโต (Growth curve) ของจุลินทรีย์รวมกู้ม (Mixed culture)

จุลินทรีย์รวมกู้ม (Mixed culture) ของ *Agrobacterium tumefaciens* SUTS 1 และ *Pseudomonas monteili* SUTS 2 สามารถเจริญเติบโตได้ในอาหารเลี้ยงเชื้อ Buffer medium ที่มีสารประกอบไฮยาไนด์ในรูปของโซเดียมไฮยาแนตและโลหะไฮยาไนด์ ในรูปของ Zinc cyanide และ Cadmium cyanide จากการศึกษาพบว่าจุลินทรีย์รวมกู้ม SUTS 1 และ SUTS 2 สามารถเจริญเติบโตได้สูงสุดในวันที่ 3 ของการศึกษามีจำนวนโคลoni เพล่ากับ 1.03×10^8 cfu/มล. ซึ่ง *Agrobacterium tumefaciens* SUTS 1 สามารถเจริญเติบโตและแบ่งเซลล์เพิ่มจำนวนได้กว่า *Pseudomonas monteili* SUTS 2 ใน การย่อยสลายสารประกอบไฮยาไนด์ทั้งสองชนิด โดยพบว่าโซเดียมไฮยาแนตมีความเข้มข้นลดลงจาก 87.88 มก./ล. เหลือ 57.30 มก./ล. และที่ไม่พบไฮยาไนด์เหลืออยู่ตั้งแต่วันที่ 1 ของการศึกษา แต่ยังคงพบสังกะสีและแคนดเมียมในวันที่ 7 ของการศึกษา 0.378 และ 0.0095 มก./ล. ตามลำดับ คิดเป็นประสิทธิภาพในการย่อยสลายโซเดียมไฮยาแนต ไฮยาไนด์ สังกะสี และแคนดเมียม ร้อยละ 34.80, >99.99, 14.48 และ 81.00 ตามลำดับ

5.2 การศึกษาระยะแรก (Short term period) ของการพัฒนาความสามารถของจุลินทรีย์ด้วยระบบฟิกซ์-ฟิล์มในโอลครับเบอร์ (Fixed-film bioscrubber)

การศึกษาอัตราการไหลและระยะเวลา กักเก็บที่เหมาะสมสำหรับการย่อยสลายโซเดียมไฮยาแนต และโลหะไฮยาไนด์ด้วยระบบฟิกซ์-ฟิล์มในโอลครับเบอร์ โดยการเปรียบเทียบระหว่างอัตราการไหลที่ 10 มล./นาที และที่อัตราการไหล 30 มล./นาที เพื่อหาสภาวะที่ดีที่สุดซึ่งจะส่งเสริมให้ระบบมีประสิทธิภาพในการบำบัดสูงขึ้น พบว่าระบบสามารถบำบัดโซเดียมไฮยาแนตให้ลดลงได้ต่อเนื่อง เมื่อระบบมีอัตราการไหลที่เหมาะสมคือที่ 10 มล./นาที ที่ระยะเวลา กักเก็บประมาณ 21 นาที คิดเป็นประสิทธิภาพในการบำบัดร้อยละ 23.23 แต่เมื่อเพิ่มอัตราการไหลเป็น 30 มล./นาที ระยะเวลา กักเก็บประมาณ 7 นาที ระยะเวลา กักเก็บประมาณ 7 นาที ระบบบำบัดได้ดีที่สุดในช่วงโมงที่ 6 ของการศึกษา คิดเป็นประสิทธิภาพร้อยละ 17.11 สำหรับการย่อยสลายโลหะไฮยาไนด์ในรูปของสังกะสีไฮยาไนด์ และแคนดเมียมไฮยาไนด์ ที่อัตราการไหล 10 มล./นาที ไม่พบไฮยาไนด์เหลืออยู่ (Residual cyanide) ในช่วงโมงที่ 12 ของการศึกษา ประสิทธิภาพการบำบัดโลหะหนักในรูปของสังกะสีและแคนดเมียม ที่ 24 ชั่วโมงคิดเป็นร้อยละ 52.29 และ 14.26 ตามลำดับ เมื่อเพิ่มอัตราการไหลเป็น 30 มล./นาที ที่ระยะเวลา

กักเก็บ 7 นาที พนว่าไม่มีไซยาในด้วยอุปกรณ์ชั่วโมงที่ 24 ส่วนสังกะสีและแคนเมียมสามารถถูกกำจัดลดช่วงระยะเวลาการทดลอง เช่นเดียวกับที่อัตราการ ไหล 10 มล./นาที ประสิทธิภาพการบำบัดคิดเป็นร้อยละ 36.96 และ 29.75 ตามลำดับ จากผลการศึกษาพบว่าการย่อยสลายโดยไหล ไชยาในด้วยสังกะสี ได้ดีกว่าที่อัตราการ ไหล 10 มล./นาที สามารถย่อยสลายไชยาเนต ไชยาในด้และสังกะสี ได้ดีกว่าที่อัตราการ ไหล 30 มล./นาที อาจเนื่องมาจากการที่อัตราการ ไหล 10 มล./นาที มีระยะเวลา กักเก็บที่นานกว่าคือที่ 21 นาที ทำให้จุลินทรีย์รวมกลุ่มมีระยะเวลามากพอในการสัมผัสถ้าสารมลพิษและย่อยสลาย นอกจากนี้ยังพบว่าสำหรับการทดลองทั้งสองอัตราการ ไหล จุลินทรีย์แบบรวมกลุ่มสามารถกำจัดโดยหนักในรูปของสังกะสีได้ดีกว่าแคนเมียม ดังนั้นสำหรับการศึกษาระยะแรกนี้พบว่าที่อัตราการ ไหล 10 มล./นาที ที่ระยะเวลา กักเก็บ 21 นาที มีแนวโน้มการบำบัดสารประกอบไชยาในดีได้ดีกว่า ส่งผลให้ประสิทธิภาพการบำบัดสูงขึ้น ซึ่งหลังจากการบำบัดพบว่าสารประกอบไชยาในด้สามารถถูกเปลี่ยนเป็นสารที่มีความเป็นพิษลดลง คือ ไบคาร์บอเนต ในตรรฟและซัลเฟต ส่วนแอนโอมีนีไม่พบในการศึกษานี้

5.3 การศึกษาระยะยาว (Long term period) ของการพัฒนาความสามารถของจุลินทรีย์ด้วยระบบพิกซ์-ฟิล์มไบโอสครับเบอร์ (Fixed-film bioscrubber)

การศึกษาระยะยาวสำหรับการบำบัดสารประกอบไชยาในด้ในรูปของไชยาเนตและโดยไชยาในด้ด้วยจุลินทรีย์รวมกลุ่ม (Mixed culture) *Agrobacterium tumefaciens* SUTS 1 และ *Pseudomonas monteili* SUTS 2 ตลอดช่วง 30 วันของการศึกษาด้วยการใช้สภาวะที่เหมาะสมคืออัตราการ ไหลที่ 10 มล./นาที ที่ระยะเวลา กักเก็บ 21 นาที เพื่อให้ความสามารถในการย่อยสลายโดยจุลินทรีย์เกิดขึ้นอย่างมีประสิทธิภาพสูงสุด การศึกษานี้พบว่าจุลินทรีย์สามารถย่อยสลายสารประกอบไชยาในด้มากกว่าหนึ่งชนิดได้ และสามารถถูกย่อยสลายได้ตั้งแต่ 6 ชั่วโมงแรกของการศึกษา พนว่าระบบสามารถบำบัดไชยาในด้ได้ดีกว่า สังกะสี ไชยาเนต และแคนเมียม ตามลำดับ คิดเป็นประสิทธิภาพร้อยละ 80.56, 68.60, 58.41 และ 27.17 ตามลำดับ เทียบจากวันที่เกิดการย่อยสลายได้สูงสุด เมื่อเปรียบเทียบกับมาตรฐานการปล่อยน้ำทึ่งจากโรงงานอุตสาหกรรมและนิคมอุตสาหกรรมอนุญาตให้ปล่อยน้ำทึ่งที่มีการปนเปื้อนของไชยาในด้ สังกะสี และแคนเมียม ออกสู่สิ่งแวดล้อมไม่เกิน 0.2 มก./ล., 5 มก./ล. และ 0.03 มก./ล. ตามลำดับ (ประกาศกระทรวงวิทยาศาสตร์ เทคโนโลยีและสิ่งแวดล้อม, 2539) ซึ่งจากการทดลองพบว่าน้ำทึ่งที่ออกจากระบบสำหรับไชยาในด้และสังกะสี มีค่าไม่เกินมาตรฐานกำหนด ยกเว้นแคนเมียม ขณะที่ไชยาเนตไม่มีมาตรฐานกำหนดไว้แต่ไชยาเนตอาจก่อให้เกิดความเป็นพิษต่อสิ่งมีชีวิตและสามารถทำปฏิกริยากับโดยหนักได้ ทำให้เกิดการสะสมในสิ่งแวดล้อมดังนั้นจึงถือเป็นอีกพารามิเตอร์หนึ่งที่ควรได้รับการบำบัดก่อนปล่อยทึ่งออกสู่สิ่งแวดล้อม เช่นกัน นอกจากนี้การบำบัดสารประกอบไชยาในด้ด้วยระบบพิกซ์-ฟิล์มไบโอสครับเบอร์

สามารถเปลี่ยนรูปสารประกอบดังกล่าวให้อยู่ในรูปที่มีความเป็นพิษลดลงปราบเชิง แคม โนเนีย ในเศรษฐ ไนคาร์บอนเนต และซัลเฟต ซึ่งสารผลิตภัณฑ์เหล่านี้สามารถถูกนำไปใช้เป็นแหล่งพลังงานสำหรับการเจริญเติบโตของจุลินทรีย์ต่อไปได้

จากการศึกษาวิจัยนี้สรุปได้ว่าจุลินทรีย์รวมกลุ่ม *Agrobacterium tumefaciens* SUTS 1 และ *Pseudomonas monteilii* SUTS 2 เป็นจุลินทรีย์กลุ่มใหม่ที่มีความสามารถในการย่อยสลายสารประกอบไฮยาในด้วยมากกว่าหนึ่งชนิด ซึ่งอาจสามารถประยุกต์ใช้ได้จริงในการบำบัดน้ำเสียจากโรงงานอุตสาหกรรมที่มีการปนเปื้อนสารประกอบไฮยาในด้วยมากกว่าหนึ่งชนิดโดยเฉลพะอย่างยิ่งสารไฮโอดีไซด์และโลหะไฮยาในด้วยรูปของสังกะสีและแคนดี้มีมีน

5.4 ข้อเสนอแนะจากการศึกษาวิจัย

- ควรมีการพัฒนาความสามารถของจุลินทรีย์เพื่อนำไปใช้ในการกำจัดสารประกอบเชิงชื้อนของโลหะไฮยาในด้วยประเภทอื่น เช่น Cupper cyanide, Iron cyanide, Ferric cyanide และ Chromium cyanide เป็นต้น
- ควรมีการนำระบบฟิกซ์-ฟิล์ม ใบไอสครับเบอร์ที่มีจุลินทรีย์รวมกลุ่มนี้ไปทดสอบใช้ในการบำบัดน้ำเสียจริงที่เกิดจากโรงงานอุตสาหกรรมที่มีการปนเปื้อนของสารประกอบไฮยาในด้วย
- ควรมีการพัฒนาความสามารถของจุลินทรีย์รวมกลุ่มเพื่อนำไปทดสอบใช้กับระบบบำบัดประเภทอื่นๆ เช่น ระบบบำบัดแบบที่จุลินทรีย์เขวนลอยในระบบ

บรรณานุกรม

- กระทรวงวิทยาศาสตร์ เทคโนโลยีและสื่อแวดล้อม. (2539). กำหนดมาตรฐานควบคุมการระบายน้ำที่ตั้งจากแหล่งกำเนิดประเภทโรงงานอุตสาหกรรมและนิคมอุตสาหกรรม ฉบับที่ 3 (ออนไลน์). ที่มา:
http://infofile.pcd.go.th/law/3_94_water.pdf?CFID=4481081&CFTOKEN=67141427.
- ุทารัตน์ อาชวรัตน์ ถาวร. (2547). ความรู้เบื้องต้นเกี่ยวกับไขยาในด. รายงานวิชาการ ฉบับที่ สอพ.4/2547 สำนักอุตสาหกรรมพื้นฐาน กรมอุตสาหกรรมพื้นฐานและการเหมืองแร่. 48 หน้า.
- ชัชวี กะลัมพะเทศ. (2535). การพัฒนาวิธีวิเคราะห์ไขยาในด. จากเหมืองทอง. วารสารกรมวิทยาศาสตร์บริการ. ปีที่ 40. ฉบับที่ 123. หน้า 24 - 28.
- พินพันธุ์ เนตรเทพ. (2545). การคุ้ดซับแคดเมียมและตะกั่วทางเชื้อกาฬโดย *Aspergillus oryzae*. วิทยานิพนธ์ วท.ม. มหาวิทยาลัยเรศวร.
- พัชชัย วงศ์สุวรรณ. (2546). การประยุกต์ระบบ SBR สำหรับการบำบัดโลหะหนักที่ป่นเปี้ยนในน้ำเสีย วิทยานิพนธ์ปริญญาโท. มหาวิทยาลัยเทคโนโลยีพระจอมเกล้าธนบุรี.
- ปริยา จาเรวะระกุล. (2550). ไขยาในด. กับอุตสาหกรรมเหมืองแร่ทองคำ. รายงานวิชาการ ฉบับที่ สอพ. 3/2550 กลุ่มอุตสาหกรรมพื้นฐาน 4 สำนักอุตสาหกรรมพื้นฐาน กรมอุตสาหกรรมพื้นฐานและการเหมืองแร่. 49 หน้า.
- พิมลด เรียนพัฒนา และ ขัยวัฒน์ เจนวาณิชย์. (2539). เกมีสภาวะแวดล้อม. กรุงเทพฯ: ไอเดียนสโตร์.
- วิสุทธิ์ เทวงศ์. (2537). สารแคดเมียม. วารสารท่าவரதமிழ. 21(1): 1-3.
- ศุภมาศ พนิชศักดิ์พัฒนา. (2540). ภาวะผลพิษของดินจากการใช้สารเคมี. พิมพ์ครั้งที่ 2. กรุงเทพฯ: ภาควิชาปฐพีวิทยา มหาวิทยาลัยเกษตรศาสตร์.
- สันทัด ศิริอนันต์พညุลย์. (2552). ระบบบำบัดน้ำเสีย การเลือกใช้ การออกแบบ การควบคุม และการแก้ไขปัญหา. สำนักพิมพ์ท็อป. กรุงเทพมหานคร.
- ศิรากรถ์ โพธิวิชยานนท์. (2550). การย่อยสลายไขยาในด. ด้วยจุลินทรีย์. รายงานการวิจัย รหัส โครงการ SUT6-617-50-12-90. มหาวิทยาลัยเทคโนโลยีสุรนารี.
- ศิรากรถ์ โพธิวิชยานนท์. (2553). การพัฒนาความสามารถของเชื้อจุลินทรีย์ในการกำจัดกลิ่นในรูปของก๊าซไฮโดรเจน ไขยาในด. โดยใช้ระบบฟิกซ์-ฟิล์ม ไบโอดิร์บ. รายงานการวิจัย รหัส โครงการ SUT6-617-53-12-04. มหาวิทยาลัยเทคโนโลยีสุรนารี.
- Ahn, J.H., Lee, S. and Hwang, S. (2005). Growth kinetic parameter estimation of *Klebsiella* sp. utilizing thiocyanate. Process Biochemistry. 40: 1363-1366.

- Ahuja, P., Mohapatra, H., Saxena, R.K. and Gupta, R. (2001). Reduced Uptake as a mechanism of zinc tolerance in *Oscillatoria anguisissima*. Current Microbiology. 43: 305-310.
- Aiking, H. Stijnman, A., Garderen, C.V., Heerikhuizen, H.V. and Riet, J.V. (1984). Inorganic phosphate accumulation and cadmium detoxification in *Klebsiella aerogenes* NCTC 418 growing in continuos culture. Appl Environ Microbiol. 47: 374-377.
- Akcil, A. (2003). Destruction of cyanide in gold mill effluents: biological versus chemical treatments. Biotechnol. Adv. 21: 501-511.
- APHA, AWWA, WPCF. (1995). Standards method for the examination of water and wastewater. 19th ed. American Public Health Association. Washington DC.
- APHA, AWWA, WPCF. (2005). Standards method for the examination of water and wastewater. 25st ed. American Public Health Association. Washington DC.
- Aronstein, B.N., Maka, A. and Srivastava, V.J. (1994). Chemical and biological removal of cyanide from aqueous and soil-containing systems. Appl Microbiol Biotechnol. 41: 700-707.
- Babu, G.R.V., Wolfram, J.H. and Chapatwara K.D. (1992). Conversation of sodium cyanide to carbon dioxide and ammonium by immobilized cells of *Pseudomonas putida*. J Ind Microbiol. 9: 235-238.
- Barclay, M., Hart, A., Knowles, C.J., Meeussen, J.C.L. and Tett, V.A. (1998). Biodegradation of metal cyanides by mixed and pure cultures of fungi. Enzyme Microb Technol. 22: 223-231.
- Baxter, J. and Cummings, S.P. (2006). The current and future applications of microorganism in the bioremediation of cyanide contamination. A Van Leeuw. 90: 1-17.
- Beard, S.J. (1997). Zinc (II) tolerance in *Escherichia coli* K-12: Evidence that the zntA gene encodes a cation transport ATPase. Molecular Microbiology. 25: 883-891.
- Benjamin, M.M. (2002). Water chemistry. NY: McGraw-Hill.
- Betts, PM., Rinder, DF. and Fleeker, JR. (1979). Thiocyanate utilization by an *Arthrobacter*. Can. J. Microbiol. 25: 1277-1282.
- Blackwell, K.J., Singleton, I. and Tobin, J.M. (1995). Metal cation uptake by yeast. a review. Appl. Microbiol. Biotechnol. 43: 579-584.
- Bomstein, R.A. (1972). Waste treatment with microbial nucleoprotein flocculating Agent. 3: 684-706.
- Botz, M.M. (2001). Overview of cyanide treatment methods. Mining environmental management. UK : Mining journal Ltd.
- Boucabeille, C., Bories, A., Ollivier, P. and Michel, G. (1994). Microbial degradation of metal complexed cyanides and thiocyanate from mining wastewaters. Environ Pollut. 84: 59-67.

- Brierley, C.L. (1990). Metal immobilization using bacteria. In *Microbial Mineral Recovery*. New York: McGraw-Hill.
- Chakraborty, S. and Veeramani, H. (2006). Effect of HRT and recycle ratio on removal of cyanide, phenol, thiocyanate and ammonia in an anaerobic-anoxic-aerobic continuous system. *Process Biochem.* 41: 96-105.
- Chapatwala, K.D., Rabu, G.R.V., Vijaya, O.K., Kumar, K.P. and Wolfram, J.H. (1998). Biodegradation of cyanides, cyanates and thiocyanates to ammonia and carbon dioxide by immobilized cells of *Pseudomonas putida*. *J Ind Microbiol and Biot.* 20: 28-33.
- Dash, R.R., Balomajumder, C. and Kumar, A. (2009). Removal of metal cyanides from aqueous solutions by suspended and immobilized cells of *Rhizopus oryzae* (MTCC 2541). *Eng Life Sci.* 9(1): 53-59.
- Dubey, S.K. and Holmes, D.S. (1995). Biological cyanide destruction mediated by microorganisms. *World J Microbiol Biotechnol.* 11: 257-265.
- Dzombak, D.A., Ghosh, R.S., and Wong-Chong, G.M. (2006). Cyanide in water and soil: Chemistry, Risk, and Management. United States: CRC Press, pp. 93-121.
- Ebbs, S. (2004). Biological degradation of cyanide compounds. *Curr Opin Biotech.* 15: 231-236.
- Elaine, M. Souza-Fagundes, Luiz, H.R., Newton, C.M. Gomes, Mercia, H.S. and Patricia, F.P. (2004). Thiocyanate degradation by pure and mixed cultures of microorganisms. *Brazilian Journal of Microbiology.* 35: 333-336.
- EPA. (1997). Methylene bis(Thiocyanate). United States Environmental Protection Agency. EPA-738-F-97-005.
- Filali, K.B. (2000). Waste water bacterial isolates resistant to heavy metal and Antibiotic. *Current microbiology.* 41: 151-156.
- Gantzer, C.J. and Maier, W.J. (1990). Biological degradation of cyanide by nitrogen-fixing cyanobacteria. Research and Development, Risk Reduction Engineering. United States Environmental Protection Agency.
- Gherrour, A. and Kerdjoudj, H. (2002). Specific membrane transport of silver and copper as $\text{Ag}(\text{CN})_3^{2-}$ and $\text{Cu}(\text{CN})_4^{3-}$ ions through a supported liquid membrane using K^+ -crown ether as a carrier. *Desalination.* 151: 87-94.
- Goncalves, M.M.M., Pinto, A.F. and Granato, M. (1998). Biodegradation of free cyanide, thiocyanate and metal complexed cyanides in solutions with different compositions. *Environ Technol.* 19: 133-142.

- Gourdon, R. (1990). Comparison of cadmium biosorption by Grampositive and Gram-negative bacteria from activated sludge. *Biotechnol.Lett.* 12(11): 839-842.
- Gourdon, R. (1990). Mechanism of cadmium uptake by activated sludge. *Appl. Microbiol.* 34: 274-278.
- Grigor'eva, N.V., Smirnova, Yu. V. and Dulov, L.E. (2009). Thiocyanate decomposition under aerobic and oxygen-free conditions by aboriginal bacterial community isolated from the waste of a metallurgical works. *Microbiology.* 78(4): 402-406.
- Gupta, A. Whitton, BA., Morby, AP., Huckle, JW. and Robinson, NJ. (1992). Amplification and rearrangement of a prokaryotic metallothionein locus *smt* in *Synechococcus* PCC-6301 selected for tolerance to cadmium. *Proc. R. Soc. Lond Ser B Biol Sci.* 248: 273-281.
- Gurbuz, F., Ciftci, H. and Akcil, A. (2009). Biodegradation of cyanide containing effluents by *Scenedesmus obliquus*. *Hazardous Materials.* 162: 74-79.
- Huddy, R.J., van Zyl, A.W., van Hille, R.P. and Harrison, S.T.L. (2015). Characterisation of the complex microbial community associated with the ASTER™ thiocyanate biodegradation system. *Minerals Engineering.* 76: 65-71
- Hung, C.H. and Pavlostathis, S.G. (1997). Aerobic biodegradation of thiocyanate. *Wat Res.* 31(3): 2761-2770.
- Hung, C.H. and Pavlostathis, S.G. (1999). Kinetics and modelling of autotrophic thiocyanate biodegradation. *Biotechnol. Bioeng.* 62: 1-11.
- Hsu, J.P., chiang, T.Y. (1991). Removal of cadmium ions in wastewater through biosorption. *World Journal of Microbiology and Biotechnology.* 7(5): 571-572.
- Hyouk, K.K., Seung, H.W. and Jong, M.P. (2002). Thiocyanate degradation by *Acremonium strictum* and inhibition by secondary toxicants. *Biotechnology Letters.* 24: 1347-1351.
- Jeong, Y.S. and Chung, J.S. (2006). Biodegradation of thiocyanate in biofilm reactor using fluidized-carriers. *Process Biochem.* 41: 701-707.
- Jeong, Y.S. and Chung, J.S. (2006). Simultaneous removal of COD, thiocyanate, cyanide and nitrogen from coal process wastewater using fluidized biofilm process. *Process Biochem.* 41: 1141-1147.
- Juntaek, L., Seungyong, L., Sang-Don, K. and Seokhwan, H. (2008). Biochemical indication of microbial mass changes using ATP and DNA measurement in biological treatment of thiocyanate. *Appl Microbiol Biotechnol.* 80: 525-530.
- Kao, C.M., Liu, J.K., Lou, H.R., Lin, C.S. and Chen, S.C. (2003). Biotransformation of cyanide to methane and ammonia by *Klebsiella oxytoca*. *Chemosphere.* 50: 1055-1061.

- Karavaiko, G.I., Kondrat'eva, T.F., Savari, E.E. (2000). Microbial degradation of cyanide and Thiocyanate. *Microbiology*. 69: 167-173.
- Kasan, H.C. (1993). The role of waste activated sludge and bacteria in metal-ion removal from solution. *Critical Reviews in Environmental Science and Technology*. 23 (1): 79 -117.
- Knowles, C.J. (1976). Microorganisms and cyanide. *Bacteriol Rev*. 40: 652-680.
- Raina, M.M., Lan, L.P., Charles P.G. (2009). *Environmental microbiology*. Elsevier. UK. pp 38-42.
- Lester, E.A. (1987). *Heavy metals in wastewater and sludge treatment process (Vol.1-2)*. Florida: CRC Press.
- Lim, J., Lee, S. and Kim, S.D. (2008). Biochemical indication of microbial mass changes using ATP and DNA measurement in biological treatment. *Appl Microbiol Biotechnol*. 80: 525-530.
- Lima, A.I.G., Corticeiro, S.C. and Figueira, E.Md.A.P. (2006). Glutathione-mediated cadmium sequestration in *Rhizobium leguminosarum*. *Enzym. Microb. Tech*. 39: 763-769.
- Lin, J.E. and Wang, H.Y. (1991). Degradation of pentachlorophenol by non-immobilized, immobilized and co-immobilized Arthrobacter cells. *Journal of Fermentation and Bioengineering*. 72(4): 311-314.
- Liu, J., Baozhen, W., Li, W., Chengji, J., Cao, X. and Wang, L. (1996). Removal of nitrogen from coal gasification and coke plant wastewater in anoxic aerobic submerged biofilm-activated sludge (SBF-AS) hybrid system. *Water Sci Technol*. 34: 17-24.
- Lodi, A., Solisio, C. and Converti, A. (1998). Cadmium Zinc Copper Silver and Chromium removal from wastewaters by *Sphaerotilus natans*. *Bioprocess Engineering*. 19: 197 – 203.
- Macaskie, L.E. and Dean, A.C.R. (1982). Cadmium Accumulation By Micro-organisms. *Environ. Technol. Let*. 3: 49-56.
- Malik, A. and Jaiswal, R. (2000). Metal resistance in *Pseudomonas* strains isolated from soil treated with industrial wastewater. *World J Microbiol Biotechnol*. 16: 177-182.
- Medwith, B.W. and Lefelhocz, J.F. (1981). In: Single-stage biological treatment of coke plant wastewater with a hybrid suspended growth fixed film reactor. *Ann Arbor Sci*. pp. 68-76.
- Meehan, S. M. (2000). The Aqucous chemistry of cyanide and nitrogen. [Online]. Available: http://thesis.lib.unimelb.edu.au/adt-root/uploads/approved/adtVU2002.0068/public/05_Ch3.pdf,
- Melcer, H. and Nutt, S.G. (1988). Nitrogen control of complex industrial wastewater. *J Environ Eng. ASCE*. 114: 166-178.

- Moran, R. (2000). Cyanide uncertainties. [Online]. Available: [http://www.eireview.org/eir/eirhome.nsf/\(DocLibrary\)/4255D0784BD4023F85256BFB006E9686/\\$FILE/Cyanide_Uncertainties%20\(Feiler\).pdf](http://www.eireview.org/eir/eirhome.nsf/(DocLibrary)/4255D0784BD4023F85256BFB006E9686/$FILE/Cyanide_Uncertainties%20(Feiler).pdf).
- Mudder, T.I., Botz, M.M. and Smith, A. (2001). Chemistry and Treatment of Cyanidation Wastes, 2nd ed. Mining Journal Books LTD. London. 373 p.
- Nies, D.H. and Silver, S. (1989). Plasmid determined inducible efflux is responsible for Resistance to cadmium, zinc and cobalt in *Alcaligenes eutrophus*. *J Bacteriol.* 171: 896-900.
- Nies, D.H. (1992). CzcR and CzcD, gene products affecting regulation of cobalt, zinc, and cadmium resistance (cze) in *Alcaligenes eutrophus*. *J. Bacteriol.* 174: 8102-8110.
- Nies, D.H. (1999). Microbial heavy metal resistance. *Appl Microbiol Biotechnol.* 51: 730-750.
- Neufeld, R.D., Mattson, L. and Lubon, P. (1981). Thiocyanate bio-oxidation kinetics. *J. Environ. Eng- ASCE* 108: 1035-1049.
- Olafson, R.W., Abel, K. and Sim, R.G. (1979). Prokarytic metallothionein : Preliminary Characterization of a blue green alge heavy-metal binding protein. *Biochem. Biophys Res Commun.* 89: 36.
- Ozgur, C. and Aysel, U. (2012). Bio-monitoring of heavy metal resistance in *Pseudomonas* and *Pseudomonas* Related Genus. *J. biol. Environ. Sci.* 6(18): 233-242.
- Paruchuri, Y.L., Shivaraman, N. and Kumaran, P. (1990). Microbial transformation of thiocyanate. *Environ. Pollut.* 68: 15-28.
- Patil, Y.B. and Paknikar, K. M. (2000). Development of a process for biode toxification of metal cyanides from waste waters. *Process Biochem.* 35: 1139-1151.
- Patterson, J.W. (1985). Industrial Wastewater Treatment Technology, 2nd ed. Butterworths. London, UK. pp. 115-134.
- Pazirandeh, M., Well, B.M. and Ryan, R.L. (1998). Development of bacterium-based heavy metal biosorbents: entranced uptake of cadmium and mercury by *Escherichia coli* expressing a metal binding motif. *Appl Environ microbial.* 64(10): 4068-4072.
- Potivichayanon, S., Pokethitiyook, P. and Kruatrachue, M. (2006). Hydrogen sulfide removal by a novel fixed-film bioscrubber system. *Process Biochemistry.* 41(3):708-715.
- Potivichayanon, S. and Kitleartpornpairoat, R. (2010). Biodegradation of cyanide by a novel cyanide-degrading bacterium. Proceedings of ICEESD 2010 International Conference on Energy, Environment, Sustainable Development in World Academy of Science, Engineering and Technology. Paris, France. 66: 606-609.

- Raja, C.E., Anbazhagan, K. and Selvam, G.S. (2006). Isolation and characterization of a metal-resistant *Pseudomonas aeruginosa* strain. World J. Microbiol. Biotechnol. 22: 577-585.
- Ragan, H.A. and Mast, T.J. (1990). Cadmium inhalation and male reproductive toxicity. Rev. Environ. Contam. Toxicol. 114:1-22.
- Raybuck, S.A. (1992). Microbes and microbial enzymes for cyanide degradation. Biodegradation. 3: 3–18.
- Sannasi, P., Kader, J., Othman, O. and Salmijah, S. (2009). Physical growth and biomass characterization of bacterial cells exposed to Cd(II), Cr(VI), Cu(II), Ni(II) and Pb(II). Journal of Environmental Research and Development. 4(1): 8-18.
- Scott, J.A. and Karanjikar, A.M. (1992). Repeated cadmium biosorption by regenerated *Enterbacter aerogenes* biofilm attached to activated carbon. Biotechnol.Lett. 8: 737-740.
- Shivaraman, N., Kumaran, P., Pandey, R.A., Chatterjee, S.K., Choudhary, K.R. and Parhd, N.M. (1985). Microbial degradation of thiocyanate, phenol and cyanide in a completely mixed aeration system. Environ. Pollut. Ser. A (UK). 39: 141-150.
- Silva-avalos, J., Richmond, M.G., Nagappan, O. and Kunz, D.A. (1990). Degradation of the metal-cyano complex tetracyanonickelate(II) by cyanide-utilizing bacterial isolates. Appl Environ Microbiol. 56(12): 3664-3670.
- Silver, S. (1996). Bacterial heavy metal resistance: New surprises. Ann Rev Microbiol. 50, 753-789.
- Sirianuntapiboon, S. and Chuamkaew, C. (2007). Packed cage rotating biological contactor system for treatment of cyanide wastewater. Bioresource Technol. 98: 266-272.
- Sorokin, D.Y., Tourova, T.P., Lysenko, A.M. and Kuenen, J.G. (2001). Microbial thiocyanate utilization under highly alkaline conditions. Appl. Environ. Microbiol. 67: 528-538.
- Tangaromsuk, J., Pokethitiyook, P., Kruatrachue, M. and Upatham, E.S. (2002). Cadmium biosorption by *Sphingomonas paucimobilis*Biomass. Bioresource Technolig. 85: 103–105.
- Taniguchi, J. (2000). Zinc biosorption by a zinc-resistant bacterium, *Brevibacterium* sp. Strain HZM-1. Appl Microbiol Biotechnol. 54: 581–588.
- Thelwell, C., Robinson, N.J. and Turner-Cavet, J.S. (1998). An SmtB-like repressor from *Synechocystis* PCC 6803 regulates a zinc exporter. Proc Natl Acad Sci USA. 95: 10728-10733.
- Tossapol, L. Najjapak, S. Anchana, S., Thiranun, A., Malceya, K. and Prayad, P. (2015). Bioaccumulation and biosorption of Cd²⁺ and Zn²⁺ by bacteria isolated from a zinc mine in Thailand. Ecotoxicology and Environmental Safety. 122: 322-330.

- USAMRICD. (2002). Cyanide. [Online]. Available: https://www.rke.vaems.org/wvems/Libraryfiles/Dis/03_23.pdf.
- U.S. EPA. (1994). Treatment of cyanide heap leaches and tailings. [Online] Available: <http://www.epa.gov/epaoswer/other/mining/techdocs/cyanide.pdf>.
- Valentine, N.B. Bolton Jr.H., Kingsley, M.T., Drake, G.R., Balkwill, D.L. and Plymale, A.E. (1996). Biosorption of cadmium, cobalt, nickel, and strontium by a *Bacillus simplex* strain isolated from the vadose zone. *J. Ind. Microbiol.* 16: 189-196.
- Vijaraghavan, K. and Yun, Y.S. (2008). Bacterial biosorbents and biosorption. *Biotechnol. Adv.* 26:266-291.
- Volesky, B. (1990). Removal and recovery of heavy metals by biosorption. *Biosorption of heavy metal*. 14: 139-172.
- Weast, R.C. (1984). CRC handbook of chemistry and physics, 64 edn. CRC, Boca Raton, Fla. Noplace.
- Whitlock, J.L. (1990). Biological detoxification of precious metal processing wastewaters. *Geomicrobiol. J.* 8: 241-249.
- Wild, J. (1987). Liquid wastes from the metal finishing industry. *Surveys industrial Wastewater Treatment, Vol 3, Manufacturing and Chemical industries*, Longman Group, Harlow, UK, pp. 21-64.
- Wood, A.P., Kelly, D.P., McDonald, I.R., Jordan, S.L., Morgan, T.D., Khan, S., Murrell, J.C. (1998). A novel pink-pigmented facultative methylotroph, *Methylobacterium thiocyanatum* sp. nov. capable of growth on thiocyanate or cyanate as sole nitrogen sources. *Arch Microbiol.* 169: 148-158.
- Yakubenko, L.N., Podolska, V.I., Vember, V.E. and Karamushka, V.I. (1995). The influence of transition metal cyanide complexes on the electrosurface properties and energy parameters of bacterial cells. *Colloids and Surfaces A: Physicochemical and Engineering Aspects.* 104: 11-16.
- Yasemin, K., Cigdem, A., Sema, T., Adil, D., Omer, G. and M. Yakup, A. (2002). Biosorption of Hg and Cd from aqueous solutions comparisin of biosorptive capacity of alginate and immobilized live and heat inactivateg *Phanerochaete chrysosporium*. *Process Biochemistry.* 37: 601-610.

ภาคผนวก ก.

วิธีการมีคราฟท์

1. การวิเคราะห์ไซยาไนด์เหลืออยู่ (Residual cyanide: CN⁻) ด้วยวิธีการกลั่นและการไถตกรา (APHA, AWWA, WPCF, 2005)

1.1 การกลั่นไซยาไนด์ (Distillation) สำหรับวิธี Weak Acid Dissociable Cyanide (WAD)

อุปกรณ์

ชุดกลั่นไซยาไนด์ (ภาพที่ ผ.1)

สารเคมี

1. สารละลายน้ำมันอะซีติก (Acetic acid) (1+9) : Acetic acid ปริมาตร 1 เท่า ผสมกับน้ำกลั่นในปริมาตร 9 เท่า

2. สารละลายน้ำอะเซตेटบัฟเฟอร์ (Acetate buffer) : ละลายน้ำมันอะเซตेट (NaC₂H₃O₂·3H₂O) 410 กรัม ในน้ำกลั่น 500 มิลลิลิตร และเติม Acetic acid เพื่อให้สารละลายน้ำมี pH อยู่ที่ 4.5 (ประมาณ 500 มิลลิลิตร)

3. Methyl red indicator

4. สารละลายน้ำสังกะสีอะเซตेट (Zinc acetate solution) (100 กรัม/ลิตร) : ละลายน้ำสังกะสีอะเซตेट (Zn(C₂H₃O₂)₂·2H₂O) 120 กรัม ในน้ำกลั่น 500 มิลลิลิตร ปรับปริมาตรให้เป็น 1000 มิลลิลิตร

5. สารละลายน้ำโซเดียมไฮดรอกไซด์ : ละลายน้ำ NaOH 40 กรัม ในน้ำกลั่น และปรับปริมาตรให้เป็น 1000 มิลลิลิตร

6. Lead carbonate (PbCO₃)

วิธีวิเคราะห์

1. นำร่องชุดกลั่นไซยาไนด์โดยต่อ Round flask (หมายเลข 1) เข้ากับ Cold finger jacket (หมายเลข 2) และ Cold finger (หมายเลข 3) ยึดให้ติดกันด้วยตัวหนีบ

2. เติมตัวอย่างน้ำ 250 มิลลิลิตร ลงใน Round flask (หมายเลข 1) เข้าทาง Inlet tube (หมายเลข 4)

3. เติมสารละลายน้ำโซเดียมไฮดรอกไซด์ 10 มิลลิลิตร ลงใน Absorber tube (หมายเลข 5) (ท่อกระขายลมต้องจนอยู่ใต้สารละลายน้ำโซเดียมไฮดรอกไซด์) ถ้าในตัวอย่างน้ำมีชั้นไฟฟ์ให้เติม Lead carbonate (PbCO₃) 50 มิลลิกรัม หรือมากกว่านั้นลงไปใน Absorber tube ด้วยเพื่อให้เกิดการตกตะกอนของชั้นไฟฟ์ (ถ้ามีชั้นไฟฟ์จะมีตะกอนสีดำตกตะกอนอยู่ที่ก้น tube) แล้วต่อเข้ากับ Cold finger jacket (หมายเลข 2) ยึดให้ติดกันด้วยตัวหนีบ

4. ต่อสายน้ำเข้าและสายน้ำออกเข้ากับ Cold finger (หมายเลข 3)

5. ต่อสายจาก Absorber tube (หมายเลข 5) เข้ากับ Suction flask (หมายเลข 6)

6. ต่อสายจาก Suction flask (หมายเลข 6) ไปที่ขวดสูญญากาศ (หมายเลข 7)

7. ต่อสายจากขวดสุญญากาศ (หมายเลข 7) ไปที่ปั๊ม (หมายเลข 8)

8. เดินเครื่อง Suction (หมายเลข 8) และปรับวอล์ว์จนกระทั้งอัตราลมเข้า Round flask

(หมายเลข 1) ประมาณ 1-2 พอง/วินาที (พองอากาศต้องไม่ทำให้ระดับของเหลวใน Absorber tube (หมายเลข 5) สูงกว่า 6.5-10 มิลลิเมตร

หมายเหตุ : ถ้าพองอัตราลมเข้าใน Round flask น้อยเกินไปจะทำให้เกิดแรงดันภายในทำให้เกิดน้ำพุ่งออกจาก Round flask ออกทาง Inlet tube (หมายเลข 4) แก้ไขโดยปรับพองอัตราลมเข้า Round flask เพิ่มขึ้น

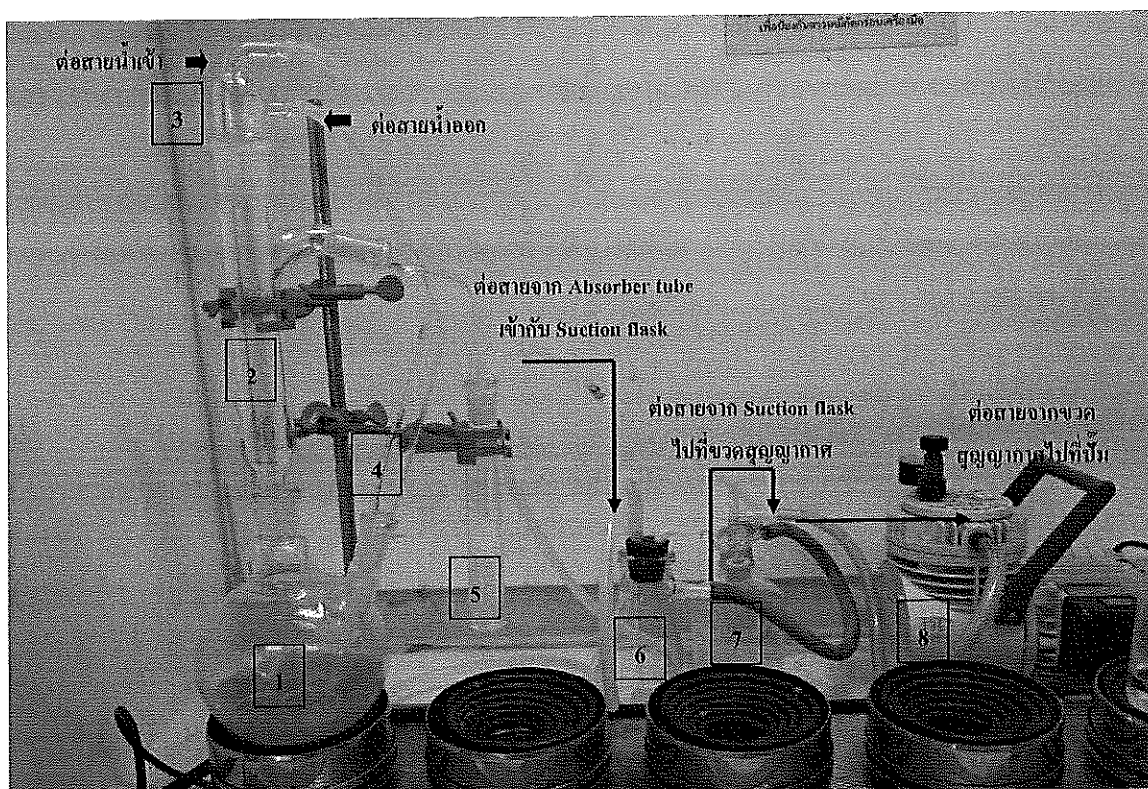
9. เติมสารละลายน้ำซีเทอบนพีเพอร์ 10 มิลลิลิตร และสารละลายน้ำซิงค์โซเดียม 10 มิลลิลิตร เข้าทาง Inlet tube (หมายเลข 4)

10. เติม Methyl red indicator 2-3 หยด และจะถูก Inlet tube (หมายเลข 4) ทิ้งน้ำก้นถ้วย Solution ไม่เป็นสีชมพูเติมกรดอะซิติกจนมีสีชมพูคงอยู่

11. เปิดเตาอย่างไฟแรงจนน้ำเดือดถึงปากท่อคอนเดนเซอร์ (ระดับที่เหมาะสมก็คือที่ Reflux rate 40-50 หยด/นาที) ต้มรีฟลักชันน้ำไม่น้อยกว่า 1 ชั่วโมง (อย่าลืมปิดน้ำหล่อเย็น) (ในการทดลองกลั่นไชยainer ใช้เวลาประมาณ 2 ชั่วโมง)

12. ดับเตา แต่อย่าเพิ่งเลิก Suction ทิ้งให้เย็น 15 นาทีและเทลงเหลว (น้ำไชยainer) ใน Absorber tube (หมายเลข 5) ลงในขวดสะอาด ถังท่อต่อระหว่างคอนเดนเซอร์และหลอดทดลองด้วยน้ำกลั่นและเก็บน้ำจะถังรวมกับน้ำไชยainer

13. เจือจางสารละลายน้ำซีเทอบนพีเพอร์ ให้เป็น 150 มิลลิลิตร นำไปหาด้วยวิธีไอเตอร์ท่อไป



ภาพที่ พ.1 ชุดกลั่นไฮยาไนด์

1.2 การวิเคราะห์ไฮยาไนด์ด้วยวิธีการไตเตր (Titration method)

สารเคมี

- สารละลายนินดิเคเตอร์ : ละลายน p-dimethylaminobenzalrhodanine 20 มิลลิกรัม ในอะซีโตน 100 มิลลิลิตร
- สารละลายน้ำตาลชิคลิเวอร์ในเตรท : ละลายนชิคลิเวอร์ในเตรท (AgNO_3) 3.27 กรัมในน้ำกลั่น 1000 มิลลิลิตร สารละลายนี้ต้องเทียบกับมาตรฐานกับสารละลายนโซเดียมคลอไรด์โดยวิธี Argentometric โดยใช้โพแทสเซียมโครเมต (K_2CrO_4) เป็นนินดิเคเตอร์ สารละลายนี้ 1.00 มิลลิลิตร = 1.00 มิลลิกรัม CN^-
- สารละลายนโซเดียมไฮดรอกไซด์ : ละลายน NaOH 1.6 กรัม ในน้ำกลั่น 1000 มิลลิลิตร

วิธีการวิเคราะห์

- สารละลายที่ได้จากการกลั่นปริมาตร 150 มิลลิลิตร เติมสารละลายนินดิเคเตอร์ 0.25 มิลลิลิตร จะได้สีเหลือง เขียว่าให้เข้ากัน
- ไตเตรท์ตัวอย่างน้ำด้วยสารละลายนชิคลิเวอร์ในเตรท เมื่อถึงจุดยุติจะได้สีชมพูอมส้ม
- ทำเบลงค์โดยใช้สารละลายนโซเดียมไฮดรอกไซด์ และใส่สารเคมีทุกอย่างเหมือนกับตัวอย่างน้ำแล้วนำไปไตเตรท์

การคำนวณ

$$\text{มิตลิกรัม/ลิตร ของ } \text{ไฮโซไนเตต} = \frac{(A-B) \times 1000}{250} \times 150$$

A = ปริมาตรของสารละลายน้ำมาตรฐานซิคเวอร์ในเครทที่ไทด์เทอร์ทกับตัวอย่าง (มิลลิลิตร)

B = ปริมาตรของสารละลายน้ำมาตรฐานซิคเวอร์ในเครทที่ไทด์เทอร์ทกับแบลงค์ (มิลลิลิตร)

2. การวิเคราะห์ไฮโซไชยาเนต (Thiocyanate: SCN⁻) ด้วยวิธีการเทียบสีด้วยเฟอริคไนเตรท (Ferric nitrate) (APHA, AWWA, WPCF, 2005)

สารเคมี

1. สารละลายน้ำเฟอริคไนเตรท (Ferric nitrate solution) : ละลายน Fe(NO₃)₃ · 9H₂O 404 กรัม ในน้ำกลั่น 800 มิลลิลิตร และเติมกรดไนต์ริกเข้มข้น 80 มิลลิลิตร เจือจางด้วยน้ำกลั่นให้เป็น 1000 มิลลิลิตร

2. สารละลายน้ำกรดไนต์ริก (Nitric acid solution) 0.1 นอร์มัล : ผสมกรดไนต์ริกเข้มข้น 6.4 มิลลิลิตร ในน้ำกลั่น 800 มิลลิลิตร ปรับปริมาตรให้เป็น 1000 มิลลิลิตรด้วยน้ำกลั่น

3. สารละลายน้ำสต็อกไฮโซไชยาเนต (Stock thiocyanate solution): ละลายน้ำโซเดียมไฮโซไชยาเนต (KSCN) 1.673 กรัม ในน้ำกลั่นและเจือจางให้เป็น 1 ลิตร ; 1 มิลลิลิตร = 1 มิตลิกรัม SCN⁻

4. สารละลายน้ำมาตรฐานไฮโซไชยาเนต (Standard thiocyanate solution) : สารละลายน้ำสต็อกไฮโซไชยาเนต 10 มิลลิลิตร เจือจางเป็น 1 ลิตรด้วยน้ำกลั่น ; 1 มิลลิลิตร = 0.01 มิตลิกรัม SCN⁻

5. สารละลายน้ำโซเดียมไฮดรอกไซด์ (Sodium hydroxide solution) 4 กรัม/ลิตร: ละลายน้ำโซเดียมไฮดรอกไซด์ 4 กรัม ในน้ำกลั่น 800 มิลลิลิตร และเจือจางให้เป็น 1000 มิลลิลิตร

วิธีการวิเคราะห์

การสร้างกราฟมาตรฐานไฮโซไชยาเนต

1. เตรียมชุดของสารละลายน้ำมาตรฐานที่มีไฮโซไชยาเนต 0.02 มก. ถึง 0.40 มก. โดยปีเปตจากสารละลายน้ำมาตรฐานโซเดียมไฮดรอกไซด์ ลงในขวดรูปทรงพุกนาด 200 มิลลิลิตรและเจือจางด้วยน้ำกลั่นผสมให้เข้ากัน และหล่ออดกราฟการดูดกลืนแสง

การสร้างสี

2. ใช้ตัวอย่างที่ผ่านการกรองหรือที่เจือจางเพื่อให้ความเข้มข้นของ SCN⁻ อยู่ระหว่าง 0.1 และ 2 มิตลิกรัม/ลิตร ปรับพีเอชให้เท่ากับ 2 โดยเติมกรดไนต์ริกเข้มข้น ปีเปตตัวอย่างมา 50 มิลลิลิตร และเติมเฟอริคไนเตรท 2.5 มิลลิลิตร และผสมให้เข้ากัน ตรวจวัดการดูดกลืนแสง โดยใช้ความยาวคลื่นเท่ากับ 460 นาโนเมตร

3. ทำแบลงค์โดยใช้น้ำกัลลันและเติมสารเคมีทุกอย่างเหมือนกับตัวอย่าง
การคำนวณ

$$\text{มิลลิกรัม SCN}^-/\text{ลิตร} = (ma_1 + b) \times \text{dilution factor}$$

เมื่อ a_1 = absorbance of sample solution

3. การวิเคราะห์สังกะสี (Zinc: Zn) ด้วยวิธี Direct Air-Acetylene Flame (APHA, AWWA, WPCF, 2005)

เครื่องมือ

1. เครื่อง Atomic Absorption Spectroscopy (AAS)
2. Zn Hollow cathode lamp

สารเคมี

1. น้ำกัลลันที่ปราศจากโลหะหนัก: ใช้น้ำนี้สำหรับเตรียมน้ำยาเคมี เตรียมสารละลายน้ำมาตรฐาน และการเจือจางตัวอย่าง
2. กรดไนต์ริก (Nitric Acid) เข้มข้น
3. สารละลายน้ำมาตรฐานสังกะสีความเข้มข้น 1000 มิลลิกรัม/ลิตร±4 มิลลิกรัม/ลิตร

วิธีวิเคราะห์

1. การเตรียมตัวอย่าง (Sample preparation) : ตวงตัวอย่างมา 100 มิลลิลิตร เติมกรดไนต์ริก เข้มข้น 5 มิลลิลิตร ใส่เม็ดแก้วแล้วนำไปตั้งบนเตาให้ความร้อน โดยทำให้สารละลายค่อนข้างเดือด และเรียบไปอย่างช้าๆ จนได้สารละลายใส่ ไม่มีสี ปริมาณ 10-20 มิลลิลิตร (อาจเติมกรดไนต์ริกเข้มข้น ได้อีก) โดยให้กระบวนการย่อยสมบูรณ์ สังเกตจากสีสารละลายจะใส (ระวังอย่าให้แห้ง) จากนั้นให้กรองสารละลายน้ำ (หากจำเป็น) และปรับปริมาณเป็น 100 มิลลิลิตร ด้วยน้ำกัลลัน หากตัวอย่างมีความเข้มข้นสูงทำการเจือจางตัวอย่างก่อนการวัดค่าด้วยเครื่อง AAS

2. การเตรียมกราฟมาตรฐาน: เตรียมสารละลายน้ำมาตรฐานสังกะสีที่เหมาะสมสมอย่างน้อย 4 ระดับ ให้มีความเข้มข้น และเติมกรดไนต์ริกเข้มข้น 1% ให้กับสารละลายน้ำมาตรฐาน นำตัวอย่างมาตรฐานที่ได้เข้าวิเคราะห์ตามวิธีใช้ของเครื่อง Atomic Absorption Spectrometer โดยวิธี Direct Air-Acetylene Flame Method แต่ละเครื่อง และสร้างกราฟมาตรฐานระหว่างค่าการดูดกลืนแสงกับความเข้มข้น

3. วิเคราะห์ตัวอย่าง: นำตัวอย่างที่เตรียมได้จากข้อ 1 มาทำการวิเคราะห์ด้วยเครื่อง Atomic Absorption Spectrometer โดยวิธี Direct Air-Acetylene Flame Method

การคำนวณ

นำค่าการดูดกลืนแสงของตัวอย่างที่ได้ไปเปรียบเทียบกับกราฟมาตรฐาน

4. การวิเคราะห์แคนเดเมียม (Cadmium: Cd) ด้วยวิธี Direct Air-Acetylene Flame (APHA, AWWA, WPCF, 2005)

เครื่องมือ

1. เครื่อง Atomic Absorption Spectroscopy (AAS)
2. Cd Hallow cathode lamp

สารเคมี

1. น้ำกลั่นที่ปราศจากโลหะหนัก: ใช้น้ำนี้สำหรับเตรียมน้ำยาเคมี เตรียมสารละลามาตรฐาน และการเจือจางตัวอย่าง
2. กรดไนต์ริก (Nitric Acid) เข้มข้น
3. สารละลามาตรฐานแคนเดเมียมความเข้มข้น 1000 มิลลิกรัม/ลิตร±4 มิลลิกรัม/ลิตร

วิธีวิเคราะห์

1. การเตรียมตัวอย่าง (Sample preparation): ตวงตัวอย่างมา 100 มิลลิลิตร เติมกรดไนต์ริก เข้มข้น 5 มิลลิลิตร ใส่เม็ดแก้วแล้วนำไปปัตตั้งบนเตาให้ความร้อน โดยทำให้สารละลายค่อยๆ เดือด และระเหยไปอย่างช้าๆ จนได้สารละลายใส่ ไม่มีสี ปริมาตร 10-20 มิลลิลิตร (อาจเติมกรดไนต์ริกเข้มข้น ได้อีก) โดยให้กระบวนการย้อมสมบูรณ์ สังเกตจากสีสารละลายจะใส (ระวังอย่าให้แห้ง) จากนั้นให้กรองสารละลาย (หากจำเป็น) แล้วปรับปริมาตรเป็น 100 มิลลิลิตร ด้วยน้ำกลั่น หากตัวอย่างมีความเข้มข้นสูงทำการเจือจางตัวอย่างก่อนการวัดค่าด้วยเครื่อง AAS

2. การเตรียมกราฟมาตรฐาน: เตรียมสารละลามาตรฐานแคนเดเมียมที่เหมาะสมอย่างน้อย 4 ระดับ ให้มีความเข้มข้น และเติมกรดไนต์ริกเข้มข้น 1% ให้กับสารละลามาตรฐาน นำตัวอย่าง มาตรฐานที่ได้เข้าวิเคราะห์ตามวิธี ใช้ของเครื่อง Atomic Absorption Spectrometer โดยวิธี Direct Air-Acetylene Flame Method แต่ละเครื่อง และสร้างกราฟมาตรฐานระหว่างค่าการคูณกึ่นแสงกับความเข้มข้น

3. วิเคราะห์ตัวอย่าง: นำตัวอย่างที่เตรียมได้จากข้อ 1 มาทำการวิเคราะห์ด้วยเครื่อง Atomic Absorption Spectrometer โดยวิธี Direct Air-Acetylene Flame Method

การคำนวณ

นำค่าการคูณกึ่นแสงของตัวอย่างที่ได้ไปเปรียบเทียบกับกราฟมาตรฐาน

5. การวิเคราะห์ในคาร์บอนเนต (Bicarbonate: HCO_3^-) ด้วยวิธีการไทด์เตอร์ท (Titration method) (APHA, AWWA, WPCF, 2005)

สารเคมี

1. น้ำที่ปราศจากคาร์บอนไดออกไซด์ ต้มน้ำกลั่นให้เดือดและทิ้งให้เย็นเท่าอุณหภูมิห้อง ใช้น้ำนี้เพื่อเตรียมน้ำยาเคมีหรือสำหรับการเจือจาง
2. สารละลายนีฟนอลฟทาลีนอินดิกเตอร์: ละลายนีฟนอลฟทาลีน 5 กรัม ในเอทานอล 95% จำนวน 500 มิลลิลิตร เติมน้ำกลั่นให้เป็น 1000 มิลลิลิตร
3. สารละลายนีฟลอลอเรน: ละลายนีฟลอลอเรน 500 มิลลิกรัม ในน้ำกลั่นจำนวน เล็กน้อยแล้วเจือจางจนได้ปริมาตร 100 มิลลิลิตร
4. สารละลายโซเดียมไฮโดรเจนไฟฟ้า 0.1 นอร์มัล: ละลายน้ำสูตร $\text{Na}_2\text{S}_2\text{O}_3 \cdot 5\text{H}_2\text{O}$ 25 กรัม ในน้ำกลั่น เจือจางได้ปริมาตร 1000 มิลลิลิตร
5. สารละลายโซเดียมคาร์บอนเนต (Na_2CO_3) 0.05 นอร์มัล: อบโซเดียมคาร์บอนเนต (Na_2CO_3) 3-5 กรัม ที่อุณหภูมิ 250 °C นาน 4 ชั่วโมง ทำให้เย็นในโถทำแห้ง ซึ่ง Na_2CO_3 ที่อบแห้งแล้ว 2.45 กรัม เทลงในขวดวัดปริมาตรขนาด 1 ลิตร เติมน้ำกลั่นให้ครบ 1 ลิตร อย่าเก็บสารละลายนี้นานกว่า 1 สัปดาห์
6. สารละลามาตราฐานกรดซัลฟูริก 1.00 นอร์มัล (เพื่อใช้สำหรับเตรียม 0.1 นอร์มัล และ 0.02 นอร์มัล)
 - 6.1) เตรียมกรดซัลฟูริกให้มีความเข้มข้นมากกว่า 1 นอร์มัล (ใช้กรดเข้มข้นประมาณ 30 มล. ละลายน้ำในน้ำ 1 ลิตร)
 - 6.2) ซึ่งโซเดียมคาร์บอนเนตที่อบแห้งประมาณ 1.00 - 1.10 กรัม ต้องทราบน้ำหนักที่ แน่นอน ละลายน้ำกลั่น 100 มล. ทำ 3 ช้ำ
 - 6.3) ไทด์เตอร์ด้วยกรดซัลฟูริกที่เตรียมโดยใช้อินดิกเตอร์สมรรถะว่างบرومครีซอล กринกับเมทิลเรดจากสีฟ้าให้เป็นสีชมพูอมส้ม จดปริมาตรที่ใช้แต่ละครั้ง (หากค่าเฉลี่ยปริมาตรกรดที่ใช้)
 - 6.4) คำนวณปริมาตรกรดที่ใช้ทำปฏิกิริยาพอติกับโซเดียมคาร์บอนเนตโดยโซเดียม คาร์บอนเนต 1.06 กรัม จะทำปฏิกิริยาพอติกับกรดซัลฟูริก 1.0 นอร์มัล จำนวน 20 มิลลิลิตร เท่า ถ้าซึ่ง Na_2CO_3 1.05 กรัม จะทำปฏิกิริยาพอติกับกรดซัลฟูริก 19.8 มิลลิลิตร
 - 6.5) คำนวณปริมาตรน้ำที่จะเติมให้สารละลามาตราฐานกรดซัลฟูริกมีความเข้มข้น 1.00 นอร์มัลพอตี
 - 6.6) สารละลามาตราฐานกรดซัลฟูริก 0.100 นอร์มัล โดยเจือจางกรดซัลฟูริก 1.00 นอร์มัล จำนวน 100 มิลลิลิตรด้วยน้ำกลั่น แล้วปรับปริมาตรเป็น 1000 มิลลิลิตร เทียนความเข้มข้นที่

แน่นอนด้วยสารละลายน้ำเดี่ยมคาร์บอนเนต 0.05 นอร์มัล จำนวน 40.0 มิลลิลิตร (ควรปรับให้ได้ความเข้มข้น 0.10 นอร์มัล พอดี)

6.7) สารละลายน้ำเดี่ยมคาร์บอนเนต 0.02 นอร์มัล โดยจ่อจากกรดซัลฟูริก 1.00 นอร์มัล จำนวน 20.0 มิลลิลิตร ด้วยน้ำกลั่นแล้วปรับปริมาตรเป็น 1000 มิลลิลิตร เทียบความเข้มข้นที่แน่นอนด้วยสารละลายน้ำเดี่ยมคาร์บอนเนต 0.05 นอร์มัล จำนวน 20.0 มิลลิลิตร (ควรปรับให้ได้ความเข้มข้น 0.10 นอร์มัล พอดี)

วิธีวิเคราะห์

การเลือกขนาดของตัวอย่าง

1. ให้เลือกปริมาตรของตัวอย่างและความเข้มข้นของไนเตรตให้เหมาะสม
2. สำหรับตัวอย่างที่มีค่าความเป็นด่างน้อยกว่า 1000 มิลลิกรัม/ลิตร หินปูน ให้เลือกปริมาตรตัวอย่างที่ให้ค่าความเป็นด่างน้อยกว่า 50 มิลลิกรัม/ลิตร หินปูนและไนเตรตด้วย 0.02 นอร์มัล ของ H_2SO_4 หรือ HCl
3. ในกรณีที่ตัวอย่างมีค่าความเป็นด่างมากกว่า 1000 มิลลิกรัม/ลิตร หินปูน ให้เลือกปริมาณตัวอย่างที่ให้ค่าความเป็นด่างน้อยกว่า 250 มิลลิกรัม/ลิตร หินปูนและไนเตรตด้วย 0.1 นอร์มัล ของ H_2SO_4 หรือ HCl
4. สำหรับวิธีที่ใช้หาตัวอย่างที่มีค่าความเป็นด่างต่ำ ให้ไนเตรตด้วย 0.02 นอร์มัล H_2SO_4 โดยใช้ปฏิกวนาด 10 มิลลิลิตร

Phenolphthalein alkalinity (P)

1. หยดอินดิเคเตอร์สำหรับพีเอช 8.3 (ฟีโนอลฟ์ฟทาลีน หรือ เมตาครีซอลเพอร์เพลล) 3 หยดลงในตัวอย่างน้ำ 50 หรือ 100 มิลลิลิตร
2. ไนเตรตด้วย 0.02 นอร์มัล H_2SO_4 หรือ HCl จนอินดิเคเตอร์เปลี่ยนสีแสดงจุดสีน้ำเงิน
3. กรณีที่ใช้ฟีโนอลฟ์ฟทาลีนเป็นอินดิเคเตอร์ ถ้าหยดฟีโนอลฟ์ฟทาลีนลงในตัวอย่างแล้วไม่เกิดสีชมพู แสดงว่าไม่มีสภาพด่างฟีโนอลฟ์ฟทาลีน จะปริมาตรกรดที่ใช้โดยปกติถ้าพีเอชของตัวอย่างน้อยกว่า 8.3 จะไม่มีสภาพด่าง P

Total alkalinity (T)

1. หยดอินดิเคเตอร์สำหรับพีเอช 4.5 (เมทีลออเรนจ์หรือบอร์โค้ร์กرين) 3 หยดลงในสารละลายน้ำซึ่งได้ทำการหา Phenolphthalein alkalinity แล้ว (โดยใช้หยดฟีโนอลฟ์ฟทาลีนเป็นอินดิเคเตอร์) หรือใช้ตัวอย่างใหม่ในปริมาตรเท่าเดิม ไนเตรตด้วย 0.02 นอร์มัล H_2SO_4 หรือ HCl จนกรดหงส์ถึงจุดสมมูล
2. ในกรณีที่ใช้เมทีลออเรนจ์เป็นอินดิเคเตอร์จุดสมมูลจะเปลี่ยนจากสีเหลืองเป็นสีเข้ม

3. จดปริมาตรที่ใช้ ถ้าใช้ตัวอย่างเดิมจากข้อ 2 ต้องคำนวณสภาพด่างทั้งหมดจากปริมาตรกรดรวมที่ได้จากข้อ 2 และข้อ 3

การคำนวณ

$$\text{Phenolphthalein alkalinity (P), มิลลิกรัม/ลิตร หินปูน} = \frac{A \times N \times 50000}{\text{ปริมาตรตัวอย่าง (มล.)}}$$

$$\text{Total alkalinity (T) , มิลลิกรัม/ลิตร หินปูน} = \frac{B \times N \times 50000}{\text{ปริมาตรตัวอย่าง (มล.)}}$$

เมื่อ A คือ มิลลิลิตรของสารละลายน้ำที่ใช้ไทด์เรตทันถึงจุดสีของฟีโนอล์ฟทาลีน
 B คือ มิลลิลิตรของสารละลายน้ำที่ใช้ไทด์เรตทันถึงจุดสีของเมทิลอะเวนจ์
 N คือ นอร์มัลลิตี้ของสารละลายน้ำที่ใช้ไทด์เรตทัน

ตารางที่ พ.1 การคำนวณหาค่าส่วนประกอบด่างๆของสภาพด่าง

กรณีที่	ผลการไทด์เรต	ความเข้มข้น (มิลลิกรัม/ลิตร หินปูน)		
		ไฮดรอกไซด์	คาร์บอนเนต	ไฮคาร์บอนต
1	P=0	0	0	T
2	P<T/2	0	2P	T-2P
3	P= T/2	0	2P	0
4	P> T/2	2P-T	2(T-P)	0
5	P=T	T	0	0

6. การวิเคราะห์แอมโมเนียม-ไนโตรเจน (Ammonia-Nitrogen: NH₃-N) ด้วยวิธีการกลั่น (Distillation) และการไทด์เรต (Titration method) (APHA, AWWA, WPCF, 2005)

สารเคมี

1. สารละลายนอเรตบาร์ฟเฟอร์ (Borate buffer solution) : นำโซเดียมไฮดรอกไซด์ 0.1 โมลาร์ จำนวน 88 มิลลิลิตร เติมลงในสารละลายน้ำเดี่ยมเตตราบอร์ต (Na₂B₄O₇) 500 มิลลิลิตร เจือจากด้วยน้ำกลั่นที่ปราศจากแอมโมเนียน ได้ปริมาตร 1000 มิลลิลิตร (5 กรัม Na₂B₄O₇ หรือ 9.5 กรัม Na₂B₄O₇·10H₂O ต่อสารละลายน้ำ 1000 มิลลิลิตร)

2. สารละลายน้ำที่ใช้ปรับพีเอช

2.1) โซเดียมไฮดรอกไซด์ 1 มิลลิลิตร

2.2) กรดซัลฟิวริก 0.5 มิลลิลิตร

3. สารละลายน้ำกรดอริก : ละลายน H_3BO_3 20 กรัม ในน้ำกลั่นที่ปราศจากแอมโมเนียน ໄicide ปริมาตร 1 ลิตร

4. มิกซ์อินดิเคเตอร์ : ละลายนมิลเครดอินดิเคเตอร์ (Methyl red indicator) 200 มิลลิกรัม ในเอทิลแอลกอฮอล์ (ร้อยละ 95) 100 มิลลิลิตร ละลายนมิลลิบูต 100 มิลลิกรัม ในเอทิลแอลกอฮอล์ (ร้อยละ 95) 50 มิลลิลิตร แล้วผสมสารละลายทั้ง 2 ชนิดเข้าด้วยกัน สารละลายนี้ควรเตรียมทุกๆ เดือน

ข้อสังเกต : สารละลายนินดิเคติงบอริกแย济ิกจะมีสีม่วงถ้าไม่มีแอมโมเนียละลายอยู่ ถ้ามีแอมโมเนียละลายอยู่จะได้สีเขียว แสดงว่าสารละลายนี้ใช้ไม่ได้ ให้เตรียมใหม่ และควรเตรียมทุกๆ เดือน

5. สารละลายน้ำกรดชัลฟิวเริก 0.01 โนมล/ลิตร

6. โซเดียมไฮดรอกไซด์ 6 โนมล/ลิตร: ละลายน $NaOH$ 240 กรัม ในน้ำกลั่นที่ปราศจากแอมโมเนียน ได้ปริมาตร 1000 มิลลิลิตร

วิธีการวิเคราะห์

1. สำหรับตัวอย่างน้ำที่เป็นกรดหรือด่าง ต้องปรับพีเอชให้เป็นกลางก่อนด้วยโซเดียมไฮดรอกไซด์ 1 โนมล/ลิตร หรือกรดชัลฟิวเริก 0.5 โนมล/ลิตร

2. ตัวอย่างน้ำที่ได้ปรับพีเอชเป็นกลางแล้ว 100 มิลลิลิตร ลงในขวดเจลดาห์ล และใส่เม็ดแก้วลงไป 3-4 เม็ด

3. เติมสารละลายนอเรตนบัฟเฟอร์ 25 มิลลิลิตร ลงในตัวอย่างที่ต้องการวิเคราะห์แล้วปรับพีเอชให้ได้ 9.5 โดยใช้โซเดียมไฮดรอกไซด์ 6 โนมล

4. นำไปกลั่น โดยต่อ กับคอนเนคติงบล๊อก ซึ่งจะต่อ กับเครื่องความแน่นอิกทีหนึ่ง โดยให้ปลายของเทปตีบล๊อกมอยู่ใต้สารละลายน้ำแอมโมเนีย

5. เก็บส่วนที่กลั่นออกมาให้ได้ประมาณ 200 มิลลิลิตร ไว้ในขวดรูปมนต์นาด 250 มิลลิลิตร ที่มีสารละลายน้ำกรดอริกอยู่ 50 มิลลิลิตร นำส่วนที่กลั่นได้นี้ไปหาบริษัทแอมโมเนีย-ในไทรเจนด้วยวิธีการไทด์เรท

6. ทำแบบลงค่าโดยใช้สารเคมีทุกอย่างเหมือนกับตัวอย่างน้ำ แล้วนำไปกลั่น

7. ไทด์เรทสารละลายน้ำที่กลั่นได้ด้วยสารละลายน้ำกรดชัลฟิวเริก 0.01 โนมล/ลิตร เมื่อถึงจุดยุติจะได้สีม่วงอ่อน

การคำนวณ

$$\text{มิลลิกรัม/ลิตร แอมโมเนีย-ในไทรเจน} = \frac{(A-B) \times 1000 \times M \times 28}{\text{ตัวอย่างน้ำที่ใช้ในการกลั่น (มล.)}}$$

- เมื่อ A = มิลลิตรของกรดซัลฟิวโรกมาตราฐานที่ใช้ทดแทนตัวอย่างน้ำ
 B = มิลลิตรของกรดซัลฟิวโรกมาตราฐานที่ใช้ทดแทนแบลลังค์
 M = โอม/ลิตร ของกรดซัลฟิวโรกมาตราฐานที่ใช้

7. การวิเคราะห์ไนเตรต-ไนโตรเจน (Nitrate-Nitrogen: $\text{NO}_3^- \text{- N}$) ด้วยบราซีน (Brucine Method) (APHA, AWWA, WPCF, 1995)

สารเคมี

- สารละลายสต็อกไนเตรต : ละลายน้ำ Anhydrous KNO₃ 721.8 มิลลิกรัม ในน้ำกลั่นแล้ว เติมน้ำกลั่นจนครบ 1000 มิลลิลิตร สารละลายนี้ 1 มิลลิลิตร จะมีไนเตรต-ไนโตรเจน 0.1 มิลลิกรัม
- สารละลายนามาตราฐานไนเตรต-ไนโตรเจน : นำสารละลายสต็อกไนเตรตมา 10 มิลลิลิตร เติมน้ำกลั่นจนครบ 1000 มิลลิลิตร สารละลายนี้ 1 มิลลิลิตรจะมีไนเตรต-ไนโตรเจน 1 มิลลิกรัม
- สารละลายโซเดียมอาร์เซนิต : ละลายน้ำ $\text{NaAsO}_2 \cdot 5$ กรัม ในน้ำกลั่น แล้วเติมน้ำกลั่นจนครบ 1000 มิลลิลิตร

ข้อควรระวัง : ระวังเป็นพิษหลีกเลี่ยงการเข้าปาก

- สารละลายบราซีน-กรดซัลฟานิลิก (Brucine-sulfanilic acid solution) : ละลายน้ำ Brucine sulfate ($\text{C}_{23}\text{H}_{26}\text{N}_2\text{O}_4 \cdot \text{H}_2\text{SO}_4$) 1 กรัม และ Sulfanilic acid 0.1 กรัม ในน้ำร้อน 70 มิลลิลิตร เติมกรดเกลือเข้มข้น 3 มิลลิลิตร ทำให้เย็น เติมน้ำกลั่นจนครบ 100 มิลลิลิตร สารละลายนี้เก็บไว้ได้หลายเดือน ต้องมีป้องกันแสงแดด ไม่วิบพลด้วยการวิเคราะห์

ข้อควรระวัง : ระวังเป็นพิษหลีกเลี่ยงการเข้าปาก

- สารละลายกรดซัลฟิวโรก : คือยาเหกระดซัลฟิวโรกเข้มข้น 500 มิลลิลิตรลงในน้ำกลั่น 125 มิลลิลิตร ที่ละน้อยแล้วปล่อยให้เย็นจนถึงอุณหภูมิห้อง ปิดจุกให้แน่นเพื่อกันความชื้นจากอากาศภายนอก

- สารละลายโซเดียมคลอไรด์ : ละลายน้ำ NaCl 300 กรัม ในน้ำกลั่นแล้วเติมน้ำกลั่นจนครบ 1000 มิลลิลิตร

วิธีการวิเคราะห์

- การเตรียมตัวอย่างก่อนทำการทดสอบ

ถ้าตัวอย่างน้ำมีคลอรีโนzyให้กำจัดออกก่อน โดยการเติมโซเดียมอาร์เซนิต 1 หยด (0.05 มิลลิลิตร) ต่อคลอรีน 0.1 มิลลิกรัม และใส่เพิ่มไปอีก 1 หยด ต่อตัวอย่างน้ำ 50 มิลลิลิตร
- การทำให้เกิดสี
 - ปีเปตตัวอย่างน้ำ 5 มิลลิลิตร ใส่ในหลอดแก้ว และนำสารละลายนามาตราฐาน

ในteredที่ความเข้มข้นต่างๆ กัน ใส่ลงในหลอดทดลองๆ หลอด เพื่อนำไปเตรียมกราฟมาตรฐาน แล้วทำให้เย็น โดยแข็งในอ่างน้ำแข็ง

2.2) เติมสารละลายนโซเดียมคลอไรด์ 1 มิลลิลิตร ผสมให้เข้ากัน (ห้ามใช้เครื่องกวน เพราะจะทำให้ค่าที่ได้ผิดไป)

2.3) เติมสารละลายนครชัลฟีวิริก 5 มิลลิลิตร ผสมให้เข้ากัน ตั้งทึ่งไว้ให้เย็นในอ่างน้ำแข็ง ถ้ามีความชุ่นหรือเกิดสีขึ้นในตอนนี้ให้นำไปอ่านค่าทราบสมิตรแทนที่ จะเป็นค่าเบลงค์ของตัวอย่าง (Sample blank) และค่าเบลงค์ของสารละลายน (Reagent blank) แล้วนำไปวัดในอ่างน้ำแข็ง อีกครั้ง

2.4) เติมสารละลายนูรชีน-กรดชัลฟานิลิก 0.25 มิลลิลิตร เผย่าให้เข้ากัน

2.5) นำไปวัดในเครื่องอั่งไอน้ำที่อุณหภูมิ 95 องศาเซลเซียส เป็นเวลา 20 นาที แล้วให้นำมาแข็งในอ่างน้ำแข็งที่เย็นจนมีอุณหภูมิเท่ากับอุณหภูมิห้อง

2.6) นำไปวัดค่าทราบสมิตรแทนที่ ของสารละลายนมาตรฐาน ในteredที่ความเข้มข้นต่างๆ และตัวอย่างน้ำ โดยนำค่าที่อ่านได้มาหักค่าที่ได้จากเบลงค์ของสารละลายนับเบลงค์ของตัวอย่าง เสียก่อน แล้วจึงอ่านค่าความเข้มข้นของในtered-ในโตรเจนจากกราฟมาตรฐานของสารละลายนในtered

3. การเตรียมกราฟมาตรฐาน

การเตรียมกราฟมาตรฐาน ในtered ในช่วง 0-10.0 มิลลิกรัม/ลิตร และเติมสารเคมีดังข้อ 2 เพื่อให้เกิดสี แล้วนำไปวัดค่าทราบสมิตรแทนที่ของสีจากเครื่องสเปกโตร โฟโตมิเตอร์

การคำนวณ

$$\text{มิลลิกรัม/ลิตร ของในtered-ในโตรเจน} = \frac{\text{ในโตรกรัม ในtered-ในโตรเจน}}{\text{ตัวอย่างน้ำ (มล.)}}$$

$$\text{มิลลิกรัม/ลิตร ในtered} = \text{มิลลิกรัม/ลิตร ในtered-ในโตรเจน} \times 4.43$$

8. การวิเคราะห์ซัลเฟต (Sulfate: SO_4^{2-}) ด้วยวิธีวัดความชุ่น (Turbidimetric method) (APHA, AWWA, WPCF, 2005)

สารเคมี

- สารละลายน้ำฟเฟอร์ A : ละลายน $\text{MgCl}_2 \cdot 6\text{H}_2\text{O}$ 30 กรัม , $\text{CH}_3\text{COONa} \cdot 3\text{H}_2\text{O}$ 5 กรัม , KNO_3 1 กรัม และ CH_3COOH (99%) 20 มิลลิลิตร ในน้ำกลั่น 500 มิลลิลิตร เจือจากน้ำได้ปริมาณ 1000 มิลลิลิตร
- สารละลายน้ำฟเฟอร์ B (ต้องการเมื่อตัวอย่างมีซัลเฟตในความเข้มข้นน้อยกว่า 10 mg

SO_4^{2-}): ละลายน $\text{MgCl}_2 \cdot 6\text{H}_2\text{O}$ 30 กรัม, $\text{CH}_3\text{COONa} \cdot 3\text{H}_2\text{O}$ 5 กรัม, KNO_3 1 กรัม, Na_2SO_4 0.111 กรัม และ CH_3COOH (99%) 20 มิลลิลิตร ในน้ำกลั่น 500 มิลลิลิตร เจือจางจนได้ปริมาตร 1000 มิลลิลิตร

3. แบบเริยนคลอไครด์ : BaCl_2 ที่เป็นผลึกขนาด 20-30 mesh

4. สารละลายนมาตรฐานชั้ลเฟต : เตรียมสารละลายนมาตรฐานชั้ลเฟตใน 4.1 หรือ 4.2

4.1) เจือจาง 10.4 มิลลิลิตร สารละลายนมาตรฐาน H_2SO_4 0.02 นอร์มัล ให้เป็น 100 มิลลิลิตร ด้วยน้ำกลั่น

4.2) ละลายน $\text{anhydrous Na}_2\text{SO}_4$ 0.1479 กรัม ในน้ำกลั่น เจือจางจนได้ 1000 มิลลิลิตร

วิธีวิเคราะห์

1. Formation of BaSO_4 Turbidity :

นำตัวอย่างมา 100 มิลลิลิตร หรือปริมาตรที่เหมาะสมແลือติมน้ำกลั่นจนได้ 100 มิลลิลิตร ลงในขวดรูปกรวยขนาด 250 มิลลิลิตร เติมสารละลายนบฟเฟอร์ 20 มิลลิลิตร ผสมและคนโดยใช้เครื่องในขณะที่คน ค่อยๆ เติม BaCl_2 crystal 1 ช้อน และเริ่มจับเวลาทันที คนประมาณ 60 ± 2 วินาที ด้วยความเร็วคงที่ เมื่อถึงเวลาให้หยุดคนทันที

2. Measurement of BaSO_4 Turbidity :

หลังจากที่เวลาคนสิ้นสุดลง เทสารละลายนลงใน Absorption cell ของสเปกโตร โฟโตมิเตอร์ วัดค่าความผุนที่ 5 ± 5 วินาที ที่ความยาวคลื่น 420 นาโนเมตร

3. Preparation of calibration curve :

เตรียมสารละลายนชัลเฟตที่มีความเข้มข้น 0, 5, 10, 15, 20, 25, 30, 35, 40 มิลลิกรัมตอลิตร (ถ้ามากกว่า 40 มิลลิกรัมตอลิตร ความแน่นอนของวิธีนี้จะลดลง) โดยการปีเปต 0, 5, 10, 15, 20, 25, 30, 35 และ 40 มิลลิลิตรของสารละลายนชัลเฟตที่เตรียมไว้ใส่ในขวดรูปกรวยแล้วเติมน้ำกลั่นจนได้ปริมาตร 100 มิลลิลิตร และทำทุกอย่างเหมือนตัวอย่าง และตรวจสอบความน่าเชื่อถือได้ของ Standard curve โดยทำ Standard ทุกๆ 4 ตัวอย่าง

4. Correction of sample color and turbidity :

โดยทำเบลงค์เหมือนตัวอย่างแต่ไม่ต้องเติม BaCl_2

การคำนวณ

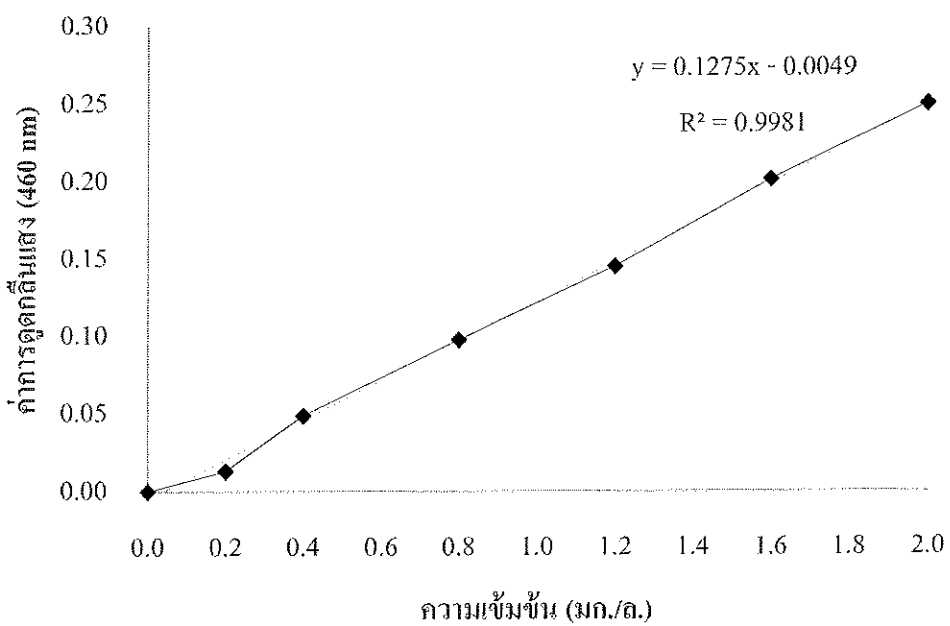
$$\text{มิลลิกรัม/ลิตร ชัลเฟต} = \frac{\text{มก. } \text{SO}_4^{2-} \times 1000}{\text{ปริมาตรตัวอย่างน้ำ } (\text{มล.})}$$

ภาคผนวก ข.

กราฟสาระถ่ายมาตรฐาน

สารมาตรฐานไธโอลิซีyanate (Thiocyanate standard)

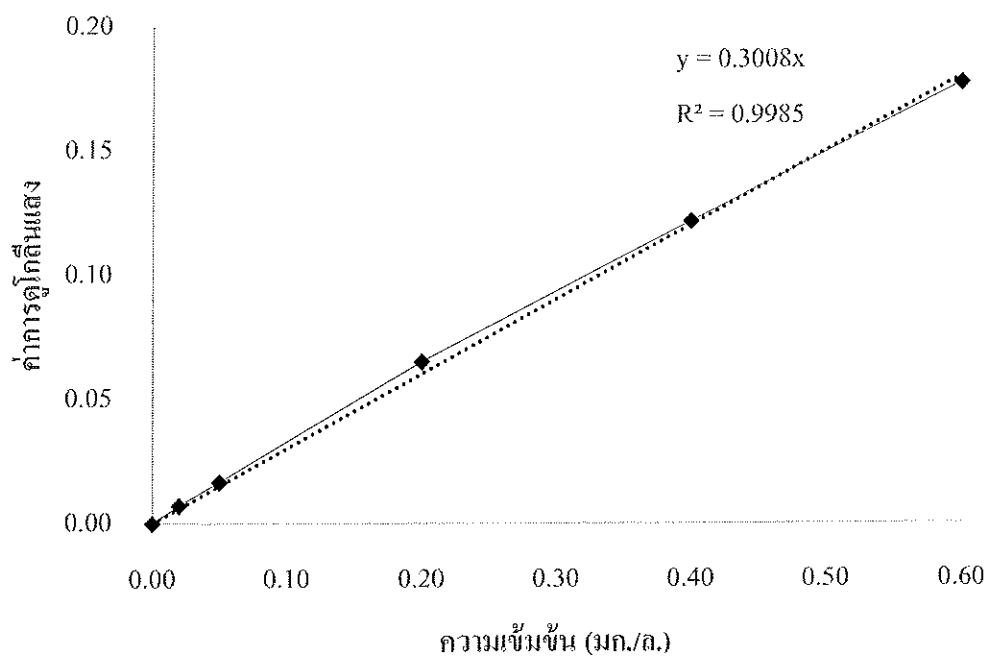
ความเข้มข้น (มก./ล.)	ค่าการดูดกลืนแสง (460 nm)
0.0	0.0000
0.2	0.0131
0.4	0.0489
0.8	0.0975
1.2	0.1452
1.6	0.2015
2.0	0.2499



ภาพที่ ผ.2 กราฟสารຄະถາມมาตรฐานไธโอลิซีyanate (Thiocyanate: SCN⁻)

สารละลายน้ำตรฐานสังกะสี (Zinc standard)

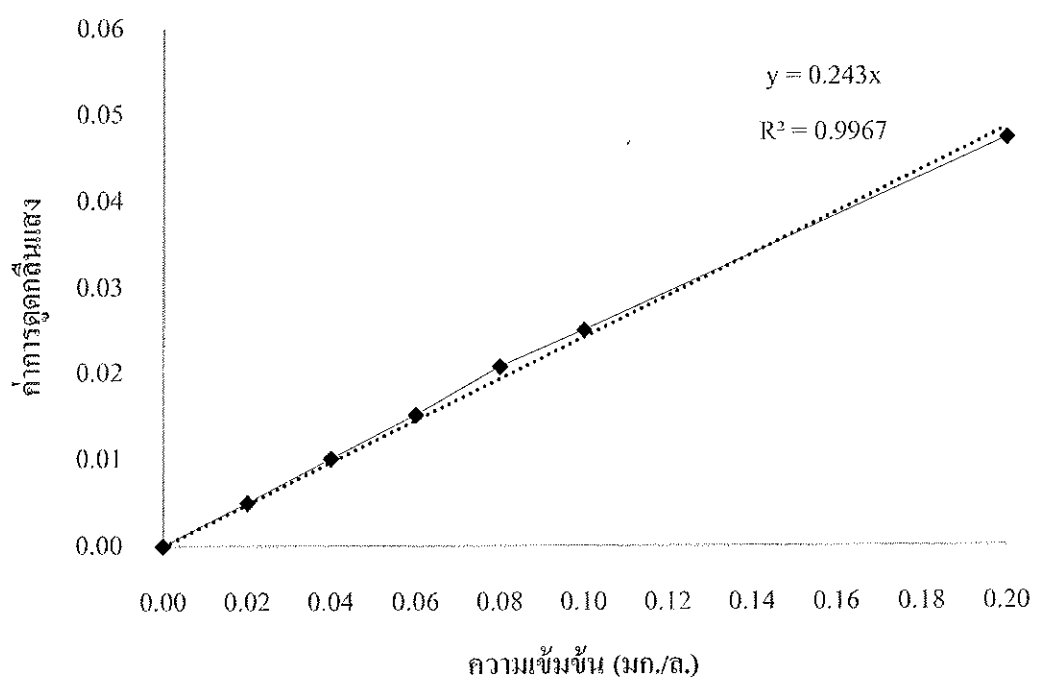
ความเข้มข้น (มก./ล.)	ค่าการดูดกลืนแสง
0.00	0.0000
0.02	0.0071
0.05	0.0166
0.20	0.0651
0.40	0.1218
0.60	0.1777



ภาพที่ ผ.3 กราฟสารละลายน้ำตรฐานสังกะสี (Zinc: Zn)

สารละลายน้ำมาตรฐานแคดเมียม (Cadmium standard)

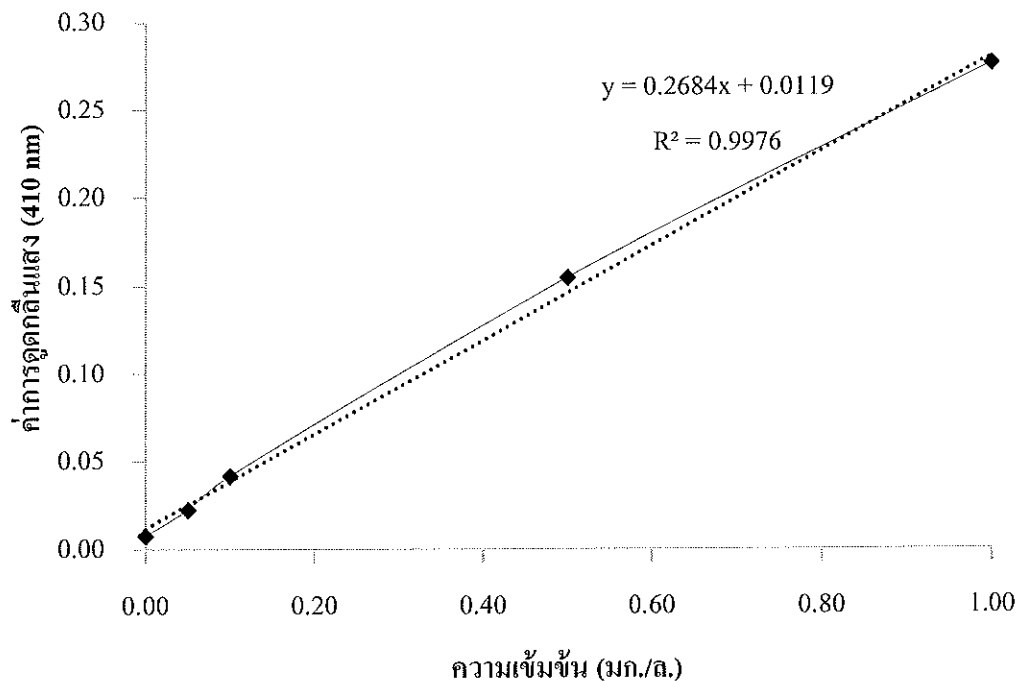
ความเข้มข้น (มก./ล.)	ค่าการดูดกลืนแสง
0.00	0.0000
0.02	0.0051
0.04	0.0101
0.06	0.0152
0.08	0.0209
0.10	0.0251
0.20	0.0473



ภาพที่ ผ.4 กราฟสารละลายน้ำมาตรฐานแคดเมียม (Cadmium: Cd)

สารละลายน้ำมาตรฐานไนเตรท (Nitrate standard)

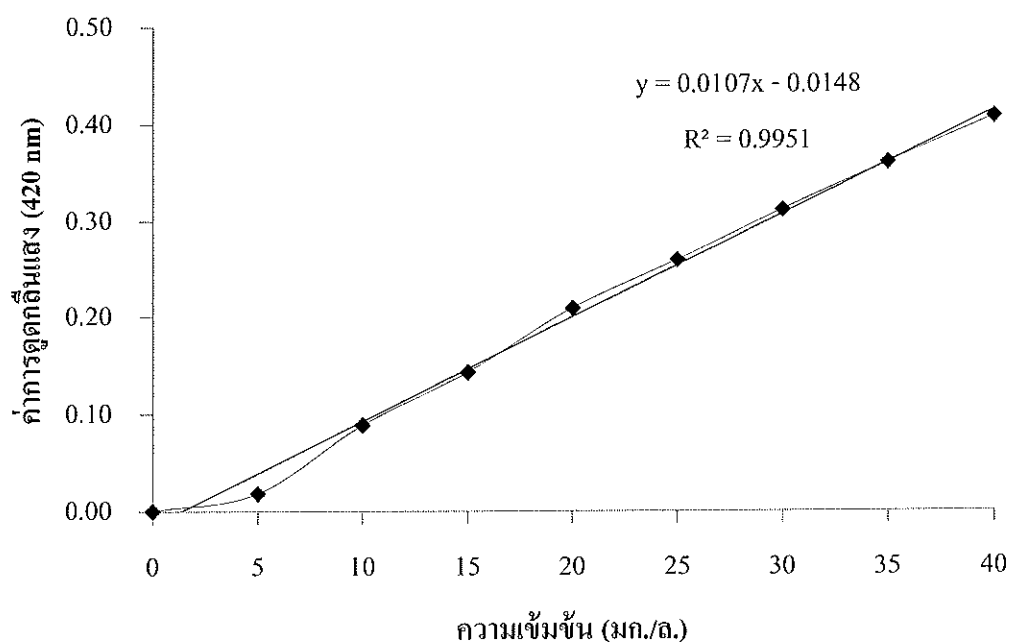
ความเข้มข้น (มก./ล.)	ค่าการดูดซึมแสง (410 nm)
0.0	0.0077
0.05	0.0224
0.1	0.0417
0.5	0.1546
1	0.2759



ภาพที่ ๕.๕ กราฟสารละลายน้ำมาตรฐานไนเตรท (Nitrate: NO_3^-)

สารละลายน้ำตรฐานซัลเฟต (Sulfate standard)

ความเข้มข้น (มก./ล.)	ค่าการดูดกลืนแสง (420 nm)
0	0.0003
5	0.0183
10	0.0888
15	0.143
20	0.209
25	0.2593
30	0.3117
35	0.361
40	0.408



ภาพที่ ผ.6 กราฟสารละลายน้ำตรฐานซัลเฟต ($\text{Sulfate: } \text{SO}_4^{2-}$)

ประวัติคณบุรีวิจัย

ประวัติหัวหน้าโครงการวิจัย

หัวหน้าโครงการ

1. ชื่อ (ภาษาไทย) นางสาว สิราภรณ์ พิชิวิชยานนท์
(ภาษาอังกฤษ) Miss Siraporn Potivichayanon

2. ตำแหน่งปัจจุบัน ผู้ช่วยศาสตราจารย์

3. ที่อยู่หน่วยงาน

สาขาวิชาอนามัยสิ่งแวดล้อม สำนักวิชาแพทยศาสตร์

111 ถนนมหาวิทยาลัย ตำบลสุวรรณี อำเภอเมือง จังหวัดนครราชสีมา 30000

โทรศัพท์ 0-4422-3936 โทรสาร 0-4422-3920 E-mail: siraporn@sut.ac.th,
possi12@yahoo.com

4. ประวัติการศึกษา

พ.ศ. 2558 Certificate of International Program in Integrated Water Management training course, in the framework of the International program in Environmental Science, Saxion University of Applied Sciences, Deventer, the Netherlands. Supported by Netherlands Fellowship Programmes (NFP)

พ.ศ. 2551 Certificate of International Training Program in Ecological Alternatives in Sanitation, Stockholm Environment Institute, Sweden

พ.ศ. 2548 Ph.D. (Biology) International Program, Faculty of Science, Mahidol University

พ.ศ. 2541 วท.บ. (สาธารณสุขศาสตร์) สาขาวิชาแพทยศาสตร์อนามัยสิ่งแวดล้อม
มหาวิทยาลัยมหิดล

5. สาขาวิชาการที่มีความชำนาญพิเศษ

Odor treatment, Biodegradation and Bioremediation, Ecological sanitation

6. ประสบการณ์ที่เกี่ยวข้องกับการบริหารงานวิจัยทั้งภายในและภายนอกประเทศ :

6.1 หัวหน้าโครงการวิจัย:

เรื่องที่ 1 Removal of hydrogen sulfide by fixed-film bioscrubber

เรื่องที่ 2 การย่อยสลายไขซายไนค์ด้วยจุลินทรีย์

เรื่องที่ 3 Water management and sanitation in a community

เรื่องที่ 4 การประเมินความเสี่ยงของการนำน้ำเสียจากชุมชนขนาดเล็กที่ผ่านบำบัดแล้ว
มาใช้ในการเพาะปลูก ได้รับการสนับสนุนจากสำนักงานคณะกรรมการวิจัย
แห่งชาติ ประจำปีงบประมาณ 2551 (งบเร่งด่วน)

เรื่องที่ 5 การพัฒนาความสามารถของเชื้อจุลินทรีย์ในการกำจัดกลิ่นโดยใช้ระบบฟิกซ์-ฟิล์ม ใบไオスครับเบอร์

เรื่องที่ 6 การผลิตเอทานอลจากก้าชการ์บอนไคดอกไซด์และก้าชการ์บอนมอนอกไซด์โดยเชื้อจุลินทรีย์

เรื่องที่ 7 การพัฒนาความสามารถของระบบฟิกซ์-ฟิล์ม ใบไオスครับเบอร์

6.2 งานวิจัยที่ทำเสร็จแล้ว :

เรื่องที่ 1 Removal of hydrogen sulfide by fixed-film bioscrubber. (ผู้วิจัยหลัก)

แหล่งทุน Asian Development Bank (ADB)

เรื่องที่ 2 Optimization of bioscrubber system for hydrogen sulfide removal. (ผู้ช่วยวิจัย)

แหล่งทุน Asian Development Bank (ADB)

เรื่องที่ 3 การประเมินห้องปฏิบัติการวิเคราะห์ทดสอบตามแนวทางปฏิบัติดีที่สุดของห้องปฏิบัติการ: กรณีการชะแกಡเมี่ยมและตะกั่วจากภาชนะเซรามิกห้องปฏิบัติการศูนย์ครื่องมือวิทยาศาสตร์และเทคโนโลยีมหาวิทยาลัยเทคโนโลยีสุรนารี: ภายใต้โครงการพัฒนากรอบนโยบายการเพิ่มศักยภาพห้องปฏิบัติการวิเคราะห์เพื่อการเตรียมสร้างความเข้มแข็งของอุตสาหกรรมของประเทศไทยในการรับรองผลกระบวนการจากการประกาศใช้ระเบียบว่าด้วยสารเคมี (REACH) ของสหภาพยุโรป (ผู้ร่วมวิจัย)

แหล่งทุน สำนักงานกองทุนสนับสนุนการวิจัย (สกว.)

เรื่องที่ 4 Water management and sanitation in a community (ผู้วิจัยหลัก)

แหล่งทุน ภายใต้ความร่วมมือ การแนะนำและปรึกษาของ Swedish International Development Cooperation Agency (Sida) ในโปรแกรม International Training Programme (ITP) in Ecological Alternatives in Sanitation โดย Stockholm Environment Institute (SEI)

เรื่องที่ 5 การประเมินความเสี่ยงของการนำน้ำเสียจากชุมชนขนาดเล็กที่ผ่านบำบัดแล้วมาใช้ในการเพาะปลูก

แหล่งทุน สำนักงานคณะกรรมการวิจัยแห่งชาติ (วช.) ประจำปีงบประมาณ 2551 (งบเร่งด่วน)

เรื่องที่ 6 การย่อยสลายไขขยะในด้วยจุลินทรีย์

แหล่งทุน เก็บอุดหนุนการวิจัยเพื่อสนับสนุนการสร้างและพัฒนานักวิจัยรุ่นใหม่ มหาวิทยาลัยเทคโนโลยีสุรนารี

- เรื่องที่ 7 การพัฒนาความสามารถของเชื้อจุลินทรีย์ในการกำจัดกลิ่นโดยใช้ระบบ
ฟิกซ์-ฟิล์ม ไบโอดีไซร์ฟเบอร์
แหล่งทุน สำนักงานคณะกรรมการวิจัยแห่งชาติ (วช.) ประจำปีงบประมาณ 2553
- เรื่องที่ 8 การผลิตเอทานอลจากกากอาร์บอนไดออกไซด์และกากอาร์บอนมอนอกไซด์โดย
เชื้อจุลินทรีย์
แหล่งทุน สำนักงานคณะกรรมการวิจัยแห่งชาติ (วช.) ประจำปีงบประมาณ 2553

6.3 งานวิจัยที่กำลังทำ :

- เรื่องที่ 1 การพัฒนาความสามารถของระบบฟิกซ์-ฟิล์มไบโอดีไซร์ฟเบอร์
แหล่งทุน สำนักงานคณะกรรมการวิจัยแห่งชาติ (วช.) ประจำปีงบประมาณ 2554
สถานภาพ เตรียมสื้นร้อยละ 90

งานตีพิมพ์เผยแพร่

- Potivichayanon S, Pokethitiyook P, Kruatrachue M. 2006. Hydrogen sulfide removal by a novel fixed-film bioscrubber system. *Process Biochem* 41: 708-715.
- Potivichayanon S and Chuersuwan N. 2009. Greywater management and reuse for plant irrigation: A case study of Ban Laloommoa Village in Thailand. *Proceedings of the 11th International Conference on Environmental Science and Technology*. Chania, Cretc, Greece. P.745-752.
- Potivichayanon S and Kitleartpornpairoat R. 2010. Biodegradation of cyanide by a novel cyanide-degrading bacterium. *World Academy of Science, Engineering and Technology* 66: 1376-1379.
- Potivichayanon S, Sungmon T, Chaikongmao W, Kamvanin S. 2011. Enhancement of biogas production from bakery waste by *Pseudomonas aeruginosa*. *World Academy of Science, Engineering and Technology* 80: 529-532.
- Potivichayanon S and Phaisanthia K. 2013. Ethanol production from carbon-rich gases by a new mixed culture of bacteria. *Proceeding of International Conference on Engineering and Applied Science*. Tokyo, Japan. P.1304-1309.
- Phaisanthia K, Potivichayanon S, Chuersuwan N, Meevasana K. 2013. Removal of heavy metals from electroplating wastewater by cassava peel waste. (Best Paper Award). *Proceeding of International Conference on Environmental Protection and Renewable Energy*. Pataya, Thailand. P.125-130.

- Potivichayanon S and Kiteartpornpairoat R. 2014. Degradation of cyanide to ammonia and nitrate by mixed culture of *Agrobacterium tumefaciens* SUTS 1 and *Pseudomonas monteili* SUTS 2. Proceeding of the European Conference on Sustainability, Energy & the Environment. Brighton, United Kingdom. P. 251-264.
- Supromin N, Potivichayanon S, Toensakes R. 2015. Degradation of metal cyanide from real electroplating wastewater by mixed culture of SUTS 1 and SUTS 2. (Best Paper Award). 3rd International conference on biological, chemical & environmental sciences (BCES-2015). Kuala Lumpur, Malaysia. 3: 75-80.

บทความวิชาการ

- สิรารณ์ โพธิ์วิชยานนท์ 2553. รู้หรือไม่ น้ำเสียจากครัวเรือนที่ผ่านการบำบัดแล้วนำมาใช้ในการเพาะปลูกพืชได้ วารสารอนามัยสิ่งแวดล้อม ปีที่ 12 ฉบับที่ 3 เมษายน-มิถุนายน 2553 หน้า 67-71.

ประวัติผู้ร่วมโครงการวิจัย

1. ชื่อ (ภาษาไทย) นาย ประพัฒน์ เป็นตามวา
(ภาษาอังกฤษ) Mr. PRAPAT PENTAMWA

2. ตำแหน่งปัจจุบัน ผู้ช่วยศาสตราจารย์

3. หน่วยงานและสถานที่อยู่ที่ติดต่อได้

สาขาวิชาอนามัยสิ่งแวดล้อม สำนักวิชาแพทยศาสตร์ มหาวิทยาลัยเทคโนโลยี
สุรนารี ๑๑๑ ถนนมหาวิทยาลัย ต. สุรนารี อ.เมือง จ.นครราชสีมา ๓๐๐๐๐

หมายเลขโทรศัพท์ ๐๔๔-๒๒๓๙๔๑ โทรสาร ๐๔๔-๒๒๓๙๒๐

E-mail: prapat@sut.ac.th

4. ประวัติการศึกษา

ปริญญาตรี วทบ. (สาธารณสุขศาสตร์) สาขาวิชา วิทยาศาสตร์สุขาภิบาล (เกียรติ
นิยมอันดับสอง) สถาบัน มหาวิทยาลัยขอนแก่น ปีที่สำเร็จ ๒๕๓๙

ปริญญาโท MSc. สาขาวิชา Environmental Technology and Management
สถาบัน Asian Institute of Technology ปีที่สำเร็จ ๒๕๔๔

ปริญญาเอก PhD. สาขาวิชา Environmental Engineering and Management
สถาบัน Asian Institute of Technology ปีที่สำเร็จ ๒๕๕๑

5. สาขาวิชาการที่มีความชำนาญพิเศษ multiplicating factor สารเคมีกำจัดแมลงภายในบ้าน

6. ประสบการณ์ที่เกี่ยวข้องกับการบริหารงานวิจัยทั้งภายในและภายนอกประเทศ

6.1 หัวหน้าโครงการวิจัย :

6.1.1 โครงการวิจัยเรื่อง Potential exposure to airborne pesticides in homes: a
case study in Bangkok Metropolitan Region.

6.1.2 โครงการวิจัยเรื่อง Air Quality in Southern Thailand during the 2005 haze
episode

6.1.3 โครงการวิจัยเรื่อง Levels and phase distribution of airborne
polychlorinated biphenyls (PCBs) in the Bangkok Metropolitan Region

6.1.4 โครงการวิจัยเรื่อง การประเมินค่าปริมาณของสารเคมีในอาหารที่ต้อง^{ใช้ระบบวิเคราะห์อันตรายในชุดวิกฤตที่ต้อง}
ควบคุม (HACCP) ในโรงอาหาร

6.2 งานวิจัยที่ทำเสร็จแล้ว:

6.2.1 โครงการวิจัยเรื่อง Potential exposure to airborne pesticides in homes: a case
study in Bangkok Metropolitan Region. (หัวหน้าโครงการวิจัย)

การประชุมวิชาการ

- 1) Pentamwa, P. and Kim Oanh, N.T. (2006). *Air Quality in Southern Thailand during the 2005 haze episode*. In the Proceedings of the Better Air Quality (BAQ) 2006 Workshop 13-15 December 2006 Yogyakarta, Indonesia (oral presentation).
6.2.3 โครงการวิจัยเรื่อง Levels and phase distribution of airborne polychlorinated biphenyls (PCBs) in the Bangkok Metropolitan Region (หัวหน้าโครงการ)
- 2) Pentamwa, P. and Kim Oanh, N.T. (2007). *Levels of persistent organic pollutants (POPs) in homes in Bangkok metropolitan region, Thailand*. In the Proceedings of 12th International Pacific Basin Consortium for Environment and Health Sciences (PBC) Conference October 26-29, 2007 in Beijing, China (oral presentation).
- 3) Pentamwa, P. and Kim Oanh, N.T. (2007). *Indoor Persistent Organic Pollutants in Homes in Bangkok Metropolitan Region, Thailand*, In the Proceedings of the International Conference on Air Quality Management in Southeast Asia., 21-23 November 2007, Ho Chi Minh city, Vietnam (oral presentation).
- 4) Pentamwa, P. and Kim Oanh, N.T. (2007). *Indoor Persistent Organic Pollutants in Homes in Bangkok Metropolitan Region, Thailand*, In the Annual Review Workshop on Asian Regional Research Programme on Environmental Technology Phase II (ARRPET II), November 12-14, 2007, AIT, Thailand (poster presentation).
- 5) Pentamwa, P. and Kim Oanh, N.T. (2007). *Indoor Persistent Organic Pollutants in Homes in Bangkok Metropolitan Region, Thailand*, In the Proceedings of the International Conference on Air Quality Management in Southeast Asia., 21-23 November 2007, Ho Chi Minh city, Vietnam (poster presentation).
- 6) Pentamwa, P. and Kim Oanh, N.T. (2008). *Particulate Matter and Associated Heptachlor in the indoor and outdoor air in Bangkok Homes and Vicinity, Thailand*, In the Proceedings of the Better Air Quality (BAQ) 2008 Workshop 12-14 November 2008 Bangkok, Thailand (poster presentation).
- 7) Pentamwa, P. and Kim Oanh, N.T. (2008). *Potential Exposure to Airborne Pesticides in Homes: A Case Study in Bangkok Metropolitan Region, Thailand*,

- in the ERTC and AIT In-house Seminar on Exchange of Knowledge and Experience with emphasis on research and environmental technology development, 8 December 2008 at the Environmental Research and Training Center (ERTC), Thailand (oral presentation)
- 8) Pentamwa, P. and Kim Oanh, N.T. (2009). *Dissipation of household pyrethroid pesticides in topical homes*: In the 13th international conference of the Pacific Basin Consortium for Environmental and Health, 19th-24th November 2009, Perth, Australia (oral presentation).
 - 9) Pentamwa, P. (2009). *Concentrations of Polychlorinated biphenyls (PCBs) in the Ambient air of the Bangkok Metropolitan Region (BMR), Thailand* In the Proceedings of the 8th Thailand National Environmental Conference, 25-27 March 2009, Nakornratchasima, Thailand (oral presentation).
 - 6.2.4 โครงการวิจัยเรื่อง Effect of PM (10) pollution in Bangkok on children with and without asthma. (ผู้ร่วมวิจัย)
 - 10) Pentamwa, P. and Kim Oanh, N.T. (2010). *Implication of climate change on human exposure to household pesticides*: In the international conference workshop of Livelihood and health impact of the climate change Community adaptation strategies, 24th-25th August 2010, Khon Kaen, Thailand (oral presentation).
 - 6.2.2 โครงการวิจัยเรื่อง Air Quality in Southern Thailand during the 2005 haze episode (หัวหน้าโครงการ)
- ผลงานตีพิมพ์**
- 1) Preutthipan, A., Udomsubpayakul, U., Chaisupamongkollarp, T., Pentamwa, P. (2004). *Effect of PM (10) pollution in Bangkok on children with and without asthma*. Pediatric pulmonology, vol. 37(3), 187-192.
 - 2) Pentamwa, P. and Kim Oanh, N.T. (2008). **Levels of Pesticides and PCBs in Selected Homes in Bangkok Metropolitan Region, Thailand**. *Annals of the New York Academy of Sciences*, 1140, Environmental Challenges in the Pacific Basin, 91-112.
 - 3) Pentamwa, P. and Kim Oanh, N.T. (2008). **Air Quality in Southern Thailand during Haze Episode in relation to Air Mass Trajectory**, *Songklanakarin Journal of Science and Technology*, 30(4), 539-546.

6.3 งานวิจัยที่กำลังทำ:

- 1) การประยุกต์ใช้ระบบวิเคราะห์อันตรายในจุดวิกฤตที่ต้องควบคุม (HACCP) ในโรงอาหาร (ทุนสนับสนุนการสร้างและพัฒนานักวิจัยรุ่นใหม่ มทส.)

ประวัติผู้ร่วมโครงการวิจัย

1. ชื่อ (ภาษาไทย) นางสาวรุจิรัตน์ กิตเลิศพร ไฟโรจน์

(ภาษาอังกฤษ) Miss Rujirat Kitleartpornpairoat

2. ตำแหน่งปัจจุบัน นักวิทยาศาสตร์

3. หน่วยงานที่อยู่ที่ติดต่อได้พร้อมโทรศัพท์ โทรสาร และ E-mail

ศูนย์เครื่องมือวิทยาศาสตร์และเทคโนโลยี มหาวิทยาลัยเทคโนโลยีสุรนารี
111 ถนนมหาวิทยาลัย ตำบลสุรนารี อำเภอเมือง จังหวัดนครราชสีมา 30000
โทรศัพท์ 0-4422-3973 โทรสาร 0-4422-3972 E-mail : rujirata@sut.ac.th

4. ประวัติการศึกษา

พ.ศ. 2545 วท.ม. (วิทยาศาสตร์ดิจิทัล) มหาวิทยาลัยบูรพา

พ.ศ. 2540 วท.บ. (เทคโนโลยีชีวภาพ) มหาวิทยาลัยบูรพา

5. สาขาวิชาการที่มีความชำนาญพิเศษ (แตกต่างจากวุฒิการศึกษา) ระบุสาขาวิชาการ

Water and Waste water Analysis

6. ประสบการณ์ที่เกี่ยวข้องกับการบริหารงานวิจัยทั้งภายในและภายนอกประเทศ : ระบุสถานภาพในการทำการวิจัยว่าเป็นผู้อำนวยการแผนงานวิจัย หัวหน้าโครงการวิจัย หรือผู้ร่วมวิจัยในแต่ละข้อเสนอโครงการวิจัย เป็นต้น

6.1 งานวิจัยที่ทำสำเร็จแล้ว :

เรื่องที่ 1 การขบยถลายมาลาไคน์กรีน โดยใช้ Activated sludge (ผู้วิจัยหลัก)

แหล่งทุน Asian Development Bank (ADB)

เรื่องที่ 2 การขบยถลายไขยาในด้วยจุลินทรีย์ (ผู้ช่วยวิจัย)

แหล่งทุน เงินอุดหนุนการวิจัยเพื่อสนับสนุนการสร้างและพัฒนานักวิจัยรุ่นใหม่

มหาวิทยาลัยเทคโนโลยีสุรนารี

เรื่องที่ 3 การศึกษาคุณภาพน้ำทางกายภาพ เคมี และชีวภาพในบริเวณพื้นที่ปากปึก

พันธุกรรมพืช อพ.สธ. เช้อนน้ำพุ จังหวัดสกลนคร (ผู้ช่วยวิจัย)

แหล่งทุน สำนักงานคณะกรรมการวิจัยแห่งชาติ (วช.) ประจำปีงบประมาณ 2555

งานตีพิมพ์เผยแพร่

- Potivichayanon S and Kitleartpornpairoat R. 2010. Biodegradation of cyanide by a novel cyanide-degrading bacterium. Proceedings of ICEESD 2010 International Conference on Energy, Environment, Sustainable Development in World Academy of Science, Engineering and Technology. Paris, France. 66: 606-609.

ประวัติผู้ช่วยโครงการวิจัย

1. ชื่อ (ภาษาไทย) นางสาวรัตนา เทินสะเกย

(ภาษาอังกฤษ) Miss Rattana Toensakes

2. หมายเลขบัตรประจำตัวประชาชน 1 3001 00101 xx x

3. ตำแหน่งปัจจุบัน ผู้ช่วยวิจัย

4. หน่วยงานที่อยู่ที่ติดต่อได้พร้อมโทรศัพท์ โทรสาร และ E-mail

สาขาวิชาเคมีสิ่งแวดล้อม สำนักวิชาแพทยศาสตร์ มหาวิทยาลัยเทคโนโลยีสุรนารี

111 ถนนมหาวิทยาลัย ตำบลสุรนารี อำเภอเมือง จังหวัดนครราชสีมา 30000

โทรศัพท์ 0-4422-3963 E-mail : rattana.t58@gmail.com

5. ประวัติการศึกษา

พ.ศ. 2556-ปัจจุบัน กำลังศึกษา วท.ม. (มลพิษสิ่งแวดล้อมและความปลดปล่อยก๊าซ) มหาวิทยาลัยเทคโนโลยีสุรนารี

พ.ศ. 2553 วท.บ. (อนามัยสิ่งแวดล้อม) มหาวิทยาลัยเทคโนโลยีสุรนารี

6. ประสบการณ์ที่เกี่ยวข้องกับการบริหารงานวิจัยทั้งภายในและภายนอกประเทศ : ระบุสถานภาพในการทำการวิจัยว่าเป็นผู้อำนวยการแผนงานวิจัย หัวหน้าโครงการวิจัย หรือผู้ร่วมวิจัยในแต่ละข้อเสนอโครงการวิจัย เป็นต้น

6.1 งานวิจัยที่ทำสำเร็จแล้ว :

เรื่องที่ 1 การศึกษาคุณภาพน้ำทางกายภาพเคมี และชีวภาพในบริเวณพื้นที่ปากปึก

พันธุกรรมพืช อพ.สธ. เชื่อมน้ำพุ จังหวัดสกลนคร (ผู้ช่วยวิจัย)

แหล่งทุน สำนักงานคณะกรรมการการวิจัยแห่งชาติ (วช.) ประจำปีงบประมาณ 2555

งานตีพิมพ์เผยแพร่

- Moungnak N, Chimmai J, Toensakes R, Katramee A, Manatsakan S, Sukton B, Wongklom T, Chuersuwan N. 2014. Estimating daily exposure factors among Thai s' students : A case in an university in Northeastern Thailand. International conference on public health among the greater Mekhong sub-regional countries. Khon kean, Thailand. 6 : 197.
- Supromin N, Potivichayanan S, Toensakes R. 2015. Degradation of metal cyanide from real electroplating wastewater by mixed culture of SUTS 1 and SUTS 2. 3rd International conference on biological, chemical & environmental sciences (BCES-2015). Kuala lumpur, Malaysia. 3: 75-80.
- Toensakes R, Potivichayanan S, Supromin N. 2015. Screening and identification of biodegradable plastic polyhydroxyalkanoate-producing strains by rapid viable-colonies straining

method. The 41th congress on science and technology of Thailand (STT41). Nakhon Ratchasima, Thailand.

- Katramee A, Toensakes R, Potivichayanon S. 2015. Biodegradation of oil and grease from synthetic wastewater by local isolation lipid degrading microorganism. The 41th congress on science and technology of Thailand (STT41). Nakhon Ratchasima, Thailand.

ประวัติผู้ช่วยโครงการวิจัย

1. ชื่อ (ภาษาไทย) นางสาวนุชจลี ศุพรหมอินทร์

(ภาษาอังกฤษ) Miss Nootjalee Supromin

2. หมายเลขบัตรประจำตัวประชาชน 1 4205 00060 xx x

3. ตำแหน่งปัจจุบัน ผู้ช่วยวิจัย

4. หน่วยงานที่อยู่ที่ติดต่อได้พร้อมโทรศัพท์ โทรสาร และ E-mail

สาขาวิชานามสั่งแวดล้อม สำนักวิชาแพทยศาสตร์ มหาวิทยาลัยเทคโนโลยีสุรนารี

111 ถนนมหาวิทยาลัย ตำบลสุรนารี อำเภอเมือง จังหวัดนครราชสีมา 30000

โทรศัพท์ 0-4422-3963 E-mail: Nootjalee_nat@hotmail.com

5. ประวัติการศึกษา

พ.ศ. 2555-ปัจจุบัน กำลังศึกษา วท.ม. (มลพิษสั่งแวดล้อมและความปลดปล่อย) มหาวิทยาลัยเทคโนโลยีสุรนารี

พ.ศ. 2555 วท.บ. (อนามัยสั่งแวดล้อม) มหาวิทยาลัยเทคโนโลยีสุรนารี
งานตีพิมพ์เผยแพร่

- Supromin N., Potivichayanan S, Toensakes R. 2015. Degradation of metal cyanide from real electroplating wastewater by mixed culture of SUTS 1 and SUTS 2. 3rd International conference on biological, chemical & environmental sciences (BCES-2015). Kuala Lumpur, Malaysia. 3: 75-80.
- Toensakes R, Potivichayanan S, Supromin N. 2015. Screening and identification of biodegradable plastic polyhydroxyalkanoate-producing strains by rapid viable-colonies straining method. The 41th congress on science and technology of Thailand (STT41). Nakhon Ratchasima, Thailand.